

الله





دانشکده علوم زمین

گروه پرولوژی و زمین‌شناسی اقتصادی

عنوان

بررسی ژئوکانه‌زایی مس همراه با سنگ‌های آتشفسانی
و آتشفسانی-رسوبی ائوسن، شمال ایران مرکزی، شرق و جنوب شرق شهرود

نگارنده

ناهید طائفی

اساتید راهنما

دکتر محمود صادقیان

دکتر فردین موسیوند

پایان‌نامه جهت اخذ درجه کارشناسی ارشد

شهریور ۹۳



شماره:

تاریخ:

ویرایش:

باسمہ تعالیٰ

مدیریت تحصیلات تکمیلی

فرم شماره (۶)

فرم صورت جلسه دفاع از پایان نامه تحصیلی دوره کارشناسی ارشد

با تأییدات خداوند متعال و با استعانت از حضرت ولی عصر (عج) نتیجه ارزیابی جلسه دفاع از پایان نامه کارشناسی ارشد خانم / ناهید طائفی رشته زمین شناسی گرایش اقتصادی تحت عنوان: بررسی ژئر کانه زایی مس همراه با سنگ های آتشفسانی و آتشفسانی - رسوبی آلوسن، شمال ایران مرکزی، شرق و جنوب شهر شاهرود که در تاریخ ۱۳۹۳/۶/۳۰ با حضور هیأت محترم داوران در دانشگاه صنعتی شاهرود برگزار گردید به شرح ذیل اعلام می گردد:

<input type="checkbox"/> مردود	<input checked="" type="checkbox"/> دفاع مجدد	قبول (با درجه: عالی) <input checked="" type="checkbox"/> امتیاز ۱۹
۲- بسیار خوب (۱۸-۱۸/۹۹)	۱- عالی (۲۰-۱۹)	(۱۹-۱۸/۹۹)
۴- قابل قبول (۱۵-۱۵/۹۹)	۳- خوب (۱۷-۱۷/۹۹)	
۵- نمره کمتر از ۱۴ غیر قابل قبول		

امضاء	مرتبه علمی	نام و نام خانوادگی	عضو هیأت داوران
	استادیار	محمود صادقیان، فردین موسیوند	۱- استاد راهنمای
—	استادیار		۲- استاد مشاور
	استادیار	مهرداد رضایی	۳- نماینده شورای تحصیلات تکمیلی
	استادیار	فرج الله فردوست	۴- استاد ممتحن
	استادیار	مسعود علیپور	۵- استاد ممتحن

امضاء
 رئیس دانشکده:

دانشگاه صنعتی شاهرود

دانشکده: علوم ریاضی
گروه: آموزش زبان و زبان های خارجی

پایان نامه کارشناسی ارشد خانم ناهید طائفی

تحت عنوان: بررسی زنج کانه زایی مس همراه با سنج های آتشفشاری و آتشفشاری -رسوبی اتوسن، شمال ایران مرکزی، شرق و جنوب شرق شاهرود

در تاریخ ... ۹۳/۶/۲۹... توسط کمیته تخصصی زیر چهت اخذ مدرک کارشناسی ارشد **زمین سازی** مورد ارزیابی و با درجه
..... مورد پذیرش قرار گرفت.

امضاء	اساتید مشاور	امضاء	اساتید راهنمای
	نام و نام خانوادگی:		نام و نام خانوادگی: محمود صادقیان
	نام و نام خانوادگی:		نام و نام خانوادگی: فردین موسیوند

امضاء	نماينده تحصيلات تكميلي	امضاء	اساتيد داور
	نام و نام خانوادگی: مهدی رضابی		نام و نام خانوادگی: نصرح الله فردوست
			نام و نام خانوادگی: مسعود علیپور
			نام و نام خانوادگی:
			نام و نام خانوادگی:

تعدیم به دوستارہ پر فروع زندگیم:

پدر و مادر عزیز و محترم؟

که وجودم برایشان ہم درج بودو

وجودشان برایم ہمہ حسر

و تقدیم به تمامی دوستان دلسوچہ بزرگوارم کہ وجودشان یا یہ دلگرمی در این مسیر بود؛
آقایان و خانم‌ها، وکیلی، تاشی، حسینی، کرمی، بیانی

و باقی دوستان عزیزم کہ در سختی‌ها همراه و همکام بودند.

تشکر و قدردانی

بهار بی گل نرگس شبیه پاییز است

بیا که سهم زمین از بهار ناچیز است

بیا که منجمدانه قیام ممکن نیست

پاس بی کران پروردگار یکتا را که هستی مان بخشد و به طریق علم و دانش رهنما نان شد و به نهشینی رهروان علم و دانش مختربان نمود و خوش چینی از علم و معرفت را روزی مان ساخت. با پاس از سه وجود مقدس: آنان که ناتوان شدند تابع توانایی بریم... موہشان سپید شد تامارو سپید شویم... و عاشقانه سو خند تا کرمانیش وجود ما و روشنگر راهیان باشند... پدرانان- مادرانان- استادانان

- باشگر و پاس از استاد بزرگوار و پریام جناب آقای دکتر صادقیان که از محضر پر فیض تدریشان، بسره هارده ام. به چنین از استاد کرامیم جناب آقای دکتر مویوند بیار پاگذارم چرا که بدون راهنمایی ایشان تامین این پیمان نامه بیار مغلک می نمود.

- با انسان بیکار از مساعدت های بی شایبی جناب آقای دکتر علیپور و دکتر فردوسی که قبول زحمت نموده و داوری این پیمان نامه را بر عده کرفتند بحال نشکر را در ارم

- در نهایت نشکر می انم از دکتر محمدی رضایی، دکتر سون ابراهیمی، دکتر مجید قاسمی، دکتر ابراهیم فاضل و سیلا آقا جانی که مراد اطاعت بی دین شان محروم نباشند.

- با تقدیر و درود فراوان خدمت خواهر و برادر و پدر و مادر بسیار عزیز، دلو佐 و فدا کارم که پیوسته تجرعه نوش جام تعلیم و تریت، فضیلت و انسانیت آنها بوده ام و بهواره چراغ وجود شان روشنگر راه من در سختی ها و مشکلات بوده است.

- با پاس بی دین خدمت دوستان گران مایه ام خانم ها حسینی، معروفی، آتش سودا، بخشی، کرمی، بزرگری، ادسان، اساعیل نیا، سگ سفیدی، صاحبی نسب، خراسانی، مصدق، سلطانی، بیانی، توحیدی و آقایان کلی، تاشی، حمیدی، خویان، غفاری، فتحی، محمودی، اکبری، دیرانلو، نصرالی، بطامی، توکلی و عرفان که مراسمیانه و مشغله ایاری داده اند و باشگر خاصانه خدمت به کسانی که نوعی مراد به انجام رساندن این محظیانی نموده اند.

تعهد نامه

اینجانب ناهید طائفی دانشجوی دوره کارشناسی ارشد رشته زمین شناسی اقتصادی دانشکده علوم زمین دانشگاه صنعتی شهرود نویسنده پایان نامه بررسی ژئوکانه‌زایی مس همراه با سنگ‌های آتشفشاری و آتشفسانی - رسوی ائوسن، شمال ایران مرکزی، شرق و جنوب شرق شهرود تحت راهنمائی دکتر محمود صادقیان و فردین موسیوند متعهد می‌شوم.

- تحقيقات در این پایان نامه توسط اینجانب انجام شده است و از صحت و اصالت برخوردار است.
- در استفاده از نتایج پژوهش‌های محققان دیگر به مرجع مورد استفاده استناد شده است.
- مطلوب مندرج در پایان نامه تاکنون توسط خود یا فرد دیگری برای دریافت هیچ نوع مدرک یا امتیازی در هیچ جا ارائه نشده است.
- کلیه حقوق معنوی این اثر متعلق به دانشگاه صنعتی شهرود می‌باشد و مقالات مستخرج با نام « Shahrood University of Technology » به چاپ خواهد رسید.
- حقوق معنوی تمام افرادی که در به دست آمدن نتایج اصلی پایان نامه تأثیرگذار بوده اند در مقالات مستخرج از پایان نامه رعایت می‌گردد.
- در کلیه مراحل انجام این پایان نامه، در مواردی که از موجود زنده (یا بافت‌های آنها) استفاده شده است ضوابط و اصول اخلاقی رعایت شده است.
- در کلیه مراحل انجام این پایان نامه، در حوزه اطلاعات شخصی افراد دسترسی یافته یا استفاده شده است اصل رازداری ، ضوابط و اصول اخلاق انسانی رعایت شده است.

تاریخ

امضای دانشجو

مالکیت نتایج و حق نشر

- کلیه حقوق معنوی این اثر و محصولات آن (مقالات مستخرج ، کتاب ، برنامه های رایانه ای ، نرم افزار ها و تجهیزات ساخته شده است) متعلق به دانشگاه صنعتی شهرود می‌باشد . این مطلب باید به نحو مقتضی در تولیدات علمی مربوطه ذکر شود .
- استفاده از اطلاعات و نتایج موجود در پایان نامه بدون ذکر مرجع مجاز نمی‌باشد.

* متن این صفحه نیز باید در ابتدای نسخه های تکثیر شده پایان نامه وجود داشته باشد.

چکیده

کانسارهای مس چغدرسر مرکزی، شمالی و جنوبی، گریک، گورخان، نرتلویی، استغانی، گچکنوم، الهاک (۱) و الهاک (۲) حدوداً در فاصله ۱۰۰ تا ۱۲۰ کیلومتری شرق و جنوبشرق شهرود در لبهٔ شمال شرقی پهنه ساختاری ایران مرکزی واقع شده‌اند. توالی سنگی منطقه شامل سنگ‌های آتشفسانی و آتشفسانی-رسوبی می‌باشند. این منطقه از تناب گدازه‌های بازیک - حدواسط و سنگ‌های آذرآواری به سن ائوسن میانی تشکیل شده‌اند. سنگ‌های آتشفسانی مورد مطالعه دارای طیف ترکیبی اولیوین بازالت، تراکی آندزی بازالت و تراکی آندزیت هستند که بیانگر یک سری تفریقی از اولیوین بازالت تا تراکی آندزیت می‌باشند. این سنگ‌ها از عناصر نادرخاکی سبك و عناصر لیتوفیل بزرگ یون، غنی‌شدگی و از عناصر نادرخاکی سنگین، تهی‌شدگی نشان می‌دهند. آنومالی منفی عناصر با شدت میدان بالا مانند Ti و Nb در سنگ‌های مورد مطالعه از ویژگی‌های شاخص محیط‌های کمانی است. محیط تکتونیکی کانسار مس شرق و جنوب شرق شهرود با توجه به بررسی‌های ژئوشیمیایی صورت گرفته، محیط کششی است که در حوضه پشت کمان تشکیل گردیده است. کانی‌زایی در کانسارهای شرق و جنوب شرق شهرود به صورت رگه - رگچه‌ای، دانه پراکنده و پرنمودن حفرات صورت گرفته است. کانی‌های اولیه شامل کالکوسیت، بورنیت، مس طبیعی، پیریت و کالکوپیریت است. در اثر فرآیند هوازدگی، کانی‌های ثانویه اکسیدی و کربناتی نظیر کوپریت و ملاکیت در بخش‌های سطحی تشکیل شده‌اند. دگرسانی‌های غالب در سنگ میزبان شامل هماتیتی، کلریتی، سرسیتی، سیلیسی و کربناتی است. مطالعه میکروترموتری سیالات درگیر بر روی کلسیت رگه‌های کانه‌دار نشان می‌دهد که غالب سیالات، دو فازی و از نوع مایع - بخار (L+V) با شوری متوسط ۱۰/۰ درصد وزنی نمک طعام و میانگین دمای همگن شدن ۲۶۴ درجه سانتی گراد می‌باشند. با توجه به ویژگی‌های اساسی کانی‌زایی مس در منطقه شرق و جنوبشرق شهرود، از نظر محیط زمین‌ساختی، سنگ دربرگیرنده، کانی‌شناسی، محتوای فلزی، دگرسانی و شکل کانی‌سازی مشابهت زیادی با کانسارهای

مس نوع آتشفشانی - لایه سرخ دارد.

کلمات کلیدی: محیط کششی، پشت کمان، مس، آتشفشانی - لایه سرخ، شاهروند

مقالات مستخرج از پایان نامه

- کانی‌شناسی، ژئوشیمی و الگوی رخداد کانه‌زایی مس در مناطق گریگ و گورخان، جنوب شرق شاهروд، ششمین همایش انجمن زمین‌شناسی اقتصادی ایران شهریور ۱۳۹۳.
- کانی‌شناسی، ساخت و بافت و الگوی رخداد کانه‌زایی‌های مس نرتلویی و استغانی در جنوب شرق و جنوب شرق شاهرود، سازمان زمین‌شناسی و اکتشافات معدنی کشور بهمن ۱۳۹۲.

فهرست مطالب

صفحه	عنوان
	فصل اول: کلیات
۱	۱-۱- مقدمه
۲	۲-۱- موقعیت جغرافیائی و راههای دسترسی
۳	۳-۱- آب و هوای جغرافیای انسانی
۴	۴-۱- زمین ریخت‌شناسی منطقه
۵	۵-۱- مطالعات انجام شده قبلی
۵	۵-۱- طرح مسئله و اهمیت موضوع
۶	۶-۱- هدف مطالعه
۷	۷-۱- روش مطالعه انجام این تحقیق طی مراحل زیر صورت گرفته است
۷	۷-۱-۱- گردآوری اطلاعات
۸	۸-۱-۲- مطالعات آزمایشگاهی
۸	۸-۱-۹- رده‌بندی کانسارهای مس
۹	۹-۱-۱- کانسارهای مس ماگمایی - هیدروترمال
۹	۹-۱-۲- کانسارهای مس سولفید توده‌ای
۹	۹-۱-۳- کانسارهای مس ماگمایی
۹	۹-۱-۴- کانسارهای مس با میزبان رسوبی
۱۰	۱۰-۱-۵- کانسارهای مس تیپ کویناوی (تیپ مانتو و آتشفسانی لایه‌های سرخ)
۱۰	۱۰-۱-۶- فازهای کانی‌سازی مس در ایران

۱۱	- تیپ‌های کانی‌زایی مس در ایران
۱۲	- کانسارهای مس ماگمایی - هیدروترمال
۱۳	- کانسارهای مس سولفید توده‌ای
۱۴	- کانسارهای گروه مانتو (آتشفسانی - لایه سرخ یا کویناوی)
۱۴	- کانسارهای گروه مس با میزبان رسوبی
۱۵	- تاریخچه معدنکاری در مناطق مورد مطالعه

فصل دوم: زمین‌شناسی و سنگ‌شناسی محدوده مورد مطالعه

۱۸	- مقدمه
۱۹	- زمین‌شناسی عمومی محدوده مورد مطالعه
۲۵	- زمین‌شناسی ساختمانی
۲۶	- ۱-۳-۲ - گسل راندگی میامی
۲۷	- ۲-۳-۲ - خطواره‌های زمین‌ساختی
۲۸	- ۴-۲ - زمین‌شناسی اقتصادی
۳۰	- ۵-۲ - زمین‌شناسی و موقعیت کانسارهای مورد مطالعه
۳۰	- ۱-۵-۲ - کانسار چندسر شمالی
۳۳	- ۲-۵-۲ - کانسار چندسر مرکزی
۳۴	- ۳-۵-۲ - کانسار چندسر جنوبی
۳۵	- ۴-۵-۲ - کانسار گریک و گورخان
۳۷	- ۵-۵-۲ - کانسار نرتلویی
۳۸	- ۶-۵-۲ - کانسار استغانی
۴۰	- ۷-۵-۲ - کانسار عباس‌آباد

۴۲ کانسار الهاک (۱)	۵-۲-۸
۴۳ کانسار الهاک (۲)	۵-۲-۹
۴۴ کانسار روگرو	۵-۲-۱۰

فصل سوم: کانه‌زایی و دگرسانی

۴۸ کانه‌زایی	۳-۱-۱
۵۰ کانه‌زایی در چغندرسر شمالی	۳-۱-۱-۱
۵۲ کانه‌زایی در چغندرسر مرکزی	۳-۱-۱-۲
۵۴ کانه‌زایی در روگرو	۳-۱-۱-۳
۵۵ کانه‌زایی در منطقه استغانی	۳-۱-۱-۴
۵۶ کانه‌زایی در منطقه نرتلویی	۳-۱-۱-۵
۵۸ کانه‌زایی در چغندرسر جنوبی	۳-۱-۱-۶
۶۰ کانه‌زایی در عباس‌آباد	۳-۱-۱-۷
۶۱ کانه‌زایی در گریک و گورخان	۳-۱-۱-۸
۶۲ کانه‌زایی در الهاک (۲)	۳-۱-۹
۶۴ دگرسانی	۳-۲-۲
۶۶ دگرسانی در چغندرسر شمالی	۳-۲-۱-۱
۶۷ دگرسانی در چغندرسر مرکزی	۳-۲-۲-۲
۶۹ دگرسانی در چغندرسر جنوبی	۳-۲-۲-۳
۷۰ دگرسانی در گریک و گورخان	۳-۲-۴-۴
۷۱ دگرسانی در نرتلویی	۳-۲-۵-۵
۷۳ دگرسانی در الهاک (۱) و (۲)	۳-۲-۶-۶

۷۵	۳-۲-۷- دگرسانی در روگرو
فصل چهارم: کانی‌شناسی، ساخت، بافت و توالی پاراژنتیکی	
۷۸	۴-۱- مقدمه
۷۸	۴-۲- ساخت و بافت ماده معدنی در کانسارهای شرق و جنوب شرق شهرود
۸۰	۴-۳- کانه‌های اصلی در منطقه شرق و جنوب شرق شهرود
۸۰	۴-۳-۱- چوندرسرشمالي، جنوبی و مرکزي
۸۳	۴-۳-۲- گريک و گورخان
۸۴	۴-۳-۳- روگرو
۸۵	۴-۳-۴- استغانی و نرتلوبی
۸۸	۴-۴- پاراژنز
فصل پنجم: ژئوشيمى	
۹۲	۵-۱- مقدمه
۹۲	۵-۲- ژئوشيمى مس
۹۳	۵-۳- ژئوشيمى عناصر اصلی و كمياب
۹۴	۵-۳-۱- تصحيح مربوط به حذف مواد فرآر (L.O.I)
۹۴	۵-۳-۲- عناصر كمياب
۱۰۹	۵-۴- عناصر نادر خاکى
۱۱۰	۵-۵- نمودارهای عنکبوتی
۱۲۲	۵-۶- شيمى کانی‌ها

فصل ششم: سیالات درگیر

۱۲۶	۶-۱- مقدمه
۱۲۷	۶-۲- نمونه برداری و آماده سازی نمونه ها
۱۲۸	۶-۳- پتروگرافی سیالات درگیر
۱۳۱	۶-۴- مطالعات دما سنگی سیالات درگیر
۱۳۳	۶-۵- چگالی سیال

فصل هفتم: نتیجه گیری، الگوی تشكیل، تیپ کانه زایی

۱۳۶	۷-۱- مقدمه
۱۳۶	۷-۲- شواهد ژنتیکی حاصل از مطالعات انجام شده
۱۳۶	۷-۲-۱- مطالعات سنگ شناسی
۱۳۷	۷-۲-۲- شواهد ساختاری
۱۳۸	۷-۲-۳- مشاهدات کانی شناسی، ساخت و بافت
۱۳۹	۷-۲-۴- دگرسانی و کانه زایی
۱۴۲	۷-۲-۵- سیالات درگیر
۱۴۳	۷-۲-۶- ژئوشیمی
۱۴۴	۷-۳- الگوی تشكیل و نحوه کانه زایی صورت گرفته
۱۴۴	۷-۳-۱- فرورانش و تشكیل حوضه آتش فشانی - رسوبی پشت کمانی
۱۴۵	۷-۳-۲- دیاژنز و دگرگونی دفنی
۱۴۶	۷-۳-۳- بالآمدگی و چین خوردگی
۱۴۷	۷-۳-۴- مرحله هوازدگی
۱۴۷	۷-۴- مدل پیشنهادی تیپ کانه زایی کانسارهای شرق و جنوب شرق شاهروند

۱۴۸.....	۱-۴-۷ - کانسارهای مس تیپ میشیگان
۱۵۰.....	۲-۴-۷ - کانسارهای مس نوع آتشفشنی - لایه سرخ
۱۵۴.....	۳-۴-۷ - کانسارهای مس نوع مانتو
۱۵۸.....	۴-۴-۷ - مقایسه کانسارهای تیپ مس آتشفشنی شرق و جنوب شهرود
۱۶۲.....	۵-۷ - شرایط فیزیکوشیمیایی تشکیل
۱۶۲.....	۱-۵-۷ - منشاء عناصر
۱۶۲.....	۲-۵-۷ - شرایط تهنشست
۱۶۴.....	۶-۷ - پیشنهادات تحقیقاتی و اکتشافی

فهرست شکل‌ها

شکل ۱-۱) راه‌های ارتباطی منطقه مطالعاتی عباس‌آباد.....	۳
شکل ۲-۱) موقعیت مناطق مورد مطالعه بر روی تصویر ماهواره‌ای لندست	۴
شکل ۳-۱) نقشه پهنه‌های ساختاری ایران.....	۱۳
شکل ۴-۱) سرباره‌های مس موجود در پیرامون معدن متروکه روگرو	۱۵
شکل ۱-۵) تصاویری از تونل‌های دنباله‌رو.....	۱۶
شکل ۱-۲) موقعیت محدوده مورد مطالعه در نقشه زمین‌شناسی ساختاری ایران.....	۱۸
شکل ۲-۲) محیط زمین ساخت کمانی منطقه مورد مطالعه	۲۱
شکل ۳-۲) نقشه بازسازی شده براساس مشاهدات صحرایی	۲۱
شکل ۴-۲) تصویر صحرایی از توالی سنگی در دامنه جنوب شرقی کوه قبله	۲۲
شکل ۵-۲) نمایی از دایک‌ها به سن ژوراسیک میانی.....	۲۳
شکل ۶-۲) شمایی از ساختارهای اصلی منطقه در نقشه زمین‌شناسی	۲۷
شکل ۷-۲) بخشی از نقشه خطواره‌های زمین‌ساختی منطقه مورد مطالعه	۲۷
شکل ۸-۲) تصویر ماهواره‌ای تعدادی از اندیس‌های معدنی ایران مرکزی	۲۸
شکل ۹-۲) تعدادی از اندیس‌ها در ارتباط با نوار ماغمایی شمال ایران مرکزی	۲۸
شکل ۱۰-۲) بخشی از گسل‌های منطقه چغدرسر شمالی	۳۰
شکل ۱۱-۲) رخنمونی از واحد بازالتی در منطقه چغدرسر شمالی.....	۳۰
شکل ۱۲-۲) بخشی از نقشه گسل‌های منطقه چغدرسر شمالی	۳۱
شکل ۱۳-۲) نمایش پهنه‌ی برشی	۳۱
شکل ۱۴-۲) تصویری از گسل خوردگی و ایجاد پهنه‌های برشی در منطقه چغدرسر شمالی.....	۳۲
شکل ۱۵-۲) تصویری از زئولیت با ساختار شعاعی درون حفرات بازالتها	۳۲
شکل ۱۶-۲) تصویری از بازالت حاوی فنوکریست‌های فراوان پلازیوکلаз	۳۳

شکل ۱۷-۲) حضور زئولیت‌هایی با ساخت شعاعی درون سنگ‌های آتشفسانی	۳۳
شکل ۱۸-۲) واحدهای آگلومرایی با سخت‌شدگی نسبتاً ضعیف موجود در منطقه چغندسر.....	۳۴
شکل ۱۹-۲) واحدهای تراکی بازالتی با ضخامت زیاد و ریخت‌شناسی مرتفع.....	۳۵
شکل ۲۰-۲) توالی آگلومرا و بازالتی	۳۵
شکل ۲۱-۲) مورفولوژی مناطق گورخان و گریک	۳۶
شکل ۲۲-۲) نقشه و نیمیرخ ناودیس گورخان	۳۶
شکل ۲۳-۲) تصویری از بازالت‌های حاوی پیروکسن و الیوین	۳۷
شکل ۲۴-۲) نمونه دستی از پیروکسن بازالت‌ها	۳۸
شکل ۲۵-۲) درزهای و شکستگی‌ها	۳۸
شکل ۲۶-۲) تصویری از منطقه معدنی کانسار استغانی	۳۹
شکل ۲۷-۲) رخنمونی از بازالت‌ها و واحدهای توفی	۳۹
شکل ۲۸-۲) بازالت‌های ضخیم همراه با واحد بین لایه‌ای	۴۰
شکل ۲۹-۲) چین‌خوردگی و لایه‌بندی در منطقه عباس‌آباد	۴۰
شکل ۳۰-۲) وجود فنوکریست‌های اولیوین و پیروکسن	۴۱
شکل ۳۱-۲) تجزیه‌شدگی در حاشیه بلور و ایدنگریتی شدن بلورهای اولیوین	۴۱
شکل ۳۲-۲) تصویری از آگلومرا و کریستال لیتیک توفیت‌های قرمزنگ	۴۲
شکل ۳۳-۲) تصویر باسازی شده از لایه‌های قرمز همراه با آگلومرا و بازالت‌ها	۴۲
شکل ۳۴-۲) برخورد میان گدازه و آهک	۴۳
شکل ۳۵-۲) تصویری از انباشتگی نومولیت‌های ریز و درشت در کنار یکدیگر	۴۳
شکل ۳۶-۲) موقعیت منطقه روگرو در تصاویر ماهواره‌ای، صحرایی و نقشه زمین‌شناسی	۴۴
شکل ۳۷-۲) واحد آگلومرائی در جنوب‌غرب منطقه روگرو	۴۵
شکل ۱-۳) تصویری کلی از کانه‌زایی‌های مناطق مورد مطالعه	۴۹

..... ۴۹	شکل ۲-۳) نقشه زمین‌شناسی و موقعیت کانسارها
..... ۵۰	شکل ۳-۳) موقعیت کانسار مس چندرسر شمالی در تصاویر لندست و زمین‌شناسی
..... ۵۰	شکل ۴-۳) موقعیت پهنه برشی و رگه و رگچه‌های سولفیدی
..... ۵۱	شکل ۵-۳) نمایی از کانه‌زایی‌های صورت گرفته در پهنه برشی
..... ۵۱	شکل ۶-۳) رگه کالکوسیت داخل سنگ میزبان بازالتی
..... ۵۲	شکل ۷-۳) شکل‌گیری زئولیت در بازالت‌ها
..... ۵۳	شکل ۸-۳) نمایی از ترانشه ایجاد شده در منطقه چندرسر مرکزی.
..... ۵۳	شکل ۹-۳) کانه‌زایی کالکوسیت به صورت رگه‌ای در بازالت‌ها.
..... ۵۴	شکل ۱۰-۳) کانه‌زایی سولفیدی همراه با دگرسانی هماتیتی در سنگ میزبان بازالتی
..... ۵۴	شکل ۱۱-۳) کانه‌زایی کالکوسیت و ملاکیت همراه با ایجاد دگرسانی هماتیتی
..... ۵۵	شکل ۱۲-۳) کانه‌زایی مس در حفرات و شکستگی‌های سنگ‌های بازالتی در منطقه روگرو
..... ۵۶	شکل ۱۳-۳) تصویری از حفاری‌های صورت گرفته در امتداد پهنه یک گسل
..... ۵۶	شکل ۱۴-۳) کانه‌زایی کالکوسیت و ملاکیت صورت گرفته در بازالت‌های منطقه
..... ۵۷	شکل ۱۵-۳) موقعیت کانسار نرتلویی و تعدادی از معدن‌کاری‌های قدیمی
..... ۵۷	شکل ۱۶-۳) ملاکیت و کالکوسیت در داخل رگه و رگچه‌ها و حفرات بادامکی
..... ۵۸	شکل ۱۷-۳) نمایی از کارگاه‌های موجود در کانسار نرتلویی
..... ۵۸	شکل ۱۸-۳) تصاویر ماهواره‌ای از منطقه چندرسر جنوبی
..... ۵۹	شکل ۱۹-۳) شکستگی‌های حاوی کانی‌های مس‌دار
..... ۵۹	شکل ۲۰-۳) رگه‌های پر شده توسط کلسیت
..... ۶۰	شکل ۲۱-۳) شکستگی‌های بدون کانه‌زایی
..... ۶۰	شکل ۲۲-۳) تصاویری از تونل و ترانشه حفر شده در امتداد لایه‌بندی
..... ۶۱	شکل ۲۳-۳) کانه‌زایی کالکوسیت، به صورت رگه و رگچه در بازالت‌ها

شکل ۲۴-۳) مس طبیعی به صورت رگهای درون بازالتها	۶۲
شکل ۲۵-۳) محل عبور گسل امتدادلنگ و جابه‌جایی آهک نومولیت‌دار	۶۳
شکل ۲۶-۳) برش گسلی با دگرسانی سوسوریتی همراه با تصویر میکروسکوپی	۶۶
شکل ۲۷-۳) دگرسانی هماتیتی در بازالتها و همراه با تصویر میکروسکوپی	۶۶
شکل ۲۸-۳) دگرسانی هماتیتی بر اثر گسل خوردگی و شکستگی	۶۷
شکل ۲۹-۳) دگرسانی کربناتی در حاشیه رگهای همراه با تصویر میکروسکوپی	۶۸
شکل ۳۰-۳) دگرسانی کلریتی در رگه و رگچه‌های معدنی در اثر فرایندهای گرمابی	۶۹
شکل ۳۱-۳) نمایی از هماتیتی و کلریتی شدن بازالتها به موازات رگهای رگچه‌ها	۶۹
شکل ۳۲-۳) نمایی از دگرسانی کلریتی و هماتیتی همراه با تصاویر میکروسکوپی	۷۰
شکل ۳۳-۳) دگرسانی کربناتی به صورت رگه و رگچه‌ای در بازالتها	۷۱
شکل ۳۴-۳) نمایی از دگرسانی کربناتی به همراه پرشدگی حفرات بادامکی	۷۱
شکل ۳۵-۳) نمایی از دگرسانی کلریتی در سنگ‌های بازالتی	۷۲
شکل ۳۶-۳) دگرسانی هماتیتی در سنگ‌های بازالتی	۷۲
شکل ۳۷-۳) نمایی از دگرسانی هماتیتی در کریستال لیتیک توفیت‌های قرمز	۷۳
شکل ۳۸-۳) نمایی از دگرسانی هماتیتی به همراه تصویر میکروسکوپی	۷۳
شکل ۳۹-۳) دگرسانی کربناتی و دگرسانی سیلیسی در شمال الہاک (۱)	۷۴
شکل ۴۰-۳) دگرسانی سیلیسی همراه با کانه‌زایی کالکوسیت در منطقه الہاک (۲)	۷۴
شکل ۴۱-۳) نمایی از دگرسانی کربناتی در سطح آگلومراها و هیدروکلاستها	۷۵
شکل ۴۱-۴) نمونه‌دستی از رگه سولفیدی در منطقه چغندرسر جنوبی	۷۹
شکل ۴۲-۴) نمونه دستی از رخساره رگه-رگچه‌ای و هاله دگرسانی	۷۹
شکل ۴۳-۴) تصویر میکروسکوپی از نمونه کالکوپیریت به صورت دانه پراکنده	۷۹
شکل ۴۴-۴) نمونه دستی از کالکوسیت به صورت رگهای در بازالتها در چغندرسر جنوبی	۸۰

- شکل ۴-۵) بورنیت به رنگ قهوه‌ای به دو صورت دانه پراکنده ۸۱
- شکل ۴-۶) کالکوپیریت و بورنیت در سنگ‌های میزبان بازالتی در چندسر شمالی ۸۲
- شکل ۴-۷) تصویری از کالکوپیریت (Cpy) بورنیت (Bn) و کالکوسیت (Cc) ۸۲
- شکل ۴-۸) تصویر میکروسکوپی مس طبیعی (Cu) در بازالتها ۸۴
- شکل ۴-۹) نمونه دستی از ملاکیت‌های منطقه روگرو ۸۵
- شکل ۴-۱۰) کانه‌زایی کالکوسیت و ملاکیت با ساخت رگه‌ای در منطقه استغانی ۸۵
- شکل ۴-۱۱) تصویر میکروسکوپی مس طبیعی (Cu)، هماتیت (Hem) و ملاکیت (Mal) ۸۶
- شکل ۴-۱۲) تصویری میکروسکوپی از کوپریت (Cup) و ملاکیت (Mal) ۸۷
- شکل ۴-۱۳) نمونه دستی از سرباره کوره ذوب مس در منطقه استغانی ۸۸
- شکل ۴-۱۴) نمودار $(\text{SiO}_2/\text{Na}_2\text{O}+\text{K}_2\text{O}) \text{ TAS}$ ۹۹
- شکل ۴-۱۵) موقعیت نمونه‌های مورد مطالعه بر روی نمودار Zr/TiO_2 در مقابل Y/Nb ۹۹
- شکل ۴-۱۶) موقعیت سنگ‌های آتشفسانی منطقه شرق و جنوب‌شرق شاهرود ۱۰۰
- شکل ۴-۱۷) ردبهندی سنگ‌های آتشفسانی منطقه در نمودار $(\text{SiO}_2/\text{Na}_2\text{O}+\text{K}_2\text{O}) \text{ TAS}$ ۱۰۰
- شکل ۴-۱۸) موقعیت سنگ‌های آتشفسانی در نمودار سه‌تایی $\text{Al}-\text{Mg}-\text{Fe}^{\text{T}}+\text{Ti}$ ۱۰۱
- شکل ۴-۱۹) نمودارهای $\text{MgO}-\text{FeO}-\text{Al}_2\text{O}_3$ ۱۰۲
- شکل ۴-۲۰) موقعیت نمونه‌های بازالتی در نمودارهای SiO_2 در برابر MgO/FeO ۱۰۲
- شکل ۴-۲۱) موقعیت نمونه‌های آتشفسانی در نمودار سه‌تایی $\text{Y}-\text{Zr}/4-2\text{Nb}$ ۱۰۳
- شکل ۴-۲۲) نمودارهای سه‌تایی $\text{Hf}/3-\text{Th}-\text{Ta}$, $\text{Hf}/3-\text{Th}-\text{Nb}/16$, $\text{Zr}/117-\text{Th}-\text{Nb}/16$ ۱۰۳
- شکل ۴-۲۳) نمودارهای سه‌تایی $\text{Ti}/100-\text{Zr}-{}^{3*}\text{Y}$, $\text{Ti}/100-\text{Zr}-\text{Sr}/2$, $\text{Ti}-\text{Zr}$ ۱۰۴
- شکل ۴-۲۴) نمودارهای $\text{Ti}-\text{Zr}-\text{Sr}/2$ ۱۰۵
- شکل ۴-۲۵) موقعیت نمونه‌های مورد مطالعه در نمودار AFM ۱۰۵
- شکل ۴-۲۶) تقسیم‌بندی سنگ‌های آلکالن با استفاده از نمودار k_{20} در مقابل سیلیس ۱۰۶

شکل ۱۴-۵) نمودار عناصر اصلی در برابر سیلیس در نمونه‌های مورد مطالعه	۱۰۹
شکل ۱۵-۵) فراوانی عناصر نادر خاکی در ترکیب میانگین پوسته زمین	۱۱۰
شکل ۱۶-۵) نمودار عناصر کمیاب در گوشته اولیه	۱۱۱
شکل ۱۷-۵) نمودار عناصر کمیاب در سنگ به گوشته اولیه	۱۱۳
شکل ۱۸-۵) نمودار عناصر کمیاب در سنگ‌های آتشفسانی شرق و جنوب‌شرق شهرود	۱۱۴
شکل ۱۹-۵) نمودار عناصر نادر خاکی در منطقه گورخان	۱۱۵
شکل ۲۰-۵) عناصر نادر خاکی در منطقه گورخان	۱۱۶
شکل ۲۱-۵) نمودار عناصر نادر خاکی در منطقه گریک	۱۱۶
شکل ۲۲-۵) نمودار عناصر نادر خاکی در منطقه نرتلویی	۱۱۷
شکل ۲۳-۵) تغییرات فراوانی مس و عناصر فلزی بارز نظیر سرب و روی	۱۱۸
شکل ۲۴-۵) فراوانی مقادیر مس و نقره	۱۱۹
شکل ۲۵-۵) همبستگی بین کانسنگ‌های مس و بازالت‌های دگرسان شده	۱۲۰
شکل ۲۶-۵) نمودار تغییرات میزان عناصر اصلی در کانسارهای شرق و جنوب‌شرق شهرود	۱۲۱
شکل ۱-۶) حفره پر شده با کوارتز در منطقه نرتلویی	۱۲۷
شکل ۲-۶) کوارتز با ساخت فضایپرکن همراه با ماده معدنی از منطقه الهاک ۲	۱۲۸
شکل ۳-۶) سیال درگیر اولیه دو فازی (L+V)	۱۲۹
شکل ۴-۶) سیالات ثانویه کاذب در متن بلور	۱۳۰
شکل ۵-۶) سیال درگیر تک فازی پر شده از گاز	۱۳۰
شکل ۶-۶) فراوانی درجه شوری سیالات درگیر در کانسار استغانی	۱۳۲
شکل ۷-۶) فراوانی درجه همگن شدن سیالات درگیر در کانسار استغانی	۱۳۳
شکل ۸-۶) آخرین نقطه ذوب یخ سیالات درگیر در کانسار استغانی	۱۳۳
شکل ۹-۶) نمودار تعیین چگالی سیال با استفاده از دمای همگن شدن و شوری	۱۳۴

شکل ۱-۷) تصاویر ماهواره‌ای منطقه شرق و جنوب شرق شاهروд.....	۱۳۷
شکل ۲-۷) نمایش راستای شکستگی‌ها و گسل‌های منطقه شرق و جنوب شرق شاهرود.....	۱۳۸
شکل ۳-۷) تصویری از نهشته‌های مس در داخل بازالتها	۱۴۰
شکل ۴-۷) تصویری از رخنمون منطقه چغندرسر شمالی همراه با کانه‌زایی ایجاد شده	۱۴۱
شکل ۵-۷) تصویر بازسازی شده از نهشته‌های مس در محدوده معدن چغندرسر شمالی.....	۱۴۱
شکل ۶-۷) تغییرات مقادیر عناصر فلزی و غیرفلزی کانی‌های مس دار	۱۴۲
شکل ۷-۷) موقعیت داده‌های سرمایش و گرمایش کانی کلسیت	۱۴۳
شکل ۸-۷) فعالیت‌های ریفت‌زایی و گسترش سیستم‌های گرابنی در منطقه پشت کمانی.....	۱۴۵
شکل ۹-۷) مرحله تشکیل حوضه آتشفشانی – رسوبی و گسترش بیشتر حوضه	۱۴۵
شکل ۱۰-۷) فرآیند دیاژنز و دگرگونی تدفینی.....	۱۴۶
شکل ۱۱-۷) بالآمدگی و چین‌خوردگی‌ها.....	۱۴۶
شکل ۱۲-۷) موقعیت و پراکندگی برخی از کانسارهای مس	۱۴۸
شکل ۱۳-۷) طرح شماتیک از کانه‌زایی	۱۵۱
شکل ۱۴-۷) طرح شماتیکی از توالی آتشفشانی و نمایش مهاجرت سیالات مس دار.....	۱۵۲
شکل ۱۵-۷) طرح شماتیکی از نمایش پهنه‌بندی کانی‌ها	۱۵۳
شکل ۱۶-۷) پراکندگی کانسارهای مس در لایه‌های سرخ آتشفشانی.....	۱۵۸
شکل ۱۷-۷) ترکیبات مس در دیاگرام PH, Eh در محیط‌های اسیدی	۱۶۳
شکل ۱۸-۷) ترکیبات مس در دیاگرام PH, Eh	۱۶۳

فهرست جداول

جدول ۱-۳) مشخصات سنگ‌شناسی و دگرسانی ۶۵
جدول ۱-۴) نتایج آنالیز XRF، برای نمونه‌های کانسارهای شرق و جنوب شرق شاهرود ۹۵
جدول ۲-۵) داده‌های آنالیز ICP-MS برای کانسارهای شرق شاهرود ۹۶
جدول ۳-۵) نتایج آنالیز EPMA برای کالکوپیریت در یک نمونه کانسنگ از چوندرسرشمالی ۱۲۲
جدول ۱-۶) نتایج آنالیزهای دماسنگی، در نمونه‌های منطقه استغانی و نرتلویی ۱۳۱
جدول ۱-۷) مقایسه کانسار مس شرق و جنوب‌شرق شاهرود با تیپ میشیگان ۱۵۶
جدول ۲-۷) مقایسه کانسار مناطق شرق و جنوب‌شرق شاهروド و سایر نقاط جهان ۱۵۷
جدول ۳-۷) مقایسه کانسارهای مناطق شرق و جنوب شرق شاهرود ۱۵۵
جدول ۴-۷) مقایسه کانسارهای شرق و جنوب شرق شاهرود و سایر نقاط ایران ۱۵۶

فصل اول

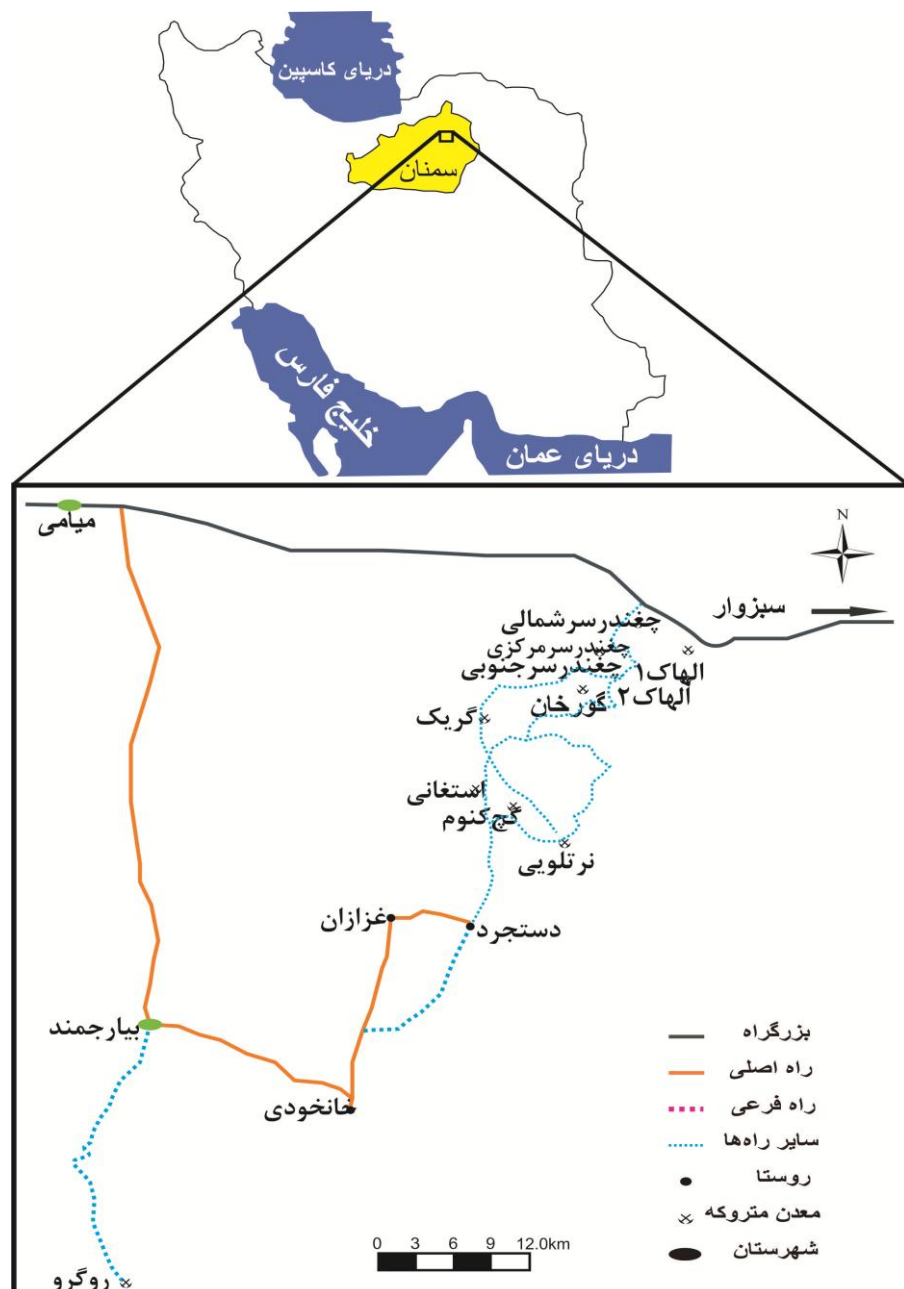
کلمات

۱-۱ مقدمه

سرزمین پهناور ایران به دلیل قرارگیری در کمربند جهانی مس بدون شک یکی از ذخایر مهم این فلز در دنیا محسوب می‌شود. ذخایر موجود در کشور از دیرباز مورد توجه قرار گرفته است. مس و آلیاژهای آن به دلیل خواص فیزیکی و شیمیایی و کاربردهای فراوان در صنعت بهویژه در صنایع مخابراتی، الکتریکی، نظامی، راهآهن و کشتی‌سازی و ... همواره مورد توجه بوده است. به همین دلیل میزان مصرف آن در رده‌بندی جهانی فلزات پس از آهن و آلومینیوم قرار دارد. با توجه به آنچه که عنوان شد و نظر به جایگاه و ارزش اقتصادی این فلز در رشد و توسعه و جایگاهی که در تولید و صادرات غیر نفتی کشور دارد، نیازمند آن هستیم که منابع موجود را به خوبی شناخته و مورد تجزیه و تحلیل قرار دهیم، بدون شک شناخت واقعی یک ذخیره یا نشانه معدنی زمانی امکان‌پذیر است که کلیه عوامل مؤثر در ایجاد و تشکیل آن مورد شناسایی و بررسی علمی قرار گیرد.

۱-۲ موقعیت جغرافیائی و راههای دسترسی

محدوده مورد مطالعه در استان سمنان در ۱۲۰ کیلومتری شرق و جنوب‌شرق شهرود بین طول‌های "۱۰°۰'۰" تا "۵۶°۱۷'۵" شرقی و عرض‌های جغرافیایی "۳۶°۱۴'۳" تا "۳۶°۰'۱" تا "۳۶°۰'۰" شمالی قرار می‌گیرند. این مناطق از نظر تقسیمات زمین‌شناسی در منتهی‌الیه شمالی پهنه ایران مرکزی قرار دارند. مهم‌ترین راه ارتباطی مناطق مورد مطالعه جاده اصلی شهرود - سبزوار می‌باشد. دسترسی به مناطق موردنظر از طریق راههای فرعی بیارجمند - روگرو، خانخودی - دستجرد، دستجرد - گریک، الهاک - چغندرسر، امکان‌پذیر است. مناطق مورد مطالعه به همراه راههای ارتباطی در شکل ۱-۱ آورده شده است.



شکل ۱-۱ راه‌های ارتباطی منطقه مطالعاتی عباس‌آباد

۳-۱ آب‌وهوا و جغرافیای انسانی

این مناطق از لحاظ آب‌وهوایی، دارای آب‌وهوای خشک می‌باشند. به دلیل عدم وجود آب کافی در این مناطق، کشاورزی محدود و دامداری و دامپروری نیز به ندرت در این مناطق دیده می‌شود. پوشش گیاهی این مناطق به بوته‌ها و درختچه‌های کوتاه محدود می‌شود که در مقابل خشکی مقاوم می‌باشند. به دلیل آب‌وهوای خشک و عدم بارندگی در این مناطق، بعضی از روستاهای آن فاقد سکنه

بوده‌اند و به صورت ساختمان مخربه وجود دارند. در ضمن تعدادی زیادی آغل گوسفند در منطقه قرار دارد که راه‌های منتهی به آن‌ها، دسترسی به مناطق مورد مطالعه را آسان‌تر می‌سازد. چندین حلقه چاه در بعضی از این مناطق دیده می‌شود که آب آن‌ها برای شرب دام‌ها استفاده می‌شود.

۴-۱ زمین‌ریخت‌شناسی منطقه

به طور کلی، منطقه مورد مطالعه داری ریخت‌شناسی ملایم و کم ارتفاع بوده ولی در بعضی از مناطق توالی ضخیمی از سنگ‌های آتشفسانی و نهشته‌های هیدروکلاستی رخنمون دارند. شیب کلی این مناطق ۳۰ تا ۴۰ درجه می‌باشد. ضخامت افق‌های گدازه از چند سانتی‌متر تا چندین متر متغیر است. سنگ‌های کنگلومرازی واقع در قسمت قاعده‌ای این مجموعه آتشفسانی از ریخت‌شناسی ملایم‌تر و پست‌تری برخوردار هستند. بنابراین با توجه به بازدیدهای صورت گرفته و تصاویر تهیه شده از این مناطق می‌توان نتیجه‌گیری کرد که واحدهای کم ارتفاع‌تر و هموارتر را آگلومراها تشکیل می‌دهند و اغلب واحدهای مرتفع، افق‌های گدازه‌ای با ترکیب کلی باالتی می‌باشند (شکل ۲-۱).



شکل ۲-۱) موقعیت مناطق مورد مطالعه بر روی تصویر ماهواره‌ای لندست.

۱-۵- مطالعات انجام شده قبلی

وجود ماده معدنی در حوزه استان سمنان، خصوصاً شرق شهرود از زمان‌های بسیار قدیم شناخته شده می‌باشد، به طور خاص کانه‌سازی مس شرق و جنوب‌شرق شهرود توجه محققین بسیاری را به خود معطوف داشته است. که از آن جمله می‌توان به موارد زیر اشاره کرد:

- خلعتبری (۱۳۸۰)، نقشه زمین‌شناسی ۱:۱۰۰۰۰۰ عباس‌آباد و مهرپرتو (۱۳۸۰)، نقشه

زمین‌شناسی ۱:۱۰۰۰۰۰ میامی را تهیه کرده‌اند. در این نقشه‌ها واحد سنگی، چینه‌شناسی و ساختمانی منطقه به خوبی تفکیک شده‌اند.

- بادامه (۱۳۸۲)، پتروژنر سنگ‌های آتشفسانی منطقه میاندشت، شرق شهرود را در قالب پایان‌نامه کارشناسی ارشد خود مطالعه کرده است.

- موسوی شاهروdi (۱۳۸۸)، پترولوزی و ژئوشیمی سنگ‌های منطقه آتشفسانی منطقه چغندرس (جنوب - غرب عباس‌آباد) و کانه‌زایی وابسته به آن را مورد بحث و بررسی قرار داد.

- الهیاری (۱۳۸۹)، پتروژنر سنگ‌های آذرین ائوسن فوقانی نوار ماگمایی کاهک - عباس‌آباد را مورد مطالعه قرار داده است.

- رضوی (۱۳۹۰)، بررسی پترولوزی و ژئوشیمی سنگ‌های آتشفسانی ناحیه داورزن - سبزوار در قالب پایان‌نامه ارشد خود مورد مطالعه قرار داده است.

- مردانی (۱۳۹۰) پترولوزی، ژئوشیمی و تحلیل رخساره‌ای سنگ‌های آتشفسانی و آتشفسانی رسوبی - منطقه پهناواز (جنوب بیارجمند - شهرود) را مورد مطالعه قرار داد.

۱-۶- طرح مسئله و اهمیت موضوع

کانه‌زایی‌های متعدد مس در ورقه ۱:۱۰۰۰۰۰ زمین‌شناسی عباس‌آباد (خلعتبری، ۱۳۸۰)، در ایران مرکزی در مجموعه سنگ‌های آتشفسانی و آتشفسانی- رسوبی ائوسن رخنمون دارند. با توجه به برداشت‌هایی که از معادن مس طی سال‌های گذشته صورت پذیرفته است و اهمیتی که فلز مس در

تمام تمدن‌ها و دولت‌های گذشته داشته است، اهمیت آن در برنامه‌ریزی بلند مدت، مطالعه و اکتشاف منابع و ذخایر جدید در حال حاضر امری ضروری می‌باشد. نظر به عدم انجام مطالعات زمین‌شناسی، کانی‌شناسی، ژئوشیمی و مشخص نبودن الگوی تشکیل کانسارهای مورد مطالعه انجام تحقیق حاضر بر روی کانه‌زایی مس در منطقه از جهت علمی حائز اهمیت فراوان می‌باشد. ضمن آن‌که مطالعه حاضر می‌تواند کلیدهای اکتشافی جهت پی‌جویی و اکتشاف ذخایر مشابه را مشخص‌تر نماید. در این تحقیق تلاش می‌شود تا با استفاده از روش‌های علمی، شناخت کامل‌تری از فرایندهای کانه‌زا در معادن مس منطقه کسب نموده و کلیدهای اکتشافی جهت اکتشاف منابع و ذخایر جدید و انجام فعالیت‌های معادنی گسترش‌دار ارائه گردد.

۷-۱ هدف مطالعه

در داخل سنگ‌های آتشفسانی و آتشفسانی – رسوبی ایوسن شمال ایران مرکزی اندیس‌ها و کانسارهای متعددی از کانه‌زایی مس تشکیل شده است. برخی از این کانسارها از گسترش قابل توجهی برخوردار بوده، به‌طوری‌که در گذشته مورد بهره‌برداری قرار گرفته‌اند. از جمله این کانه‌زایی‌ها می‌توان به کانسار چغندرسر (شمالی، جنوبی، مرکزی)، کانسار مس روگرو (جنوب بیارجمند)، کانسار گورخان (شمال شرق بیارجمند)، کانسار گریک، کانسار نرتلویی، کانسار استغانی، کانسار گچ‌کنوم و کانسار الهاک (۱) و (۲) اشاره کرد. کانی‌شناسی این مناطق غالباً از نوع مالاکیت، کالکوسيت، هماتیت، مس طبیعی و به مقدار کمتر کوولین، پیریت و کالکوپیریت می‌باشد. بندرت بورنیت نیز همراه این اندیس‌ها مشاهده شده است. هرچند در مورد ژنز کانه‌زایی، پترولوزی و ژئوشیمی کانسار عباس‌آباد مطالعات تخصصی صورت گرفته است، لیکن بر روی سایر کانه‌زایی‌های صورت گرفته مطالعه جامعی انجام نشده است. بنابراین به منظور پی‌بردن به ماهیت کانه‌زایی صورت گرفته در این منطقه و شناخت نحوه تشکیل آن، سعی شده است براساس مطالعه زمین‌شناسی، کانی‌شناسی، ژئوشیمی و عوامل کنترل کننده تشکیل و تمرکز ماده معادنی، به چگونگی رخداد کانه‌زایی در این مناطق پی

از مهم‌ترین اهداف این پژوهش می‌توان به موارد زیر اشاره نمود.

- بررسی دقیق روابط صحرایی بین واحدهای سنگی موجود و مناطق کانه‌سازی شده از لحاظ سن و ساختار
- بررسی کانی‌شناسی کانسارهای مس منطقه
- تعیین روابط ژئوشیمیایی و ماهیت ژئوشیمیایی آن‌ها
- بررسی ماهیت ژئوشیمیایی کانه‌های موجود در منطقه و بررسی از لحاظ عناصر کمیاب و نادرخاکی
- اصلاح نقشه‌های تهیه شده قبلی براساس مطالعات صحرایی، پتروگرافی و ژئوشیمیایی صورت گرفته

۱-۸-۱- روش مطالعه انجام این تحقیق طی مراحل زیر صورت گرفته است.

۱-۸-۱- گردآوری اطلاعات

- تهیه و مطالعه کتب و مقالات مرتبط با موضوع پایان‌نامه
- گردآوری نقشه‌های زمین‌شناسی ۱:۱۰۰۰۰ عباس‌آباد و میامی، تصاویر ماهواره‌ای و مطالعه گزارش‌ها و مقالات مرتبط با مناطق مورد مطالعه
- بررسی مطالعات صورت گرفته در منطقه و مقایسه آن با مناطق هم‌جوار
- انجام چندین نوبت عملیات صحرایی به مدت ۹ روز و بازدید از معادن متروکه روگرو، چغندرسر (شمالی، جنوبی، مرکزی) الهاک (۱) و (۲)، نرتلویی، استغانی، گچ کنوم، قلعه گریک، عباس‌آباد و چندین مورد معادن متروکه فاقد اسم خاص
- مطالعه کانه‌های موجود و رابطه آن با سنگ میزبان آن‌ها و نمونه‌برداری انتخابی از واحدهای آذرین و رسوبی مختلف بر اساس تنوع بافتی، کانی‌شناسی و سنگ‌شناسی

- بررسی کانه‌زایی در ارتباط با پدیده‌های ساختاری مثل گسل‌ها و چین‌خوردگی‌ها

۱-۸-۲- مطالعات آزمایشگاهی

- تهیه ۶۰ مقطع صیقلی و نازک صیقلی از نمونه‌های جمع‌آوری شده و مطالعات آن‌ها

- آنالیز ۱۱ نمونه به روش فلورسانس اشعه ایکس (XRF)، به منظور تعیین میزان عناصر اصلی و

فرعی در سنگ‌های موجود در منطقه، توسط آزمایشگاه شرکت فرآوری مواد معدنی ایران

- آنالیز ۱۵ نمونه به منظور تعیین میزان عناصر کمیاب (Trace) و عناصر نادر خاکی به روش ICP-

در آزمایشگاه Acme MS کانادا

- تهیه مقطع نازک صیقلی از نمونه‌ها جهت مطالعات الکترون پروب (EPMA)، بافت و پاراژنز کانه‌ها

- تهیه مقطع نازک دوبر صیقلی از کانی‌های شفاف همراه با کانه‌زایی، جهت مطالعات ادخال‌های سیال

- تجزیه و تحلیل داده‌های ژئوشیمیایی توسط نرم‌افزارهای GCDket، IGPET، Excel، Arc Gis

.....CorelDraw، Global Mapper

- بررسی مراجع و اطلاعات زمین‌شناسی منتشر شده قبلي و استفاده از سایت‌های اطلاعاتی اینترنتی،

مطالعات کتابخانه‌ای، گفتگوی شفاهی با اساتید مربوطه، تهیه تصاویر ماهواره‌ای و زمین‌شناسی

- مطالعه پایان‌نامه‌ها، مقالات و کتب مرتبط با موضوع این تحقیق

- ترسیم نقشه‌های زمین‌شناسی منطقه و راه‌ها با استفاده از نرم‌افزار Arc GIS

- جمع‌بندی نتایج حاصل از مطالعات صحرایی، پتروگرافی، ژئوشیمیایی و فرایندهای مؤثر زمین‌ساخت

در تشکیل کانسارهای موجود و همچنین مطالعه مقالات به منظور تعیین منشأ و تیپ این کانه‌زایی‌ها

و مقایسه آن با نهشته‌های مشابه در جهان

۱-۹- رده‌بندی کانسارهای مس

Kesler (۱۹۹۴)، کانسارهای مس را بر اساس خصوصیات ژنتیکی آن‌ها به ۵ گروه اصلی تقسیم

نموده است که عبارت‌اند از:

۱-۹-۱- کانسارهای مس ماگمایی - هیدروترمال

مجموعه کانسارهای مس ماگمایی - هیدروترمال یعنی سیستم‌های پورفیری، اسکارنی و رگه‌های حاوی کانه‌های مس‌دار را شامل می‌شود.

۱-۹-۲- کانسارهای مس سولفید توده‌ای

این تیپ کانسارها خود به روش‌های مختلفی به دسته‌های متعددی از کانسارها تقسیم می‌شوند که یکی از کاربردی‌ترین این روش‌ها دسته‌بندی آن‌ها بر اساس سنگ دربرگیرنده کانه‌زایی است که به چند دسته متفاوت تقسیم می‌شوند و هر یک شرایط تشکیل و محیط تکتونیکی متفاوتی دارد. این دسته‌ها شامل قبرسی، بتورست، کوروکو، نوراندا و بشی هستند (Mosier et al., 2009; Gally et al., 2007; Franklin., 1996) براساس دسته‌بندی دیگر کانسارهای سولفید توده‌ای به پنج دسته سیلیسی کلاستیک فلزیک، بایمودال فلزیک، بایمودال مافیک، پلیتیک مافیک و مافیک الترامافیک تقسیم می‌شوند (Franklin et al., 2005).

۱-۹-۳- کانسارهای مس ماگمایی

این تیپ کانسارها حاصل تحول و تکامل ماگما نظیر تبلور تفریقی می‌باشند. تعداد این نوع کانسارها در دنیا محدود است اما به طور معمول تناظر بالایی دارند.

۱-۹-۴- کانسارهای مس با میزبان رسوی

در این تیپ کانسارها سنگ میزبان کانه‌زایی به طور عمدۀ رسوبات تخریبی هستند که نفوذ‌پذیری بالایی دارند. این کانسارها تحت تأثیر فرآیندهای رسوی - دیاژنزی و در مواردی اپیژنتیک ایجاد می‌شوند و معمولاً به دلیل چینه‌کران بودن دارای ضخامت کم اما گسترش فراوان هستند.

۱-۹-۵- کانسارهای مس تیپ کویناوی (تیپ مانتو^۱ و آتشفشنی لایه‌های سرخ^۲)

این کانسارها دارای سنگ میزبان آتشفشنی هستند و از نظر بسیاری خصوصیات مشابه کانه‌زایی سیستم‌های مانتو و مس‌های تیپ آتشفشنی - لایه سرخ می‌باشند (Kirkham, 1996; Lefebure., 1996). کانسارهای تیپ مانتو در شیلی گسترش دارند و کانسارهای تیپ آتشفشنی - لایه سرخ بطور عمده در آمریکای شمالی شناسایی و معرفی شده‌اند. یکی از بارزترین خصوصیات این گروه از کانسارها هندسه چینه‌کران و واقع شدن آن‌ها در سنگ میزبانی آتشفشنی یا آتشفشنی- رسوی است و به همین دلیل این کانسارها به نام کانسارهای مس بازالتی نیز در جهان معروف‌اند (Kirkham, 1996). در شیلی این گروه از کانسارها در میان سیستم‌های پورفیری عظیم واقع شده، به عنوان سومین منبع مس پس از سیستم‌های پورفیری و IOCG مطرح هستند و با نام مانتو شناسایی می‌شوند (Maksaev et al., 2003). در آمریکا این تیپ کانساری را تحت عنوان کویناوی نام‌گذاری نموده‌اند و در کانادا نیز به نام آتشفشنی - لایه سرخ معروف هستند (کیرکام^۳، ۱۹۹۶).

۱-۱۰- فازهای کانی‌سازی مس در ایران

در ایران آثار و نشانه‌های معدنی مس از دامنه زمانی پروتروزوئیک پسین تا پلیوسن گزارش شده است. اما بیشتر ذخایر مس در ترشیری و بهویژه ائوسن و الیگوسن تشکیل شده‌اند (قربانی، ۱۳۸۱). به طور کلی فازهای کانی‌سازی مس در ایران به شرح زیر است (شکل ۱-۳):

پرکامبرین پسین- کامبرین پیشین: در ناحیه یاسوج و در شهرکرد (ده معدن) همراه سنگ‌های کامبرین پیشین چند مورد کانه‌زایی مس دیده شده که از نظر اقتصادی فعلاً حائز اهمیت نیستند (قربانی، ۱۳۸۱).

پالئوزوئیک پیشین: همراه برخی از سنگ‌های دگرگونی پالئوزوئیک پیشین مانند سری تکنار با سن

۱ Manto-type

۲ Volcanic Red Bed

۳ Kirkham

اردویسین (کانسار سولفید توده‌ای تکنار)، آثار و شواهدی از کانه‌زایی مس شناخته شده

است (Karimpour et al., 2005). ملک‌زاده شفارودی و همکاران، (۱۳۸۳).

ژوراسیک-کرتاسه: نشانه‌های متعدد مس در سنگ‌های رسوی- تخریبی ژوراسیک- کرتاسه در

ناحیه وسیعی از جنوب راور (کانسار مس رسوی مارکشه) تا شمال طبس مشاهده می‌شود

(مهدوی و همکاران، ۱۳۸۶ و ۱۳۸۷). همچنین از این دوره زمانی کانسار مس جیان در بوانات قابل

ذکر است (موسیوند و همکاران، ۱۳۸۱، موسیوند و همکاران، ۱۳۸۲).

کرتاسه- پالئوسن: همراه با مجموعه افیولیتی کرتاسه پایانی- پالئوسن شواهدی از ذخایر سولفید

توده‌ای در ایران شناخته شده است، که از آن جمله می‌توان نشانه‌های معدنی مس در ناحیه حاجی-

آباد بندرعباس و کانسار مس شیخ عالی در جنوب شرق بافت را نام برد (منظومی میر علیپور،

۱۳۷۷). همچنین در این دوره، کانسار نوده و نشانه‌های معدنی جنوب غرب سبزوار قابل ذکر است

(مفوروی و همکاران، ۱۳۹۰).

ترشیری: بیشتر ذخایر مس ایران در بازه زمانی ترشیری تشکیل شده‌اند. اغلب این ذخایر

وابستگی تنگاتنگی با سنگ‌های ماگمایی ترشیری دارند.

۱۱-۱- تیپ‌های کانی‌زایی مس در ایران

مهم‌ترین کانسارهای مس شناخته شده در ایران، کانسارهای پورفیری و اسکارنی هستند که

برخی از این کانسارها مانند سرچشم، میدوک و سونگون شهرت جهانی دارند. از دیگر

گروه‌های کانساری مس در ایران کانسارهای گروه سولفید توده‌ای، کانسارهای گروه مانتو

(آتشفشاری - لایه سرخ یا کویناوا) و کانسارهای مس با میزبان رسوی هستند (شکل ۱-۳).

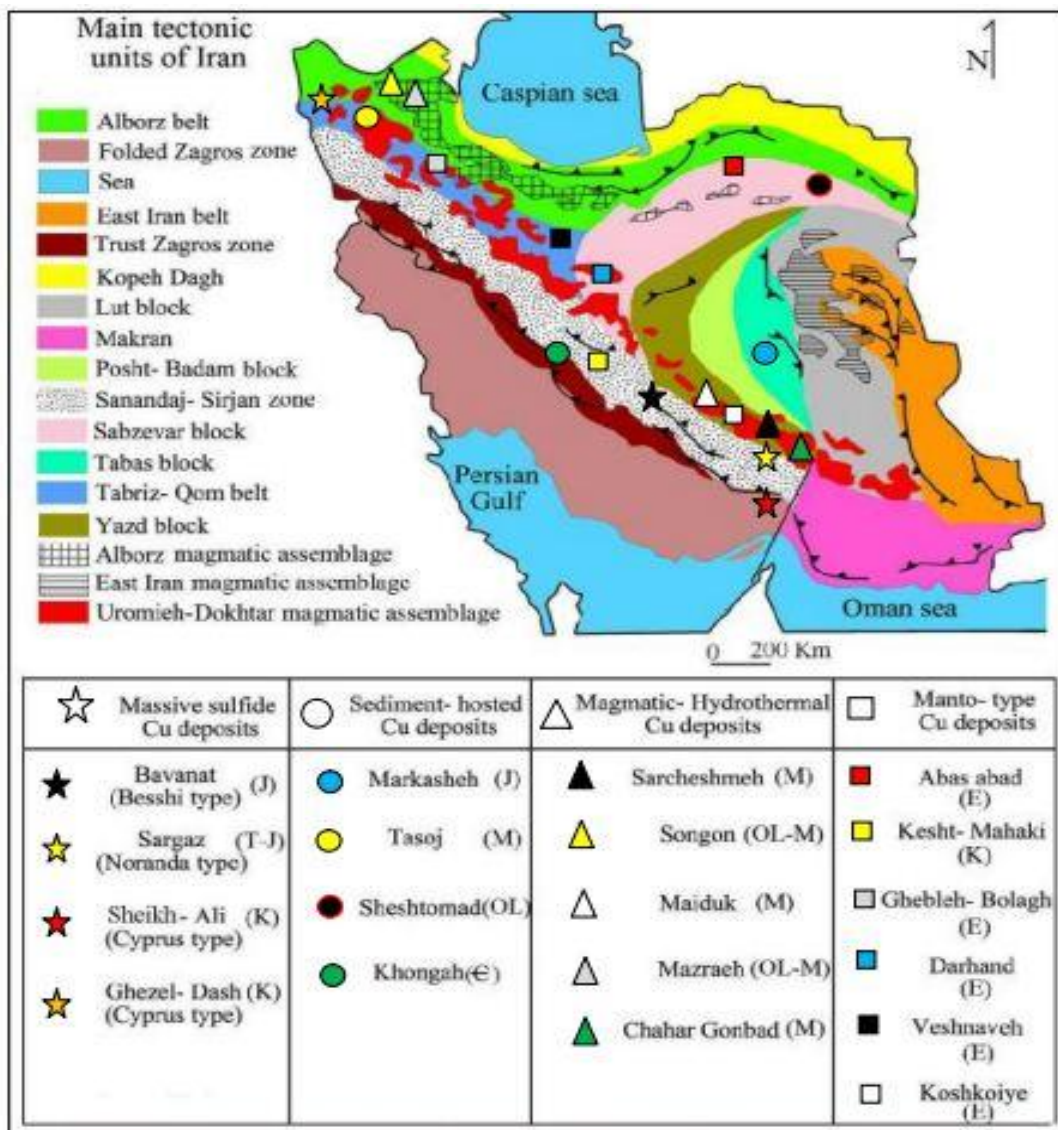
تنها گروه کانساری که در ایران تاکنون شناسایی نشده است کانسارهای مس ماگمایی است. در

زیر شرح مختصراً از انواع تیپ‌های مختلف کانساری مس در ایران ارائه می‌شود:

۱-۱-۱- کانسارهای مس ماگمایی - هیدروترمال (سیستم‌های پورفیری،

اسکارن و رگه‌ای)

این گروه کانسارها در ایران و خصوصاً در پهنه ارومیه - دختر که مهم‌ترین پهنه ولکانوپلoton ایران را تشکیل می‌دهد به تعداد فراوانی کشف شده‌اند. بزرگ‌ترین معادن مس ایران یعنی سرچشم، سونگون و میدوک که در این پهنه واقع شده‌اند، در این گروه دسته بندی می‌شوند. همچنانی از جمله این کانسارها در شرق ایران می‌توان به کانسار ماهرآباد اشاره نمود (ملک‌زاده و همکاران، ۱۳۸۸). مطالعات گسترده‌ای بر روی این تیپ کانه‌زایی در ایران مخصوصاً در ناحیه کرمان، از قدیم تاکنون صورت گرفته است (Waterman & Hamilton, 1975; Shafiei et al., 2009; Shahabpour et al., 1987).



شکل ۱-۳) نقشه پهنه‌های ساختاری ایران (Aghanabati, 2003) که موقعیت ذخایر انواع تیپ‌های مس بر روی آن نشان داده شده است. در ضمن گستره زمانی آن‌ها با نمادهای € (کامبرین)، T (تریاس)، J (ژوراسیک)، K (کرتاسه)، E (میوسن)، OL (الیگوسن)، M (میوسن) نمایش داده شده است (مغفوری، ۱۳۹۱).

۱-۱-۲- کانسارهای مس سولفید توده‌ای

این گروه کانساری در دنیا یکی از مهم‌ترین گروه‌های کانساری مس و سرب و روی را تشکیل می‌دهند و در ایران تقریباً تمامی تیپ‌های این گروه کانساری شناسایی شده‌اند که به طور عمده در پهنه سنندج- سیرجان قرار گرفته‌اند. این کانسارها در حوضه‌های کششی موجود در محیط‌های مختلف زمین ساخت ایجاد می‌شوند و در کشش‌های ایجاد شده در محیط کمربند

ماگمایی مزوزوئیک سندج- سیرجان نیز این کانسارها ایجاد شده‌اند (موسیوند، ۱۳۹۰) تیپ‌های مس‌دار شناسایی شده از این گروه در ایران شامل کانسار مس- روی (نقره) تیپ بشی بوانات در کمپلکس دگرگون سوریان (موسیوند و همکاران، ۱۳۸۱)، کانسار مس- روی (سرب) تیپ نوراندا سرگز (بدرزاده و همکاران، ۱۳۸۸) در زیر پهنه سرگز- متاع، کانسار مس- روی تیپ قبرسی شیخ عالی (منظمي و همکاران، ۱۳۷۷) و قزل‌داش (Aftabi et al., 2006) می‌باشند (شکل ۱-۳).

۱-۱-۳- کانسارهای گروه مانتو (آتشفسانی - لایه سرخ یا کویناوی)

کانسارهای گروه مانتو در ایران به طور عمده دارای سنگ میزبان با سن ائوسن پسین هستند (سامانی، ۱۳۸۱). کانسارهای موجود در منطقه عباس‌آباد شهرود یکی از مهم‌ترین این کانسارها در ایران را شامل می‌شوند. (Kirkham, 1996, Khadem, 1964) کانسارهای کشت محکی (بویری و همکاران، ۱۳۸۹)، قبله بولاغ (بهزادی، ۱۳۷۳)، و وشنویه (مهرابی و همکاران، ۱۳۸۰) نیز در این گروه قرار می‌گیرند. به جز کانسار کشت محکی که در پهنه سندج- سیرجان واقع است و سن کانه‌زایی در آن مربوط به کرتاسه است، سایر کانسارهای گروه مانتو شناسایی شده در ایران دارای سن ائوسن هستند.

۱-۱-۴- کانسارهای گروه مس با میزبان رسوبی

این گروه کانسارها نیز در ایران شناسایی شده‌اند که عمدتاً دارای سنگ میزبان تخریبی هستند. Hitzman et تشکیل این کانسارها تحت تأثیر فرایندهای رسوبی - دیاژنزی صورت گرفته است (2005 al.). کانسارهای شناسایی شده از تیپ لایه‌های سرخ^۱ در ایران شامل کانسار مارکشه (مهدوی و همکاران، ۱۳۸۷)، کانسارهای شمال تربت حیدریه (سپهری راد، ۱۳۸۸) و کانسار تسوج (تقی زاده و همکاران، ۱۳۸۶) می‌باشند.

¹ Red Bed

۱۲-۱- تاریخچه معدن کاری در مناطق مورد مطالعه

کانسار و اندیس‌های مس شرق و جنوب‌شرق شهرود عمدهاً در سه دوره زمانی شاخص مورد بهره‌برداری قرار گرفته‌اند.

دوره اول که به دوره شدادی معروف است عمدهاً به صورت حفاری‌های کوچک مقیاس و در امتداد رگه و به صورت راهروها یا تونل‌های باریک و عمیق می‌باشند. اصطلاح شدادی برای معدن کاری و معادن قدیمی رها شده در ایران به کار می‌رود. معادن شدادی دارای ویژگی‌های زیر هستند: در معدن کاری و معدن جویی، از دانش غربی بهره گرفته نشده و تمام دانش معدن کاری و معدن جویی، توسط ایرانیان انجام گرفته است. در معدن کاری، از هیچ‌گونه مواد انفجاری و ماشین‌آلات که دارای نیروی محرکه بوده است، استفاده نشده است. به طور عمده، این نوع معدن کاری به پیش از دوره عباس میرزا باز می‌گردد (شکل ۱-۴). جای شکفتی است که تاکنون، کمتر کانسار فلزی شناخته‌ایم که جای پای گذشتگانمان را در آنجا ندیده باشیم (قربانی، ۱۳۸۱).



شکل ۱-۴) سرباره‌های مس موجود در پیرامون معدن متروکه روگرو، جنوب بیار جمند (شرق و جنوب شرق شهرود).

دوره دوم: بهره‌برداری از این اندیس‌های مس به ۳۰-۷۰ سال قبل بر می‌گردد که عمدهاً به صورت چاهک، اتاق پایه، تونلی دنباله رگه و به ندرت روباز می‌باشد. تونل‌های دنباله‌رو (دنباله لایه) در مواردی که ماده معدنی تنها از یک لایه یا رگه تشکیل شده باشد و بوسیله تونل عمود بر لایه قطع می‌گردد، این نوع از بهره‌برداری در شکل ۱-۵ نشان داده شده است.



شکل ۱-۵) تصاویری از تونل‌های دنباله‌رو که در گذشته به منظور استخراج مس حفر شده است.

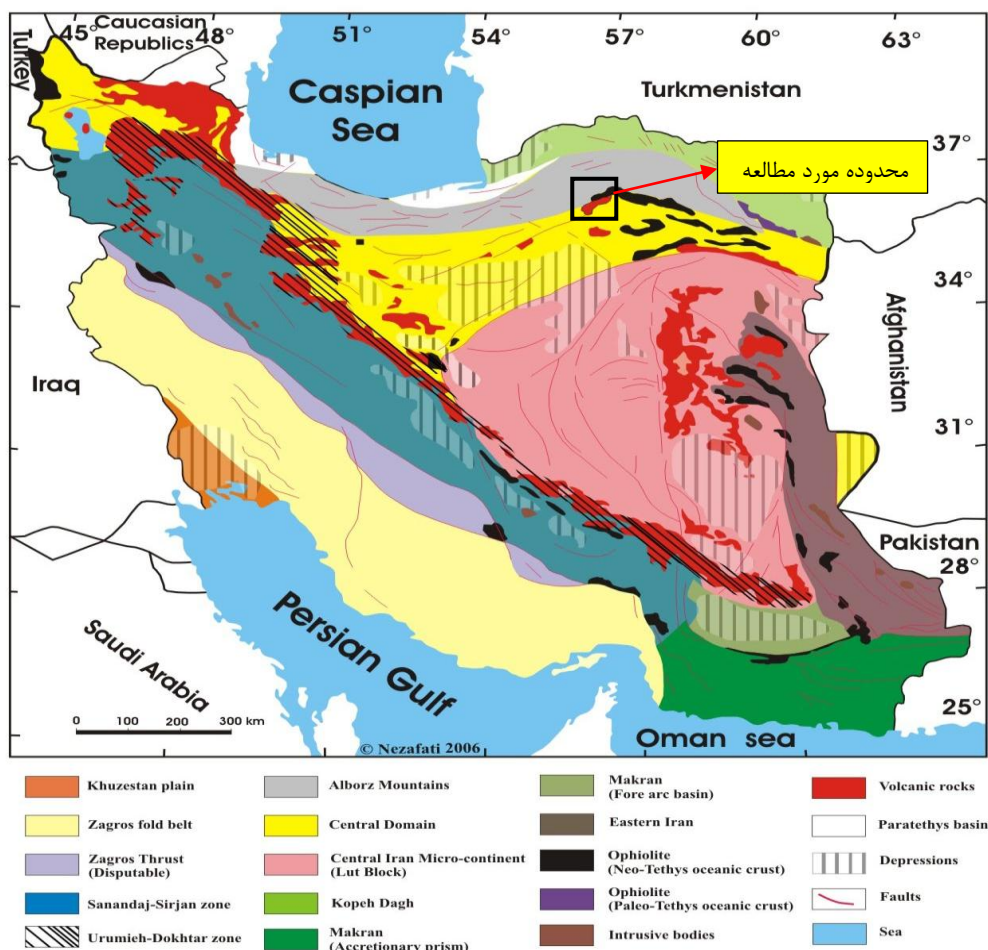
دوره سوم: مربوط به فعالیت‌های استخراجی هستند، این کانسارها غالباً تمایل دارند از سیستم‌های روباز پیروی کنند و مواد معدنی استخراج شده را به روش شستشوی شیمیایی و عمدتاً به کمک اسیدسولفوریک بازیافت می‌کنند.

فصل دوم

زین‌شناسی و سگشناشی محدوده مورد مطالعه

۱-۲ مقدمه

محدوده مورد مطالعه در ورقه ۱:۱۰۰۰۰ عباس آباد (خلعتبری، ۱۳۸۰) جای دارد. این محدوده در شرق و جنوب شرق شاهرود واقع شده و بخشی از شمال پهنه زمین‌ساختی ایران مرکزی محسوب می‌شود (شکل ۱-۲). این ناحیه به لحاظ چینه‌شناسی بروزندهایی از نئوپرتوزوئیک پایانی تا سنوزوئیک را در بر می‌گیرد. در این فصل به تشریح چینه‌شناسی، مagmaتیسم، زمین‌شناسی ساختاری، و زمین‌شناسی اقتصادی محدوده مورد مطالعه و در انتها به بیان ویژگی‌های زمین‌شناسی و سنگ‌شناسی هر یک از کانسارهای مورد مطالعه پرداخته خواهد شد.



شکل ۱-۲) موقعیت محدوده مورد مطالعه در نقشه زمین‌شناسی ساختاری ایران (آقانباتی، ۱۳۸۳).

۲-۲- زمین‌شناسی عمومی محدوده مورد مطالعه

براساس امتدادهای ساختاری (گسل‌های اصلی)، اشتولکلین و نبوی (۱۹۷۳)، فلات ایران را به هشت پهنه؛ زاگرس چین‌خورده، زاگرس رانده، پهنه دگرگونی سنندج – سیرجان، کمان ماقمایی ارومیه – دختر، ایران مرکزی، البرز، کپه داغ و شرق ایران تقسیم کرده‌اند. محدوده مورد مطالعه در بخش شمالی پهنه ایران مرکزی قرار دارد این پهنه از نظر زمین‌ساخت منطقه‌ای فعال می‌باشد و در کمربند کوه‌زایی آلب – هیمالیا قرار گرفته است. ظاهراً فعالیت ماقمایی این پهنه در همه‌ی زمان‌ها وجود داشته، اما اوج این فعالیت‌ها در ائوسن بوده است. به طور کلی قبل از ائوسن فعالیت ماقمایی کم بوده است. ژئوشیمی سنگ‌های ماقمایی کرتاسه‌ی پسین و سنوزوئیک (ائوسن) نشان می‌دهد که آن‌ها غالباً در حاشیه‌ی قاره‌ای فعال تشکیل شده‌اند (تکین، ۱۹۷۲؛ بربریان، ۱۹۸۱؛ سنگور، ۱۹۸۴؛ معین وزیری، ۱۹۸۵؛ سنگور و همکاران، ۱۹۹۴؛ ریکو، ۱۹۹۶؛ سنگور و ناتالین، ۱۹۹۶؛ مهجل و فرگوسن، ۲۰۰۰؛ عزیزی و جهانگیری، ۲۰۰۶؛ عزیزی و معین وزیری، ۲۰۰۷ و ۲۰۰۸). با دور شدن از محل فرورانش (در سمت جنوبی ایران مرکزی) ماهیت ماقمایها تغییر می‌کند، به‌طوری که از سمت زاگرس به سمت ایران مرکزی، عمق شروع ذوب افزایش یافته و ماهیت ماقمایها بیشتر از نوع کالک‌آلکالن با درصد ذوب بالاتر به آلکالن با درصد ذوب کمتر تغییر می‌کند. کمربند ماقمایی سنوزوئیک ایران مرکزی، شامل سنگ‌های آذرین درونی و بیرونی ائوسن تا کواترنری است. به دنبال فاز فشارشی کرتاسه پایانی که با دگرگونی، چین‌خوردگی، بالآمدگی و جابجایی افیولیت‌ها همراه بوده است. سنگ‌های ماقمایی ائوسن، دارای تنوع رخساره‌ای بوده و با توجه به فعال بودن ایران مرکزی از نظر زمین‌ساختی در طول ائوسن، در ارتباط با رخساره‌های نهشته شده مربوط به محیط‌های قاره‌ای تا دریائی، وجود رسوبات کم‌عمق دریایی و رخساره‌های قاره‌ای، نشانه‌ی تناب و پیشروی‌ها و پسروی‌های دریایی کم‌عمق می‌باشد که روی مواد آتشفسانی را پوشانده است (درویش زاده، ۱۳۸۲). همراه این مجموعه‌های آتشفسانی و آتشفسانی رسوبی، اندیس‌ها و کانسارهای متعددی از کانه‌زایی مس مشاهده شده است.

محدوده مورد مطالعه از نظر زیر پهنه‌های ساختاری، جزئی از پهنه ساختاری سبزوار محسوب می‌شود.

سیر تکامل پهنه سبزوار بر اساس مدل ارائه شده بوسیله‌ی (Rossetti et al. 2010) از زمان کرتاسه‌ی

زیرین تا ائوسن عبارت است از:

۱) کرتاسه زیرین: شرایط زمین ساخت پهنه سبزوار را می‌توان با شروع فروزانش اقیانوس نئوتیس

در طول پهنه سندج- سیرجان در زمان کرتاسه‌ی زیرین بازسازی کرد (Ghasemi& Talbot, 2006;

(Agard et al., 2007; Rossetti et al., 2010). به طرف شمال‌شرق، این پهنه فروزانشی به اقیانوس

سیستان وصل می‌شود و همین عامل باعث شکل‌گیری یک پهنه فروزانشی مرکب (اقیانوس نئوتیس

و اقیانوس سیستان) در طول حاشیه اوراسیا می‌شود (Ghasemi& Talbot, 2006; Agard et al., 2007; Rossetti et al., 2010

۲) کرتاسه پسین: در زمان کرتاسه پسین فرروزانش درون اقیانوسی (Intra oceanic) در نئوتیس

توسعه یافته که با شکل‌گیری زمین‌درز جزایر کمانی (Island Arc- Continent Suturing) و راندگی

افیولیت‌ها در طول حاشیه‌ی غربی (افیولیت‌های عمان) دنبال شده است. در ادامه فرروزانش، حوضه

کششی پشت‌کمانی (Extentional Back Arc basin) سبزوار- نائین، در بخش بالایی پلیت فرروزانش

نئوتیس تشکیل شده که با فاز اصلی ماغماتیسم در پهنه سندج سیرجان همزمان بوده است

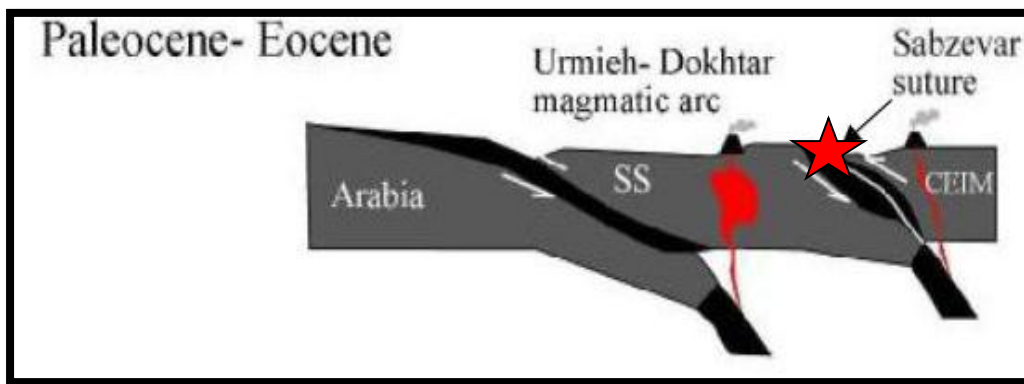
.(Agard et al, 2007; Omrani et al., 2008; Rossetti et al., 2010)

۳) در زمان پالئوسن- ائوسن: زمین درزی بین ورقه ایران و عربی تشکیل شده است که حاصل

بسیه شدن اقیانوس Back-Arc سبزوار بین CEIM و حاشیه اوراسیا می‌باشد (Berbrian and

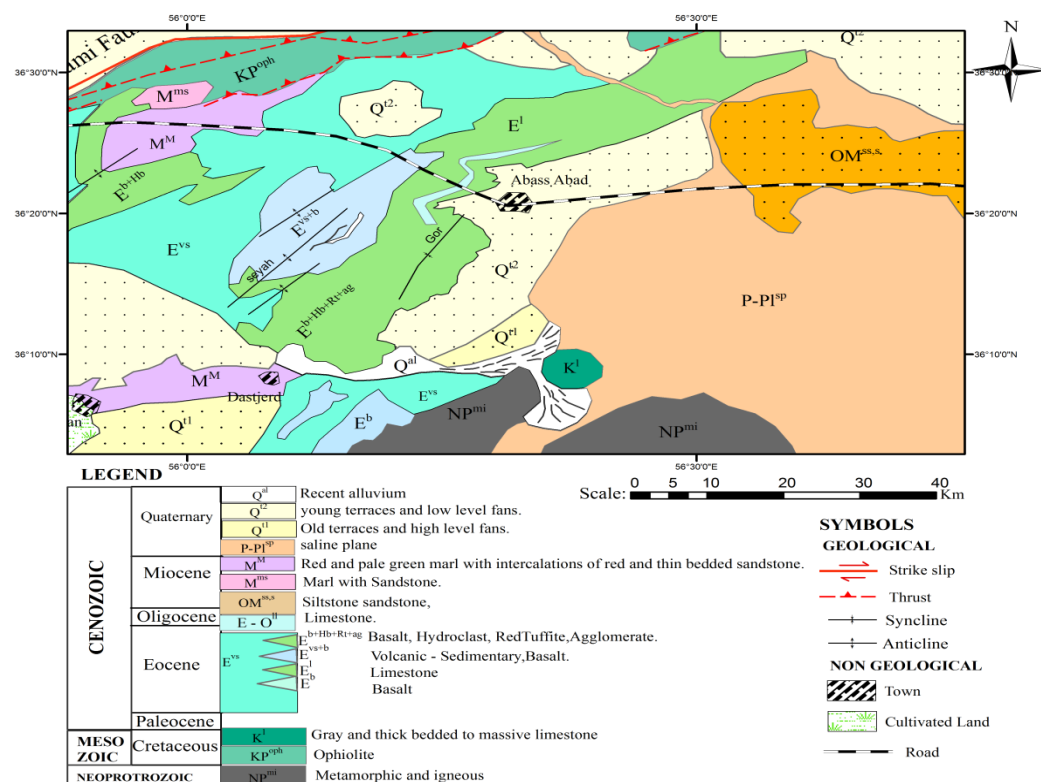
Berbrian, 1981; Arvin et al., 2007; Omrani et al., 2008; Rossetti et al., 2010)

موقعیت منطقه مورد مطالعه مشخص شده است.

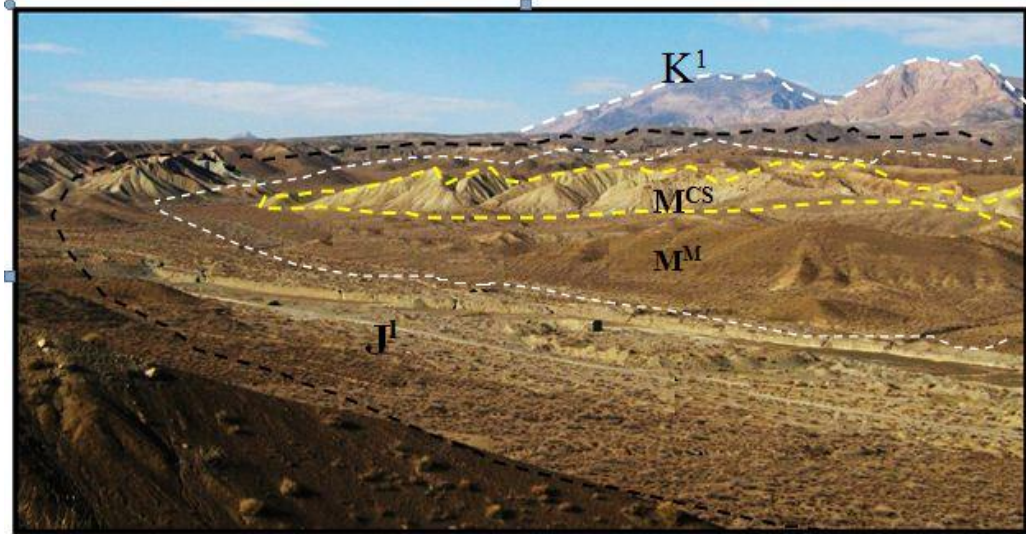


شکل ۲-۲) محیط زمین ساخت کمانی منطقه مورد مطالعه(علامت ستاره) ناشی از زمین‌درز سبزوار در زمان پالئوسن- ائوسن (روزتی و همکاران، ۲۰۱۰).

واحدهای سنگ چینه‌ای این محدوده، سنگ‌هایی از نئوپروتربوزوئیک تا کواترنر را شامل می‌شود (شکل ۲-۳). در این منطقه سنگ‌های دگرگونه با سن نئوپروتربوزوئیک، سری افیولیتی کرتاسه، سنگ‌های آتشفشاری و آتشفشاری رسوی ائوسن زیرین تا بالائی، سنگ‌های رسوی - آتشفشاری ائوسن بالائی - الیگوسن، سنگ‌های رسوی میوسن و پلیوسن رخنمون دارند (شکل ۴-۲).



شکل ۳-۲) نقشه بازسازی شده براساس مشاهدات صحرایی



شکل ۴-۲) تصویر صحرا ایی از توالی سنگی در دامنه جنوب شرقی کوه قبله، غرب جاده بیارجمند (دید به سوی شمال غرب).

واحدهای نئوپروتروزوئیک:

یکی از قدیمی‌ترین مناطق پی‌سنگ ایران مرکزی محسوب می‌شوند. این واحد سنگی در ۱۳۰ کیلومتری جنوب شاهرود (منطقه بیارجمند)، در حاشیه شمالی پهنه ایران مرکزی قرار دارد. این مجموعه از چهار گروه ترکیبی متاپلیتی، متاماسه‌سنگی، متاکربناتی تا بازیکی تشکیل شده است (شکل ۳-۲). شواهد صحرا ایی نشان می‌دهد پرتوولیت این مجموعه متشكل از تنابع شیل و ماسه‌سنگ همراه با لایه‌های کربناته در بخش‌های بالای بوده است. این مجموعه توسط تعدادی دایک دیابازی به سن اواخر نئوپروتروزوئیک- اوایل کامبرین قطع شده‌اند. که در طی دگرگونی به متاپلیت‌های آمفیبولیت، آمفیبولیت و گارنت آمفیبولیت تحول یافته‌اند. این توالی رسوبی و دایک‌های دیابازی تزریق شده در آن‌ها متحمل دگرگونی ناحیه‌ای دما- فشار متوسط (نوع بارووین) شده‌اند (بلاغی و همکاران، ۱۳۹۳) (شکل ۵-۲).



شکل ۲-۵) نمایی از دایک‌های به سن ژوراسیک میانی که قطع کننده مجموعه دگرگونی – آذرین دلبر می‌باشد (جنوب شرق دستجرد – شمال شرق بیارجمند، دید به سمت جنوب‌شرق).

واحد کرتاسه در منطقه (K¹):

به‌طور کلی در جنوب ورقه در کوه دو شاخ، نازکوه و ارتفاعات یزدو رخنمون دارد. این واحد به‌طور عمده در برگیرنده آهک ضخیم لایه تا توده‌ای با رنگ خاکستری است. در مواردی بخش زیرین آن‌ها از آهک نازک لایه پدید آمده است. بر پایه بررسی‌های دیرینه شناختی سن این واحد کرتاسه زیرین (آپسین - آلبین) معرفی شد و میکروفسیل‌های زیر در آن‌ها تشخیص داده شده است:

Orbitolina sp., Dictyoconus sp., Cylindroporella sp., Miliolides, Textularids, Lithocodium aggregatum, Dasycladacea alge, shell fragments.

این واحد به‌طور عمده به‌صورت برونزدهای جدا از هماند. ولی در جنوب یزدو به‌صورت ورقه راندگی بزرگی بر روی واحد ژوراسیک در شمال چاه شور به‌صورت ورقه راندگی کوچکی برونزد دارد. منطقه را واحدهای کرتاسه شامل واحدهای افیولیتی و آهک‌های توده‌ای و ضخیم لایه خاکستری تشکیل داده‌اند (شکل ۳-۲).

واحد افیولیتی (KP^{oph}):

در منطقه عباس‌آباد سنگ‌های پریدوتیتی و سنگ‌های همزاد (ورلیت، پیروکسیت و...) با عنوان

آمیزه‌های رنگی وجود دارد. بهترین رخنمون سنگ‌های مورد نظر را می‌توان در شمال فرومد دید.

مجموعه افیولیتی شمال فرومد بخشی از یک نوار افیولیتی طویل است که از شمال سبزوار تا شمال عباس آباد شاهروд، در امتداد یکی از عمده‌ترین گسل‌های ایران (گسل میامی) بروز زد دارد(شکل ۳-۲).

واحدهای سنوزوئیکی:

بخش عمده واحدهای سنگ- چینه‌ای محدوده مورد مطالعه، دارای سن سنوزوئیک بوده و شامل واحدهایی از ائوسن، اولیگوسن، میوسن و کواترنری می‌باشند (شکل ۳-۲). سنگ‌هایی آتشفسانی و آهک‌ها، عمده سنگ‌های ائوسن در این محدوده را تشکیل می‌دهند. واحد E^{vs+b} دارای گسترش فراوانی است. تفکیک بخش آتشفسانی- رسوبی از بخش گدازه در توالی مذکور به دلیل تکرار توالی به معنی واقعی امکان‌پذیر نیست. این واحد به‌طور عمده در دو یال ناودیس‌های میاندشت و سفیدسنگ و تاقدیس‌های میاندشت و چاه گودال رخنمون دارد و دربرگیرنده برش و توف برش با ترکیب بازالتی تراکی آندزیتی است. واحد $E^{B+Hb+Rt+ag}$ شامل بازالت، هیدروکلاست، توف قرمزنگ، و آگلومرا است. ستبرای واحد توف قرمز از چند متر تا حداقل ۲۰ متر و به رنگ قرمز تیره دیده می‌شود. این واحد شمال مزرعه الهاک دیده می‌شود. واحدهای آگلومرا بی نیز به صورت متوالی در بین توالی آتشفسانی قرار دارند (شکل ۳-۲). در افق‌های آهکی بالایی مجموعه آتشفسانی رسوبی منطقه مورد مطالعه چند مورد آهک کرم مایل به زرد حاوی فسیل‌های نومولیت، پکتن و شکم‌پایان مشاهده می‌شود که بیانگر محیط‌های نسبتاً کم‌عمق می‌باشد در منطقه غرب عباس آباد (شمال شرق معدن چغدرسر و در ابتدای جاده بیارجمند تا سه راهی بیارجمند) رخنمون دارند (شکل ۳-۲). واحدهای کواترنر به طور معمول بر روی واحدهای میوسن قرار داشته و دربرگیرنده تراس‌ها، پادگانه‌های آبرفتی، سفره‌های رسی همراه با سفره‌های نمکی است (شکل ۳-۲).

۳-۲- زمین‌شناسی ساختمانی

محدوده مورد مطالعه در نقشه ۱:۱۰۰۰۰۰ عباس‌آباد در محدوده شمال خاوری پهنه ساختاری ایران مرکزی اشتولکلین^۱ (۱۹۶۸) جای گرفته است. عملکرد جنبش‌های کششی و پیدایش حوضه‌های بازیک اقیانوسی سبب جایگیری مجموعه افیولیتی در کرتاسه شده است. در گامه‌های پایانی و آغازین سنوزوئیک فاز لارامید باعث بسته شدن حوضه‌های ژرف اقیانوسی و در هم ریختگی زمین‌ساخت ردیف‌های لیتوسفر اقیانوسی و تشکیل آمیزه افیولیتی را فراهم آورده است. به دنبال فاز فشارشی، انبساط پوسته در ائوسن سبب ایجاد شکستگی‌های کششی در دوره ائوسن و فوران‌های آتشفسانی به طور عمده بازیک شده است. فرآورده این تکاپو به طور عمده آلکالن بوده است و در شرایطی به طور کلی قاره‌ای تا کم عمق بیرون ریخته شده‌اند. فرآورده این تکاپو پیدایش حجم‌هایی شایان توجه از گدازه‌ها و سنگ‌های آذرآواری بوده است. آرامش نسبی این تکاپوها سبب نهشته شدن نهشته‌های آتشفسانی رسوبی و یا باز ایستادن نهشته‌گذاری شده است. جنبش‌های زمین‌ساختی آلپی پایانی در میوسن و پلیوسن سبب ایجاد تغییر در محیط رسوب‌گذاری و نهشته شدن نهشته‌های آواری مولاس و قاره‌ای و چین‌خوردگی و گسلش آن‌ها شده است. حاصل عملکرد این جنبش‌ها، گدازه‌های تراکیتی پس از ائوسن در نزدیکی‌های مزرعه سفید سنگ بوده است. گسل میامی در پایانی‌ترین گستره باختر ورقه مهم‌ترین عنصر ساختمانی است که در پایانی‌ترین گستره شمال ورقه به صورت پهنه‌ای گسل خوردگ، محدوده ورقه عباس‌آباد را نیز زیر تأثیر خود برده است.

شکستگی‌های منطقه را می‌توان به سه دسته گروه‌بندی کرد:

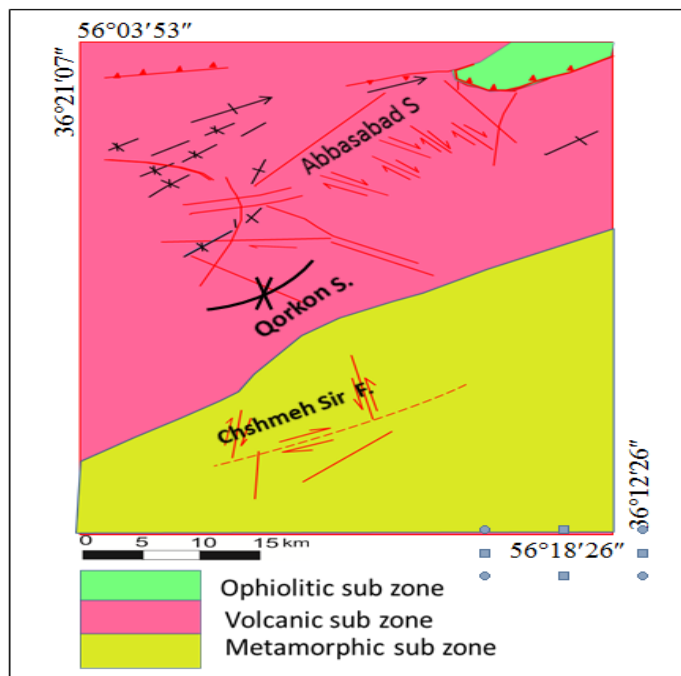
- ۱- شکستگی‌های با روند شمال باختری - جنوب خاوری که به طور عمده گسل‌هایی عادی یا راست‌لغزند که عملکردهای راست‌گرد دارند و برخی چپ‌گرد بوده‌اند.
- ۲- شکستگی‌های با روند شمال خاوری - جنوب باختری و یا خاوری - باختری با مؤلفه‌های راست‌گرد و چپ‌گرد، و در مواردی (نظیر محدوده طاقدیس سیاه کوه) گسل‌های دسته نخست را قطع کرده‌اند.

این شکستگی‌ها از مهم‌ترین گسل‌های منطقه‌اند و در شمال منطقه به صورت راندگی عمل کرده و سبب راندگی مجموعه افیولیتی به زیر واحدهای ائوسن شده‌اند. در جنوب ورقه، همگام با جابجایی واحدهای دگرگونه، همبrij زمین ساخت آن‌ها را با واحدهای همارز ژوراسیک فراهم کرده‌اند. از این گسل‌ها می‌توان به گسل چاه حاجی در شمال، گسل سیاه کوه و گسل چشم‌سیر اشاره کرد.

۳- گسل‌های با روند شمال خاوری - جنوب باختری تا شمالی - جنوبی که عملکرد عادی یا معکوس دارند و مهم‌ترین آن‌ها گسل کال آبدار است که سبب حذف یال خاوری طاقدیس کال آبدار شده است. در منطقه چین‌خوردگی‌هایی فراوان به صورت طاقدیس و ناویدیس (که در مواردی پلانچ نیز دارند) دیده می‌شود که اندازه زاویه محور آن‌ها با گسل میامی به سوی شمال کم می‌شود و به موازات نزدیک شدن به این گسل تمایل موازی واضح‌تر می‌شود. چین‌خوردگی‌های محلی فراوانی نیز در منطقه دیده می‌شوند که محور آن‌ها زاویه کمی با گسل‌های منطقه می‌سازد (خلعتبری، ۱۳۸۰).

۲-۱- گسل راندگی میامی

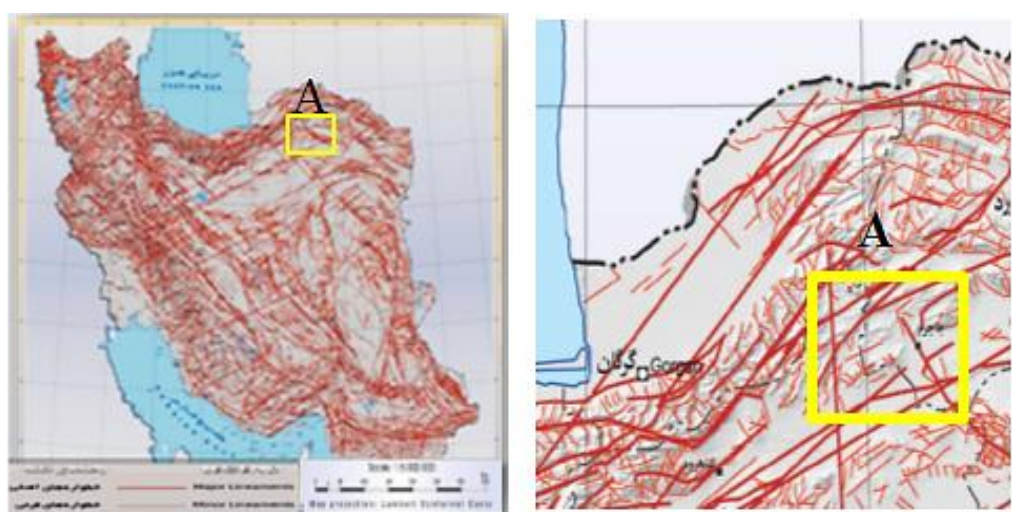
گسل میامی یا گسل شاهروд با روند تقریباً شرقی - غربی، حد جداکننده پهنه بینالود (البرز شرقی) از ایران مرکزی است. حد شمالی این گسل بیشتر زمین‌های آبرفتی و کوهپایه‌ای، ولی حد جنوبی آن کوهستانی و در برخی نقاط (جنوب میامی عباس‌آباد و فریمان) جداکننده ملاتزهای افیولیتی از واحدهای دیگر است (۶-۲). بنا به عقیده اشتامپلی (۱۹۷۸)، گسل شاهرود تا آخرین مراحل چین‌خوردگی آلپی در پلیوسن حالت راست‌گرد داشته است (درویش‌زاده، ۱۳۷۰).



شکل ۶-۲) شمایی از ساختارهای اصلی منطقه در نقشه زمین‌شناسی ۱۰۰۰۰۱/۱ عباس‌آباد (خلعتبری، ۱۳۸۰).

۲-۳-۲- خطواره‌های زمین‌ساختی

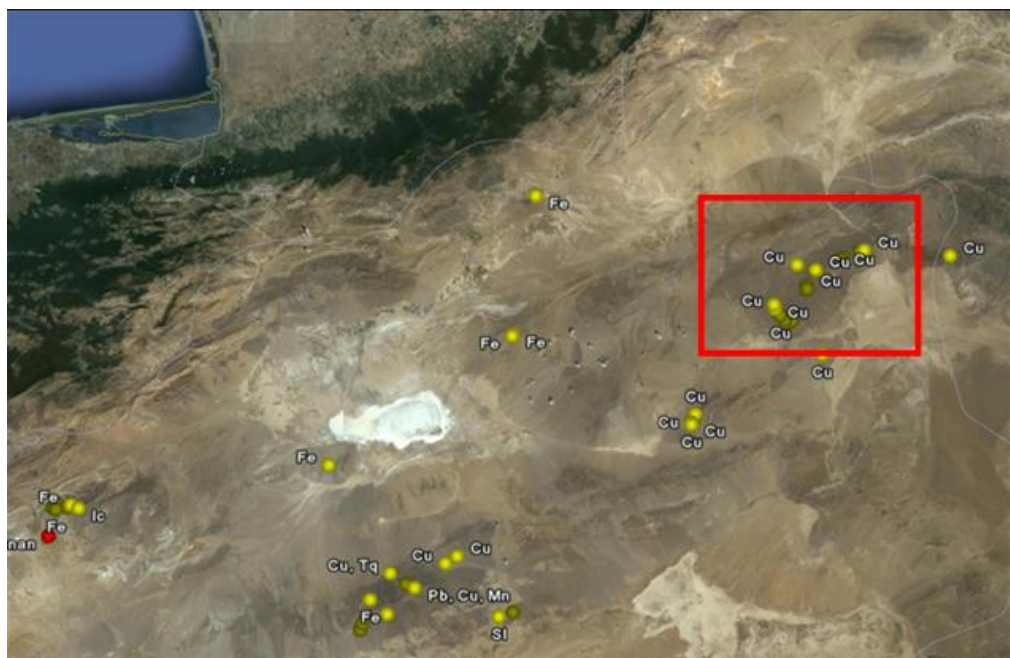
نظر به اینکه عارضه‌های خطی دارای فرکانس زیادی هستند، بنابراین از سایر عارضه‌ها قابل تشخیص می‌باشند و با ابزار و یا برنامه‌های نرم‌افزاری مانند فیلترینگ نیز می‌توان آن‌ها را بارزتر نمود(شکل ۲-۲).



شکل ۷-۲) بخشی از نقشه خطواره‌های زمین‌ساختی منطقه مورد مطالعه (سازمان زمین‌شناسی و اکتشاف معدنی کشور).

۴-۲- زمین‌شناسی اقتصادی

با توجه به فعالیت‌های زمین‌ساختی و ماسک‌نگاری‌سیم در گستره ورقه ۱/۱۰۰۰۰۰ عباس‌آباد و موقعیت این ورقه در پهنه‌های ساختاری ایران، شاهد کانه‌زایی‌ها و تشکیل کانسارهای متنوعی در این ناحیه هستیم که می‌توان به کانه‌زایی‌های مس، آهن و تشکیل کانسارهای منیزیت، زئولیت و ژیپس اشاره نمود. در این بخش با معرفی کانه‌زایی‌ها و کانسارهای عباس‌آباد به جایگاه زمین‌شناسی اقتصادی آن پرداخته شده است در تصویر ماهواره‌ای زیر تعدادی از ان迪س‌های معدنی مرتبط با نوار شمالی ایران مرکزی مشخص شده است (شکل ۸-۲).



شکل ۸-۲) تعدادی از ان迪س‌های معدنی مشخص شده در ارتباط با نوار ماسک‌نگاری شمال ایران مرکزی در تصویر ماهواره‌ای (گوگل ارث) (منطقه مورد مطالعه توسط کادر مشخص شده است).

پتانسیل‌های اقتصادی منطقه عباس‌آباد دربرگیرنده نشانه‌ها و کانسارهایی است که به برخی از آن‌ها اشاره می‌شود.

آهن (Fe): به صورت رگچه‌های پر شده با اولیژیست در باخته نازکوه دیده می‌شود و گمان می‌رود منشاء هیدروترمالی داشته باشد.

منیزیت (Mg): در شمال عباس‌آباد، در درون، رگچه‌ها و رگه‌های از منیزیت به طول چند متر

دیده شده که در بیشتر کانی‌ها استخراج شده و تراشه‌های فراوانی در اطراف محل مورد نظر حفر شده است. منیزیت همراه با کلسیت اصلی بوده است که همراه با آن سرپانتین و مقدار ناچیزی تالک نیز دیده می‌شود.

زنولیت (Zeo): به گونه‌ای پراکنده در تمامی سنگ‌های آتشفسانی گدازه‌ای و آذرآواری اوسن منطقه دیده می‌شود. این کانی به‌طور عمدی از نوع ناتروزیلت است.

مس (Cu): وجود سرباره‌های مس در ورقه ۱۰۰۰۰۰:۱ عباس‌آباد، توجه کاوشگران این فلز را به خود جلب کرده است. در منطقه عباس‌آباد شاهد دهه کانسار و نشانه‌های معدنی مس هستیم که این کانه‌زایی‌ها بیشتر در واحدهای آتشفسانی و آتشفسانی رسوبی رخ داده است کانه‌زایی‌ها عمدتاً در غالب کانه‌های مس طبیعی، کالکوسیت و ملاکیت است.

در جنوب طاقدیس میاندشت در شمال چاه گودال در داخل واحدهای بازالتی و توفی در محدوده‌ای شایان انباستگی‌هایی از کانه‌های مس به‌چشم می‌خورد. برداشت از کانسارهای مس واحدهای آتشفسانی و آتشفسانی رسوبی در گذشته صورت می‌گرفته است. بهره‌برداری از آن‌ها به گذشته‌های دور بر می‌گردد زیرا گواه آن‌ها، تونل‌ها، کنده‌کاری‌ها و حفاری‌های بی‌شمار در مناطق یادشده است. در همه مناطق نامبرده شده کالکوسیت کانه اصلی است و در مواردی با ملاکیت و کوولیت همراه است. در مواردی نیز همراه با مجموعه یادشده، مگنیتیت و هماتیت نیز دیده می‌شود که به‌طور عمدی رگچه‌های سنگ میزبان را پرکرده‌اند (خلعتبری، ۱۳۸۰).

۲-۵-۲ زمین‌شناسی و موقعیت کانسارهای مورد مطالعه

۲-۵-۱-۱-۱ کانسار چغندسر شمالی

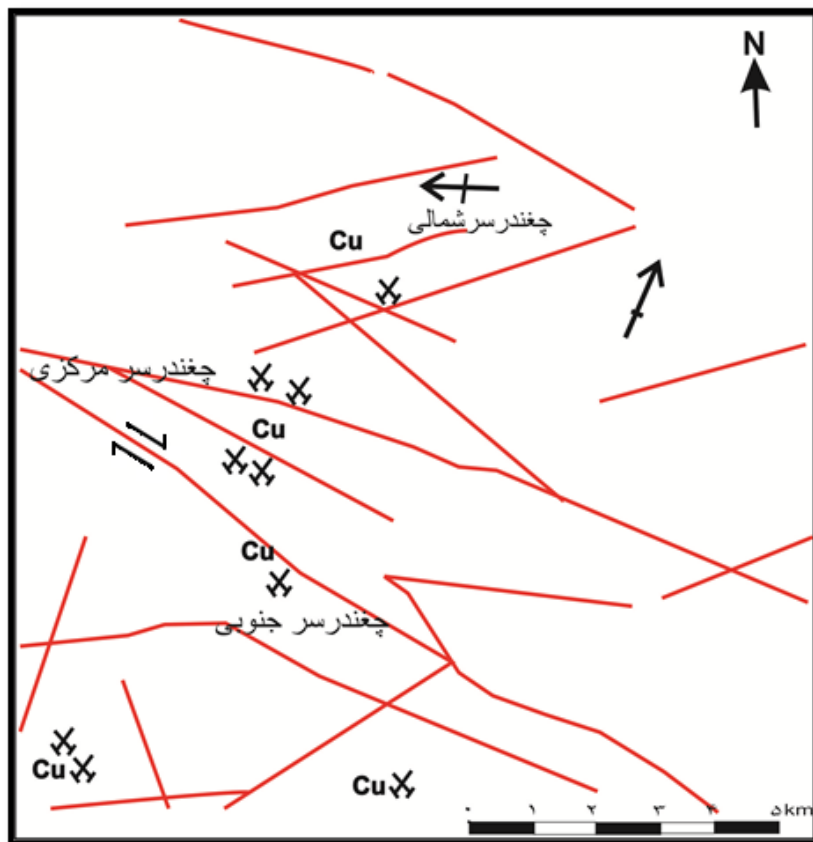
در این منطقه گدازه‌های پورفیریتیک، تراکی آندزیتی، بازالتی، آندزیتی - بازالتی و تراکی آندزیتی به سن ائوسن رخنمون دارند. در بازدیدهای صورت گرفته نیز واحد تراکی بازالتی به طور گستردۀ و به رنگ سبز تیره تا خاکستری تیره در منطقه مشاهده گردید. فنوکریستهای پیروکسن، اولیوین و پلازیوکلاز در سطح این واحد با چشم غیر مسلح قابل تشخیص هستند. در این منطقه شاهد رخداد کانه‌زایی مس در واحد بازالتی تا تراکی آندزیت بازالتی هستیم در تصویری شکل ۹-۲ از این منطقه نشان داده شده است.



شکل ۹-۲) رخنمونی از واحد بازالتی در منطقه چغندسر شمالی

گسل چغندسر در جنوب کلاته فرهنگ در زیر پهنه ولکانیک‌های منطقه عباس‌آباد به همراه چند گسل فرعی دیگر باعث جابه‌جایی ولکانیک‌های ائوسن منطقه مانند تراکی بازالت‌ها، بازالت، گدازه‌های مگاپورفیریک و پوفیریک و دایک‌های تغذیه‌کننده آن‌ها شده است. گسل‌های کوچک مقیاس و بزرگ مقیاس در این منطقه وجود دارد که هریک از این گسل‌ها روند خاصی را دنبال می‌کنند (شکل ۱۰-۲). به طور کلی، تشکیل منطقه مورد مطالعه متأثر از دو گسل بزرگ میامی در شمال منطقه و گسل جنوب بیار جمند در جنوب منطقه مذکور می‌باشد. گسل میامی با روند شمال

شرقی - جنوب غربی، فعالیت راست‌گرد داشته و تا پلیوسن عملکرد آن به اثبات رسیده است (اشتاپلی^۱، ۱۹۷۸). حد شرقی این گسل فرورفتگی تربت‌جام بوده و در قسمت‌های غربی (جنوب غرب شاهرود) زیر رسوبات عهد حاضر و کویر دامغان ناپدید می‌گردد (نبوی، ۱۳۵۵). کانه‌زایی اصولاً در این منطقه ارتباط تنگاتنگی با گسل خوردگی دارد که در فصل سوم به طور مفصل بحث خواهد شد.



شکل ۱۰-۲) بخشی از نقشه گسل‌های منطقه چوندرسر شمالی بر پایه نقشه عباس‌آباد ۱:۱۰۰۰۰۰ و تصاویر ماهواره‌ای لندست.

همان‌طور که در شکل ۱۰-۲ مشاهده می‌شود بر اثر گسل خوردگی متعدد در این منطقه پهنه‌های برشی ایجاد شده است. همین پهنه‌های برشی در مراحل بعدی بهترین مکان برای عبور و چرخش سیالات کانه‌دار در این منطقه بوده‌اند.



شکل ۲-۱۱) تصویری از گسل خوردگی و ایجاد پهنه‌های برشی در منطقه چگندرس رشمالی

زئولیت‌ها حفرات و شکاف‌های سنگ‌های آتشفشنایی را در مراحل آخر فعالیت‌های گرمابی پر کرده‌اند. در اثر فعل و انفعالات شیمیائی سیالات قلیایی با شیشه‌های آتشفشنایی و پلازیوکلازهای، محلول‌های غنی از مواد قلیایی به وجود آمده که در شرایط فیزیکوشیمیائی خاص امکان نهشته شدن زئولیت‌ها را از این محلول‌ها فراهم کرده است. به عبارت دیگر شیشه‌های آتشفشنایی و پلازیوکلازها به مرور زمان در محلول‌های قلیایی اتحلال یافته‌اند. این عمل باعث افزایش غلظت یون‌های سدیم و آلومینیوم در داخل آب‌های درون منفذی شده و در مراحل بعدی از این محلول‌ها زئولیت به صورت رسوب جدا شده است (فیلیپس و همکاران، ۲۰۰۰). در شکل ۱۲-۲ زئولیت با بافت و ساخت شعاعی در درون حفرات و مقاطع میکروسکوپی مشاهده می‌شود.



شکل ۱۲-۲) تصویری از زئولیت با ساختار شعاعی درون حفرات بازالت‌ها (ب) تصویری از حضور بلورهای داری بافت شعاعی در زئولیت‌های موجود در حفرات سنگ‌های بازالتی (XPL).

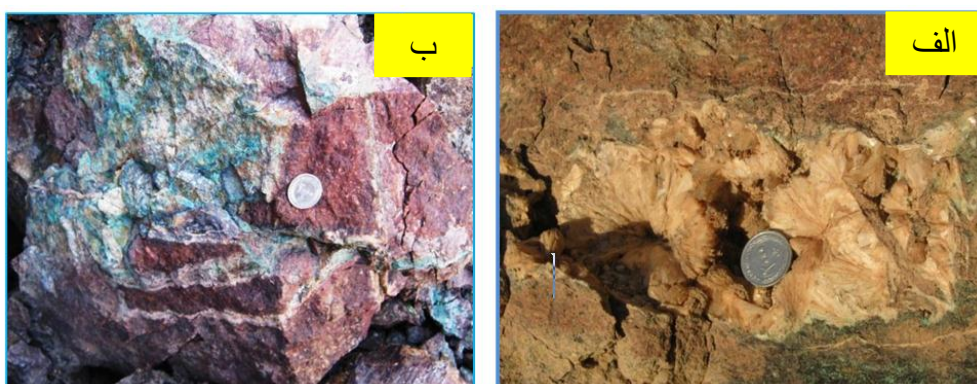
در این منطقه فنوکریست‌های اولیوین، پیروکسن و پلازیوکلاز با چشم غیر مسلح قابل تشخیص هستند. از ویژگی‌های بارز منطقه چوندرسر شمالی وجود پلازیوکلازهای درشت با ابعاد ۲ تا ۳ سانتی-متر می‌باشد. آنالسیم به صورت بلورهای سفید شفاف در برخی حفرات یافت می‌شوند (شکل ۲-۱۳).



شکل ۲-۱۳) الف- تصویری از بازالت حاوی فنوکریست‌های فراوان پلازیوکلاز ب- نمونه دستی بازالت‌های داری حفرات پر شده از آنالسیم و کلسیت

۲-۵-۲- کانسار چوندرسر مرکزی

این منطقه نیز مانند چوندرسر شمالی در بخش گدازهای نهشته‌های آتشفسانی رسوبی ائوسن واقع شده است. با این تفاوت که در این منطقه درصد فنوکریست‌های پلازیوکلاز کمتر از چوندرسر شمالی می‌باشد. از طرفی مقدار زئولیت‌زایی و دگرسانی همایتی شدن در این منطقه بیشتر می‌باشد (شکل ۲-۱۴).



شکل ۲-۱۴) حضور زئولیت‌هایی با ساخت شعاعی به رنگ سفید و شیری رنگ درون سنگ‌های آتشفسانی، ب) تصویری از تأثیر و عملکرد عبور و چرخش سیالات گرمابی در میان شکستگی‌های بازالت‌های مورد مطالعه

۳-۵-۲- کانسار چغندسر جنوبی

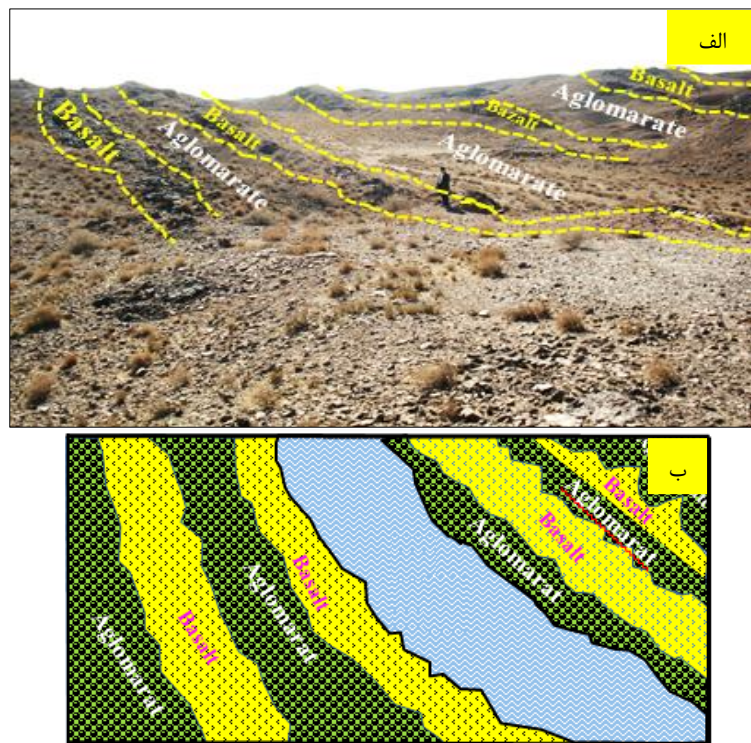
در بازدیدهای به عمل آمده در جنوب شرق عباس‌آباد در منطقه چغندسر جنوبی، توالی ضخیمی از واحد آگلومرایی و بازالت مشاهده گردید، این توالی در گستردگی وسیعی از منطقه به صورت لایه‌های تقریباً منظمی از آگلومرا و بازالت تکرار می‌شود. واحد آگلومرائی، موجود در منطقه به رنگ سبز تا خاکستری بروزنزد دارد. این واحد فاقد هرگونه چینه‌بندی است و دارای قطعات تراکی بازالتی و تراکی آندزیتی با سخت شدگی نسبتاً ضعیف می‌باشد. فنوکریستهای پلاژیوکلاز و پیروکسن در این قطعات، با چشم غیر مسلح دیده می‌شوند. اندازه‌ی قطعات آگلومرایی و هیدروکلسی از چند سانتی‌متر تا چندین متر تغییر می‌کند. در برخی از قسمت‌ها توالی آگلومرایی با دگرسانی همراه می‌باشد. که در این توالی به سختی می‌توان فنوکریست‌ها را تشخیص داد (شکل ۱۵-۲). واحد تراکی بازالتی به طور گستردگی و به رنگ سبز تیره تا خاکستری تیره در منطقه رخنمون دارد (شکل ۱۶-۲). اولیوین بازالت با ریخت‌شناسی مرتفع‌تر نسبت به آگلومراها، در بین این واحد قرار دارند. واحد اولیوین بازالت در نمونه دستی به رنگ سیاه تا خاکستری تیره بوده و فنوکریست‌های اولیوین ایدنگزیتی شده در سطح سنگ به رنگ قرمز دیده می‌شوند. این تناوب سنگ‌های آذرآواری و آتشفسانی و مقاومت متفاوت در برابر فرسایش موجب شده است که سنگ‌های آذرآواری معمولاً زمین‌های مسطح و سنگ‌های ولکانیکی مناطق مرتفع‌تر و صخره‌ای را تشکیل دهند (شکل ۱۷-۲).



شکل ۲ (۱۵-۲) واحدهای آگلومرایی با سخت شدگی نسبتاً ضعیف موجود در منطقه چغندسر.



شکل ۲-۱۶) واحدهای تراکی بازالتی با ضخامت زیاد و ریخت‌شناسی مرتفع.



شکل ۲-۱۷) الف- دورنمای از توالی آگلومرا و بازالت در منطقه (دید به سمت شمال‌غرب). ب- تصویر بازسازی شده از رخنمون‌های سنگی در محدوده معدن چغندرس‌جنوبی.

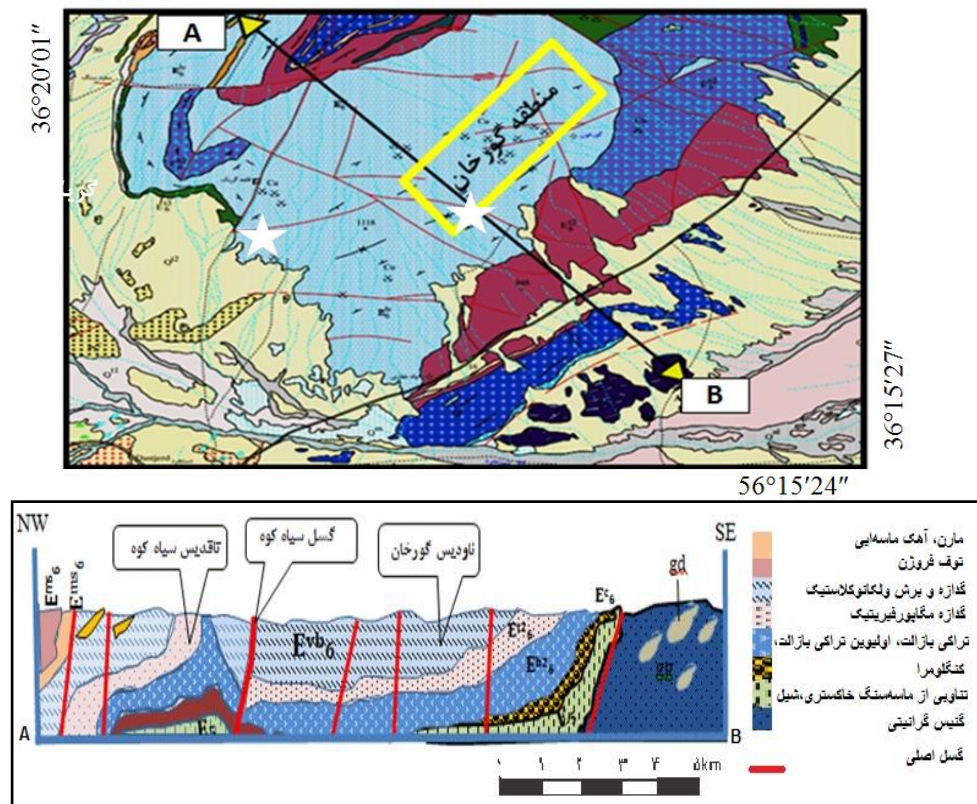
۴-۵-۲- کانسار گریک و گورخان

در منطقه گورخان پیکره‌های سنگی کانسار شامل سنگ‌های رسوبی، آتشفشاری و آذرآواری به سن ائوسن میانی تا پایانی می‌باشند، سنگ‌های آذرآواری نسبت به سایر سنگ‌ها از حجم بیشتری

برخوردارند و شامل آگلومرا و لایه‌های بازالتی می‌باشند (شکل ۱۸-۲-الف). سنگ‌های آتشفسانی منطقه نیز شامل، اولیوین بازالت، تراکی آندزی بازالت و تراکی آندزیت می‌باشند. در منطقه گریک بازالت‌های ائوسن با مورفولوژی ملایم‌تری نسبت به گورخان رخنمون دارند (شکل ۱۸-۲-ب). در شکل ۱۹-۲ نقشه زمین‌شناسی منطقه گورخان و نیمرخ (خلعتبری، ۱۳۸۰) این منطقه نشان داده شده است.

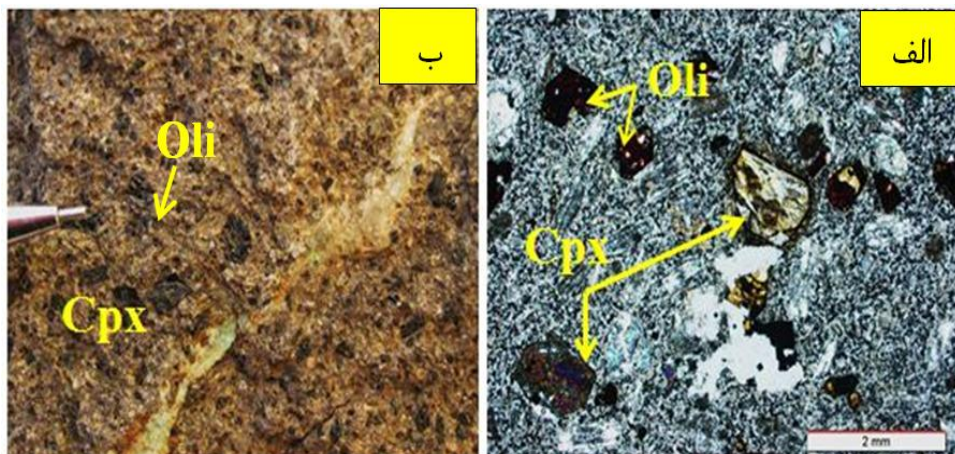


شکل ۱۸-۲) الف- مورفولوژی نسبتاً خشن در منطقه گورخان، ب- مورفولوژی ملایم در منطقه گریک
۵۶°۰۰'۲۱"



شکل ۱۹-۲) نقشه و نیمرخ ناؤدیس گورخان در جهت شمال غرب - جنوب شرق (بخشی از نقشه و نیمرخ از خلعتبری، ۱۳۸۰: عباس‌آباد)

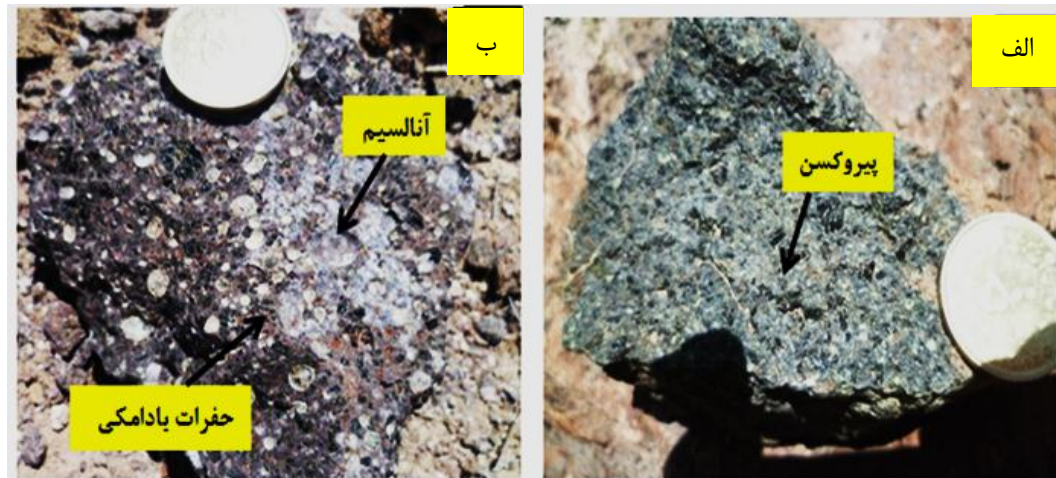
کانه‌زائی مس در این مناطق در درون واحد تراکی بازالتی و آگلومراها مشاهده می‌شود. در قسمت‌هایی که برش‌هایی آتشفسانی تشکیل شده‌اند، کلریتزایی گسترده‌تری مشاهده می‌شود. فنوکریست‌های پیروکسن و اولیوین در سطح نمونه‌های این واحد با چشم غیر مسلح قابل تشخیص است. که بلورهای درشت پیروکسن عمدتاً از نوع اوژیت می‌باشند شکل ۲۰-۲ الف و ب).



شکل ۲۰-۲) الف- تصویری از بازالت‌های حاوی پیروکسن و الیوین در نمونه میکروسکوپی ب- نمونه صحرایی از بلورهای اولیوین و پیروکسن در منطقه گورخان

۲-۵-۵- کانسار نرتلویی

با توجه به بازدیدهای صحرایی و نمونه‌برداری‌های صورت گرفته، سنگ‌های میزبان کانسار نرتلویی بازالت تا تراکی آندزیت بازالت می‌باشند. بیشترین کانه‌زایی این منطقه به صورت مس خالص و ملاکیت هستند که در بیشتر نقاط کانه‌زایی‌های صورت گرفته با کلسیت همراه است. بازالت‌های این منطقه حاوی مقدار فراوانی پیروکسن می‌باشند (شکل ۲۱-۲، الف)، در اغلب موارد حفرات موجود در این بازالت‌ها با آنالسیم و کلسیت پر شده است (شکل ۲۱-۲ ب).



شکل ۲۱-۲) الف- نمونه دستی از پیروکسن بازالت‌های موجود در منطقه، ب- حفرات پر شده در بازالت‌ها توسط آنالسیم و کلسیت.

علاوه بر سنگ‌شناسی منطقه مورد مطالعه که از سنگ‌های آتشفسانی و آذرآواری تشکیل شده است.

مطالعه درزه‌ها و شکستگی‌ها از اهمیت خاصی برخوردار است. در محدوده نرتلویی درزه‌های فراوان و همچنین شکستگی‌های فرعی زیادی در اطراف رگه‌ها به وجود آمده است (شکل ۲۲-۲).

.(۲۲-۲)



شکل ۲۲-۲) درزه‌ها و شکستگی‌های موجود در منطقه که با سولفیدهای مس پر شده‌اند.

۶-۵-۲- کانسار استغانی

در منطقه استغانی سنگ‌های آتشفسانی نسبت به سایر سنگ‌ها از حجم بیشتری برخوردار هستند و شامل، اولیوین بازالت، تراکی آندزی بازالت و تراکی آندزی بازالت می‌باشند در ضمن سنگ‌های آذرآواری شامل آگلومرا و لاپیلی کریستال توف هستند (شکل ۲۳-۲). همان‌طور که در شکل ۲۴-۲ مشاهده

می‌شود در بین بازالت‌ها واحد کریستال لیتیک توفی قرار گرفته است. در منطقه استغانی واحدهای آتشفشاری از ضخامتی حدود ۳۰ تا ۷۰ متر تشکیل شده‌اند و ضخامت واحدهای توفی معمولاً کمتر و حداقل ۲ متر می‌باشد. این لایه‌های توفی در تمام مناطق رخنمون ندارد، تنها در برخی مناطق با شبیه ملایم بر روی بازالت‌ها قرار گرفته است.

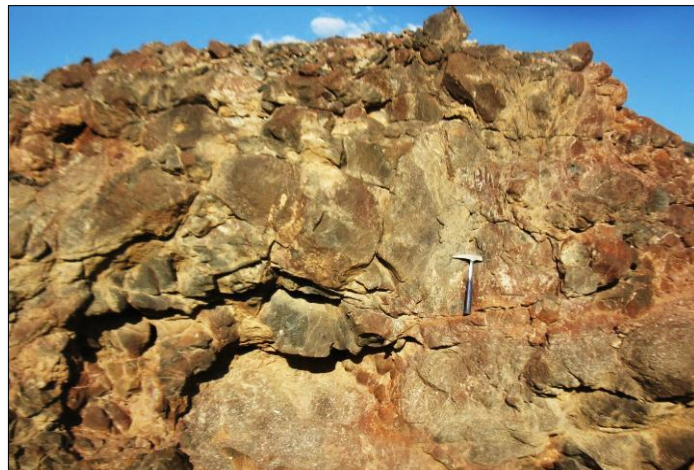


شکل ۲۳-۲ تصویری از منطقه معدنی کانسار استغانی



شکل ۲۴-۲) رخنمونی از بازالت‌ها و واحدهای توفی (کریستال لیتیک توف) موجود در منطقه استغانی

در برخی از قسمت‌ها منطقه استغانی توالی ضخیمی از بازالت‌ها همراه با آگلومرایی فراوان دیده می‌شود. رنگ این واحد خاکستری تا خاکستری‌تیره است و ضخامت آن به بیش از ۱۰۰ متر می‌رسد (شکل ۲۵-۲).



شکل ۲۵-۲) بازالت‌های ضخیم همراه با واحد بین لایه‌ای از آگلومرایی در منطقه استغانی

۷-۵-۲- کانسار عباس‌آباد

در منطقه عباس‌آباد چین‌خوردگی‌های فراوان به صورت طاقدیس و ناویدیس دیده می‌شوند. واحدهای شیل، ماسه‌سنگ، کنگلومرایی، آهک‌توفی، آهک نومولیت‌دار و گدازه به صورت یک ناویدیس میل‌دار چین‌خوردگانند (شکل ۲۶-۲).

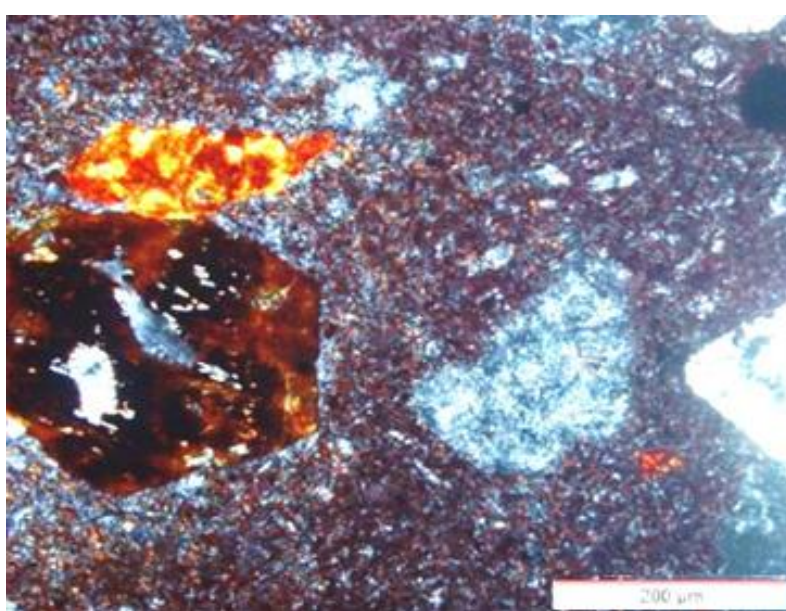


شکل ۲۶-۲) چین‌خوردگی و لایه‌بندی در منطقه عباس‌آباد در تصویر صحراوی

گدازه‌های بازالتی در منطقه مورد مطالعه به رنگ خاکستری تیره تا سیاه دیده می‌شوند که فنوکریست‌های پیروکسن و بلورهای اولیوین با چشم غیرمسلح به راحتی قابل مشاهده است (شکل ۲-۳). بلورهای اولیوین موجود در تراکی بازالت‌ها عمدتاً دگرسان شده و انحلال و خوردگی در آن‌ها دیده می‌شود، تجزیه شدگی در حاشیه بلورها بیشتر است. در امتداد این شکستگی‌ها، ایدنگریتی شدن به وقوع پیوسته و تا مرکز بلور ادامه دارد (شکل ۲-۴).



شکل ۲-۲) وجود فنوکریست‌های اولیوین و پیروکسن در بازالت‌ها.



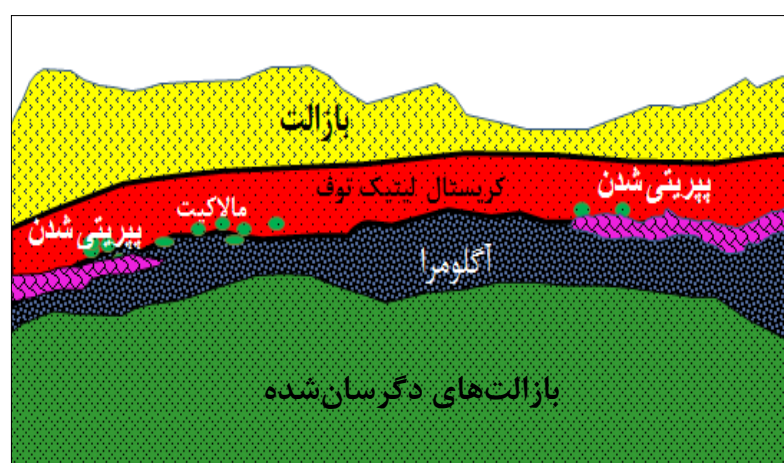
شکل ۲-۲) تجزیه شدگی در حاشیه بلور و ایدنگریتی شدن بلورهای اولیوین.

۸-۵-۲- کانسار الهاک (۱)

در این منطقه توالی ضخیمی از واحد آگلومرایی به همراه بازالت‌هایی با میان لایه‌ی قرمزنگ، کریستال لیتیک توفی مشاهده شد (شکل ۲۹-۲ و شکل ۳۰-۲). در قسمت زیرین لایه قرمز آگلومرا و در قسمت بالایی لایه قرمز، حجم زیادی از بازالت‌ها مشاهده می‌شود.



شکل ۲۹-۲) تصویری از آگلومرا و کریستال لیتیک توفیت‌های قرمزنگ و بازالت‌های موجود در شمال منطقه الهاک ۱



شکل ۳۰-۲) تصویر بازسازی شده از لایه‌های قرمز همراه با آگلومرا و بازالت‌های موجود در منطقه الهاک (۱)

(۲) - ۹-۵-۲ کانسار الهاک

در این منطقه بازالت‌های ائوسن همراه با آهک نومولیت‌دار به رنگ کرم تا خاکستری و با ضخامت تقریباً ۵ متر در منطقه رخنمون دارد. در محل تماس گدازه با آهک، نومولیت‌ها فراوان‌اند که نشان-دهنده فوران گدازه در محیط آبی و بر روی آهک‌ها می‌باشند. این امر باعث ایجاد جوش‌سنگ‌هایی در این منطقه شده است (شکل ۲-۳۱). ظاهرآ انباشتگی نومولیت‌های درشت و ریز در کنار یکدیگر حاکی از تغییر شرایط ناگهانی محیط زیست و مرگ دسته جمعی آنهاست (شکل ۲-۳۲). سنگ‌های رسوبی عمدتاً شامل آهک نومولیت‌دار و آهک توفی با سن ائوسن میانی تا پسین هستند، که نشان‌دهنده محیط دریایی کم‌عمق در این زمان می‌باشند.



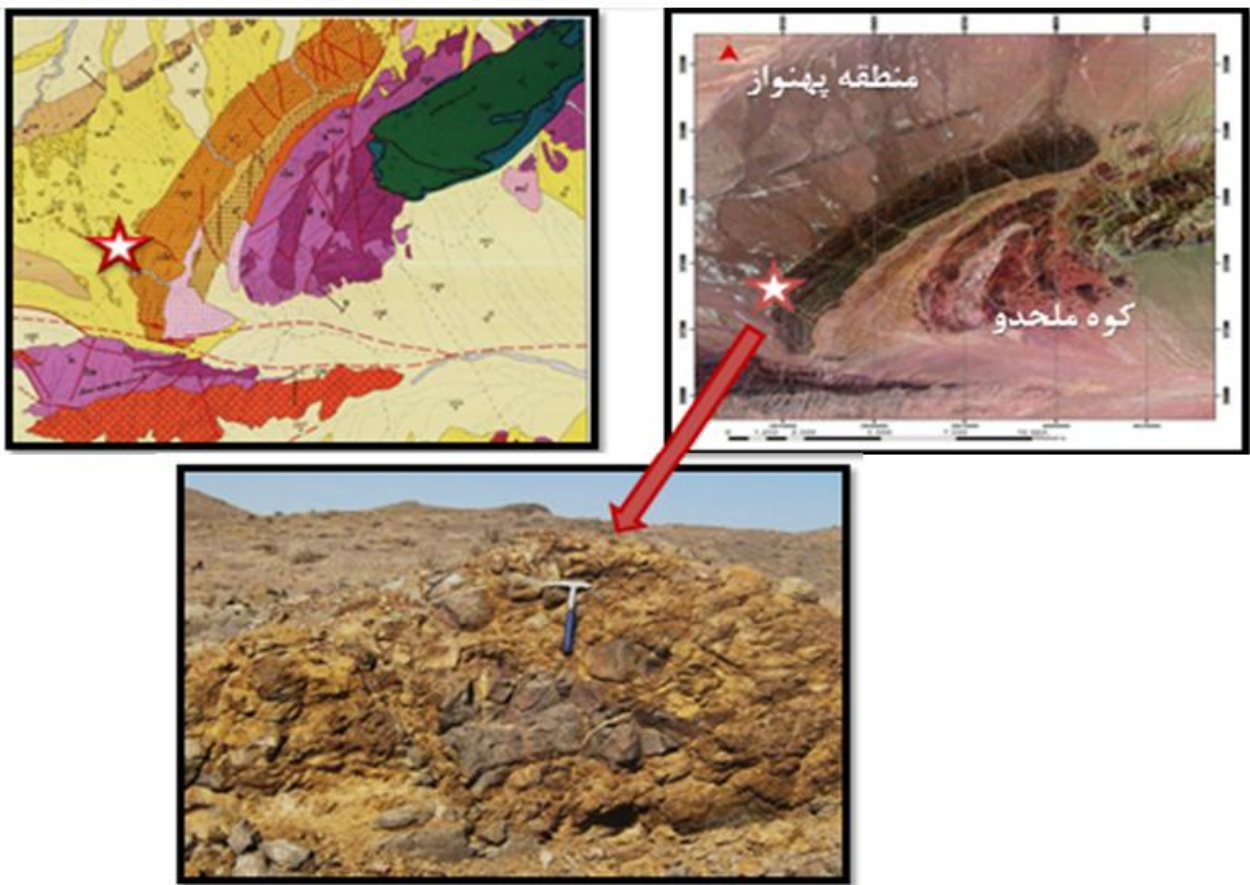
شکل ۲-۳۱) برخورد میان گدازه و آهک



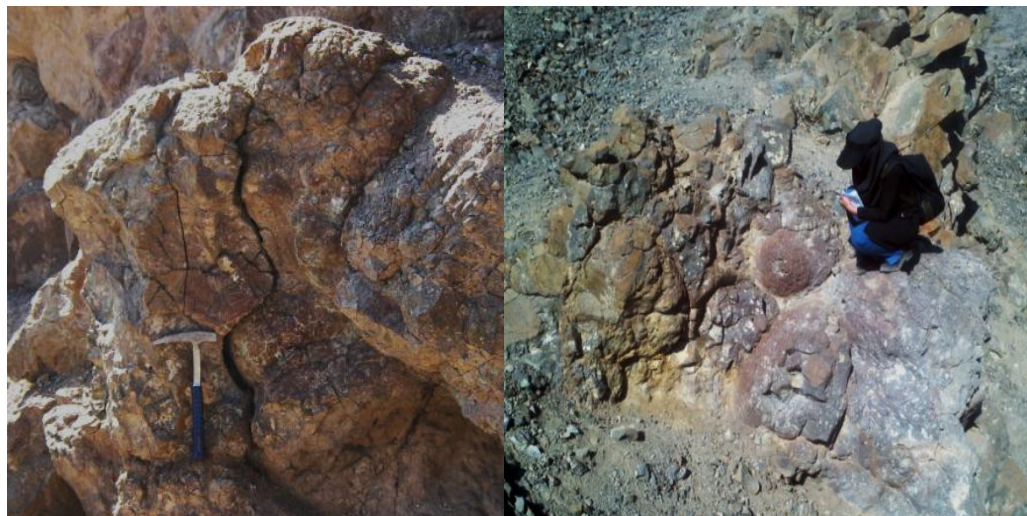
شکل ۲-۳۲) تصویری از انباشتگی نومولیت‌های ریز و درشت در کنار یکدیگر

۱۰-۵-۲ - کانسار روگرو

کانسار روگرو در ۱۲ کیلومتری جنوب بیار جمند رخنمون دارد. سنگ‌های میزبان غالباً گدازه‌ها و هیدرولکلاست‌های بازالتی می‌باشند. که با ترکیب غالب تراکی بازالتی رخنمون دارند. این مجموعه دارای بیش از هزار متر ضخامت می‌باشد (شکل ۳۳-۲). در بعضی نواحی مجموعه آتشفشاری - رسوبی توسط رسوبات آهکی مارنی فسیل‌دار متعلق به ائوسن بالایی پوشیده شده است.



شکل ۳۳-۲ (۳۳-۲) موقعیت منطقه روگرو در تصاویر ماهواره‌ای، صحرایی و نقشه زمین‌شناسی در این منطقه فنوکریست‌های پلازیوکلاز و پیروکسن با چشم غیر مسلح دیده می‌شوند. اندازه‌ی قطعات آگلومرا از چند سانتی‌متر تا ۱ متر تغییر می‌کند و تقریباً گرد شده هستند (شکل ۳۴-۲).



شکل ۳۴-۲) واحد آگلومرائی در جنوب‌غرب منطقه روگرو (دید به سمت شمال شرق منطقه)

فصل سوم

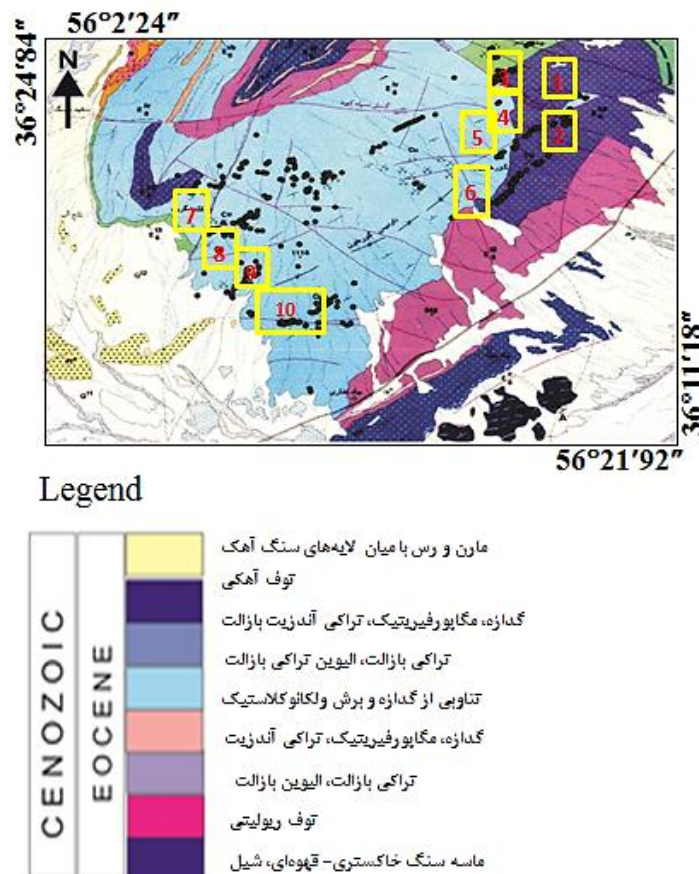
کانہ زائی و دکرسانی

۱-۳ - کانه‌زایی

شناسایی عوامل ساختاری به‌ویژه گسل‌ها و ارتباط آن‌ها با ماغما و کانه‌زایی، در مناطق متأثر از فعالیت‌های ماغمایی کمک شایانی جهت شناسایی و اکتشاف مواد معدنی می‌کند. محل تلاقی گسل‌های اصلی، می‌تواند محل مناسبی برای نفوذ ماغما و کانی‌زایی باشد. نقش پدیده‌های زمین-شناسی ساختمانی از قبیل چین‌خوردگی‌ها، گسل‌ها و سیستم‌های درز شکاف در جایگیری ماغما و گسترش مناطق دگرسانی گرمابی و کانه‌زایی بسیار مهم است. کانی‌زایی در مناطق چغدرسر شمالی، چغدرسر مرکزی، چغدرسر جنوبی، روگرو، استغانی، نرتلویی، گورخان، گریک، عباس‌آباد، الهاک (۱)، الهاک (۲) و گچ‌کنوم عمده‌تاً به صورت رگه‌ای صورت گرفته است. سنگ میزبان این رگه‌ها عمده‌تاً از نوع بازالتی است. ضخامت رگه‌های کانه‌دار در این نوع سنگ‌ها خیلی کم و از ۰/۲ تا ۱۰ سانتی‌متر متغیر است. محدوده‌ای که کانی‌زایی مس دیده می‌شود طی چند مرحله بازدید صحرایی بررسی و مطالعه شد و تعداد ۳۰ مقطع نازک - صیقلی تهیه گردید. در این فصل علاوه بر تحلیل کانی‌زایی، صورت گرفته به بررسی انواع دگرسانی در کانسارهای چغدرسرشمالی، چغدرسرجنوبی، چغدرسرمرکزی، استغانی، نرتلویی، گریک، گورخان، الهاک (۱)، الهاک (۲)، روگرو و گچ‌کنوم خواهیم پرداخت. تصویر ماهواره‌ای لندست و زمین‌شناسی مناطق مورد مطالعه در شکل ۱-۳ و شکل ۲-۳ مشاهده می‌شود.



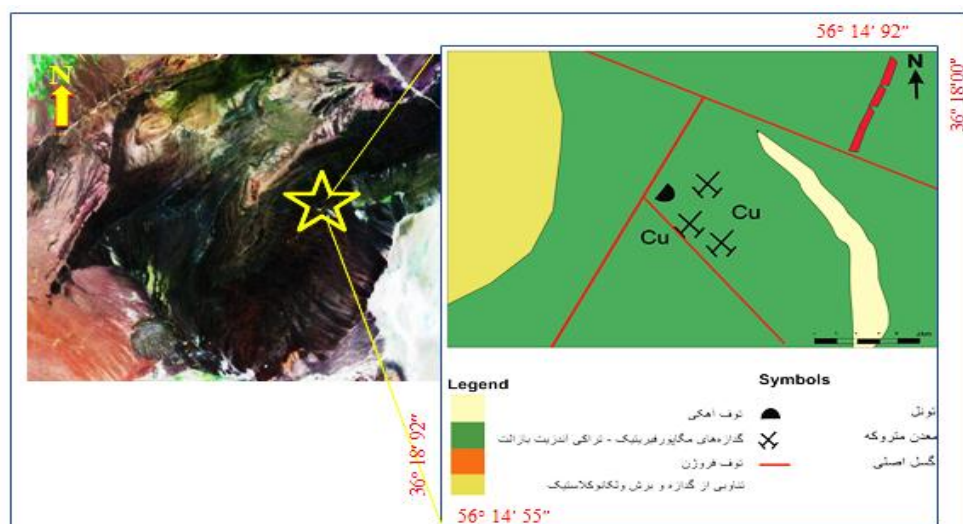
شکل ۳-۱) تصویری کلی از کانه‌زایی‌های مناطق مورد مطالعه و مناطق اطراف، این مناطق غالب بر روی گسل‌های اصلی و فرعی منطبق شده‌اند.



شکل ۲-۳) تلفیقی از نقشه زمین‌شناسی ۱:۱۰۰۰۰۰ عباس‌آباد (خلعتبری، ۱۳۸۰) و موقعیت کانسارها و معدن‌کاری‌های قدیمی مس (مستخرج از گوگل ارث) ۱- اندیس الهاك(۱)، ۲- اندیس الهاك(۲)، ۳- چغندرسر شمالي، ۴- چغندرسر مرکزى، ۵- کانسار چغندرسر جنوبى، ۶- کانسار گورخان، ۷- کانسار گریك، ۸- کانسار استغانى ۹- اندیس گچ کنوم، ۱۰- کانسار نرتلویي

۳-۱-۳- کانه‌زایی در چغندرسر شمالی

با توجه به فعالیت‌های شدید زمین ساختی در منطقه چغندرسر شمالی نسبت به سایر مناطق، کانه‌زایی بیشتر و متنوع‌تری را در منطقه شاهد هستیم. بیشترین کانه‌زایی در منطقه چغندرسر شمالی در پهنه برشی رخ داده است (شکل ۳-۳). در محدوده معدنی چغندرسر شمالی علاوه بر کانه‌زایی در پهنه برشی خرد شده، رگه و رگچه‌هایی از کانی‌های سولفیدی داخل سنگ‌های بازالت مشاهده می‌شود (شکل ۴-۳).



شکل ۳-۳) موقعیت کانسار مس چغندرسر شمالی در تصاویر لندست و زمین‌شناسی

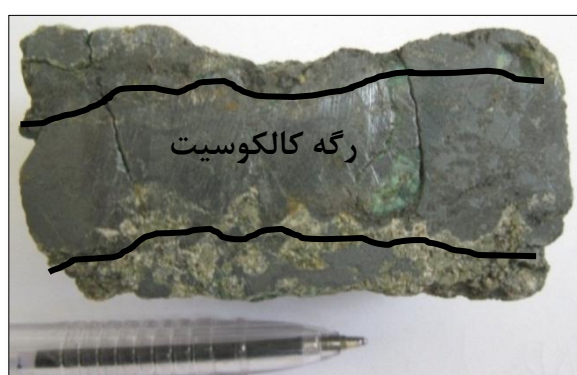


شکل ۴-۳) موقعیت پهنه برشی و رگه و رگچه‌های سولفیدی در چغندرسر شمالی (دید به سمت جنوب شرق)

بیشترین کانه‌زایی در پهنه برشی از نوع سولفیدی است. رگه و رگچه‌ها در این منطقه حاوی کالکوسیت، بورنیت، کولین، کالکوپیریت، مالاکیت می‌باشند، ضخامت و طول این رگه‌ها از چند میلی‌متر تا نزدیک به ۵ سانتی‌متر متغیر است (شکل ۶-۳). اما به طور معمول رگه‌های با ضخامت بالاتر از ۱۰ سانتی‌متر خیلی کم مشاهده می‌شوند. رگه‌ها غالباً حاوی کالکوسیت می‌باشند. (شکل ۶-۳).



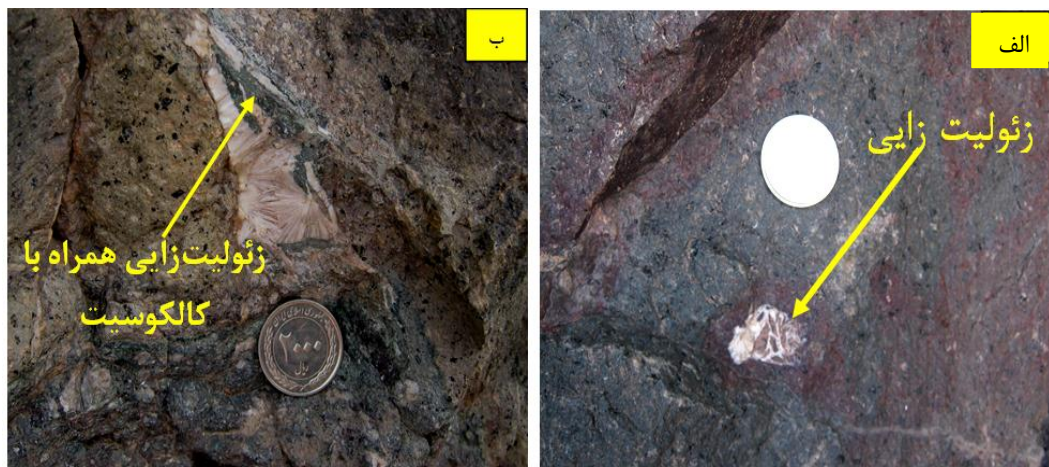
شکل ۶-۳) نمایی از کانه‌زایی‌های صورت گرفته در پهنه برشی



شکل ۶-۴) رگه کالکوسیت داخل سنگ میزبان بازالتی

در اثر واکنش ژئوشیمیائی سیالات قلیایی با پلاژیوکلازها، محلول‌های غنی از مواد قلیایی به وجود آمده که در شرایط فیزیکو‌شیمیائی خاص امکان نهشته شدن زئولیت‌ها را از این محلول‌ها فراهم

کرده است (شکل ۷-۳، الف). زئولیت‌زایی در این منطقه به صورت پراکنده صورت گرفته است، در اغلب موقع زئولیت‌زایی با کانه‌زایی همراه است (شکل ۷-۳، ب).



شکل ۷-۳) الف- شکل‌گیری زئولیت در بازالت‌ها ب- زئولیت‌زایی همراه با کانه‌زایی در بازالت‌ها.

۳-۱-۲- کانه‌زایی در چوندرسر مرکزی

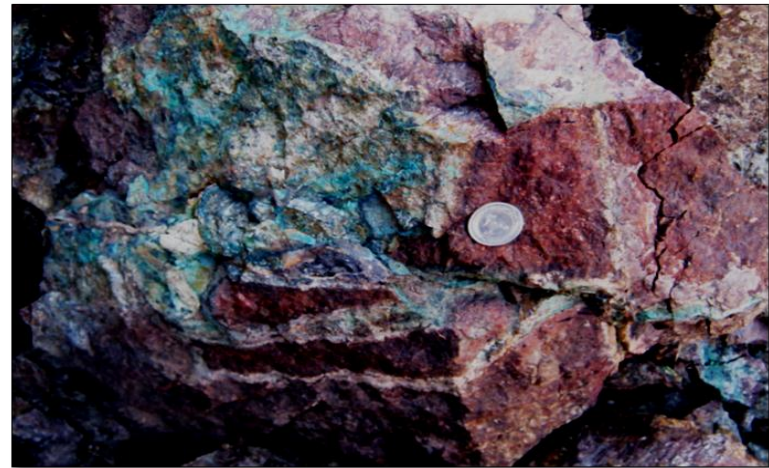
آثار عملیات اکتشافی در منطقه چوندرسر مرکزی، محدود به حفر ترانشه‌ها است که در ده سال اخیر انجام شده‌اند (شکل ۸-۳). این رخمنون ابعادی در حدود ۲۰ متر طول و ۵ متر عرض دارد. رگه و رگچه‌ها در این منطقه حاوی کالکوپیریت، کولین، کالکوپیریت، مالاکیت می‌باشند، ضخامت و طول این رگه‌ها از چند میلی‌متر تا نزدیک به ۶ سانتی‌متر متغیر است رگه‌ها غالباً حاوی کالکوپیریت و مالاکیت می‌باشند (شکل ۹-۳ تا شکل ۱۰-۳)، اطراف رگه‌های کانه‌دار هاله‌های از دگرسانی هماتیتی تشکیل شده است (شکل ۱۱-۳).



شکل ۸-۳) نمایی از ترانشه ایجاد شده در منطقه چغندرس مرکزی.



شکل ۹-۳) کانه‌زائی کالکوسيت به صورت رگه‌اي در بازالت‌ها.



شکل ۱۰-۳) کانه‌زایی سولفیدی همراه با دگرسانی هماتیتی در سنگ میزبان بازالتی.



شکل ۱۱-۳) کانه‌زایی کالکوسیت و مالاکیت همراه با ایجاد دگرسانی هماتیتی در حاشیه رگه‌ها همراه با تصویر بازسازی شده رگه‌های کانه‌دار و حالت دگرسانی اطراف آن‌ها.

۳-۱-۳- کانه‌زایی در روگرو

طبق مشاهدات و مطالعات انجام شده بر روی کانسار روگرو تنها مالاکیت به عنوان کانه مس تشخیص داده شد، مالاکیت‌ها در این کانسار فراوانی زیادی داشته و به صورت رگه و رگچه و فضایپرکن داخل شکستگی‌ها و حفرات را پر نموده است (شکل ۱۲-۳).



شکل ۱۲-۳) کانه‌زایی مس در حفرات و شکستگی‌های سنگ‌های بازالتی در منطقه روگرو.

۳-۱-۴- کانه‌زایی در منطقه استغانی

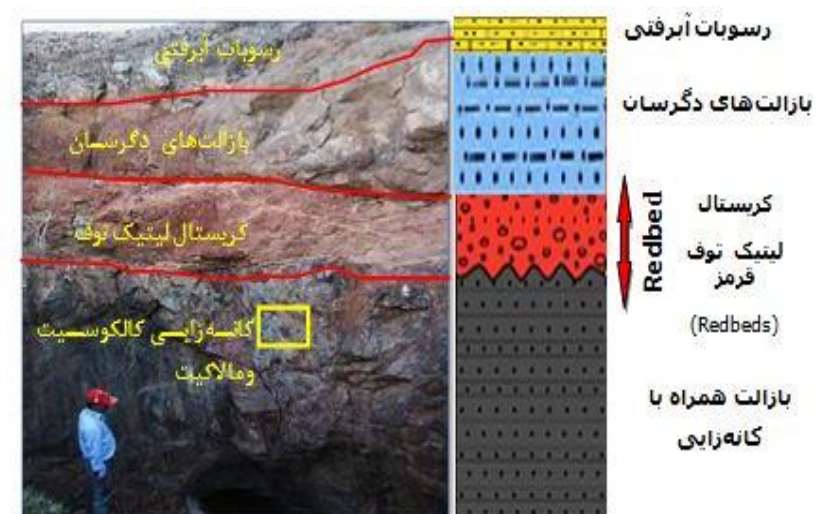
کانه‌زایی در منطقه استغانی دارای ساخت و بافت رگه‌ای و شکاف پرکن بوده‌است با گسل‌ها و شکستگی‌ها در ارتباط می‌باشد کانه سولفیدی در این کانسار کالکوسيت است که به همراه مالاکیت کانی‌های مس‌دار تشکیل می‌دهند. یکی از عوامل مهم کنترل‌کننده ماده معدنی در کانسار استغانی ساختارهای موجود، از قبیل گسل‌ها و درزهای می‌باشند. روند حفاری‌های انجام شده در شکل ۱۳-۳ این موضوع را تأیید می‌کند.



شکل ۱۳-۳) الف- تصویری از حفاری‌های صورت گرفته در امتداد پهنه یک گسل با راستای کلی N20E

ب- تصویر ماهواره‌ایی همان منطقه

طی بازدیدهای صورت گرفته منطقه استغانی در زیر توفیت‌های قرمزنگ رخنمون دارند. کانه‌زایی در این منطقه به صورت کالکوسيت و مالاکيت مشاهده می‌شود (شکل ۱۴-۳).

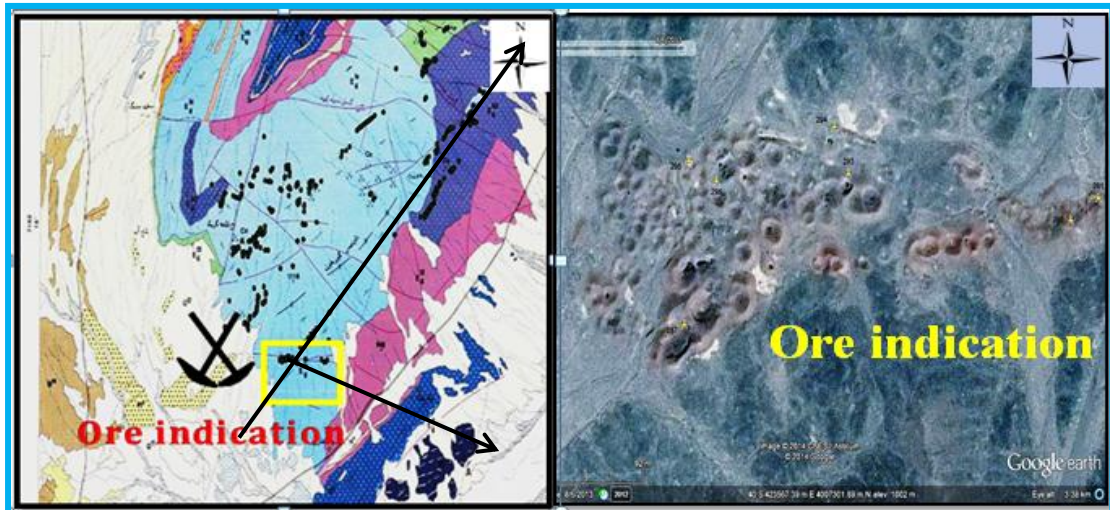


شکل ۱۴-۳) کانه‌زایی کالکوسيت و مالاکيت صورت گرفته در بازالت‌های منطقه.

۳-۱-۵- کانه‌زایی در منطقه نرتلویی

کانه‌زایی در منطقه نرتلویی بیشتر با گسل‌ها در ارتباط می‌باشد. حفاری‌های ایجاد شده هم راستا با روند گسل‌های منطقه به صورت شرقی- غربی است. در تصاویر ماهواره‌ایی تعدادی از آثار معدن‌کاری-

های قدیمی مشخص شده است (شکل ۱۵-۳).



شکل ۱۵-۳) موقعیت کانسار نرتلویی و تعدادی از معدن کاری قدیمی بر روی نقشه زمین‌شناسی و تصویر ماهواره‌ای.

مادهٔ معنی در نرتلویی، به دو صورت دانهٔ پراکنده و رگه‌ای در بازالت‌ها دیده می‌شود. بخشی از کانه‌زایی نیز در داخل حفرات صورت گرفته است. رخنمون‌های بزرگ بازالتی آمیگدال‌هایی همراه با کالکوسيت و مالاکيت جلب توجه می‌کند (شکل ۱۶-۳).



شکل ۱۶-۳) مالاکیت و کالکوسيت در داخل رگه‌ها و حفرات بادامکی

در محدوده رخنمون پر عیار کانسار، که با حفاری‌های شدادی همراه است به صورت چندین محدوده با فاصله تقریبی ۳۰ تا ۴۰ متر از هم دیگر مشاهده می‌شوند، در این منطقه کانه‌زایی در رگه‌هایی به ضخامت‌های متفاوت از چند میلی‌متر تا چند سانتی‌متر در سنگ‌ها مشاهده گردید. علاوه بر رگه‌های

کالکوسیت، مس طبیعی نیز در میان سنگ‌های استخراج شده در اطراف چاهک‌های قدیمی مشاهده می‌شود (شکل ۱۷-۳).



شکل ۱۷-۳) نمایی از کارگاه‌های موجود در کانسار نرتلویی و نمونه‌هایی از مس طبیعی و کالکوسیت در پهنه کانه‌دار.

۶-۱-۳- کانه‌زایی در چغندرسر جنوبی

در شرق شهرود خصوصاً در منطقه چغندرسر جنوبی، سه سیستم شکستگی عمده با روندها مختلف دیده می‌شود. در این کانسار شکستگی‌های زیادی وجود دارد. که کانه‌زایی غالباً در امتداد آن‌ها صورت گرفته است (شکل ۱۸-۳).



شکل ۱۸-۳) تصاویر ماهواره‌ای از منطقه چغندرسر جنوبی

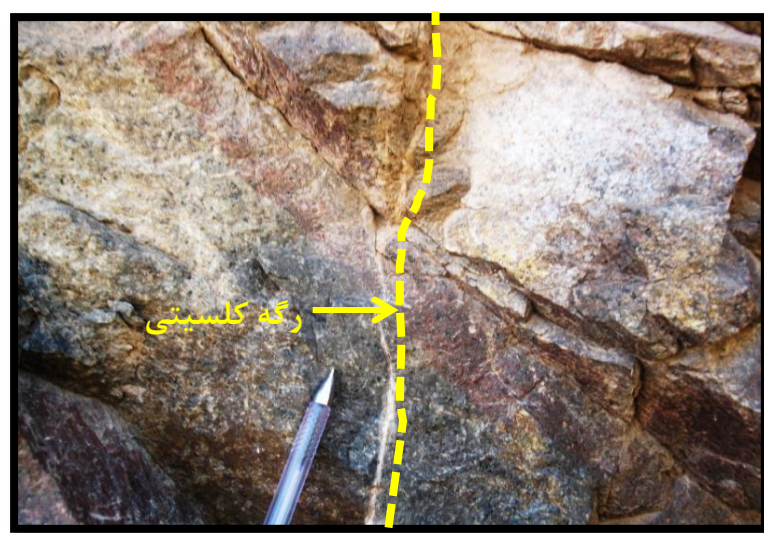
در این منطقه برخی از این شکستگی‌ها دارای کانه‌زایی هستند این دسته، به لحاظ وسعت و بروزن زد ماده معنی، بخش وسیعی از کانه‌زایی را به خود اختصاص داده است. سه دسته شکستگی‌های

عبارت اند از : شکستگی هایی که کانه زایی در امتداد آن خودنمایی می نماید. محدوده رخمنون پر عیار کانسار، با فاصله ۲۰ تا ۳۰ متر به صورت دو ترانشه از یکدیگر مشاهده می شود (شکل ۱۹-۳).



شکل ۱۹-۳) شکستگی هایی حاوی کانی های مس دار.

دسته دوم: گسل ها و شکستگی هایی هستند که با کانه زایی در ارتباط نیستند و توسط کلسیت پر شده اند (شکل ۲۰-۳).



شکل ۲۰-۳) رگه هایی که توسط کلسیت پر شده اند.

دسته سوم: گسل و درز شکستگی هایی هستند که عاری از هرگونه آثار نهشت سیالات هستند. این نسل از شکستگی ها، جدیدترین نسل از شکستگی های منطقه را شامل می شوند این دسته رگه های

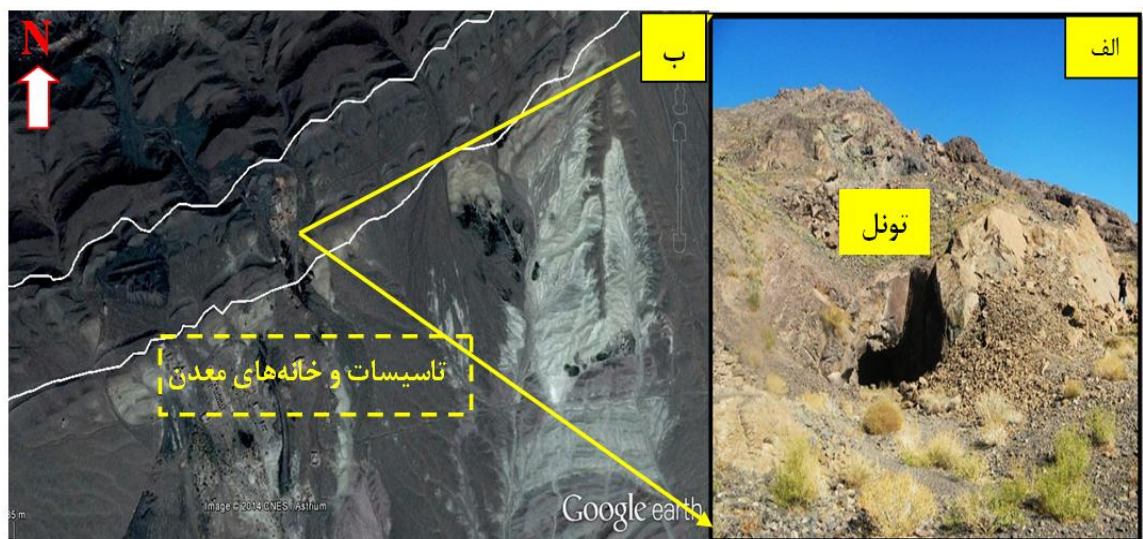
کانه‌دار را قطع نموده‌اند (شکل ۲۱-۳).



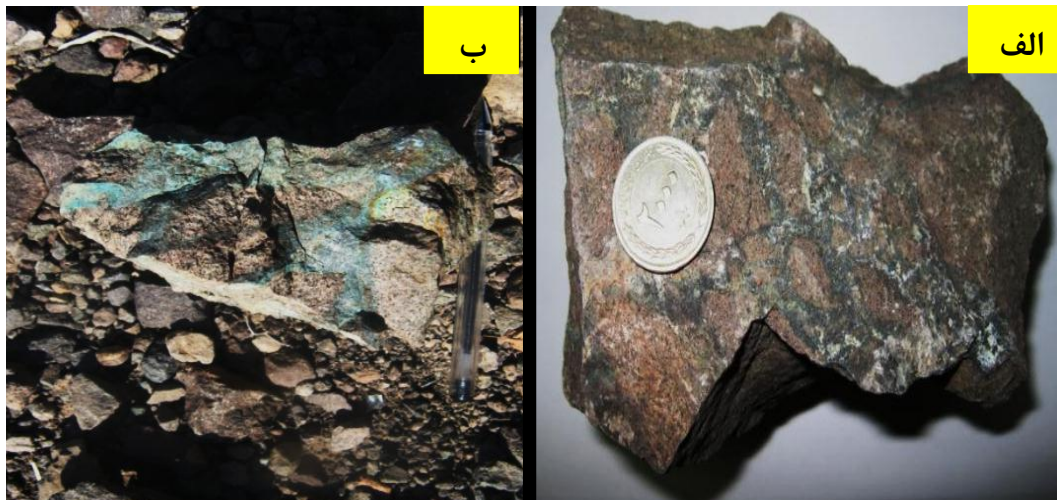
شکل ۲۱-۳) شکستگی‌های بدون کانه‌زایی که رگه‌های کانه‌دار را قطع نموده‌اند (جدیدترین نسل از شکستگی‌ها).

۷-۱-۳- کانه‌زایی در عباس‌آباد

با توجه به مشاهدات صحرایی انجام شده کانه‌زایی در منطقه عباس‌آباد در امتداد لایه‌بندی و در برخی شکستگی‌ها کانه‌زایی به صورت رگه و رگچه صورت گرفته است. در تصاویر ماهواره‌ایی می‌توان به این نکته پی برد که در ورقه عباس‌آباد، علاوه بر گسل خوردگی و چین خوردگی، لایه‌بندی نیز در کنترل کانه‌زایی نقش داشته است (شکل ۲۲-۳ الف و ب). در این منطقه رگه و رگچه‌ها توسط کالکوسيت و مالاکيت و در موارد نادر از آزوريت پر شده است (شکل ۲۳-۳ الف و ب).



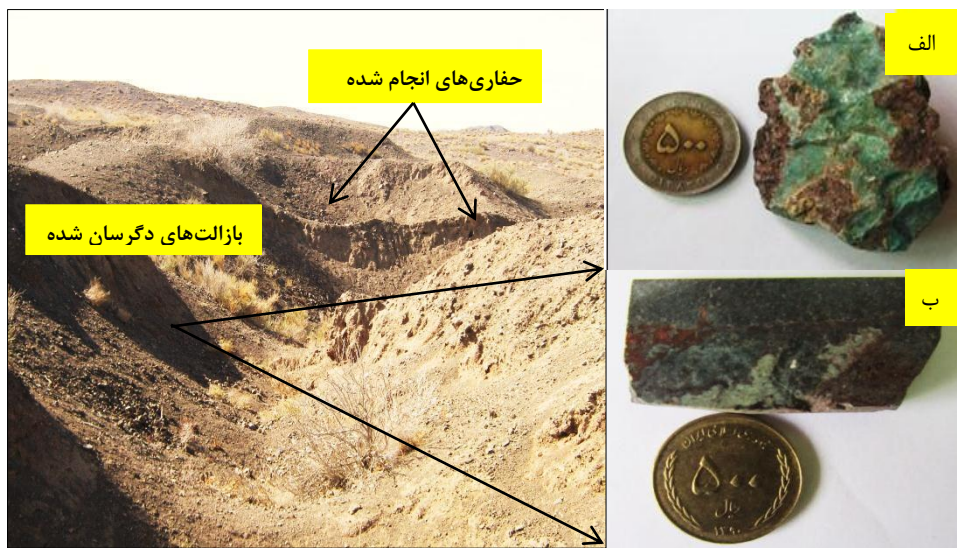
شکل ۲۲-۳) تصاویری از تونل و ترانشه حفر شده در امتداد لایه‌بندی الف- مقیاس رخنمون صحرایی، ب- در مقیاس تصاویر ماهواره‌ای



شکل ۲۳-۳-الف) کانه‌زایی کالکوسیت، به صورت رگه و رگچه در بازالت‌ها (ب) کانه‌زایی به صورت رگه و رگچه به صورت کالکوسیت، مالاکیت و آزوریت در بازالت‌ها.

۳-۱-۸-کانه‌زایی در گریک و گورخان

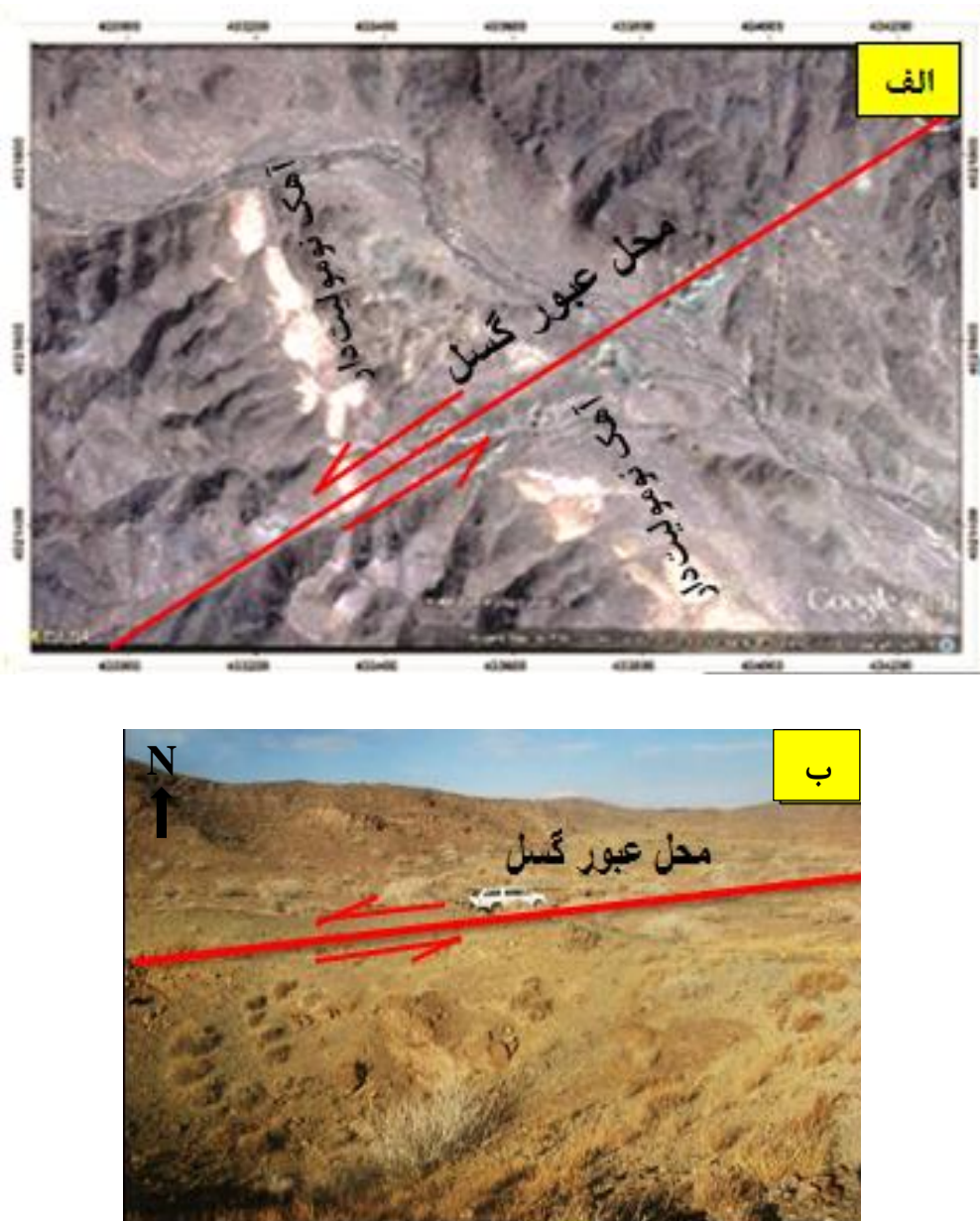
یکی از مهم‌ترین کانه‌زایی‌های صورت گرفته کانه‌زایی در منطقه گورخان می‌باشد که در آن مس طبیعی دارای فراوانی بیشتری است. در درون بازالت‌های دگرسان‌شده منطقه گورخان، مس طبیعی به صورت رگه‌ای و دانه‌پراکنده مشاهده می‌شود (شکل ۲۴-۳). ذخایر مس طبیعی خیلی کم و به ندرت تشکیل می‌شود زیرا محلول‌های فقیر از گوگرد غیر معمول است (وانگ و همکاران، ۲۰۰۶). این ذخایر فقط در برخی نقاط دنیا مانند ایران، بولیوی، چین، شیلی و دریاچه سوپریور در ایالت متحده آمریکا مشاهده شده است (گیلبرت و پارک، ۱۹۹۷). در منطقه گریک فراوانی کانه‌زایی مس نسبت به گورخان بسیار کمتر بوده و کانه‌زایی مس بیشتر به صورت مالاکیت می‌باشد.



شکل ۲۴-۳ (الف) بازالت آغشته به مالاکیت در منطقه گریک (ب) مس طبیعی به صورت رگه‌ای درون بازالتها در سنگ‌های استخراج شده از گذشته در منطقه گورخان

۳-۱-۹- کانه‌زایی در الهاک (۲)

در تصاویر ماهواره‌ایی این منطقه عبور گسل‌های با روند شمال شرق - جنوب غرب در محدوده کانه‌زایی شده قابل مشاهده است (شکل ۲۵-۳ الف). این گسل واحد سنگی نومولیت‌دار را به صورت چپبر جابه‌جا کرده است. همچنین گسل‌هایی با امتداد شرقی - غربی نیز به صورت فرعی در منطقه دیده می‌شود (شکل ۲۵-۳ ب). کالکوسيت و مالاکیت در این منطقه به صورت رگه و رگچه در داخل سنگ میزبان به راحتی قابل مشاهده است.



شکل ۲۵-۳ (الف) محل عبور گسل امتدادلغز و جابه‌جایی آهک نومولیت‌دار در تصویر ماهواره‌ای،
ب) تصویری از محل عبور گسل در منطقه الهاک و جابه‌جایی واحد سنگی (دید به سمت شرق)

۲-۳ دگرسانی

دگرسانی می‌تواند شاخص یک فرایند شستشوی اساسی باشد که توسط نسبت کاتیون‌های فلزی به یون هیدروژن در محلول دگرسان کننده کنترل می‌شود (هملی و جونز، ۱۹۶۴). مؤثرترین عوامل در کنترل واکنش‌های دگرسانی دما، فشار، فراوانی، ترکیب شیمیایی، رفتار دینامیکی سیال و میزان واکنش‌پذیری سنگ درون‌گیر می‌باشد (مک میلان و پانتلیف، ۱۹۹۰). مجموعه کانی‌های ایجاد شده در طی دگرسانی می‌توانند اطلاعاتی در مورد ترکیب شیمیایی سیال ارائه نمایید (هدنکویست^۱، ۲۰۰۰). عواملی نظیر دما، شوری، میزان فعالیت گوگرد و فوگاسیته اکسیژن سیال، Ph سیال، میزان فعالیت یون کلرید و مقدار کل گوگرد سیال از عوامل کنترل‌کننده ترکیب شیمیایی سیال گرمابی می‌باشد (هیلد^۲، ۱۹۸۷). دگرسانی سنگ‌های دیواره را می‌توان به دو بخش اصلی تقسیم کرد: درون‌زاد و برون‌زاد. دگرسانی درون‌زاد توسط سیالات گرمابی بالارونده ایجاد می‌گردد، در حالی که دگرسانی برون‌زاد در نتیجه واکنش آب‌های فرورو با سنگ‌های کانی‌سازی شده قبلی ایجاد می‌شود (شهاب پور، ۱۳۸۲). در این بخش ما به بررسی انواع دگرسانی در مناطق مورد مطالعه خواهیم پرداخت. در جدول ۱-۳، نام هر منطقه همراه با نام سنگ و دگرسانی صورت گرفته در آن ذکر شده است.

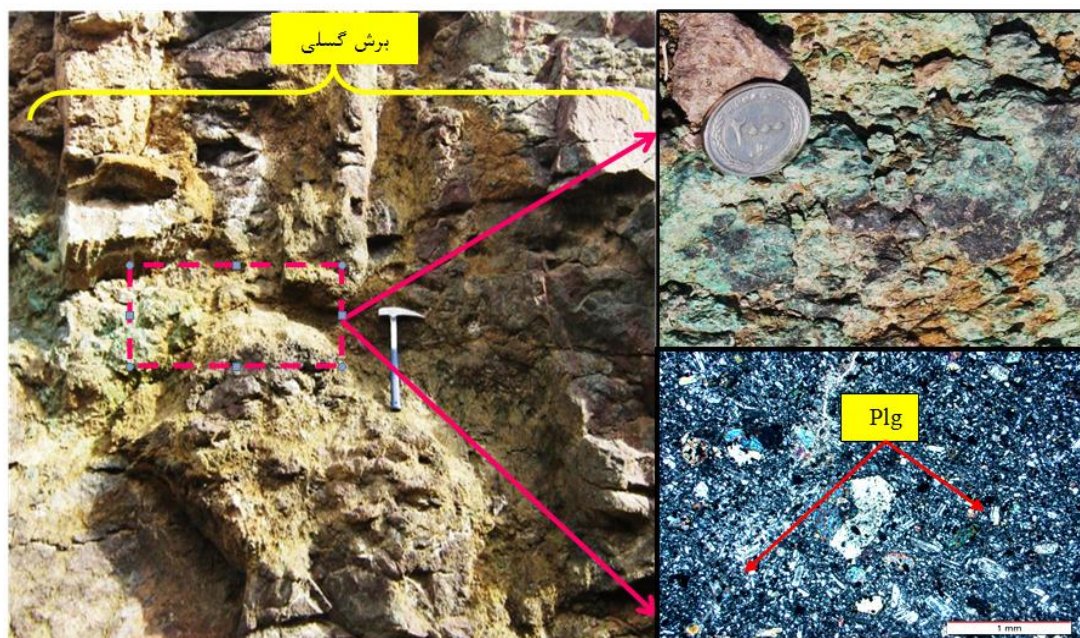
¹ Hedenquist
² Heald

جدول ۱-۳ مشخصات سنگ‌شناسی و دگرسانی صورت گرفته در هر یک از مناطق کانه‌زایی شده.

دگرسانی	نام سنگ	نام منطقه کانه‌زایی
هماتیتی، کربناتی	بازالت	روگرو
سوسوریتی، هماتیتی، کلریتی، کربناتی	الیوین بازالت، پیروکسن بازالت	چغندرسر شمالی
هماتیتی، کربناتی	الیوین بازالت	چغندرسر مرکزی
هماتیتی، کلریتی	پیروکسن بازالت	چغندرسر جنوبی
هماتیتی	توف ماسه‌ای و بازالت	الهاک ۱
هماتیتی	بازالت و پیروکسن بازالت	الهاک ۲
کلریتی، هماتیتی	الیوین بازالت	گریک
کلریتی، کربناتی	بازالت و الیوین بازالت	گورخان
هماتیتی، کربناتی	پیروکسن بازالت	نرتلویی
هماتیتی	بازالت و توف ماسه‌ای	استغانی
کلریتی، هماتیتی	بازالت	گچ کنوم
هماتیتی	بازالت و الیوین بازالت	عباس آباد

۱-۲-۳- دگرسانی در چوندرسر شمالی

در منطقه چوندرسر شمالی فعالیت‌های زمین ساخت منجر به دگرسانی شدیدی در این منطقه شده است. دگرسانی‌ها در این منطقه شامل سوسوریتی، کلریتی، کربناتی، و هماتیتی شدن است (شکل ۲۶-۳). دگرسانی هماتیتی در این ناحیه به طور گسترده قابل مشاهده است (شکل ۲۷-۳).



شکل ۲۶-۳) برش گسلی با دگرسانی سوسوریتی همراه با تصویر در مقیاس میکروسکوپی



شکل ۲۷-۳) دگرسانی هماتیتی در بازالت‌ها و همراه با تصویر در مقیاس میکروسکوپی

۲-۲-۳- دگرسانی در چغندرسر مرکزی

دگرسانی‌های هماتیتی و کربناتی در این مناطق بیشتر از سایر دگرسانی‌ها به چشم می‌خورد.

گسل‌های موجود در منطقه به عنوان کانال‌های ارتباطی عمل کرده و چرخش سیالات گرمابی منجر

به کانی‌سازی رگه - رگچه‌ای و دگرسانی سنگ‌های ولکانیکی شده است (شکل ۲۸-۳).



شکل ۲۸-۳) دگرسانی هماتیتی بر اثر گسل خودگی و شکستگی فراوان در منطقه ایجاد شده است. در مقاطع میکروسکوپی نیز می‌توان به راحتی این نوع دگرسانی را مشاهده کرد.

دگرسانی کربناتی:

تشکیل کلسیت در محدوده‌ی دمایی وسیع صورت می‌گیرد و پایداری آن عمدتاً تحت تأثیر غلظت گاز کربنیک معمول می‌باشد. در سنگ‌هایی با تخلخل و نفوذپذیری کم کلسیت در حضور سیالات غنی از CO_2 جانشین کانی‌های کلسیم‌دار (مانند پلازیوکلاز کلسیم‌دار، زئولیت و اپیدوت) و شیشه‌های آتشفشاری می‌شود. کلسیت درون و حاشیه‌ی کانی‌زایی اپیترمال با سولفیداسیون پایین به صورت مجموعه کانیایی پروپلتیک ایجاد می‌شود. در فضای باز، کلسیت در اثر جوشش و خروج CO_2 رسوب می‌کند (تامپسون، ۱۹۸۹). دگرسانی کربناتی از زیر مجموعه‌های دگرسانی پروپیلیتی است و به دلیل تشکیل مقدار بالای کربنات به کربناتی شدن معروف است (شهاب پور، ۱۳۸۵). این دگرسانی در نتیجه افزوده شدن کانی‌های کربناته به رگه‌ها و سنگ میزبان تشکیل می‌گردد که در منطقه چوندرسر با تشکیل ثانویه کلسیت نمود پیدا کرده است (شکل ۲۹-۳).



شکل ۳) دگرسانی کربناتی در حاشیه رگه‌ها همراه با تصویر در مقیاس میکروسکوپی

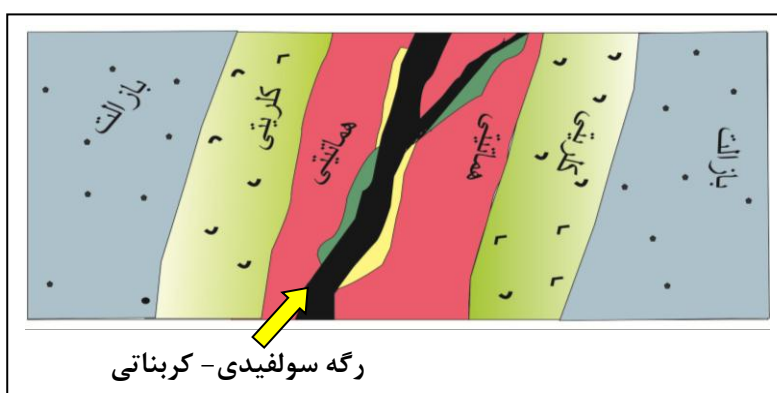
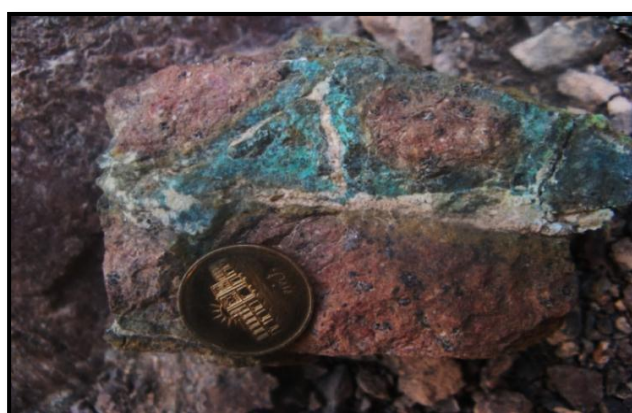
۳-۲-۳- دگرسانی در چغندرسر جنوبی

در این منطقه دگرسانی‌هایی همچون، هماتیتی و کلریتی شدن مشاهده می‌شود (شکل ۳۰-۳ و شکل

۳۱-۳). در این منطقه دگرسانی هماتیتی در گستره وسیعی از منطقه مشاهده گردید.



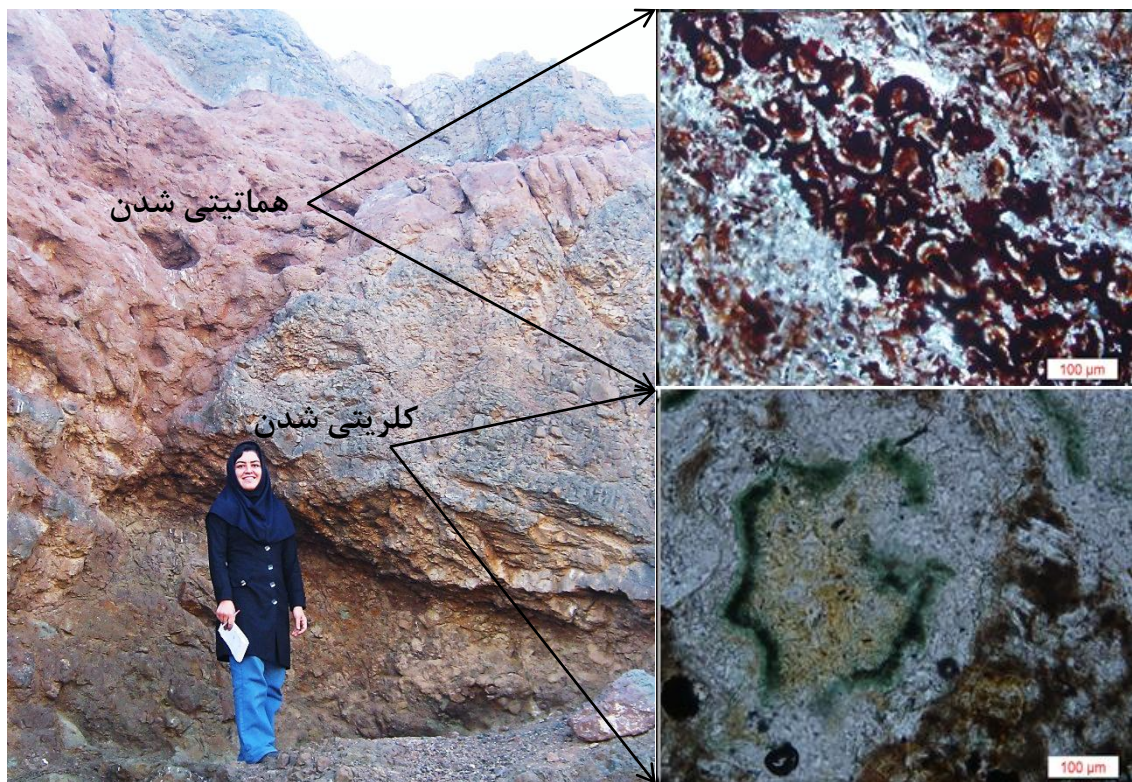
شکل ۳۰-۳ دگرسانی کلریتی در رگه و رگچه‌های معدنی در اثر فرایندهای گرمابی.



شکل ۳۱-۳) الف- نمایی از هماتیتی و کلریتی شدن بازالت‌ها به موازات رگه‌ها و رگچه‌های کانه‌دار در منطقه، ب- تصویر بازسازی شده از پهنه دگرسانی منطقه

۴-۲-۳- دگرسانی در گریک و گورخان

مهم‌ترین دگرسانی‌های صورت گرفته در منطقه گریک و گورخان کلریتی شدن، هماتیتی شدن و کربناتی شدن می‌باشند. دگرسانی کلریتی در این منطقه به صورت وسیع گسترش دارد (شکل ۳۲-۳). سنگ‌های کلریتی شده در رخنمون‌ها معمولاً به رنگ خاکستری – آبی تا سبز مشاهده می‌شود. علاوه بر دگرسانی کلریتی، دگرسانی کربناتی نیز به صورت رگه و رگچه‌ای در منطقه گریک و گورخان مشاهده شد (شکل ۳۳-۳).



شکل ۳۲-۳) نمایی از دگرسانی کلریتی و هماتیتی همراه با تصاویر میکروسکوپی آن در منطقه گورخان



شکل ۳-۳) دگرسانی کربناتی به صورت رگه و رگچه‌ای در بازالت‌های منطقه گورخان همراه با تصویر میکروسکوپی

۳-۲-۵- دگرسانی در نرتلویی

بر اساس مطالعات صحرایی صورت گرفته دگرسانی‌های کلسیتی، کلریتی، هماتیتی و سیلیسی، در این منطقه مشاهده می‌شوند.

دگرسانی کربناتی: شدت این دگرسانی در منطقه، متفاوت بوده و این امر با تراکم درزه، شکستگی‌ها و حفرات موجود در منطقه، رابطه مستقیم دارد. در این منطقه در سنگ میزبان به راحتی می‌توان کانه‌زایی سولفیدی (کالکوسیت) و کربناتی (مالاکیت) را در داخل حفرات بادامکی و شکستگی‌های منطقه مشاهده نمود (شکل ۳-۴)



شکل ۳-۴) نمایی از دگرسانی کربناتی به همراه پرشدگی حفرات بادامکی و رگه‌ها با مالاکیت و کالکوسیت.

کلریتی:

کلریتی شدن حالت خاصی از دگرسانی پروپلیتیک می‌باشد که به علت درصد بالای کلریت آن را کلریتی شدن می‌نامند (شکل ۳۵-۳). علاوه بر کلریتی شدن، هماتیتی شدن ضعیفی نیز در منطقه نرتلویی مشاهده می‌شود (شکل ۳۶-۳).



شکل ۳ (۳۵-۳) نمایی از دگرسانی کلریتی در سنگ‌های بازالتی



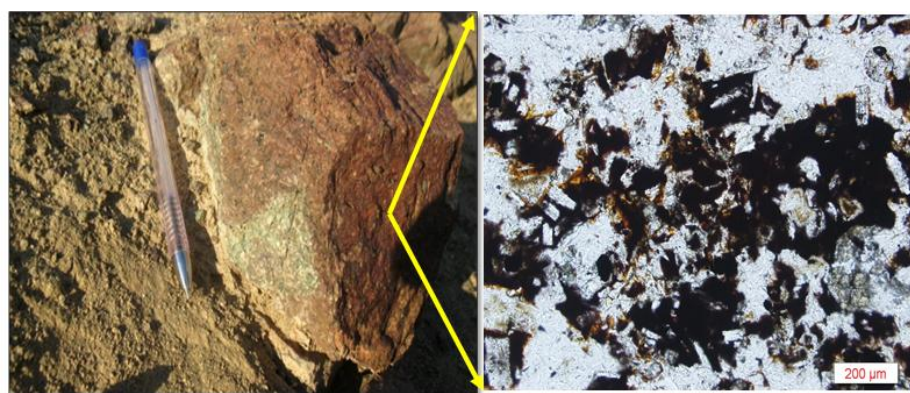
شکل ۳ (۳۶-۳) دگرسانی هماتیتی در سنگ‌های بازالتی.

۶-۲-۳- دگرسانی در الهاک (۱) و (۲)

دگرسانی هماتیتی در شمال منطقه الهاک (۱) مشاهده می‌شود. با توجه به مشاهدات صحرایی صورت گرفته در قسمت جنوبی منطقه الهاک این دگرسانی بیشتر در امتداد گسل‌ها و شکستگی‌ها نموده دارد (شکل ۳۷-۳). دگرسانی هماتیتی در الهاک (۲) غالباً در مجاور رگه‌ها رخ داده است (شکل ۳۸-۳).



شکل ۳۷-۳) نمایی از دگرسانی هماتیتی در کریستال لیتیک توفیت‌های قرمز در شمال منطقه الهاک (۱)



شکل ۳۸-۳) نمایی از دگرسانی هماتیتی به همراه تصویر میکروسکوپی آن در منطقه الهاک (۲)

دگرسانی سیلیسی: دگرسانی سیلیسی یکی از متداول‌ترین انواع دگرسانی‌های گرمابی است که با افزایش کوارتز در سنگ همراحت است (پیراجنو، ۱۹۹۲). سیلیسی شدن در الهاک (۱) و (۲) محدوده بسیار اندک و عمدتاً به صورت اضافه شدن سیلیس و یا به صورت تشکیل رگچه‌هایی از کوارتز است.

که در امتداد شکستگی‌ها نمود دارد. به نظر می‌رسد این نوع دگرسانی غالباً در مجاور رگه‌ها رخ داده است. تصاویری از دگرسانی کربناتی و دگرسانی سیلیسی در منطقه الهاک (۱) و (۲) نشان داده شده است (شکل ۳۹-۳ و شکل ۴۰-۳).



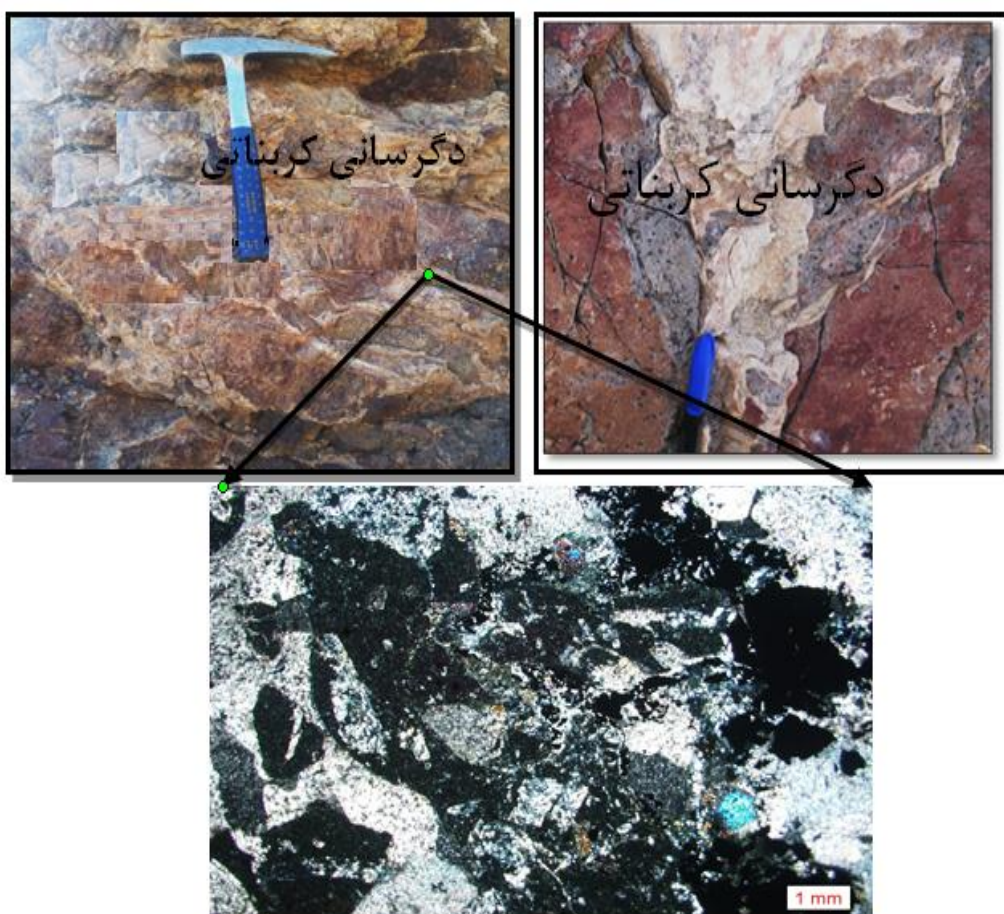
شکل ۳۹-۳ دگرسانی کربناتی و دگرسانی سیلیسی در شمال الهاک (۱)



شکل ۴۰-۳ دگرسانی سیلیسی همراه با کانه‌زایی کالکوسیت در منطقه الهاک (۲)

۷-۲-۳- دگرسانی در روگرو

براساس مطالعات صحرایی صورت گرفته در منطقه روگرو دگرسانی کربناتی و کلریتی بیشترین گسترش را در منطقه دارند. شدت این دگرسانی در قسمت‌های مختلف منطقه، متفاوت بوده است. و اصولاً این دگرسانی‌ها از روند شکستگی‌های منطقه پیروی می‌کنند. این رگه‌ها عمدتاً کربناتی هستند که بخش زیادی از آن‌ها به وسیله کانه‌های کربناتی (مالاکیت) و کلریت پر شده است (شکل ۴۱-۳).



شکل ۴۱-۳ نمایی از دگرسانی کربناتی در سطح آگلومراها و هیدرولاستها و در میان درزه و شکستگی‌های منطقه به همراه تصویر میکروسکوپی آن.

فصل چهارم

کالیشناسی، ساخت، بافت

و توالی پاراژنیکی

۱-۴ مقدمه

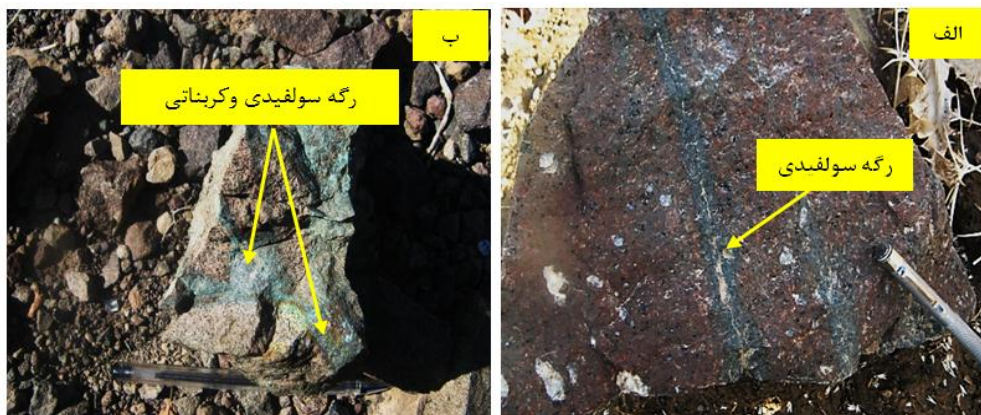
مطالعه ساخت، بافت، کانی‌شناسی و تعیین توالی پاراژنتیکی کانی‌ها، اطلاعات سودمندی درباره ویژگی‌های محیط تشکیل کانسار در اختیار می‌گذارد که این اطلاعات در تعیین ارزش اقتصادی کانسار و تعیین روش فرآوری ماده معدنی بسیار کاربردی می‌باشد، رفتار کانی‌های تشکیل‌دهنده هر کانسار، بازتاب ویژگی‌های شکل‌دهنده آن کانسار است (Craig and Vaughan 1994). یک کانسار، در طی مجموعه فرآیندهایی تشکیل می‌شود که هر یک از این فرآیندها، با تأثیر مشخصی بر سنگ میزبان و کانی‌های موجود همراه است، با بررسی تشکیل هر یک از این کانی‌ها در بستر زمان و ارتباط آن‌ها با دیگر کانی‌ها و سرانجام، کنار هم نهادن و ساماندهی این دانسته‌ها می‌توان معماً پیچیده توالی پاراژنزی و کانی‌شناسی را به رشتۀ نظم کشید. مطالعات ساخت و بافت ماده معدنی و تشخیص دقیق پاراژنز کانی‌های معدنی سنگ‌ساز، ما را به شناخت بهتر از کانسارهای مس شرق شهرود رهنمون می‌سازد. به منظور انجام مطالعات مذکور، از ماده معدنی و سنگ‌های میزبان منطقه، تعداد ۳۰ مقطع نازک صیقلی، ۱۰ مقطع صیقلی و ۲۰ مقطع نازک، تهیه گردید. جهت سهولت مطالعه در این پایان‌نامه کانسارها و اندیس‌های هر منطقه به صورت جداگانه بررسی می‌شود.

۲-۴ ساخت و بافت ماده معدنی در کانسارهای شرق و جنوب شرق شهرود

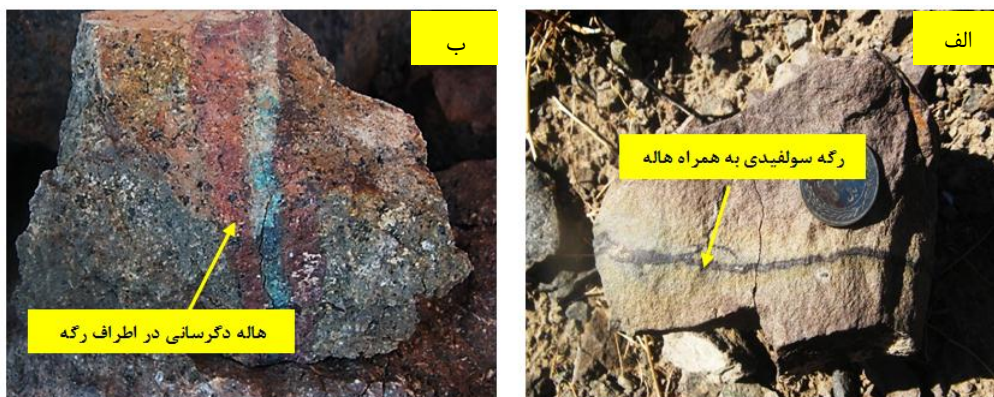
رخساره رگه-رگچه‌ای در کانسارهای مورد مطالعه، دارای گسترش فراوان می‌باشد. این رگه و رگچه‌ها نامنظم بوده و متشكل از رگه‌های مس طبیعی، سولفیدهای مس و کربنات‌های آبدار مس می‌باشند. رگچه‌های سولفیدی حاوی کالکوسیت، بورنیت و کالکوپیریت در این کانسارها مشاهده می‌شود. رگه‌های حاوی سولفیدهای مس در بخش‌های برشی شده به وفور دیده می‌شوند. در رگه‌های سولفیدی، از بیرون به سمت داخل، ابتدا هاله واکنشی و سپس جانشینی سولفیدها در سنگ درون گیر رخ داده است. کانی‌های کالکوسیت، کالکوپیریت، بورنیت، کوولین، مس طبیعی و مالاکیت رخساره رگه-رگچه‌ای را تشکیل می‌دهند. در برخی موارد نیز به راحتی می‌توان مس طبیعی، پیریت و بورنیت

را به صورت دانه پراکنده در سنگ میزبان بازالتی و آندزیت بازالتی مشاهده کرد (شکل ۱-۴ تا شکل

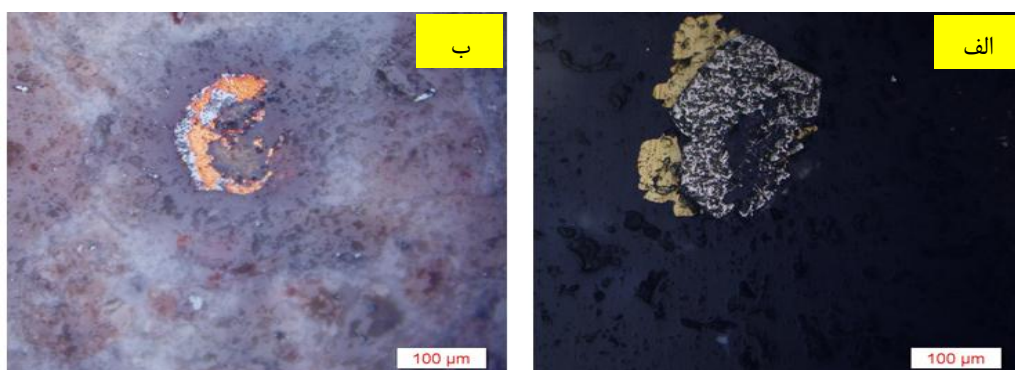
.۳-۴)



شکل ۱-۴) الف- نمونه‌دستی از رگه سولفیدی در منطقه چغدرسر جنوبی ب- نمونه‌دستی از رگه سولفیدی (کالکوسيت) و رگه کربناتی (مالاکيت) در منطقه نرتلویی



شکل ۲-۴) الف- نمونه دستی از رخساره رگه- رگچه‌ای و هاله دگرسانی اطراف آن در سنگ دیواره در منطقه عباس‌آباد ب- نمونه دستی از رخساره رگه‌ای و هاله دگرسانی هماتیتی در سنگ دیواره در چغدرسر جنوبی



شکل ۳-۴) الف- تصویر میکروسکوپی از نمونه کالکوپیریت به صورت دانه پراکنده در منطقه گورخان ب- تصویر میکروسکوپی از مس طبیعی به صورت دانه پراکنده در بازالت‌های منطقه گورخان

۴-۳-۴ کانه‌های اصلی در منطقهٔ شرق و جنوب شرق شاهروд

مادهٔ معدنی در کانسارها و آثار معدنی شرق و جنوب شاهرود به طور عمدهٔ کالکوسیت، مس طبیعی، بورنیت، کالکوپیریت، پیریت، هماتیت و مالاکیت هستند. کوولین و دیژنیت نیز به مقدار جزئی (در مقیاس میکروسکوپی) مشاهده می‌شوند.

۴-۳-۱ چغندرسر شمالی، جنوبی و مرکزی

کانی‌شناسی فلزی در کانسار چغندرسر شامل کانی‌های کالکوسیت، بورنیت، کالکوپیریت و کوولین می‌باشد.

کالکوسیت Cu_2S

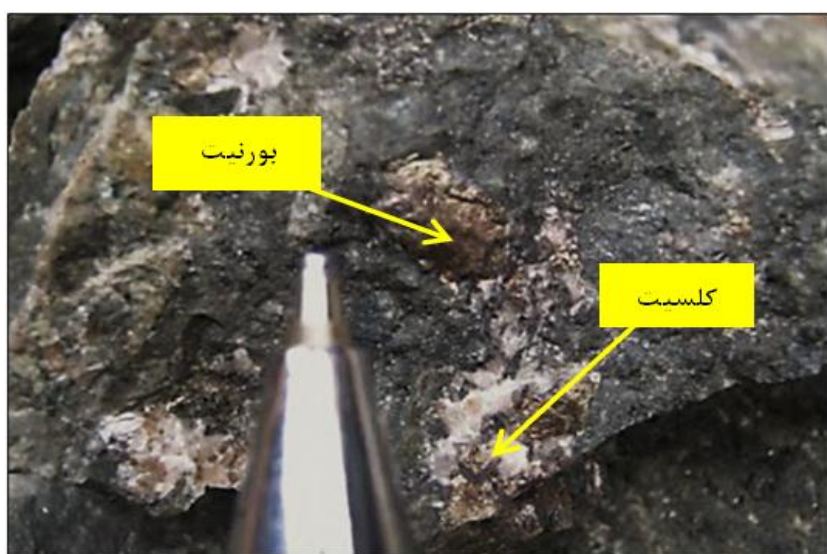
کالکوسیت در نمونه دستی به صورت رگه‌های سیاه تا نقره‌ای رنگ و یا به صورت دانهٔ پراکنده و به رنگ نقره‌ای در نمونه‌های تازه شکسته شده مشاهده می‌شود. در نمونه دستی این کانی به صورت کانی اولیه دانهٔ درشت و سیاه رنگ در رگه و رگچه‌ها مشاهده شد (شکل ۴-۴). این کانی نسبت به دیگر کانی‌های سولفیدی بیشترین فراوانی را در این مناطق شامل می‌شود. کالکوسیت در نمونه میکروسکوپی همراه با بورنیت، کوولین و کالکوپیریت دیده می‌شود (شکل ۷-۴ الف).



شکل ۴-۴) نمونه دستی از کالکوسیت به صورت رگه‌ای در بازالت‌ها در چغندرسر جنوبی

Cu_5FeS_4 بورنیت

این کانی در نمونه دستی با رنگ صورتی تا صورتی متمایل به قهوه‌ای قابل شناسایی است (شکل ۴-۵). بورنیت در مقاطع میکروسکوپی هم رشدی خوبی را با کالکوپیریت و کوولین نشان می‌دهد (شکل ۷-۴ ب) و از لحاظ دمای تشکیل همراهی این سه کانی با هم قابل توجیه است. در مقاطع میکروسکوپی این کانی سولفیدی مس از اطراف در شکستگی‌ها به کانی‌های کالکوسیت و کوولیت تبدیل شده است. بورنیت در اثر جانشینی به کالکوسیت و کوولین تبدیل می‌شود (رامدور، ۱۹۸۰).



شکل ۴-۵) بورنیت به رنگ قهوه‌ایی به دو صورت دانه پراکنده و رگه‌ای درون بازالت‌ها در چغندرسر شمالی

CuFeS_2 کالکوپیریت

کالکوپیریت در نمونه‌های دستی به صورت دانه پراکنده (شکل ۶-۴) قابل مشاهده است. در مطالعه مقاطع صیقلی رنگ زرد گوگردی، آن را از سایر کانی‌ها متمایز نموده است. کالکوپیریت به صورت تیغه‌هایی در داخل بورنیت مشاهده می‌شود (شکل ۷-۴ ج).

CuS کوولین

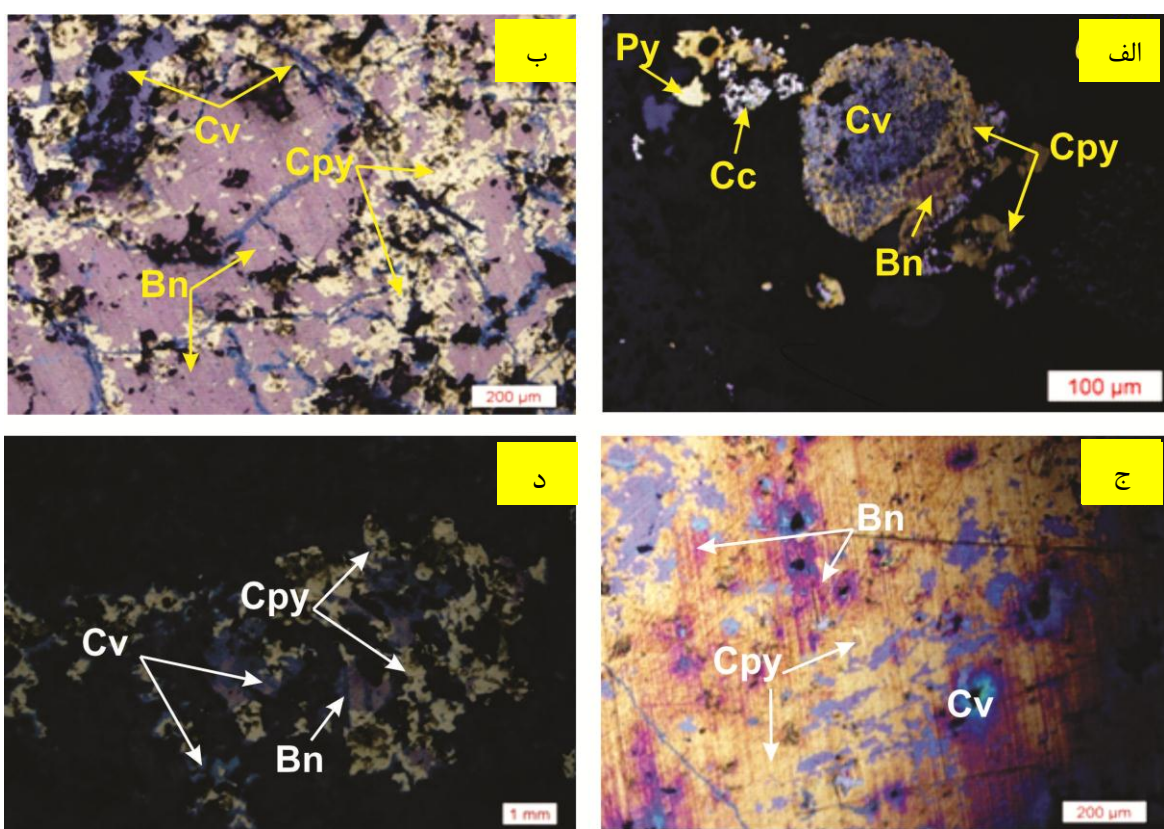
کوولین یک کانی ثانویه است که از تجزیه سولفیدهای مس (کالکوسیت، کالکوپیریت و بورنیت) تشکیل شده است و بیشترین گسترش این کانی در پهنه‌های هوازده و در رگه‌ها است. این کانی به

رنگ نفتی در مقاطع دیده می‌شود (شکل ۴-۷د). کوولیت چند رنگی قوی و انیزوتربوی بالایی دارد.

کوولین را می‌توان کانی ثانویه حاصل از دگرسانی کانی‌های سولفیدی مس در نظر گرفت.



شکل ۶-۴) کالکوپیریت و بورنیت در سنگ‌های میزان بازالی در چغندسر شمالی



شکل ۷-۴) الف- تصویری از کالکوپیریت (Cpy) بورنیت (Bn) و کالکوسیت (Cc) و هم رشدی پیریت و کالکوپیریت.

ب- تصویری از کالکوپیریت (Cpy) بورنیت (Bn) و تشکیل کوولین (Cv) در شکستگی‌ها. ج- تصویری از

کالکوپیریت، بورنیت (Bn) و کوولین (Cv)، بورنیت از اطراف به کوولین تبدیل شده است. د- کالکوپیریت همراه با

بورنیت و کولین در داخل بازلتها

۴-۳-۲- گریک و گورخان

مس طبیعی (Cu):

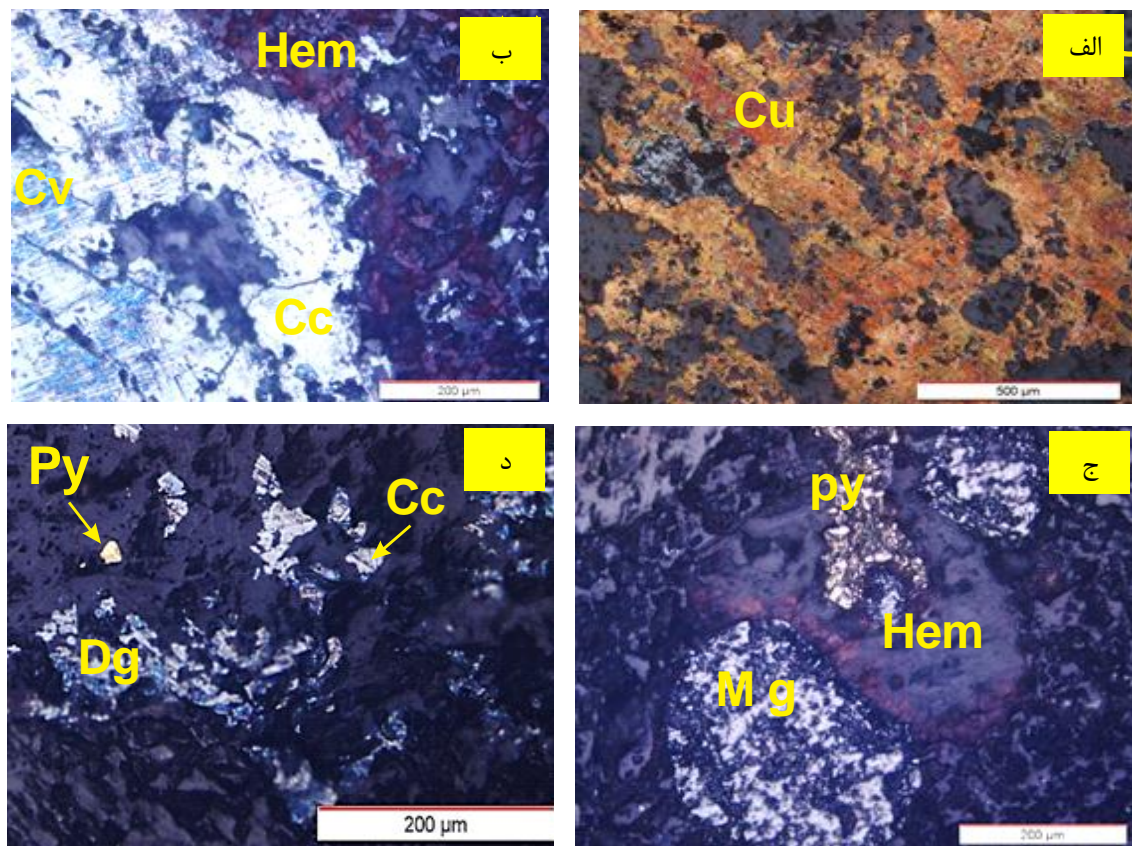
مس طبیعی با رنگ خاص خود هم در نمونه‌ی دستی و هم در مقاطع صیقلی میکروسکوپی به راحتی قابل تشخیص است. رنگ مس در زیر میکروسکوپ قرمز متمایل به مسی است. مس خالص در نور پلاریزه مقاطع ایزوتروپ است. اندازه دانه‌های مس خالص در حدود ۱ میلی‌متر تا ۲ سانتی‌متر و گاهی در اندازه‌های بزرگتر در داخل رگه‌ها دیده می‌شود. مس در فضاهای خالی در زیر میکروسکوپ به راحتی قابل تشخیص است (شکل ۸-۴ الف).

هماتیت (Fe_2O_3):

بر اساس (1995) Haynes et al، برای تشکیل هماتیت در قسمت‌های فوقانی کانسار حضور اکسیژن ضروری است. به عبارت دیگر، باید فوگاسیته اکسیژن افزایش پیدا کند. برای این امر یک منبع خارجی لازم است تا این میزان زیاد اکسیژن را فراهم کند و محتمل‌ترین منبع اکسیژن، آب‌های جوی است که در اثر چرخش در قسمت بالایی کانسار باعث اکسیده شدن قسمت فوقانی کانسار می‌شوند. هماتیت در محیط هوازدگی، پایدار بوده و معمولاً توسط هوازدگی به وجود می‌آید. در این مناطق اصولاً هماتیت حاصل دگرسانی مگنتیت می‌باشد. (شکل ۸-۴ ب).

پیریت (FeS_2):

بر اساس (1993) Craig and Vokes، پیریت، گسترده‌ترین و فراوان‌ترین کانی سولفیدی در پوسته زمین بوده و معمولاً فاز کدر اولیه نهشته‌های معدنی را تشکیل می‌دهد. پیریت با رنگ کرمی در زیر میکروسکوپ قابل شناسایی است. در مقاطع صیقلی بلورهای نیمه‌شکل‌دار تا شکل‌دار پیریت به صورت دانه پراکنده در زمینه سنگ دیده می‌شود (شکل ۸-۴ د). پیریت به مقدار کم همراه با بخش‌های سولفیدی کانه‌زایی‌های مس صورت گرفته در مناطق مختلف مشاهده می‌شود.



شکل ۴-۸) الف- تصویر میکروسکوپی مس طبیعی (Cu) در بازالت‌ها ب- هماتیت (Hem) و
کالکوسیت (Cc) در بازالت‌ها ج- رشد کانی‌های پیریت (py) و مگنتیت (Mg) در کنار یکدیگر، مگنتیت‌های نیمه
شكل‌دار که در اثر هوازدگی به هماتیت تبدیل شده است. د- بلورهای نیمه شکل‌دار پیریت (Py) به همراه کالکوسیت
(Dg) و دیژنیت (Cc)

۳-۳-۴ روگرو



این کانی به رنگ سبز روشن تا تیره، به مقدار بسیار کمی همراه با کلسیت دیده می‌شود (شکل ۹-۴). ملاکیت یکی از فراوان‌ترین کانی‌ها در قسمت‌های سطحی ذخایر مس است. ملاکیت یک کانی کربناتی است که در اثر عوامل ثانویه از قبیل فرایندهای جوی در مناطق سطحی تشکیل شده است. این کانی در بیشتر کانسارهای شرق و جنوب شرق شاهروド مشاهده می‌شود.



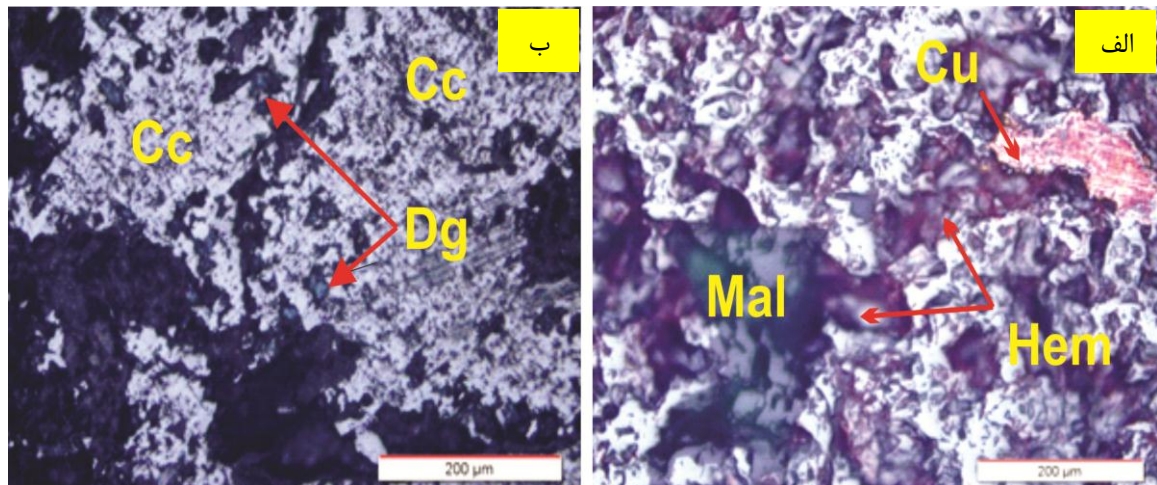
شکل ۹-۴) نمونه دستی از مالاکیت‌های منطقه روگرو که به صورت رگه‌ای تشکیل شده‌اند.

۴-۳-۴- استغانی و نرتلویی

در مناطق استغانی و نرتلویی نیز همانند سایر مناطق شرق و جنوب شرق شاهروд کانی‌های کالکوسیت، مالاکیت، کوولین، هماتیت و مس طبیعی دیده می‌شود. همان‌طور که در شکل ۱۰-۴ مشاهده می‌شود در این مناطق اغلب کانی‌های کالکوسیت به مالاکیت تبدیل شده است. در تصاویر میکروسکوپی منطقه استغانی کانی‌های کالکوسیت، هماتیت و مس طبیعی در کنار یکدیگر مشاهده می‌شود (شکل ۱۱-۴ الف). همچنین در این مناطق به مقدار کمتر کانی‌های کالکوسیت و کوولین مشاهده شد (شکل ۱۱-۴ ب).



شکل ۱۰-۴) کانه‌زایی کالکوسیت و مالاکیت با ساخت رگه‌ای در منطقه استغانی



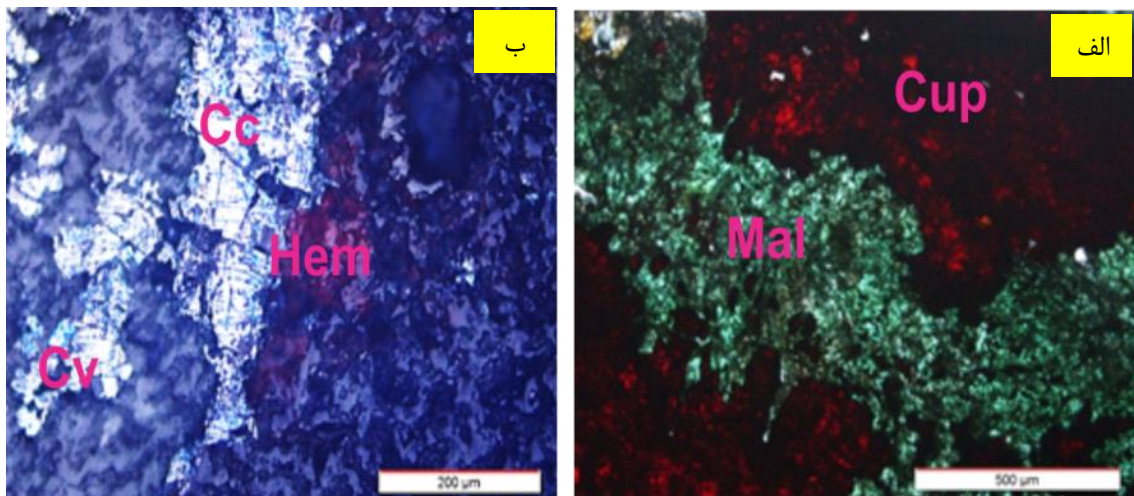
شکل ۱۱-۴) الف- تصویر میکروسکوپی مس طبیعی(Cu)، هماتیت (Hem) و ملاکیت (Mal) در بازالت‌های منطقه استغانی ب- تصویر میکروسکوپی کالکوسيت (Cc) و به مقدار کمتر کوولین (Cv) در منطقه استغانی

کوپریت: Cu_2O

کوپریت در مناطق اکسیدان ذخایر مس تشکیل می‌شود. در زیر میکروسکوپ این کانی دارای بیرفرنژانس سبز مایل به آبی است و دارای انعکاس درونی قرمز است (شکل ۱۲-۴الف). کوپریت یک کانی ثانویه است. کوپریت بیشتر با مس خالص همراه است. این کانی به صورت ثانویه در حفره‌ها و شکستگی‌ها تشکیل شده است.

ملاکیت و آزوریت:

ملاکیت فراوان‌ترین کانی‌های غیر سولفیدی مس‌دار در منطقه مطالعاتی می‌باشد. برخلاف ملاکیت، آزوریت از فراوانی بسیار کمی برخوردار است. این دو کانی کربناته آبدار از اطراف جانشین کالکوسيت، کالکوپریت و بورنیت می‌شوند (شکل ۱۲-۴ ب). بسته به شرایط این جانشینی ممکن است به طور کامل انجام گیرد و باعث شود تمام کانی‌های سولفیدی به ملاکیت و آزوریت تبدیل شوند.



شکل ۱۲-۴) الف- تصویری میکروسکوپی از کوپریت (Cup) و مالاکیت (Mal) در منطقه نرتلویی ب- تصویر میکروسکوپی از حضور کالکوسیت (Cc)، کولین (Cv) و هماتیت (Hem)

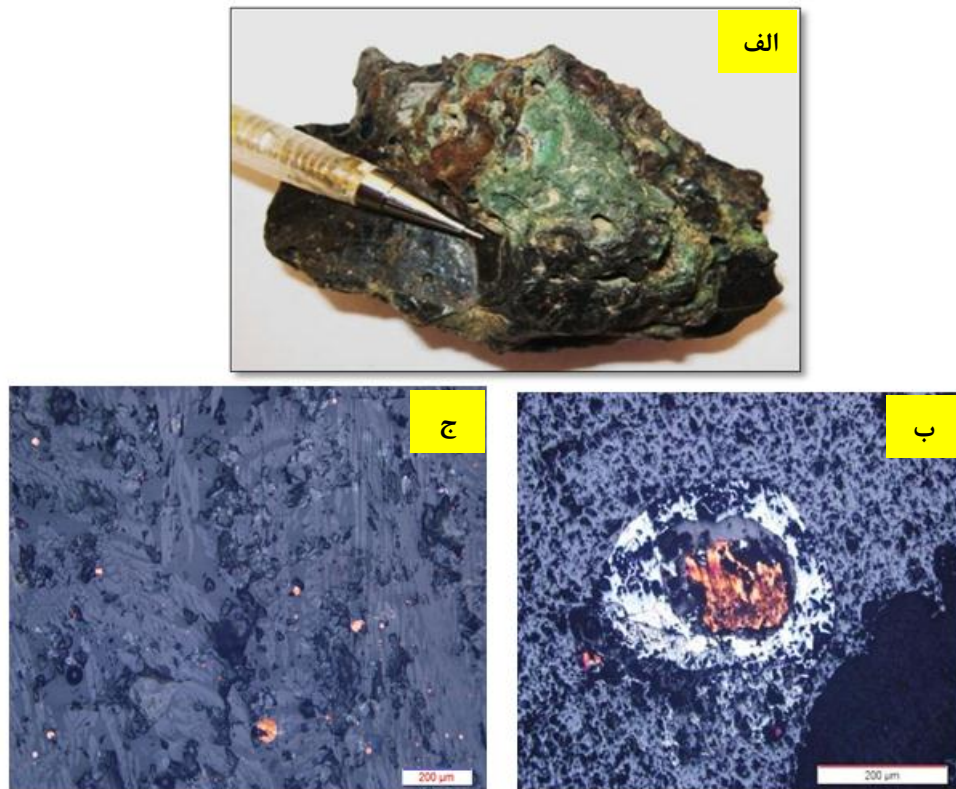
سرباره‌های ذوب قدیمی

از مهم‌ترین مشخصات ظاهری سرباره‌ها عبارت‌اند از:

رنگ: با توجه به درصد بالای ترکیبات سیلیکاته آهن‌دار در سرباره‌ها، رنگ آن‌ها بیشتر به سیاه تا خاکستری تیره تمایل دارد و سطح قطعات بسیار براق و شیشه‌ای است (شکل ۱۳-۴ الف). سرباره‌های ذوب مس با رنگ سیاه تا قهوه‌ای روشن، که در بافت خود شیارهای قرمزی آشکار می‌سازند ناشی از وجود اکسیدهای مس است (شکل ۱۳-۴ ب).

بافت: بسیاری از سرباره‌ها دارای بافت و ساخت جریانی می‌باشند (شکل ۱۳-۴ ج). این بافت در برخی موارد مشابه سرباره به صورت شیشه‌ای و براق ظاهر می‌شود (مانند ابسیدین). تنوع ساختاری سرباره‌ها با توجه به تکنیک استحصال و ذوب تفاوت می‌کند.

تخلخل: تخلخل در اکثر سرباره‌ها به‌وفور دیده می‌شود این تخلخل غالباً ناشی از وجود گازی است که در اثر عملیات ذوب خارج شده‌اند (امامی، ۱۳۸۳).



شکل ۱۳-۴) الف- نمونه دستی از سرباره کوره ذوب مس در منطقه استغانی ب- تصویری میکروسکوپی از کانی‌های مس‌دار (مس طبیعی و کالکوسیت) در سرباره‌های کانسار نرتلویی در نور (PPL) ج- تصویر میکروسکوپی بافت جریانی سرباره مس در نور (XPL).

۴-۴- پاراژنی

مطالعه کانی‌شناسی و پاراژنر کانی‌ها اطلاعات مفیدی در مورد ویژگی‌های محیط تشکیل کانسار در اختیار می‌گذارد (واگان، ۱۹۷۸). طبق مشاهدات بافتی که در طی مطالعات میکروسکوپی صورت گرفت می‌توان توالی پاراژنر را برای کانه‌زایی در این مناطق به صورت زیر تعیین کرد (جدول ۵-۱ تا ۳-۵).

جدول ۱۴-۴) توالی پارازنیک کانی‌ها، بافت و ساخت ماده معدنی در کانسارهای مس گریک و گورخان

		Diagenesis	Uplift	Weathering
Minerals	Hematite	◆◆◆	◆◆◆	◆◆◆
	Pyrite		◆◆◆	
	Digenite			◆◆◆
	Chalcocite		◆◆◆◆◆	
	Quartz		◆◆◆◆◆	
	Calcite		◆◆◆◆◆	
	Native Copper	◆◆◆	◆◆◆◆◆	
	Malachite/Azurite			◆◆◆◆◆
Textures	Vein-veinlet		◆◆◆◆◆◆◆◆◆◆	
	Open space filling		◆◆◆◆◆◆◆◆◆◆	
	Replacement		◆◆◆◆◆◆◆◆◆◆	

جدول ۱۵-۴) توالی پارازنیک کانی‌ها، بافت و ساخت ماده معدنی در کانسارهای مس نرتلویی و استغانی

		Diagenesis	Uplift	Weathering
Minerals	Hematite	◆◆◆	◆◆◆	◆◆◆
	Chalcocite		◆◆◆◆◆	
	Covelite			◆◆◆
	Quartz		◆◆◆◆◆	
	Calcite		◆◆◆◆◆	
	Zeolites	◆◆◆	◆◆◆◆◆	
	Native Copper	◆◆◆	◆◆◆◆◆	
	Malachite/Azurite			◆◆◆◆◆
Textures	Vein-veinlet		◆◆◆◆◆◆◆◆◆◆	◆◆◆◆◆◆◆◆◆◆
	Open space filling		◆◆◆◆◆◆◆◆◆◆	◆◆◆◆◆◆◆◆◆◆
	Replacement		◆◆◆◆◆◆◆◆◆◆	◆◆◆◆◆◆◆◆◆◆

جدول ۴-۱۶) توالی پاراژنیک کانی‌ها، بافت و ساخت ماده معدنی در کانسارهای چغندرسر شمالی، مرکزی، جنوبی

		Diagenesis	Uplift	Weathering
Minerals	Hematite	—	—	—
	Chalcopyrite		—	
	Pyrite		—	
	Digenite			—
	Bornite		—	—
	Chalcocite		—	
	Covelite			—
	Quartz	—	—	
	Calcite	—	—	
	Zeolites	—	—	
	Native Copper	—	—	
Textures	Malachite/Azurite			—
	Vein-veinlet		—	
	Open space filling		—	
	Replacement		—	

فصل پنجم

ژئو سیمی

۱-۵ مقدمه

ترکیب عناصر اصلی و فرعی ماگما توسط نوع فرآیند ذوب و نرخ ذوب بخشی کنترل می‌شود و با توجه به اینکه ماگما در حین حرکت به سطح زمین و جایگیری در بین طبقات سطحی توسط عواملی همچون تبلوربخشی، اختلاط ماگمایی، آلایش و هضم و یا مخلوطی از همه‌ی این فرآیندها به شدت تغییر می‌کند، برای شناخت این عوامل تنها با تکیه بر شواهد پتروگرافی سنگ‌ها نمی‌توان به تحولات ماگمایی پی‌برد. در نتیجه برای شناخت تأثیرات شیمیایی این فرایندها و به منظور درک فرایندهای مؤثر در تغییر و تحول ماگما و شناخت اختصاصات ماگمایی مولد آن، لازم است تا مطالعات ژئوشیمیایی بر روی آن انجام گیرد. همچنین توزیع و پراکندگی عناصر مختلف در واحدهای سنگی هر منطقه و ارتباط ووابستگی این عناصر با یکدیگر یکی از مهم‌ترین جنبه‌هایی است که معمولاً همیشه در مطالعات ژئوشیمیایی مدنظر می‌باشد و با استفاده از این روابط تا حدودی می‌توان به محیط و فرایندهای مؤثر در تشکیل کانسار پی‌برد (بارنز^۱، ۱۹۷۹)، بنابراین به منظور آگاهی از روابط موجود میان عناصر مختلف و توزیع آن‌ها در واحدهای سنگی موجود و همچنین اطلاع از تمرکز عناصر مختلف در کانسنگ‌های مس کانسارهای شرق و جنوب شرق شاهروod اقداماتی در این تحقیق صورت گرفت. از این رو پس از مطالعات میدانی و نمونه‌برداری از سنگ‌های میزبان و کانسنگ‌ها از کانسار و اندیس‌های این منطقه، تجزیه نمونه‌ها با روش‌های XRF در آزمایشگاه شرکت فرآوری مواد معدنی و ICP-Ms در آزمایشگاه Acme کانادا انجام شد.

۲-۵ ژئوشیمی مس

از لحاظ ژئوشیمیایی مس خاصیت کالکوفیل دارد (میسون و مر، ۱۹۸۲). سولفیدهای مس طی فرایند هوازدگی به سادگی به سولفات‌ها اکسیده می‌شود و مس به صورت Cu^{+2} آزاد می‌شود. توسط محلول‌ها انتقال یافته و سپس در محیط‌های احیایی به صورت سولفید رسوب می‌کند و یا در

اثر برخورد با سنگ‌های آهکی مسیر انتقال، به صورت کربنات‌ها تهنشین می‌شود. غلظت مس در آب دریا حدود ۳/۰۰ بوده است. مقدار مس در کانی‌های سیلیکاته با پیشرفت فرایند تفیریق، تا زمانی که فاز مایع از سولفور اشباع شود، افزایش می‌یابد. در این مرحله، به علت تشکیل یک مذاب سولفیدی غیر قابل امتزاج با ماغما مادر، بخش عمدۀ مس از مذاب سیلیکاتی جدا می‌شود و در نتیجه بعد از این مرحله، کانی‌های تشکیل شده مقدار مس پایین‌تری را نشان می‌دهند (فیربریدج، ۱۹۷۲). مطالعات انجام شده نشان می‌دهد که مس به راحتی وارد ساختمان کانی‌های سیلیکاته نمی‌شود، چون باعث به هم ریختگی شدید در شبکه بلوری و ناپایداری انرژی می‌گردد. مس در شبکه کانی‌های سیلیکاته به صورت Cu اهمیت دارد، در صورتی که حالت یک ظرفیتی مس از اهمیت کمتری برخوردار است (استانتون، ۱۹۹۴).

۳-۵- ژئوشیمی عناصر اصلی و کمیاب

عناصر اصلی عناصری هستند که غلظت آن‌ها در سنگ بیشتر از ppm ۱۰۰۰ است (مر و مدبri، ۱۳۸۴). این عناصر در نتایج تجزیه سنگ، غالب هستند و به طور مرسوم به صورت اکسید بیان می‌شوند. این عناصر عبارت‌اند از: Mg, Al, Fe, Mn, Ca, Na, P, K, Si, Ti و غلظت آن‌ها به صورت درصد وزنی (Wt%) اکسید بیان می‌شود. اندازه‌گیری عناصر اصلی فقط برای کاتیون‌ها صورت می‌گیرد و فرض بر این است که آن‌ها با مقدار مناسبی اکسیژن همراهی می‌شوند. بنابراین مجموع اکسیدهای عناصر اصلی حدود ۱۰۰٪ خواهد بود و مجموع داده‌های تجزیه می‌تواند به عنوان راهنمای تقریبی برای قابل اعتماد بودن آن بکار رود (رولینسون، ۱۹۹۸). به منظور مطالعه ژئوشیمی عناصر اصلی، تعداد ۱۱ نمونه به روش XRF (جدول ۱-۵) و ۱۵ نمونه جهت آنالیز عناصر کمیاب و عناصر نادر خاکی به روش ICP-MS (جدول ۲-۵)، به مرکز فرآوری مواد معدنی ایران ارسال شد. برای استفاده از نتایج حاصل از تجزیه شیمیایی نمونه‌ها به روش XRF ابتدا تصحیحاتی لازم بر روی آن اعمال شد.

۱-۳-۵- تصحیح مربوط به حذف مواد فرّار (L.O.I)

میزان مواد فرّار در سنگ‌های ماقمایی کم است و حضور آن‌ها عمدتاً ناشی از فرآیندهای ثانویه مانند دگرسانی و هوازدگی می‌باشد (ویلسون^۱، ۱۹۸۹). نتایج حاصل از تجزیه‌های ژئوشیمیابی نشان‌دهندهی وجود مواد فرّار (L.O.I) در نمونه‌های مورد مطالعه در محدوده‌ی $1/2$ تا $10/2$ درصد است. به منظور حذف مواد فرّار برای هر نمونه‌ی سنگی، درصد L.O.I را از مقدار حاصل جمع اکسیدهای آن نمونه کم کرده، عدد بدست آمده، مقدار جدید مجموع اکسیدها در سنگی خواهد بود که مواد فرّار آن حذف شده است. سپس، نسبت بدست آمده (100 تقسیم بر مجموع جدید) را به صورت ضریبی در مقدار درصد هر یک از اکسیدهای سنگ ضرب کرده، تا درصد وزنی اکسیدها بدون مواد فرّار محاسبه گردد. به عنوان مثال ضریب حذف مواد فرّار (Z) برای نمونه^۹ AB₉، به صورت زیر محاسبه شده است:

$$L.O.I = 2.6 \cdot AB_9: \text{Sum} = 99.64$$

$$\text{Sum} - L.O.I = 99.64 - 2.6 = 97.04$$

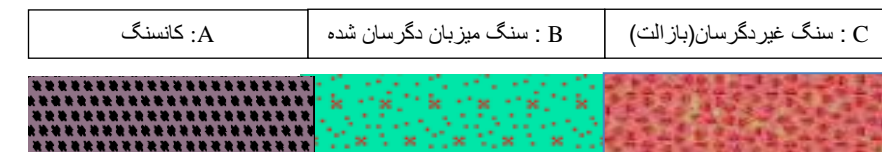
$$Z = 100 / 97.04 = 1.03$$

۲-۳-۵- عناصر کمیاب:

عناصر کمیاب به عناصری اطلاق می‌شود که در حد کمتر از $1/10$ درصد حضور دارند و غلظت‌شان به صورت قسمت در میلیون (ppm) و یا ندرتاً قسمت در بیلیون (ppb) بیان می‌شود. به‌طور کلی عناصر ناسازگاری که متعلق به گروه عنصری دارای قدرت میدانی پایین (LFSE) هستند متحرک هستند. در صورتی که عناصر با شدت میدان بالا (HFSE) شامل: P,Ta,Nb,Ti,Hf,Zr,Th,Sc و REE غیرمتحرک می‌باشند (پیرس، ۱۹۸۳). با نرمالیزه کردن این عناصر به نسبت یک شخانه اولیه به غنی‌شدگی یا فقیرشده‌گی آن‌ها پی برد و به عنوان یک ابزار مفید در بررسی‌های زمین‌شناسی استفاده نمود. نرمالیزه کردن نسبت به کندریت‌ها از دو جنبه دارای اهمیت است: اولاً تغییرات فراوانی عناصر با عدد اتمی زوج و فرد حذف و برطرف می‌شود و ثانیاً هرگونه جدایش و تفکیکی که از عناصر نسبت به کندریت‌ها صورت گرفته باشد به آسانی قابل تشخیص است (رولینسون، ۱۹۸۹).

جدول ۱-۵) نتایج آنالیز XRF، برای نمونه‌های کانسارهای شرق و جنوب شرق شاهروд.

Sample Major Oxide wt.%	گریک			گورخان			عباس‌آباد	روگرو	استغانی	زنگنه	چغendarسر
	A	B	C	A	B	C					
Al ₂ O ₃	17.12	18.46	18.71	15.55	16.77	17.61	17.38	15.53	14.59	16.42	19.80
SiO ₂	60.71	51.33	50.57	63.46	56.11	56.07	52.01	48.79	48.74	52.02	54.79
MgO	2.49	6.05	5.84	3.16	5.16	3.07	5.66	4.31	5.67	9.69	4.01
Fe ₂ O ₃	5.57	8.10	7.93	4.97	7.21	7.75	5.99	8.98	8.02	6.45	6.04
Na ₂ O	3.94	5.74	4.95	3.62	3.02	3.26	6.29	4.75	3.60	5.38	4.00
K ₂ O	2.98	1.77	1.73	1.07	2.19	2.70	0.90	3.65	2.81	1.69	4.03
CaO	5.90	6.96	8.44	7.01	8.26	8.16	9.74	12.68	7.37	7.28	5.62
TiO ₂	0.68	0.87	0.85	0.58	0.60	0.77	1.22	0.72	0.73	0.60	0.74
MnO	0.00	0.00	0.18	0.00	0.00	0.00	0.17	0.00	0.00	0.00	0.00
SrO	0.07	0.07	0.07	0.16	0.08	0.08	0.07	0.00	8.02	0.00	0.13
P ₂ O ₅	0.53	0.65	0.59	0.43	0.60	0.54	0.57	0.58	0.47	0.49	0.58
SO ₃	0.00	0.00	0.13	0.00	0.00	0.00	0.00	0.00	0.00	0.00	0.26
L.O.I	1.47	4.47	3.48	3.15	3.1	1.12	6.23	10.2	5.52	9.88	3.51
Total	97.57	95.54	96.51	96.17	96.89	98.68	93.75	86.05	98.43	82.19	95.54



جدول ۲-۵ داده‌های آنالیز ICP-MS برای کانسارهای شرق شهرود (داده بر حسب PPm)

Sample	نرتلوبی			روگرو			گریک			گورخان			استغانی	گچ کنوم	عباس آباد	چنددرس
	NA	N1/6B	RU.1A	RU.2B	Ger2/1A	Ger3/4B	Ger3/2C	Gor2/22A	Gor.11B	Gor.1.C	E1.B	gaj1.A				
PPM																
Mo	0.54	0.89	0.48	1.01	0.54	0.71	0.68	0.34	0.78	1.08	0.84	0.93	1.11	0.93	1.36	
Cu	79300	1350.04	37300	132.52	9700	51.17	56.73	9223.03	81.89	1737.06	266	2667.88	25.21	9600	51.07	
Pb	4.57	10.66	25.34	16.07	6.61	20.99	10.25	4.39	10.7	9.16	12.11	13.99	24.72	11.77	14.37	
Zn	44.7	72.7	60	65.1	41.2	65.5	75.8	49.7	62.6	83.1	73.8	103.2	72.4	61.7	108.3	
Ag*	2464	586	3291	298	8819	151	121	4108	118	397	210	1700	78	2660	83	
Ni	37	32.2	15.1	16.1	7.3	35.4	26.4	6.4	10.5	16.8	32.2	35.8	16.8	8.7	9.7	
Co	27.9	34.2	29.7	34.4	16.1	35.3	38.6	17.6	27.8	22.6	34.4	34.8	21.6	23.2	26.4	
As	0.6	2.4	3.6	3	16.5	1.8	1.3	6.5	1.2	2.6	0.9	1.3	4.1	2.1	1.9	
Th	2	3.6	3.7	4.1	2.5	4.3	3.9	2.2	3	2.4	3.8	3.2	3.9	5.6	5.6	
Sr	131	705	374	863	617	643	744	1172	805	735	911	324	695	951	859	
Cd	0.08	0.14	0.08	0.4	0.1	0.15	0.19	0.1	0.13	0.06	0.13	0.12	0.08	0.41	0.24	
Sb	1.01	0.49	0.16	0.13	0.11	0.1	0.08	0.08	0.21	0.17	0.28	1.06	0.11	0.2	0.22	
Bi	0.11	0.06	0.06	<0.04	0.13	0.05	0.07	0.12	0.07	0.11	0.07	0.13	<0.04	0.05	<0.04	
V	179	290	239	362	264	312	359	252	297	355	322	287	277	233	250	
P	1030	1630	1960	2360	1610	2310	1990	1350	1840	1580	2180	1630	1900	2280	2270	
La	9.5	16.7	16.9	19.2	9.3	21.5	18	10.3	16.4	13.1	19.8	16.4	28.1	16.7	16.1	
Cr	173	144	73	59	127	149	78	56	47	122	116	182	65	59	37	
Ba	227	344	609	481	289	275	316	228	315	298	352	451	114	405	377	
Ti	2870	4300	3750	4130	4240	4600	5120	3690	4340	4650	4820	3950	6740	4400	4880	
K	12500	24300	27900	16700	27500	14300	16200	10500	18000	22500	24400	24600	7400	33600	30200	
W	0.2	0.4	0.4	0.6	0.7	0.2	0.1	0.3	0.3	1	0.4	0.3	0.5	0.5	0.3	
Zr	49.6	75.2	60.1	71.7	73.9	91.3	82.3	59.5	66.8	71	86.2	71.2	111.2	138.1	145.7	
Sn	0.7	0.9	0.7	1	0.9	1.1	0.9	1.2	0.8	0.9	1.1	0.9	1.1	1.3	1.2	

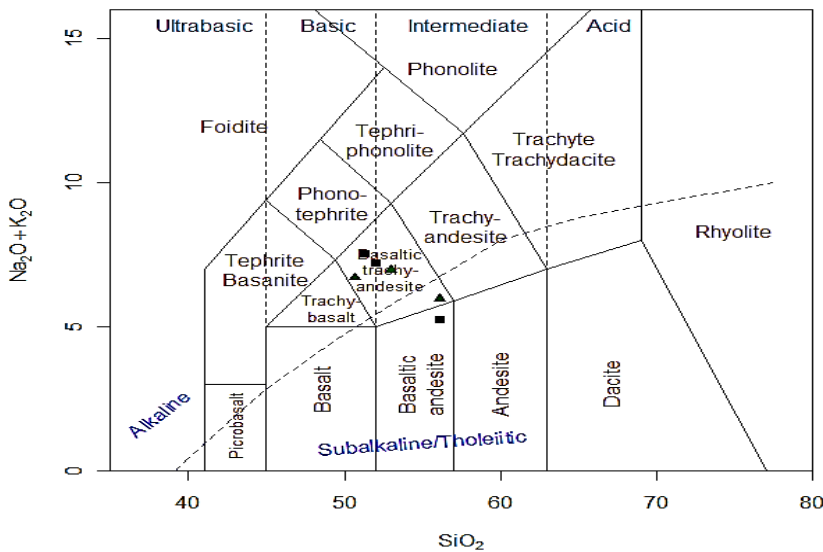
ادامه جدول ۲-۵

Sample	نرتلوبی	روگرو	گریک	گورخان	استغانی	گچ کنوم	عباس آباد	چندرس	Sample	نرتلوبی	روگرو	گریک	گورخان	استغانی	گچ کنوم
.	NA	N1/6B	RU.1A	RU.2B	Ger2/1A	Ger3/4B	Ger3/2C	Gor2/22A	.	NA	N1/6B	RU.1A	RU.2B	Ger2/1A	Ger3/4B
Sc	22.1	33.7	23.4	26.3	26.1	28.7	35.6	23.4	29.8	32.6	28.3	34.3	25.6	13.9	15
Y	11.3	16.6	14	15.7	13.4	17.5	17.6	12.9	16	16.3	18.1	13.9	17.4	17.5	17.4
Ce	21.53	35.42	35.95	40.99	22.73	44.85	39.54	22.48	32.53	27.3	40.97	33.56	54.92	36.98	39.21
Pr	2.8	4.5	4.4	5.2	3	5.7	5.2	2.9	4	3.4	5.4	4.6	6.2	4.6	4.5
Nd	12.6	19.8	19.6	20.8	13.3	25	21.8	13.2	18.8	16.3	23	18.9	24.8	17.7	19.6
Sm	2.7	4.4	3.9	4.9	3.6	5.2	4.9	3.2	3.9	4	5.1	4.2	4.9	4.2	4.8
Eu	0.6	1.3	1.1	1.2	0.9	1.4	1.4	0.9	1.2	1	1.4	1	1.4	1	1.2
Gd	2.7	4	3.8	4.3	3.4	4.8	4.9	2.8	3.9	3.6	4.3	4.2	4.5	3.8	4.9
Tb	0.4	0.6	0.4	0.5	0.5	0.6	0.6	0.4	0.5	0.5	0.6	0.4	0.6	0.5	0.6
Dy	2.3	3.7	3	3.4	2.8	4.2	4	2.8	3.3	3.3	3.4	3	3.7	3.6	3.7
Ho	0.4	0.6	0.5	0.5	0.5	0.6	0.7	0.5	0.6	0.6	0.7	0.5	0.6	0.6	0.7
Er	1.2	2.1	1.6	1.9	1.6	2	2.1	1.5	1.8	2	2	1.6	1.8	2	1.9
Tm	0.2	0.3	0.2	0.2	0.2	0.3	0.2	0.2	0.2	0.3	0.3	0.2	0.2	0.3	0.3
Yb	1.1	2	1.7	1.6	1.6	1.9	2.1	1.3	1.9	2	1.9	1.7	1.4	2.2	2.1
Lu	0.2	0.2	0.2	0.2	0.2	0.3	0.3	0.2	0.3	0.2	0.3	0.2	0.2	0.3	0.4
Hf	1.38	2.15	1.74	2.02	2.1	2.42	2.28	1.7	2.02	1.95	2.41	2.13	2.77	3.35	3.91
Li	23.5	27.5	20.3	18	13.9	15.2	14.3	12.9	9	6.9	26.3	33.5	37	18.9	24.3
Rb	27.6	65	38.1	22.1	50.8	19.9	29.2	23.6	35.8	42.3	37	62.6	18.5	43.6	18.3
Ta	0.1	0.2	0.1	0.1	0.1	0.2	0.2	0.1	<0.1	0.1	0.2	0.2	1.3	0.4	0.4
Nb	1.87	3	2.4	2.59	2.1	3.75	3.28	1.93	2.17	2.36	3.46	2.8	22.23	6.8	7.01
Cs	4.8	2.6	2.9	3.5	0.7	2.7	1.2	0.8	0.5	0.7	2	3.4	6.1	1.9	2
Ga	16.35	14.63	12.74	15.2	14.97	14.92	16.73	13.08	15.37	16.77	16.08	13.3	19.05	16.87	19.09
In	0.02	0.04	0.03	0.05	0.04	0.05	0.05	0.04	0.04	0.05	0.06	0.09	0.05	0.03	0.04
Te	2.4	2.8	1.52	1.74	1.1	2.01	2.39	0.97	2.46	1.57	1.8	2.33	1.92	1.01	0.97

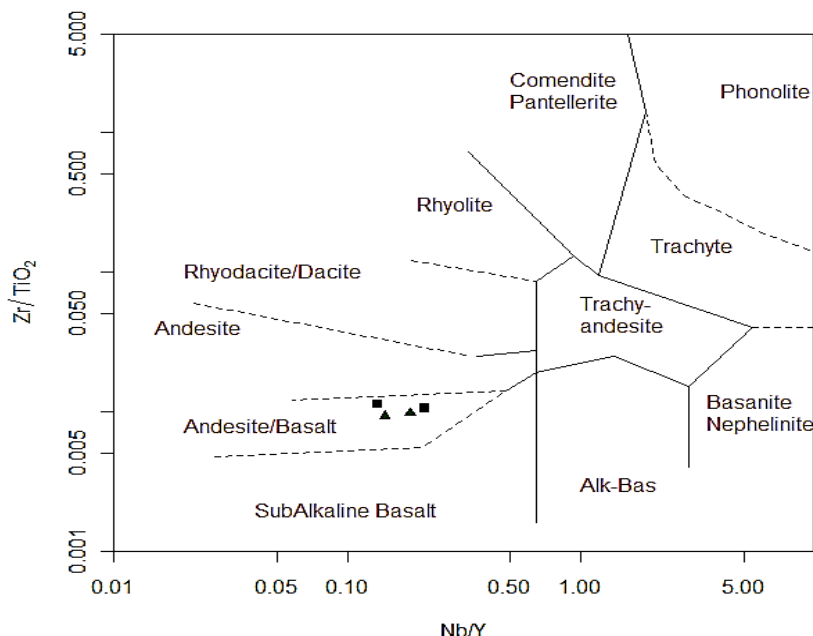
* واحد در بیلیون (ppb)

۵-۳-۲-۱- نامگذاری ژئوشیمیایی سنگ‌های آذرین

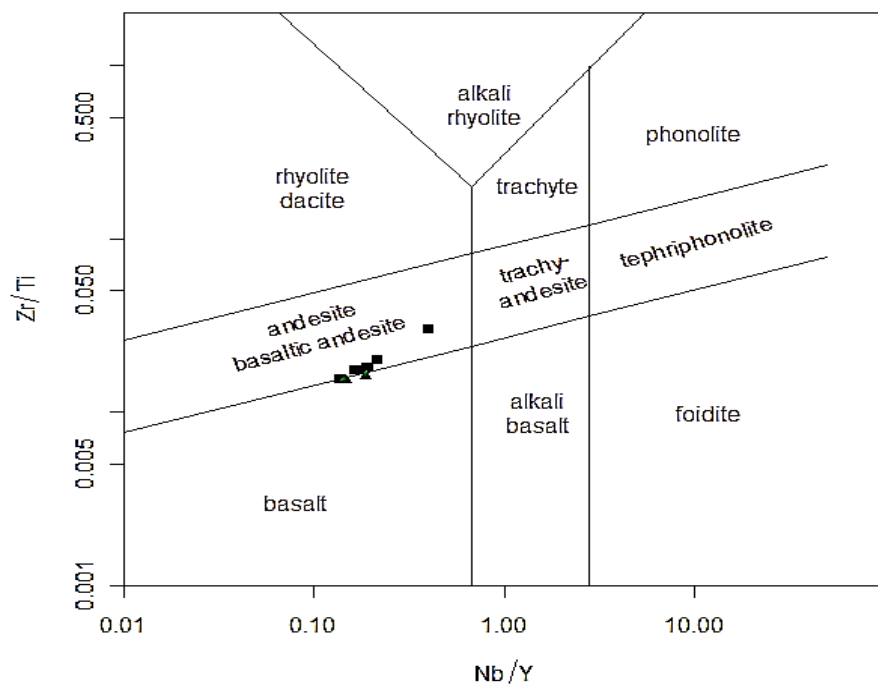
رده‌بندی‌های مختلف توسط سنگ‌شناسان مختلف برای سنگ‌های آتشفشاری پیشنهاد شده است. در این تحقیق برای طبقه‌بندی سری ماقمایی سنگ‌های آذرین منطقه شرق شهرود از نمودارهای، (۱۹۸۶) (Middle ، Modified by Pearce ۱۹۷۷، Winchester and Floyd ۱۹۷۷، Le Bas et al (TAS) ۱۹۹۴) استفاده شده است. در نمودار (۱۹۸۶) Most (TAS) مجموع درصد وزنی SiO_2 به مقابله با $\text{Na}_2\text{O} + \text{K}_2\text{O}$ در نمودار (۱۹۸۶) Le Bas et al (TAS) مجموع درصد وزنی SiO_2 ترسیم می‌شود. این نمودار با توجه به مقدار SiO_2 به گروه‌های اولترابازیک، بازیک، حدواسط و اسیدی تقسیم شده است. از ویژگی‌های این نمودار، وجود خط جداگانه‌ای محدوده‌ی آلکالن از سابآلکالن است. بر طبق این نمونه‌های مورد مطالعه متعلق به مناطق شرق و جنوب شرق شهرود در تراکی آندزیت بازالت و آندزیت بازالت قرار می‌گیرند، ضمناً بیشتر نمونه‌ها در قلمرو آلکالن قرار گرفته‌اند (شکل ۱-۵). در نمودارهای Y/Nb در برابر Zr/TiO_2 (وینچستر و فلوی، ۱۹۷۷) سنگ‌های آتشفشاری مورد نظر دارای ترکیب بازالت می‌باشند (شکل ۲-۵)، ولی سنگ‌های همین مناطق در نمودار پیرس (۱۹۷۷) در مرز بین واحدهای بازالتی و آندزیت بازالتی واقع می‌شود (شکل ۳-۵). در نمودار میدل موست (TAS) (1994) سنگ‌های فوق‌الذکر در محدوده بازالت و تراکی آندزیت بازالت قرار می‌گیرند (شکل ۴-۵). در مجموع با توجه به مشاهدات صحرایی و پتروگرافی و ملاحظات ژئوشیمیایی نام بازالت، تراکی بازالت و تراکی آندزی بازالت برای این سنگ‌ها مناسب و منطقی است. به طور کل تفاوت این نمودارها، می‌تواند در نحوه‌ی مرزیندی میدان‌های مختلف باشد. در این مبحث بازالت‌های دگرسان شده با علامت مربع (■) و بازالت‌های غیردگرسان با علامت مثلث (▲) نشان داده شده است.



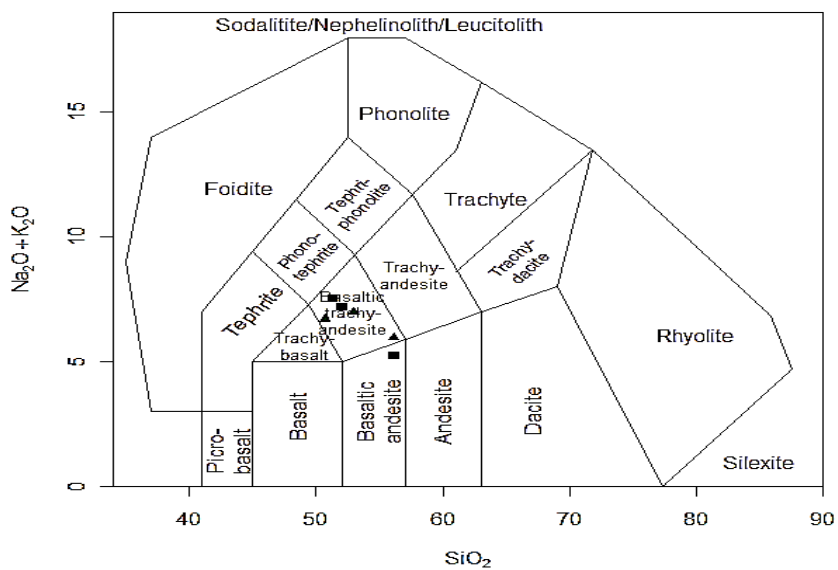
شکل ۱-۵) نمودار (SiO₂/Na₂O+K₂O) TAS اقتباس از Le Bas et al. (۱۹۸۶)



شکل ۲-۵) موقعیت نمونه‌های مورد مطالعه بر روی نمودار Zr/TiO_2 / Nb / Y در مقابل Zr/TiO_2 / Nb/Y Winchester and Floyd (1977)



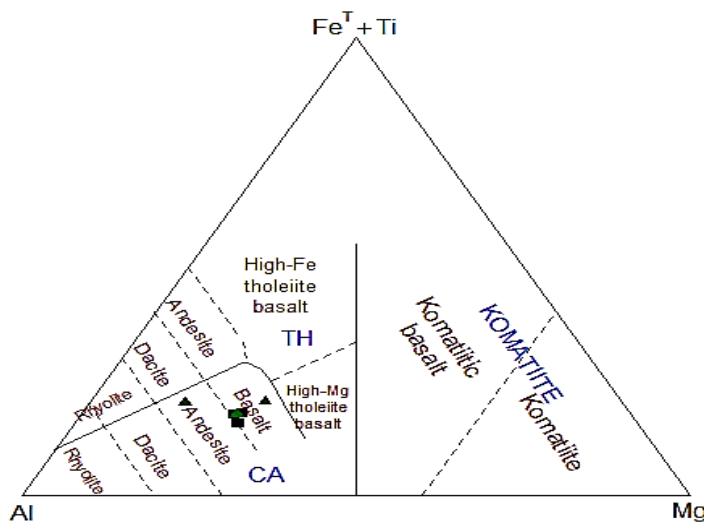
شکل ۳-۵) موقعیت سنگ‌های آتشفشاری منطقه شرق و جنوب‌شرق شاهروд در نمودار Zr/Ti در برابر Nb/Y (پیرس، ۱۹۷۷)



شکل ۴-۵) ردیبندی سنگ‌های آتشفشاری منطقه در نمودار $(SiO_2 / Na_2O + K_2O)$ TAS (میدل موست، ۱۹۹۴)

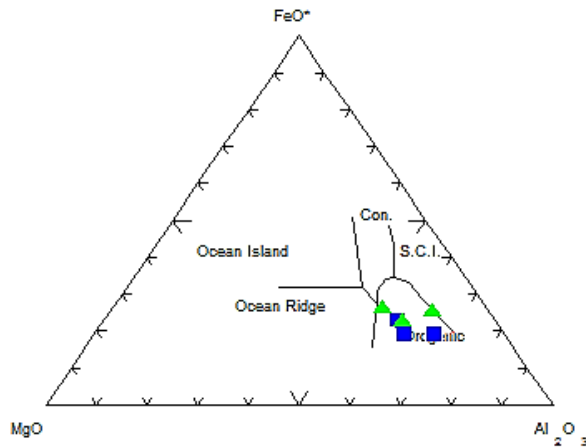
۲-۳-۵- تعیین محیط زمین ساخت سنگ‌های آذرین

نمودارهای متمایز کننده محیط‌های تکتونوماگمایی، نمودارهای تغییرات ژئوشیمیایی هستند که در آن ماغماهای تولید شده در جایگاه‌های متفاوت تکتونیکی می‌توانند براساس شیمی‌شان از یکدیگر متمایز شوند. در این نمودارها ماغمای تشکیل شده در جایگاه‌های زمین‌ساختی مختلف بر اساس تغییرات ژئوشیمیایی متفاوت عناصر اصلی، فرعی و کمیاب از یکدیگر جدا می‌شوند (Turner and et al., 1996). در نمودار سه‌تایی $\text{Fe}^{\text{T}} + \text{Ti}, \text{Mg}, \text{Al}$ از Jensen (۱۹۷۶) سنگ‌های آتشفشانی در محدوده بازالت‌های کالکوالکالن قرار می‌گیرند (شکل ۵-۵).



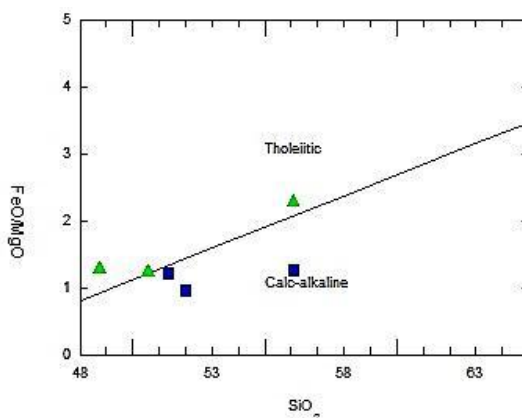
شکل ۵-۵) موقعیت سنگ‌های آتشفشانی منطقه شرق شاهروド در نمودار سه‌تایی $\text{Al}-\text{Mg}-\text{Fe}^{\text{T}}+\text{Ti}$

نمودارهای $\text{MgO}-\text{FeO}-\text{Al}_2\text{O}_3$ (اقتباس از پیرس و همکاران، ۱۹۷۷) مرزهای بسیاری از جایگاه‌های زمین ساخت را بر اساس دامنهٔ ترکیبی سنگ‌های آتشفشانی نشان می‌دهد. این نمودار فقط برای سنگ‌های ساب آلکالن با دامنهٔ $\text{SiO}_2 = 51\%-56\%$ وزنی به کار می‌رود. در این نمودار نمونه‌ها در محدودهٔ جزایر قوسی و حاشیهٔ فعال قاره‌ایی قرار می‌گیرند (شکل ۶-۵). با توجه به موقعیت زمین‌شناسی منطقه مورد مطالعه و تاریخچه تحولی آن، محیط پشت قوس یا درون قوسی برای آن مناسب‌تر است.



شکل ۵-۶) نمودارهای $MgO-FeO-Al_2O_3$ اقتباس از پیرس و همکاران (1977)

در نمودار SiO_2 در برابر $FeOt/MgO$ Miyashiro (1974) توزیع سنگ‌های آتشفشانی را بین سری ماقمایی تولئیتی و کالک‌آلکالن را نشان می‌دهد بیانگر ماهیت کالک‌آلکالن بیشتر سنگ‌ها می‌باشد فقط تعداد اندکی از نمونه‌ها در مرز و محدوده سری تولئیتی قرارگرفته‌اند (شکل ۷-۵). واقع شدن نمونه‌ها در محدوده تولئیتی امری انتزاعی است و با سایر شواهد سنگ‌شناسی و ژئوشیمیایی مطابقت ندارد.



شکل ۷-۵) موقعیت نمونه‌های بازالتی منطقه شرق شهرود در نمودارهای $FeOt/MgO-SiO_2$ در برابر SiO_2 (میشیرو، ۱۹۷۴).

نمونه‌های آتشفشانی در نمودار سه‌تایی $Y-2Nb-Zr/4$ (میدل موست، ۱۹۸۶) در محدوده بازالت‌های قوس آتشفشانی (Volcanic arc basalts) قرار می‌گیرند (شکل ۸-۵).

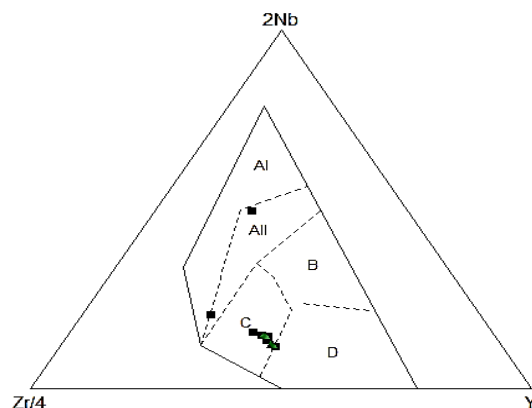
الکالی بازالت درون صفحه‌ایی $AI =$

آلکالی بازالت درون صفحه‌ایی $AI\text{II} =$

و تولئیت‌های درون صفحه‌ایی

$C =$ تولئیت‌های داخل صفحه‌ایی

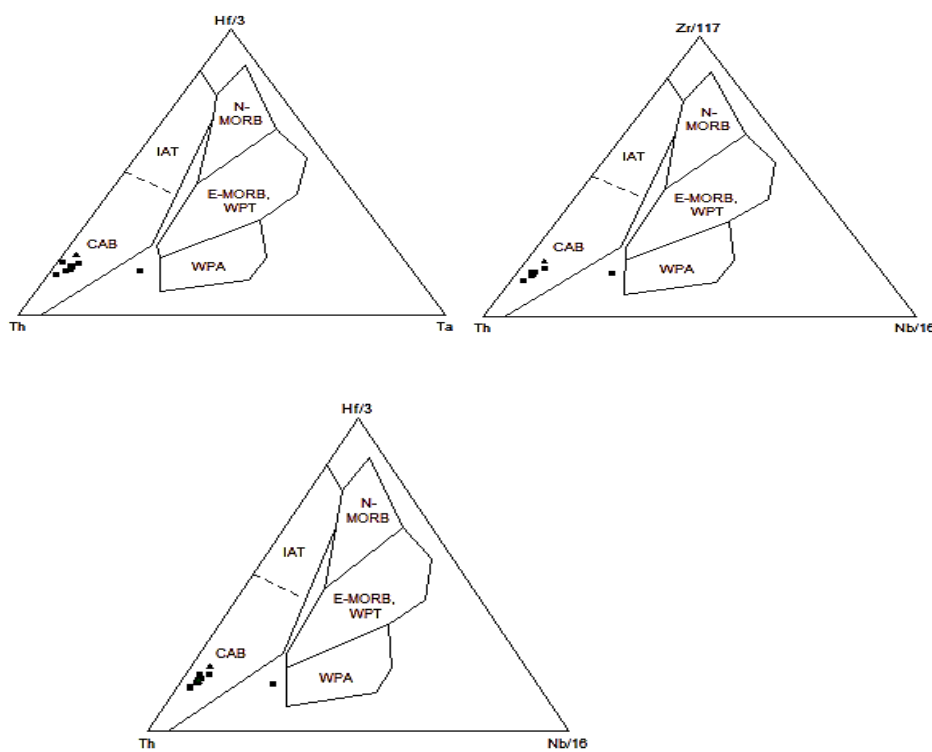
و بازالت‌های قوس آتشفشنای



شکل ۸-۵) موقعیت نمونه‌های آتشفشنای در نمودار سه‌تایی .(Meschede, 1986) $Y - Zr/4 - 2Nb$

سنگ‌های آذرین این مناطق در نمودارهای سه‌تایی $Hf/3 - Th - Hf/3 - Th - Nb/16$ ، $Zr/117 - Th - Nb/16$ ، $Hf/3 - Th - Ta$ از (Wood, 1980) از

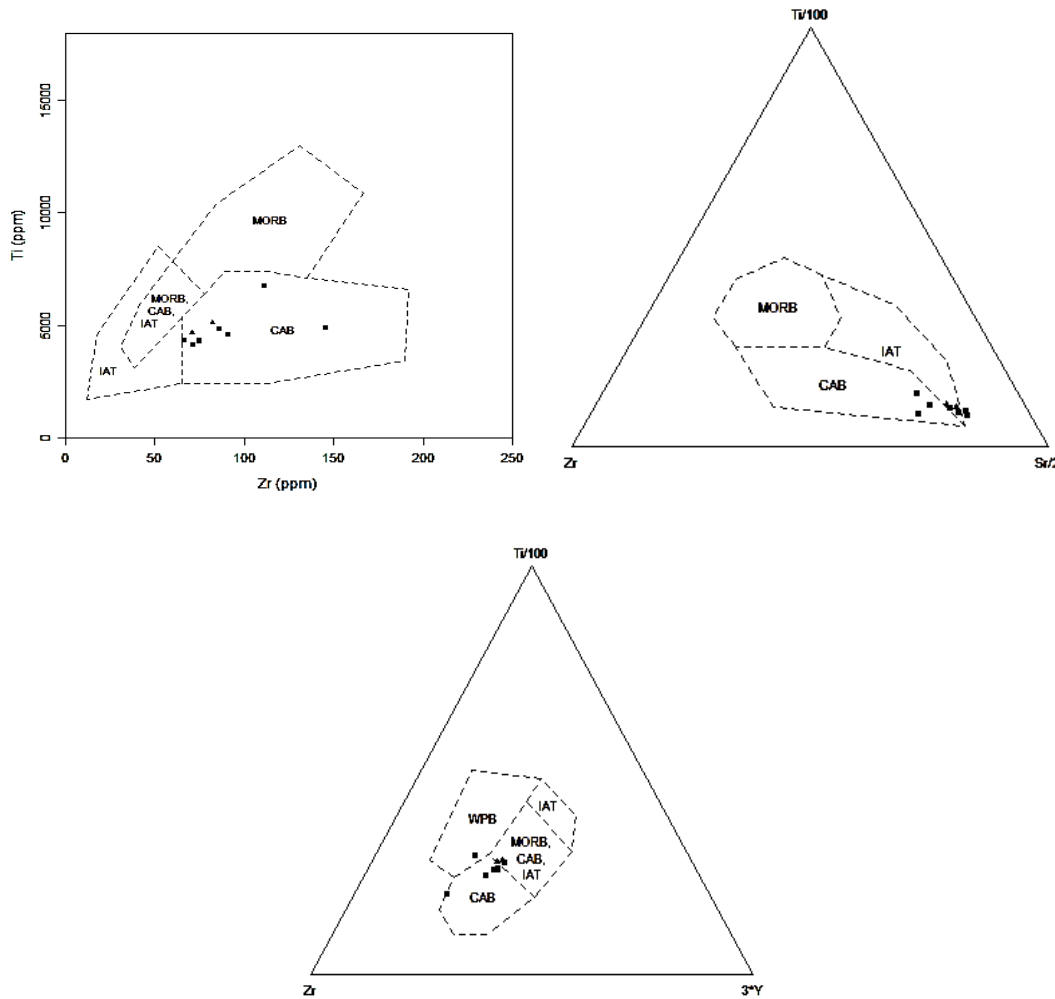
Ta (Shahrood, 1980)، بیشتر در محدوده بازالت‌های کالکو‌آلکالن (CAB) قرار می‌گیرند (شکل ۹-۵)



شکل ۹-۵) موقعیت نمونه‌های آتشفشنای شرق شاهروod در نمودارهای سه‌تایی $Hf/3 - Hf/3 - Th - Nb/16$ ، $Zr/117 - Th - Nb/16$ ، $Hf/3 - Th - Ta$ ، از (Wood, 1980)

نمودار متمایز کننده برای بازالت‌ها بر اساس متغیرهای $- Zr - {}^{3*}Y$ ، $Ti/100 - Zr - Sr/2$ ، $Ti - Zr$

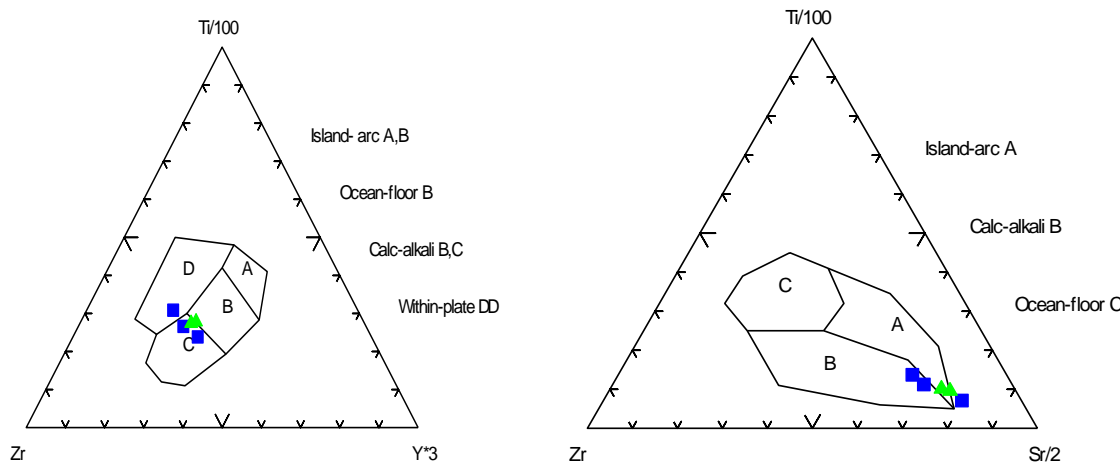
Ti/100 از (1973)، پیرس و کن رسم گردید که در این نمودارها نمونه‌ها در محدوده کالکوالکالن با گرایش ضعیف تولئیت قرار می‌گیرند (شکل ۱۰-۵). گرایش به سمت محیط تولئیتی امری انتزاعی است و واقعیت ندارد.



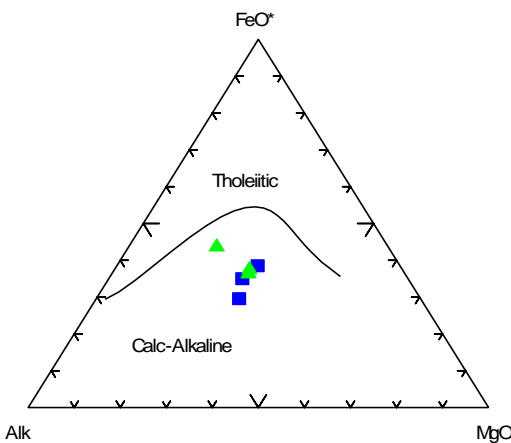
شکل ۱۰-۵) موقعیت نمونه‌های بازالتی منطقه شرق شاهروд در نمودارهای $\text{Zr}-\text{Ti}/100-\text{Sr}/2$ ، $\text{Ti}-\text{Zr}$ ، $\text{Ti}/100-\text{Zr}$ (پیرس و کن، ۱۹۷۳).

نمودار متمایز کننده Y-Ti-Zr-Sr/2 ، Ti-Zr-Sr/2 از پیرس و کن (۱۹۷۳)، برای بازالت‌ها رسم شده است. در این نمودار نمونه‌های مورد نظر در محدوده بازالت‌های کالکالکالن قرار می‌گیرند (شکل ۱۱-۵). همچنین در نمودار AFM ایروین و باراگار (۱۹۷۱)، تمامی نمونه‌ها در محدوده بازالت‌های کالکالکالن قرار

می‌گیرند (شکل ۱۲-۵).



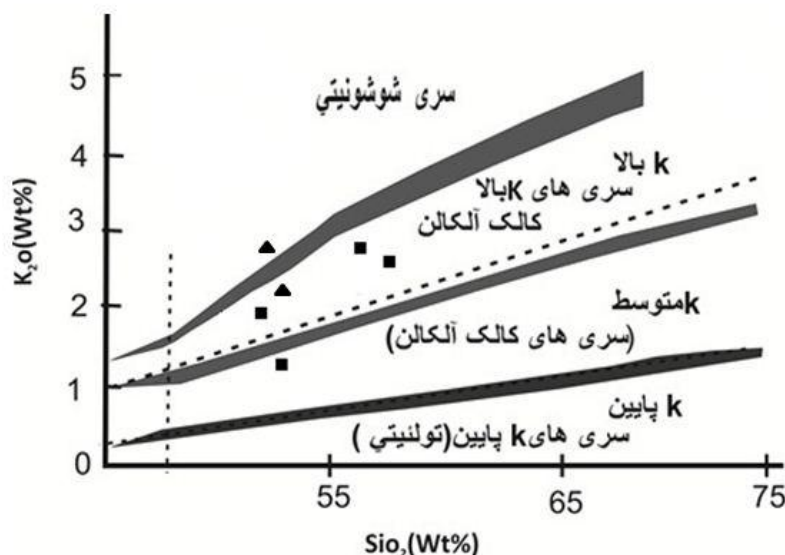
شکل ۱۱-۵) موقعیت نمونه‌های بازالتی منطقه شرق شاهروド در نمودارهای $\text{Ti}-\text{Zr}$ - $\text{Sr}/2$ اقتباس از (پیرس و کن، ۱۹۷۳).



شکل ۱۲-۵) موقعیت نمونه‌های مورد مطالعه در نمودار AFM ایروین و باراگار (۱۹۷۱)

سنگ‌های آتشفسانی سری‌های ساب‌آلکالن بر اساس مقدار K_2O و SiO_2 به طور جزئی‌تر تقسیم‌بندی شده‌اند (پسریلور و تیلور، ۱۹۷۶). لی‌مایتره و همکاران (۱۹۸۹) تقسیم‌بندی سنگ‌های ساب‌آلکالن را به انواع K پایین، K متوسط و K بالا پیشنهاد کرده و متذکر شده‌اند که این عبارات می‌تواند برای توصیف بازالت، آندزیت بازالتی، آندزیت، داسیت و ریولیت به کار روند. این اصطلاحات با عبارات سری K پایین (تولئیتی)، سری آلکالن K بالا (آلکالن) در ریکورد (۱۹۸۹) و نیز با عبارات بازالت ساب‌آلکالن K پایین،

بازالت سابآلکالن و بازالت آلکالن که توسط میدل موست (۱۹۷۵) به کار رفته‌اند، مطابقت دارند که بر طبق نمودار رسم شده بیشتر نمونه‌های مورد مطالعه در محدوده سنگ‌های کالکآلکالن سری‌های K بالا قرار می‌گیرند (شکل ۱۳-۵).



شکل ۱۳-۵) تقسیم‌بندی سنگ‌های آلکالن با استفاده از نمودار K_2O در مقابل SiO_2

۱۳-۲-۳-۵- بررسی تغییر و تحولات ژئوشیمیایی سنگ‌ها به کمک نمودارهای هارکر

یکی از کاربردهای نتایج تجزیه‌ی شیمیایی عناصر اصلی، تهیه‌ی نمودارهای تغییرات است. این نمودارها، دو یا سه متغیره می‌باشند که به منظور بررسی روند تغییرات بین سنگ‌های آذرین یک ناحیه و همچنین تحولات پترولوزیکی در جریان توسعه و تبلور مagma، توسط پترولوزیست‌های مختلف ارائه شده‌اند که از آن جمله می‌توان به نمودارهای درصد اکسیدهای عناصر اصلی و کمیاب در مقابل SiO_2 (هارکر^۱، ۱۹۰۹)، نمودارهای درصد اکسیدهای عناصر اصلی در مقابل O MgO (فرنر^۲، ۱۹۴۸) و نمودارهای درصد اکسیدهای

¹Harker
²Fenner

عناصر اصلی، کمیاب و کمیاب خاکی در مقابل ضریب تفریق اشاره کرد. نمودارهای هارکر، پر استفاده-ترین نمودارهای دو متغیره می‌باشند. در محور افقی این نمودارها، SiO_2 قرار دارد که سازنده‌ی اصلی سنگ‌ها بوده و نشان‌دهنده‌ی محدوده‌ی وسیعی از تغییرات است. در نمودار هارکر از نمونه‌های رسم شده با افزایش SiO_2 مقادیر TiO_2 , MnO , FeO , MgO , CaO , K_2O کاهش و مقادیر Na_2O افزایش را نشان می‌دهد. Al_2O_3 نیز به مقدار کمی کاهش نشان می‌دهد. کاربرد اصلی نمودار هارکر بر این اصل استوار است که در طی مراحل تفریق درصد SiO_2 افزایش می‌یابد (شکل ۱۴-۵).

- تغییرات SiO_2 در برابر Al_2O_3

در این نمودار روند خاصی که تمام نمونه‌ها را به هم ارتباط دهد (نشان‌دهنده روند تفریق در تمام نمونه‌ها باشد)، به خوبی قابل تشخیص نیست، ولی می‌توان نمونه‌های سنگی مورد مطالعه را به خوبی تفکیک کرد. نمونه‌هایی که غنی از الیوین و پیروکسن هستند و دارای کمترین مقدار SiO_2 می‌باشند. مشاهدات پتروگرافی حضور قابل توجه الیوین در این سنگ‌ها را تأیید می‌کند. نمونه‌هایی که دارای SiO_2 و Al_2O_3 کمی می‌باشند و در واقع سنگ‌های غنی از پیروکسن می‌باشند و در بین خود یک روند صعودی تقریباً محسوسی نشان می‌دهند. نمونه‌هایی که دارای SiO_2 و Al_2O_3 بیشتری در مقایسه با سایر نمونه‌های سنگی می‌باشند. با توجه به مشاهدات پتروگرافی این گروه از سنگ‌ها دارای پلازیوکلаз فراوان هستند و همین امر بالا بودن مقدار Al_2O_3 در آن‌ها را به خوبی توجیه می‌کند.

- تغییرات SiO_2 در برابر MgO

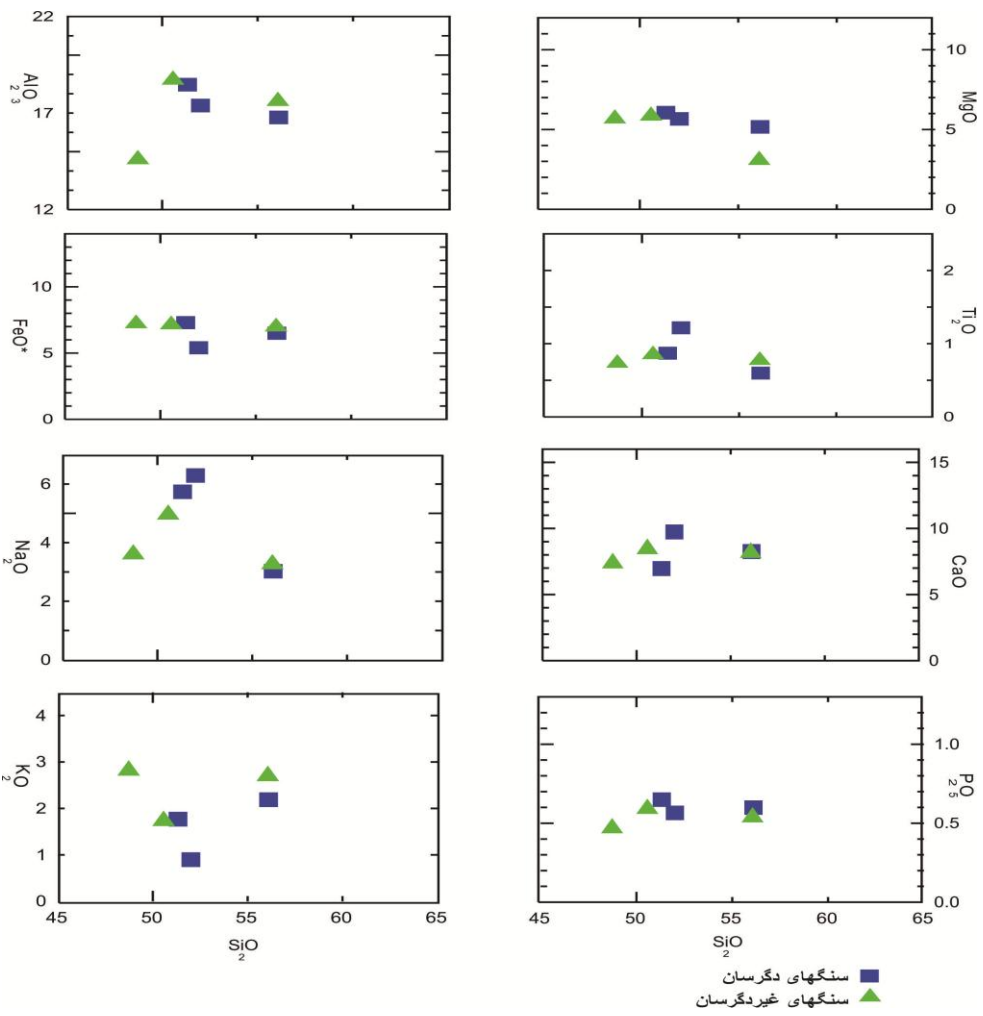
در این نمودار نیز رده‌بندی صورت گرفته در مراحل قبل تأیید می‌گردد. منتهی به علت حضور همزمان مقدار قابل توجهی پیروکسن، نمونه‌هایی که دارای MgO کمی بیشتر می‌باشند در بین خود یک روند نزولی مشخصی را نشان می‌دهند. این تغییرات در نمونه‌هایی که دارای مقدار MgO نسبتاً کم و SiO_2 زیاد می‌باشند که با حضور کمتر کانی‌های منیزیم‌دار در این دسته از سنگ‌ها سازگار است.

- تغییرات SiO_2 در برابر Fe_2O_{3t}

میزان Fe_2O_{3t} با افزایش SiO_2 (فرایند تفريق یافتگی بیشتر) کاهش می‌یابد و روند نزولی مشخصی نشان می‌دهد. Fe^{+2} دارای شعاع یونی نزدیک به Mg می‌باشد و در طول مراحل اولیه تفريق در شبکه بلوری الیوین و پیروکسن وارد می‌شود. بنابراین با تبلور اين کانی‌ها در مراحل اولیه تفريق و فقیر شدن ماغما از Fe_2O_{3t} , مقدار آن در ماقمای باقیمانده کاهش می‌یابد و باعث ظهور روند نزولی می‌شود.

- تغییرات CaO در برابر SiO_2

نمودار CaO در مقابل SiO_2 دسته‌بندی صورت گرفته در توجیه نمودار SiO_2 و Al_2O_3 را مجدداً تأیید می‌کند. در برخی نمونه‌ها مقدار CaO نسبتاً کم است و علت آن وجود الیوین در این نمونه از سنگ‌ها است و نمونه‌هایی که مقدار CaO به بیشترین حد خود می‌رسد وجود مقدار قابل ملاحظه CaO در این سنگ‌ها با وجود پیروکسن و مقدار قابل توجهی پلازیوکلаз کلسیک قابل توجیه است.

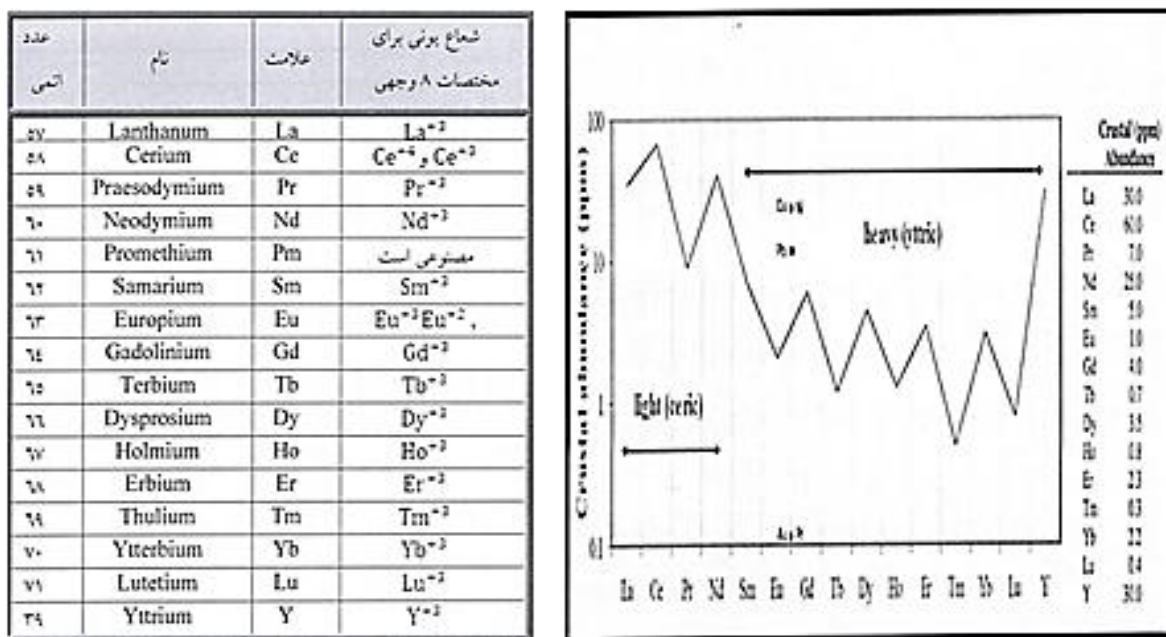


شکل ۱۴-۵) نمودار عناصر اصلی در برابر سیلیس در نمونه‌های مورد مطالعه

-۴-۵ عناصر نادر خاکی

عناصر نادر خاکی شامل دو دسته عناصر نادر خاکی سبک (LREE) و عناصر نادر خاکی سنگین (HREE) می‌باشند. عناصر نادر خاکی، عناصری ناسازگار بوده و کمتر ساختمان سیلیکات‌ها وارد می‌شوند و تنها در شرایط دگرگونی درجه بالا یا دگرسانی زیاد متحرک می‌گردند. به نظر (Ganveyev et al., 1999)، توزیع عناصر نادر خاکی در شرایط دگرسانی هیدروترمالی تغییر زیادی نمی‌کند. در برخی موارد نمونه‌هایی را می‌توان مشاهده کرد که تحت شرایط دگرسانی هیدروترمالی و فرآیندهای سوپرژن عناصر نادر خاکی متحرک شده‌اند (Ohlander et al., 1985) در پوسته زمین عناصر نادر خاکی، نسبت به بخش‌های دیگر

زمین از فراوانی بیشتری برخوردار می‌باشند. فراوانی این عناصر در پوسته زمین با افزایش عدد اتمی کاهش محسوسی از خود نشان می‌دهد. عناصر نادر خاکی با عدد اتمی زوج فراوانی بیشتری نسبت به عدد اتمی فرد از خود نشان می‌دهند که این در نتیجه تبعیت از قانون ادوو-هارکینز است به همین دلیل در نمودار ترکیب-فراوانی زیگزاگ از خود نشان می‌دهند (شکل ۱۵-۵).



شکل ۱۵-۵) فراوانی عناصر نادر خاکی در ترکیب میانگین پوسته زمین (SINTON، 2005) و مشخصات عناصر نادر خاکی

۱۵-۵ نمودارهای عنکبوتی

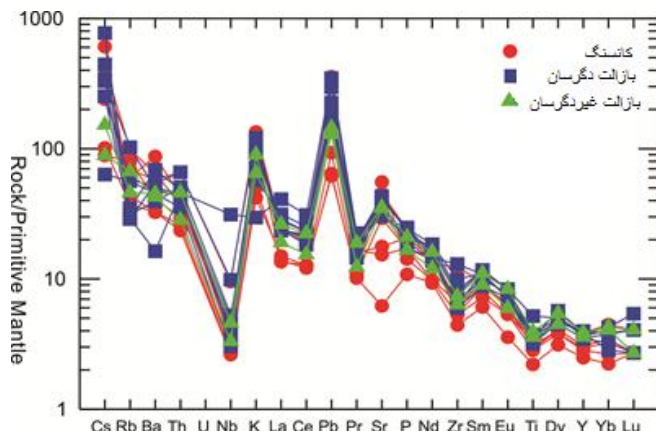
به منظور فهم طرح فراوانی‌های عناصر نادر در بازالت‌ها (یا در هر سنگ آذرین)، باید چارچوب مرجعی وجود داشته باشد که بتوان فراوانی‌های عنصری در یک سنگ خاص را با آن مقایسه کرد. گسترش این عقیده منجر به شکل‌گیری نمودارهای عنکبوتی شد (وود^۱ و همکاران، ۱۹۷۹؛ سان^۲، ۱۹۸۰؛ تامپسون، ۱۹۸۲). غلظت عناصر خاکی نادر در سنگ‌ها به طور معمول نسبت به یک مرجع استاندارد مشترک، که

1Wood

2 Sun

3-Sun

در بیشتر موارد مقدار عناصر خاکی نادر در شخانه‌های کندریتی است، بهنجار می‌شود. شخانه‌های کندریتی به دلیل این‌که مواد اولیه‌ی منظومه‌ی شمسی می‌باشند و ممکن است با هسته سازی اولیه‌ی زمین مرتبط باشند، انتخاب شده‌اند (ویلسون، ۱۹۸۹). برای مطالعه تغییرات عناصر کمیاب و نادر خاکی، نمونه‌هایی از سنگ همراه با کانه‌زایی، سنگ دگرسان شده و سنگ میزبان دگرسان نشده برداشت شد که پس از آزمایش مورد تجزیه و تحلیل ژئوشیمیایی قرار گرفت. به منظور بررسی الگوی تغییرات عناصر کمیاب، این عناصر نسبت به گوشه‌ی اولیه (سان و مکدونوف،^۱ ۱۹۸۹) بهنجار شده‌اند (شکل ۱۶-۵). این نمودار تمرکز نسبتاً بالایی از عناصر لیتوفیل بزرگ یون (LILE) و تمرکز پایین از عناصر با شدت میدان بالا (HFSE) مخصوصاً Nb و Ti را نشان می‌دهد که از خصوصیات ماغماهای مرتبط با فرورانش است (گاس^۲ و کای^۳، ۲۰۰۹؛ کوالنکو^۴ و همکاران، ۲۰۱۰). به طور کلی، تهی شدگی Nb و Ti با تفریق فازهای تیتانیم‌دار مانند تیتانیت، تیتانومگنتیت و غیره اثبات می‌شود (ویلسون، ۱۹۸۹).



شکل ۱۶-۵) نمودار عناصر کمیاب در سنگ‌های آتشفشاری شرق شاهroud که به گوشه‌ی اولیه (Sun and McDonough, 1989) نormalizere شده‌اند.

به منظور بررسی بیشتر، نمونه‌های از کل مناطق شرق و جنوب شرق شاهroud رسم شد. این نمودار (شکل ۱۷-۵) در نمونه‌های مورد مطالعه غنی‌شدگی نشان می‌دهند که با حضور فراوان پلاژیوکلاز در

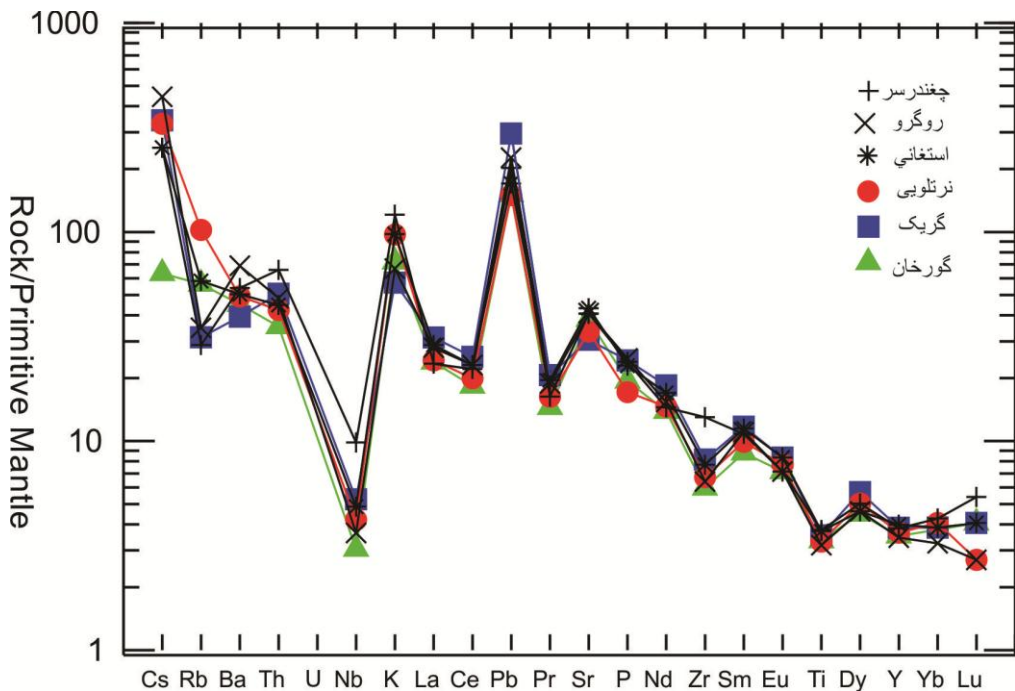
1-Mc Donough

2-Goss

3-Kay

4-Kovalenko

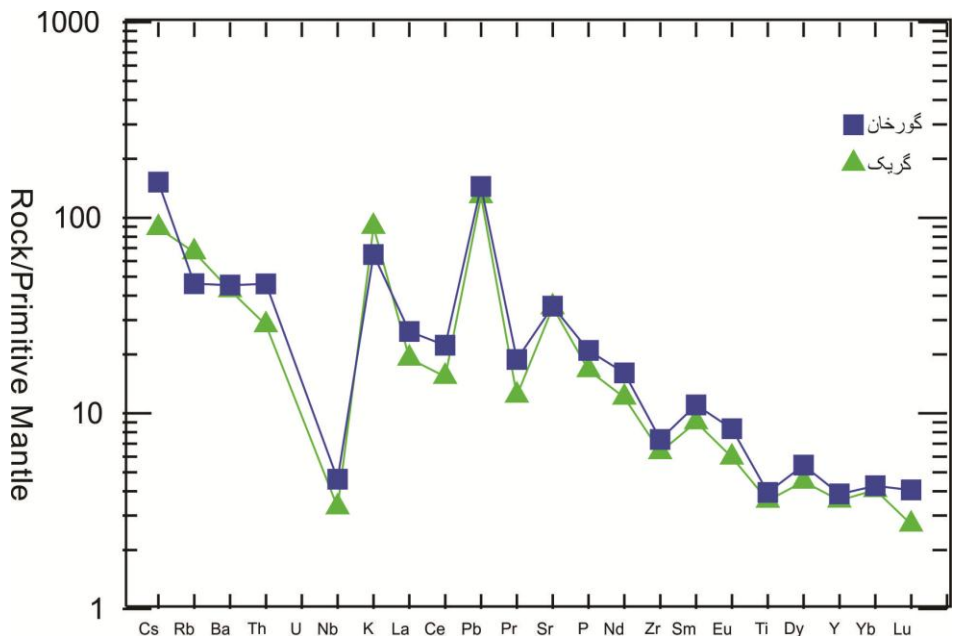
آن‌ها مطابقت دارد. غنی‌شدگی این عناصر حاکی از فقدان تغیریق پلازیوکلار یا حضور آن در فازهای باقیمانده در منشأ و تجمع پلازیوکلار به عنوان یک فاز غالب در این نمونه‌ها می‌باشد (جهانگیری، ۲۰۰۷). در مورد آنومالی منفی Nb نظریات مختلفی ارائه شده است، از جمله اینکه: ۱) این آنومالی نشان‌دهنده پایین بودن مقدار این عنصر در رسوبات همراه ورقه فرورونده است. ۲) بالا بودن نسبت بار به شعاع در این عنصر می‌تواند باعث آن شود که در سیالات آبدار نامحلول باشد و بنابراین به اندازه کافی به گوه گوشه‌ای منتقل نشود. ۳) درجه کم ذوب‌شدگی در مناطق قوس باعث تمرکز کم این عنصر در مذاب می‌شود (ماکادو و همکاران^۱، ۲۰۰۵). با توجه به اینکه پلازیوکلار یکی از کانی‌های بارز در تمامی نمونه‌های سنگی منطقه مورد مطالعه است، انتظار می‌رود که آنومالی مثبت در Eu دیده شود. ولیکن در هیچ یک از نمونه‌ها این آنومالی به چشم نمی‌خورد. در شرایط فعالیت کم اکسیژن، ضرایب جدایش برای Eu بین پلازیوکلار و مذاب بازالتی بالا است (عموماً بالاتر از ۱) و نسبت به سایر عناصر یک آنومالی نشان می‌دهد (رولینسون، ۱۹۹۳). در صورتی که در شرایط فعالیت زیاد اکسیژن، ضرایب جدایش برای Eu پائین بوده و این عنصر مانند سایر عناصر کمیاب خاکی رفتار می‌کند.



شکل ۱۷-۵) نمودار عناصر کمیاب در سنگ‌های آتشفشاری شرق شاهزاده که به گوشته اولیه (Sun and McDonough, 1989) نرمالیزه شده‌اند.

در نمودار عنکبوتی بهنجار شده که بر اساس سان و مک دونوف^۱ (۱۹۸۹) رسم گردید، دو منطقه گریک و گورخان با یکدیگر مقایسه شد (شکل ۱۸-۶)، همان‌طور که در این نمودار مشاهده می‌شود، موازی بودن الگوی تغییرات عناصر نادر خاکی در این نمونه‌ها می‌تواند نشانه خاستگاه مشترک این سنگ‌ها باشد و به نظر می‌رسد که این سنگ‌ها کم و بیش محصول تبلور و یا جدایش اندک ماقماًی بازالتی مشتق شده از گوشته باشند. عناصر LREE نسبت به HREE ناسازگارترند، اختلاف اندازه یون‌ها باعث می‌شود تا حدی ناسازگارتر از HREE باشند و همین علت باعث می‌شود که به آسانی وارد فاز سیال شده و غلظتی بیشتر از عناصر سنگین داشته باشند (کراسکوپ و بیرد^۲، ۱۹۷۹).

¹Mc Donough
²Kruskoff & Bird



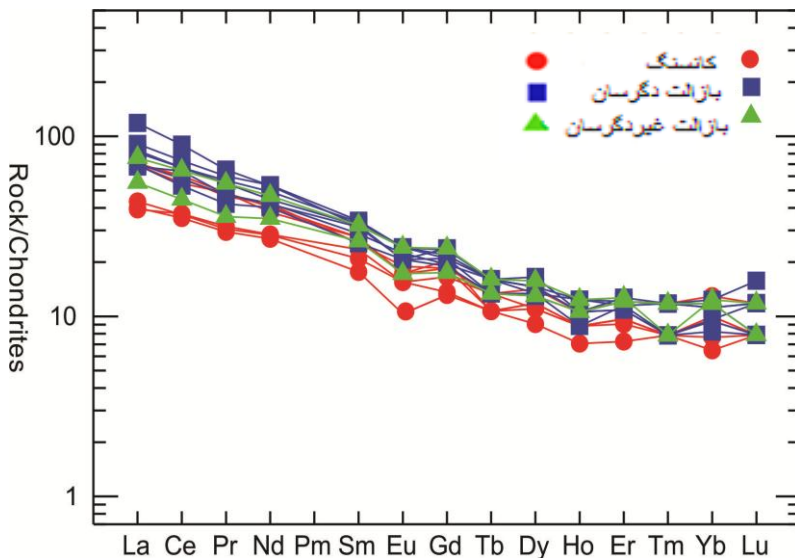
شکل ۱۸-۵) نمودار عناصر کمیاب در سنگ‌های آتشفشاری شرق و جنوب‌شرق شاهروд که به گوشته اولیه (Sun and McDonough, 1989) نرمالیزه شده‌اند.

در نمودار عنکبوتی بهنجار شده نسبت به مقادیر کندریت ناکامورا (۱۹۷۴) (شکل ۱۹-۶)، نمونه‌های (کانسنگ، بازالت دگرسان شده، بازالت غیردگرسان)، تمامی مناطق مورد مطالعه از عناصر نادر خاکی سبک و ناسازگار غنی‌شدگی و از عناصر با شدت میدان بالا تهی شدگی نشان می‌دهند. به طور کلی، غنی‌شدگی از عناصر نادر خاکی سبک را می‌توان به دو عامل درجات ذوب بخشی پایین (کمتر از ۱۵ درصد) منبع گوشته‌ای غنی شده (هیرشمن^۱ و همکاران، ۱۹۹۸) و آلایش ماقمایی توسط مواد پوسته‌ای نسبت داد (سریواستاوا^۲ و سین^۳، ۲۰۰۴). با توجه به ماهیت آلکالن نمونه‌های مورد مطالعه، درجات ذوب بخشی پایین منبع گوشته‌ای غنی شده در تشکیل ماقمای این سنگ‌ها، تأیید می‌شود.

¹ Hirschman

² Srivastava

³ Singh



شکل ۵-۱۹) نمودار عناصر نادر خاکی در منطقه گورخان که به کندریت (Nakamura, 1974) نormalize شده‌اند.

در نمودار عنکبوتی بهنجار شده نسبت به مقادیر کندریت تامپسون (۱۹۸۲) (شکل ۵-۲۰) (شکل ۵-۱۹)، نمونه‌های سنگی (کانسنگ، بازالت دگرسان شده، بازالت غیردگرسان)، در منطقه گورخان مورد مطالعه قرار گرفت.
به طور کلی می‌توان گفت که غنی‌شدگی LREE نسبت به HREE می‌تواند ناشی از سه عامل باشد. ۱- ناشی از حضور گارنت در سنگ منشأ که با حفظ HREE در ساختمان خود موجب تهی شدن این عناصر در ماگما می‌شود (مکدونالد و همکاران^۱، ۲۰۰۰). ۲- آلایش با مواد پوسته‌ای (سریواستاوا^۲ و سین^۳، ۲۰۰۴). ۳- متاسوماتیسم گوه گوشته‌ای در اثر سیالات حاصل از آب‌زدایی پوسته اقیانوسی (وینتر^۴، ۲۰۰۱). الگوی موازی نمونه‌ها، منشأ واحد و تحول آن‌ها را در طی فرایند تبلور تفریقی ماگما تأیید می‌کند (نیکلسون^۵ و همکاران، ۲۰۰۴). در این منطقه نمونه‌های دگرسان شده و غیردگرسان و نمونه‌های کانسنگ الگوی موازی را نشان می‌دهند که موازی بودن الگوی تغییرات عناصر نادر خاکی در این نمونه‌ها می‌تواند نشانه خاستگاه مشترک این سنگ‌ها باشد.

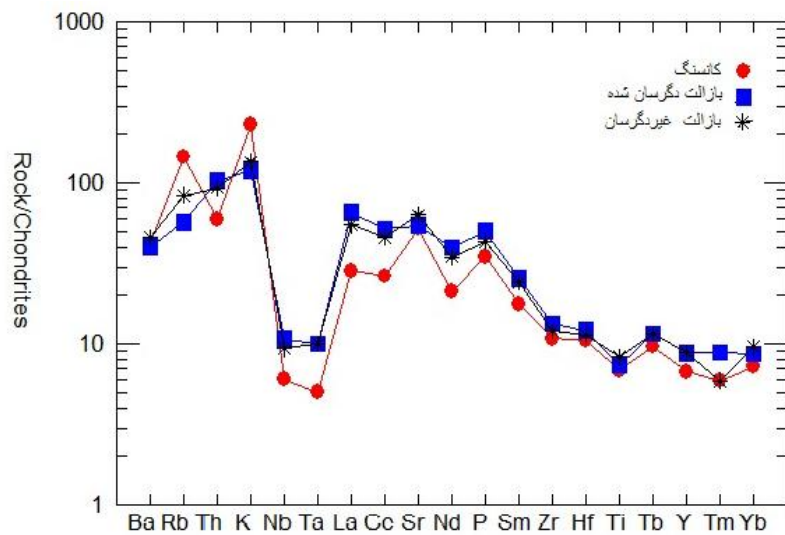
1 Macdonald et al

2 Srivastava

3 Singh

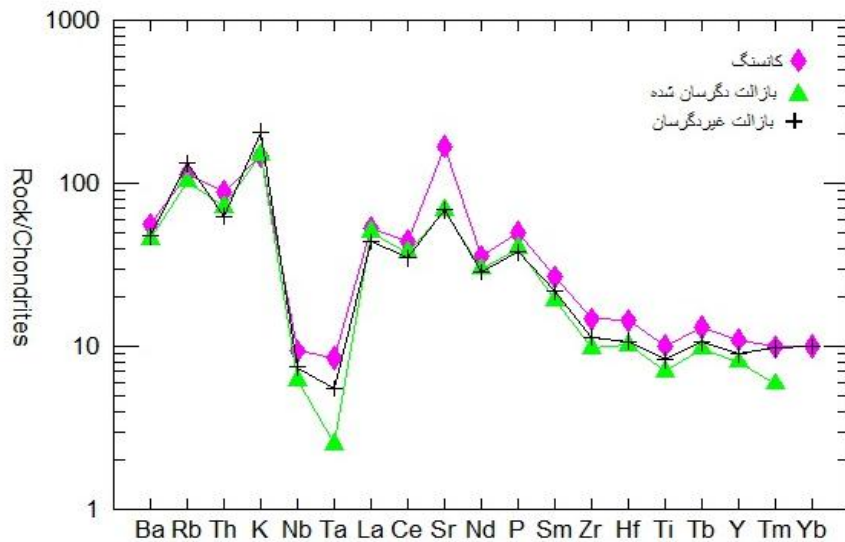
4 Winter

5 Nicholson



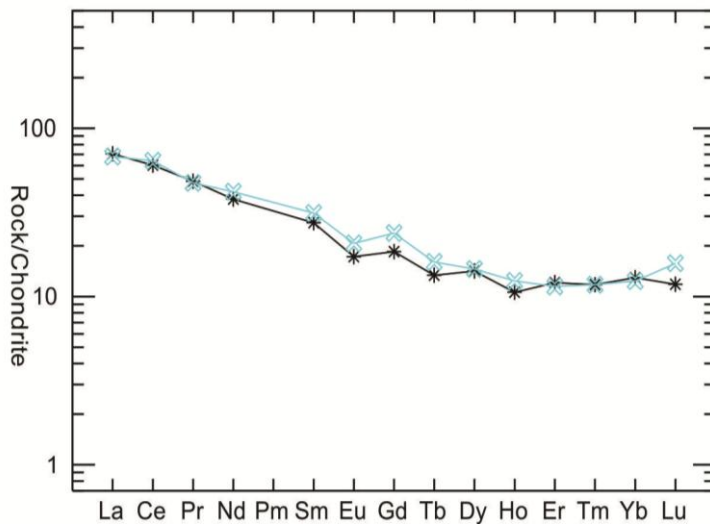
شکل ۲۰-۵) عناصر نادر خاکی در منطقه گورخان که به کندریت (Thompson 1982) نرمالیزه شده‌اند.

همچنین در نمودار عنکبوتی بهنجار شده نسبت به مقادیر کندریت تامپسون (۱۹۸۲) (شکل ۲۱-۵)، نمونه‌های سنگی (کانسنگ، بازالت دگرسان شده، بازالت غیردگرسان)، در منطقه گریک نیز الگوی موازی با که نشانه خاستگاه مشترک این سنگ‌ها می‌باشد را نشان می‌دهد.



شکل ۲۱-۵) نمودار عناصر نادر خاکی در منطقه گریک که به کندریت (Thompson 1982) نرمالیزه شده‌اند.

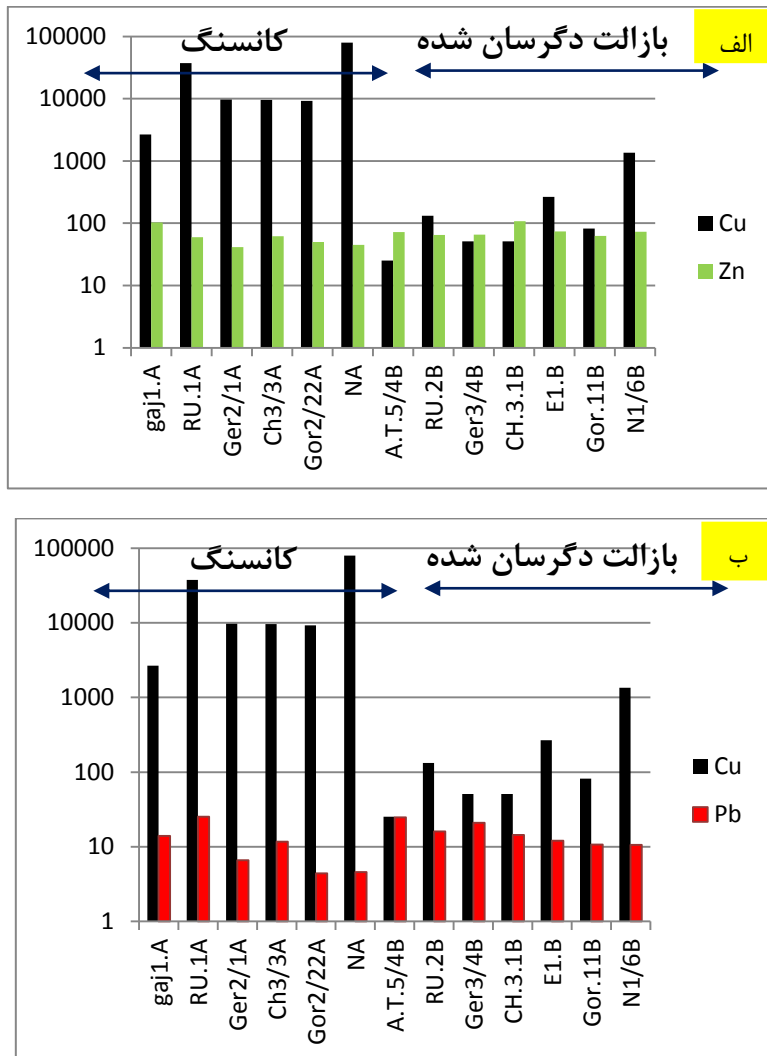
در نمودار عنکبوتی بهنجار شده نسبت به مقادیر کندrit (Nakamura 1974). نمونه سنگی نرتلویی مورد بررسی قرار گرفت (شکل ۲۲-۵). در این سنگ‌ها Eu تهی‌شدگی و غنی‌شدگی مشخصی را نشان نمی‌دهد که بیشتر ناشی از تحت تأثیر دگرسانی قرار گرفتن این سنگ‌ها نسبت به گدازه‌های آتشفسانی می‌باشد. همان‌طور که در این نمودار مشاهده می‌شود، نمونه‌های مورد مطالعه قادر آنومالی Eu می‌باشند. آنومالی Eu توسط پلازیوکلاز کنترل می‌شود و به فوگاسیته‌ی اکسیژن وابسته است. بنابراین خارج شدن فلدسپارها از طریق تفیریق بلوری در شرایط فوگاسیته‌ی پایین اکسیژن باعث آنومالی منفی در مذاب می‌شود (ویلسون، ۱۹۸۹؛ جهانگیری و عزیزی، ۲۰۰۸). عدم وجود آنومالی منفی این عنصر در نمونه‌های مورد مطالعه را می‌توان به حضور پلازیوکلاز و همچنین دخالت یک منبع آمفیبولیتی با مقادیر نسبتاً زیاد گارنت (حداکثر تا ۳۰ درصد) در تشکیل آن‌ها مربوط دانست (کلپیس و همکاران، ۲۰۰۳).



شکل ۲۲-۵) نمودار عناصر نادرخاکی در منطقه نرتلویی که به کندrit (Nakamura 1974) نرماییزه شده‌اند.

براساس نتایج ژئوشیمیایی حاصل از آنالیز تعدادی نمونه برداشت شده از کانسارها و اندیس‌های مس شرق و جنوب‌شرق شاهروд، تغییرات فراوانی مس و تعدادی از عناصر فلزی باز نظیر سرب، روی و نقره مورد بررسی قرار گرفته است. معمولاً بین مس و سرب و همچنین مس و روی ارتباط ژئوشیمیایی خاص وجود ندارد (شکل ۲۳-۵). با توجه به نمودارهای رسم شده، بین فراوانی مقادیر مس و نقره تطابق و هماهنگی

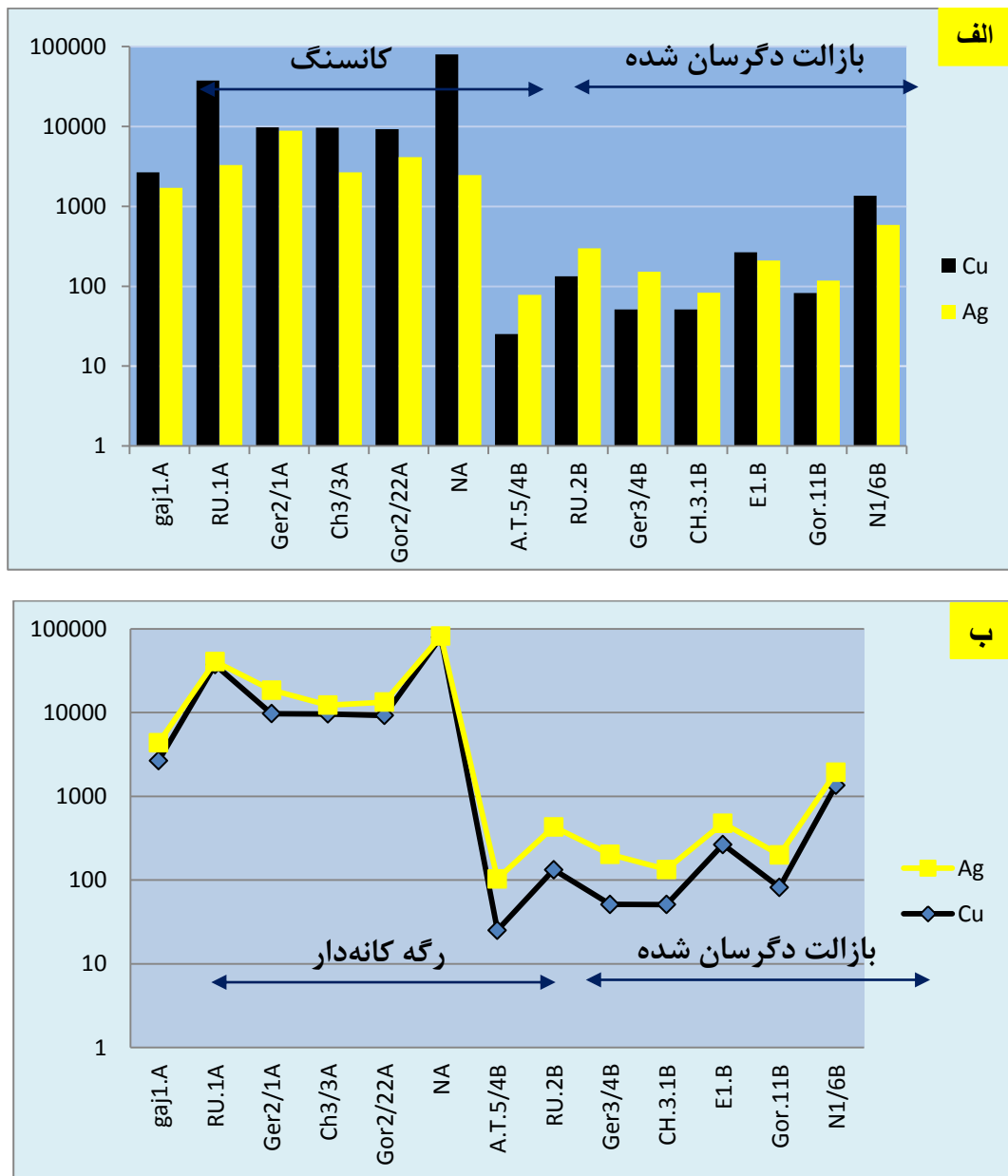
خوبی مشاهده می شود (شکل ۲۴-۵، ب)، اگرچه کانی حاوی نقره به صورت مستقل در کانسارهای مورد مطالعه مشاهده نشده است ولی حضور نقره در کانه زایی های مس با ماهیت مشابه در دنیا امری متداول است و وجود نقره یکی از ویژگی های بارز این تیپ کانسارها است. مقادیر نقره در کانسارهای مورد مطالعه در بین این عناصر بیشترین همبستگی را با مس دارا می باشد (شکل ۲۴-۵، ب). میانگین عیار مس در این کانسار 40% و حداقل مقدار مس 92% می باشد. در این میان میانگین عیار نقره 64 ppm و حداقل مقدار آن 8 ppm است.



شکل ۲۳-۵) تغییرات فراوانی مس و عناصر فلزی بارز نظیر سرب و روی. الف- مس و روی، ب- مس و سرب

با توجه به نمودارهای ارائه شده، می‌توان دریافت که در بخش بازالت‌های دگرسان شده و کانسنگ اختلاف

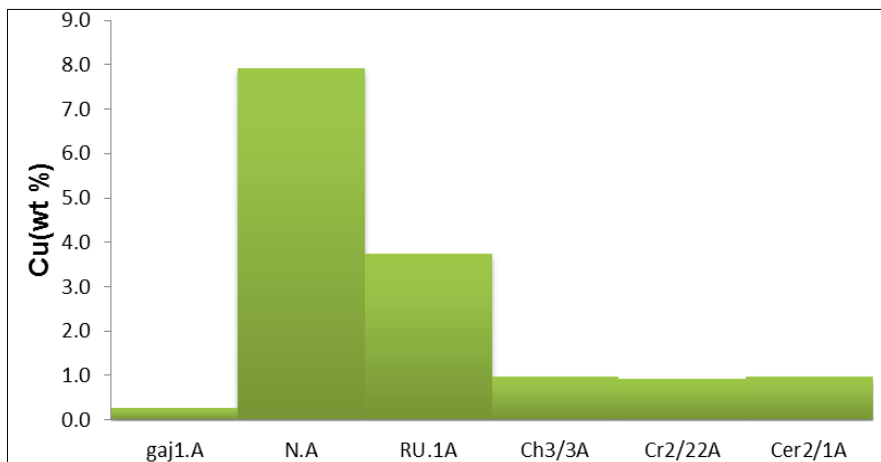
بارزی در مقادیر سرب و روی مشاهده نمی‌شود، بنابراین همبستگی بارزی بین عناصر وجود ندارد.



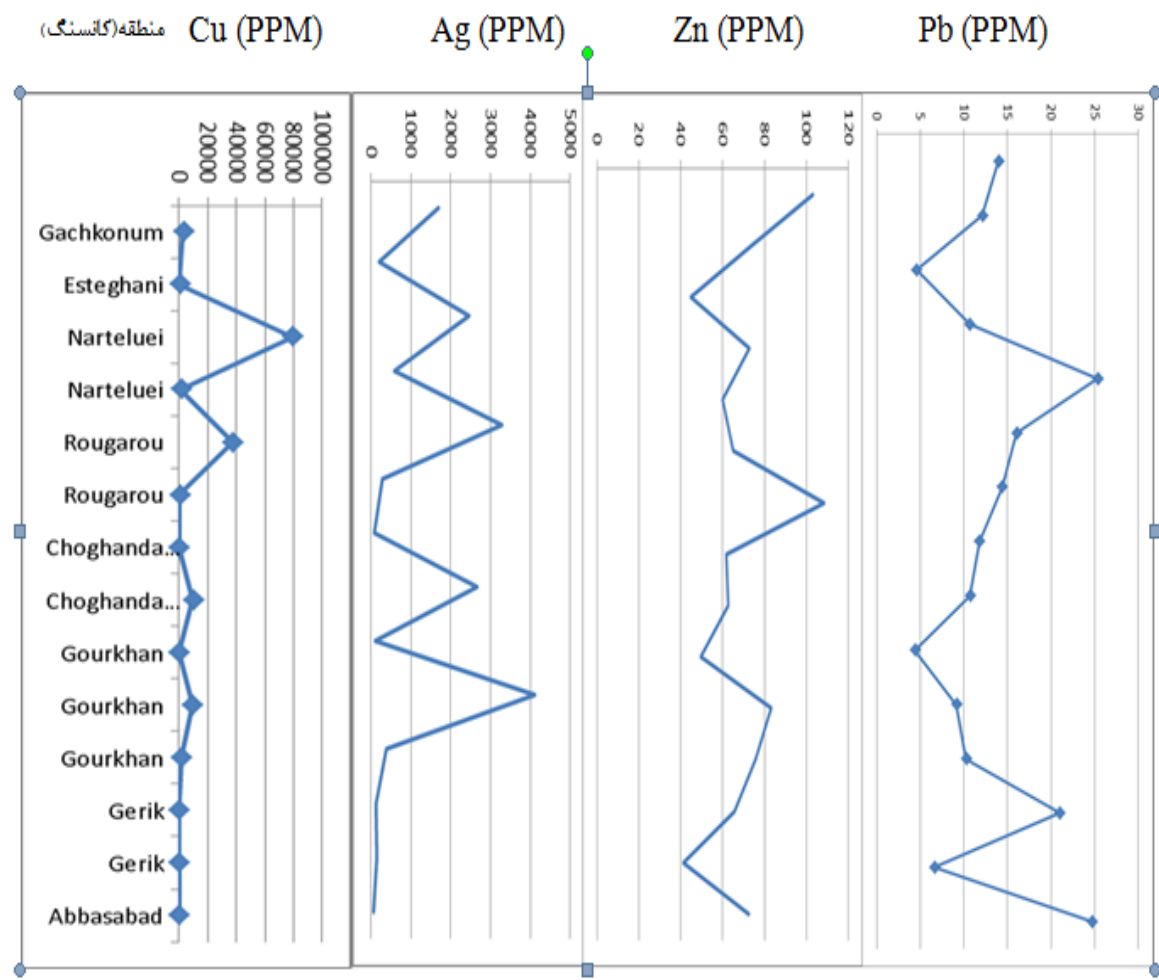
شكل ۲۴-۵) الف) بین فراوانی مقادیر مس و نقره تطابق و هماهنگی خوبی مشاهده می‌شود.

ب) همبستگی بین مس و نقره در کانسارهای مس شرق شاهروود

ولی نمودار تغییرات فراوانی مس و نقره نشان می‌دهد که بین این دو عنصر همبستگی مثبت خوبی وجود دارد. به طوری که در بخش کانسنگ مقدار نقره بین ۱۰۰ تا ۱۰۰ برابر افزایش نشان می‌دهد (شکل ۲۵-۵). همچنین درصد فراوانی عیار مس در کانسارهای مختلف شرق و جنوب شرق شهرود رسم گردید، بیشترین میزان مس مربوط به کانسار نرتلویی (N_A) با عیار ۷/۹ درصد می‌باشد.



شکل ۲۵-۵) همبستگی بین کانسنگ‌های مس و بازالت‌های دگرسان شده در کانسارهای مس شرق و جنوب‌شرق شهرود بررسی‌های صورت گرفته بر روی نمونه‌های تجزیه شده به روش ICP-MS ، نشان‌دهنده تغییرات ترکیب شیمیایی موجود در هر کانسار می‌باشد. حداکثر عیار مس در کانسار نرتلویی در حدود ۷/۹۳ درصد و حداقل مقدار آن در کانسار گچ‌کنوم در حدود ۱/۲٪ می‌باشد. در بین عناصر روی، سرب و نقره در کانسارهای مورد مطالعه نقره بیشترین همبستگی را با مس دارا می‌باشد. به عبارتی در بین مقادیر مس و نقره نظم و تطابق خاصی مشاهده می‌شود در صورتی که این نظم و هماهنگی بین مس با سرب و روی به خوبی مشهود نیست (شکل ۲۶-۵).



شکل ۵-۲۶) نمودار تغییرات میزان عناصر اصلی در کانسارهای شرق و جنوب‌شرق شاهروд

۶-۵ شیمی کانی‌ها

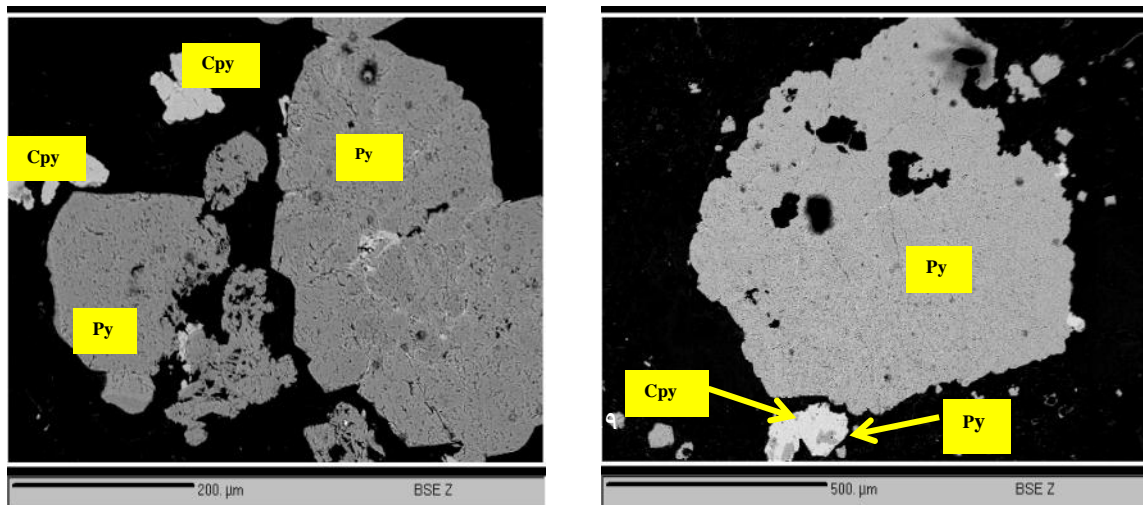
برای تشخیص ترکیب شیمیایی و شناسایی کانی‌ها و فراوانی عناصر سازنده آن‌ها در کانسار مس چند روش از جمله آنالیز EPMA برای کانسنج حاوی کالکوپیریت در آزمایشگاه مرکز فرآوری مواد معدنی ایران به روش کاوش الکترونی (EPMA) مورد آنالیز قرار گرفت که نتایج آن در جدول ۶-۴ ارائه شده است.

جدول ۶-۴ نتایج آنالیز EPMA برای کالکوپیریت در یک نمونه کانسنج از چند روش از جمله آنالیز EPMA

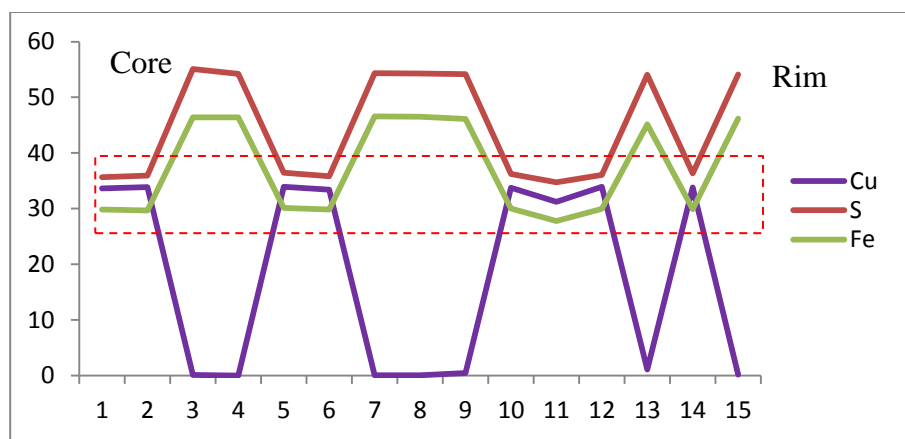
DataSet/Point	Name	Fe	S	Cu	As	Ag	Bi	Au	Si
1/1	کالکوپیریت	29.86	35.64	33.65	0.11	0.01	0	0	0.03
2/1	کالکوپیریت	29.66	35.96	33.86	0.04	0	0.02	0.04	0.21
3/1	پیریت	46.38	55.11	0.12	0.04	0	0	0.14	0
4/1	پیریت	46.39	54.23	0	0.04	0	0.02	0.04	0
5/1	کالکوپیریت	30.15	36.45	33.92	0.03	0	0	0.01	0
6/1	کالکوپیریت	29.81	35.81	33.43	0.08	0.03	0.29	0.03	0
7/1	پیریت	46.59	54.36	0.05	0.05	0.02	0.05	0	0.49
8/1	پیریت	46.05	54.27	0.06	0.02	0	0.24	0	0.11
9/1	پیریت	56.09	54.17	0.45	0	0.02	0	0	0.34
10/1	کالکوپیریت	29.99	36.23	33.74	0.03	0	0.02	0	0.89
11/1	کالکوپیریت	27.79	34.07	31.22	0	0	0.01	0.05	0.85
12/1	کالکوپیریت	29.98	36.05	33.9	0.04	0	0	0.013	0.08
13/1	کالکوپیریت	45.11	54.05	1.09	0.05	0	0.2	0	0.49
14/1	کالکوپیریت	29.91	36.36	33.82	0.04	0	0	0	0.39
15/1	پیریت	46.18	54.08	0.14	0.04	0	0	0	0.4

لازم به ذکر است نتایج به دست آمده نشان می‌دهد که نقطه‌های آنالیز شماره‌های ۱/۳، ۱/۴، ۱/۷، ۱/۸

و ۱/۹ اینگر پیریت و باقی نقاط کالکوپیریت هستند.



شکل ۵-۲۷) تصویر پس پراکنشی الکترون (BSE) از پیریت و کالکوپیریت در کانسنگ‌های منطقه چغندرسر شمالی با توجه به نمودار به دست آمده می‌توان محل انطباق عناصر مس، گوگرد و آهن را معادل وجود کانی کالکوپیریت دانست و محل تجمع دو عنصر آهن و گوگرد را معادل وجود پیریت برشمرد (شکل ۵-۱۲).



شکل ۵-۲۸) نمودار نشان‌دهنده تغییرات فراوانی عناصر مس، گوگرد و آهن در کانی‌های پیریت و کالکوپیریت

فصل ششم

سالات در کسر

۱-۶ مقدمه

مطالعات سیالات درگیر امروزه به عنوان یکی از اساسی‌ترین روش‌های مطالعه و شناخت وضعیت و شرایط حاکم بر حمل و نهشت کانه‌ها بوده، به گونه‌ای که دماسنجدی با استفاده از سیالات درگیر بیش از هر روش دیگری برای تعیین درجه حرارت تشکیل کانسار مورد استفاده قرار می‌گیرد. مطالعه سیالات درگیر داده‌های ارزشمندی از درک مسائل گذشته زمین‌شناسی از جمله دما، فشار، شوری، چگالی، ترکیب سیالات کانسارساز و همچنین ترکیب سیالاتی که تشکیل‌دهنده سنگ‌ها و کانی‌ها بوده و یا طی فرآیندهای بعدی از داخل آن‌ها عبور کرده‌اند را فراهم می‌کند (رودر^۱، ۱۹۸۴). برای مطالعه سیالات درگیر، کانی‌هایی مورد استفاده قرار می‌گیرند که بی‌رنگ و شفاف باشند. مناسب‌ترین کانی‌ها بنا به اعتقاد شفارد و همکاران^۲ (۱۹۸۵) عبارت‌اند از کوارتز، فلوروریت، هالیت، کلسیت، آپاتیت، دولومیت، اسفالریت، توپاز و کاسیتیریت می‌باشد. از لحاظ ژنتیکی، سیالات درگیر به سه دسته تقسیم می‌شوند: ۱- سیالات درگیر اولیه^۳ که در زمان رشد و تشکیل بلور میزبان، تشکیل شده‌اند. ۲- سیالات درگیر ثانویه^۴ که بعد از تشکیل و رشد بلور میزبان تشکیل می‌شوند. ۳- سیالات درگیر ثانویه کاذب^۵ که ضمن مرحله‌ای از رشد بلور در شکستگی‌های موجود در بلور تشکیل و در مراحل بعدی رشد پوشیده می‌شوند (رودر، ۱۹۸۴؛ بودنار^۶، ۱۹۸۵). توأم با پیشرفت تکنیک‌های تجزیه‌ای، هر ساله حجم زیادی از یافته‌ها و تحقیقات نوین علمی در رابطه با نحوه مطالعات و تجزیه سیالات درگیر در کانسارهای مختلف ارائه می‌شود. این مسئله، اهمیت سیالات درگیر را به عنوان ابزار اکتشافی مناسب و سودمند نشان می‌دهد. در تحقیق حاضر، مطالعه سیالات درگیر به عنوان یک روش تحقیقی جهت شناسائی ترکیب سیالات هیدرورترمال مرتبط با

1 - Roedder

2 - Shepherd et al

3 - Primary

4 - Secondary

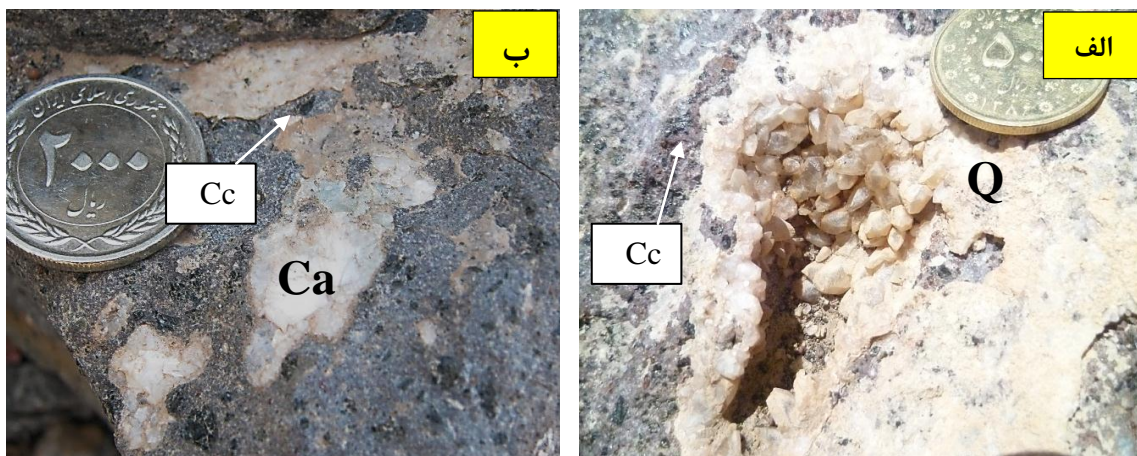
5 - Pesudosecondary

6 - Bodnar

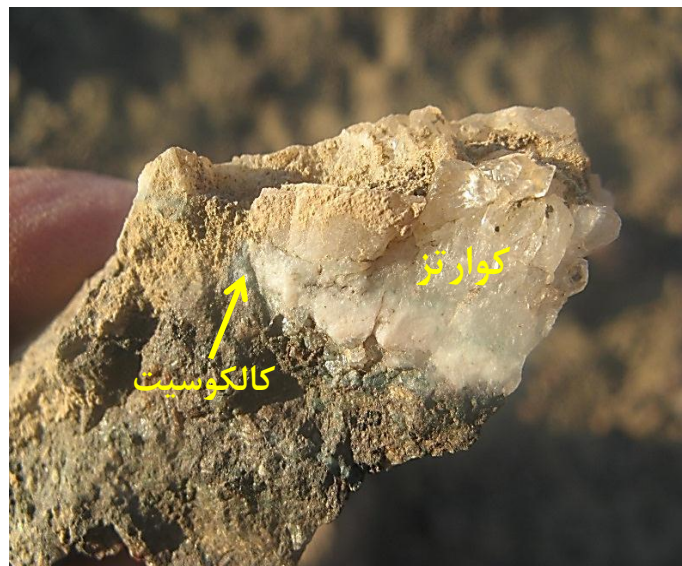
کانه‌زائی مس، و نیز بررسی شرایط دما و فشار این سیالات و فرآیندهای نهشت کانسنگ به منظور پاسخگوئی به سوالات اساسی در رابطه با ژنر کانسار مس شرق و جنوب‌شرق شهرود انجام گرفته است. در این مطالعه از کانی شفاف کوارتز و کلسیت برای مطالعه سیالات درگیر استفاده شده است، مهم‌ترین کاربرد سیالات درگیر در این تحقیق، تعیین دما، تغییرات شوری و محاسبه چگالی سیال کانه ساز در کانسارهای مس شرق و جنوب شهرود می‌باشد.

۶-۲- نمونه‌برداری و آماده سازی نمونه‌ها

جهت مطالعات سیالات درگیر، تعداد ۳ نمونه با کانی‌شناسی کوارتز و کلسیت انتخاب شد. نمونه‌های انتخاب شده از رگه‌ها و بخش کانه‌دار انتخاب شد. جهت این مطالعات از کوارتز با بافت فضا پرکن و کلسیت رگه‌ای از کانسارهای مختلف مقطع صیقلی دو طرفه^۱ تهیه شد (شکل ۱-۶ الف، شکل ۱-۶ ب و شکل ۱-۶).



شکل ۱-۶) الف- حفره پر شده با کوارتز در منطقه نرتلویی ب- رگه کلسیتی در بازالت‌های منطقه استغانی



شکل ۲-۶) کوارتز با ساخت فضایپرکن همراه با ماده معدنی از منطقه الهاک ۲

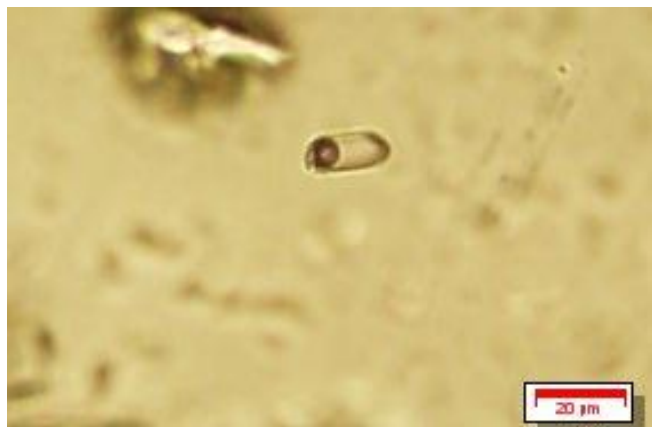
مطالعات ترمومتری سیالات در گیر در آزمایشگاه کانی‌شناسی مرکز تحقیقات فرآوری مواد معدنی ایران به کمک Stage:THMS 600 مدل Linkam که بر روی میکروسکوپ ZEISS نصب است صورت گرفت، دامنه حرارتی این دستگاه ۱۹۶- تا 600°C درجه سانتی‌گراد است همچنین این دستگاه مجهرز به دو کنترل‌گر، گرمایش (TP94) و سرمایش (LNP)، مخزن ازت (جهت پمپ نیتروژن برای انجماد) و مخزن آب (جهت خنک کردن دستگاه در دمای بالا) است. کالیبراسیون Stage در گرمایش، با دقت $\pm 0.6^{\circ}\text{C}$ درجه بوده که با نیترات سزیم (Cesium nitrate) با نقطه ذوب 414°C درجه و در انجماد با دقت $\pm 0.2^{\circ}\text{C}$ درجه و با ماده استاندارد ان-هگزان (n-Hexane) با نقطه ذوب $-94/3^{\circ}\text{C}$ درجه سانتی‌گراد انجام شده است.

۳-۶- پتروگرافی سیالات در گیر

مطالعه پتروگرافی سیالات در گیر اولین گام در مطالعه سیالات در گیر بوده و اطلاعات مفید و ارزشمندی از شرایط به دام افتادن سیالات در گیر و تشکیل بلور از این مطالعات حاصل می‌شود. در مطالعه پتروگرافی، مشخصات نوری از قبیل شکل و اندازه سیالات در گیر، رده‌بندی ژنتیکی (اولیه، ثانویه، ثانویه کاذب)،

محتویات سیالات درگیر ($L+V+S$ ، نسبت V/L)، نوع کانی‌های دختر (با توجه به شکل کریستالی و مورفولوژی ظاهری)، پدیده‌هایی مانند تراوش^۱ و دم بریدگی^۲ مورد بررسی قرار می‌گیرد. شکل سیالات درگیر تا حدودی به وسیله ساختمان بلوری کانی میزبان کنترل می‌شود. سیالات درگیر ممکن است، شکل کامل بلور منفی را به خود بگیرند و یا کاملاً شکل نامنظم داشته باشند (شلتون و مک منامی^۳، ۲۰۰۴).

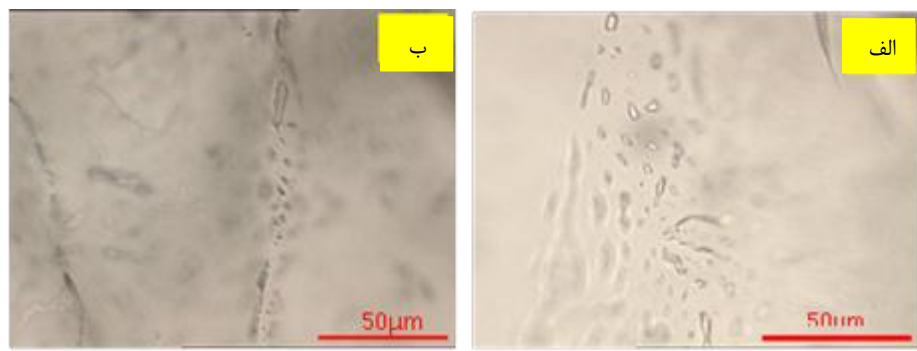
سیالات درگیر در نمونه‌های مورد مطالعه از نوع سیالات درگیر اولیه، ثانویه و ثانویه کاذب هستند. سیالات درگیر اولیه با پراکندگی تصادفی دیده می‌شوند (شکل ۳-۶).



شکل ۳-۶) سیال درگیر اولیه دو فازی ($L+V$)

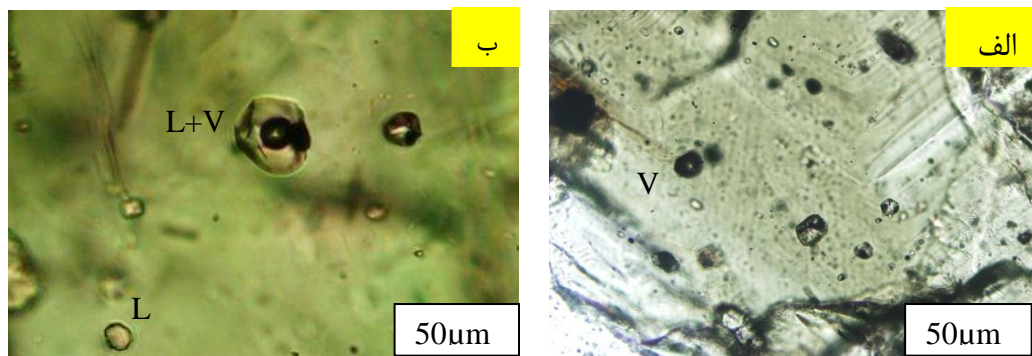
سیالات درگیر ثانویه و ثانویه کاذب به صورت خطی می‌باشند، با این تفاوت که سیالات درگیر ثانویه کاذب برخلاف نوع ثانویه تا حاشیه بلور ادامه پیدا نمی‌کنند. سیالات درگیر ثانویه به دلیل قرارگیری در محل شکستگی‌ها اغلب تا حاشیه بلور امتداد پیدا می‌کنند (شکل ۴-۶ الف و ب).

1 - Leakage
2 - Necking down
3 - Shelton and McMenamy



شکل ۶-۴) الف- سیالات ثانویه کاذب در متن بلور، ب- سیالات ثانویه به صورت خطی درون شکستگی‌ها

از نظر اندازه سیالات عموماً اندازه‌ای کوچک دارند و به ندرت ابعاد آن‌ها به 50 میکرون می‌رسد. سیالات درگیر در نمونه‌های مورد مطالعه به سه دسته تک فازی پرشده از گاز (V)، تک فازی پرشده از مایع (L) و دو فازی مایع - گاز و غنی از مایع (L+V) قابل تقسیم هستند (شکل ۵-۶ الف و ب).



شکل ۵-۶) الف- سیال درگیر تک فازی پرشده از گاز (V)، ب- سیالات درگیر تک فازی پرشده از مایع (L) و دو فازی مایع + گاز غنی از گاز (L+V)

به دلیل شفافیت کم (شیری رنگ بودن) نمونه‌های مورد مطالعه و اندازه و فراوانی کم سیالات درگیر، جهت مطالعات میکروترمو متري بسیار کم بوده و به سختی یافت شدند. مطالعات حرارت‌سننجی تنها در نمونه استغانی منتج به جواب شد (جدول ۱-۶). در مواردی تنها دمای همگن شدن (Th) ذکر شده است و امکان اندازه‌گیری اولین و آخرین نقطه ذوب یخ با توجه به شرایط و ماهیت نمونه فراهم نگردید. همچنین قابل ذکر است موارد مشکوک به هیدروهالیت در میانبارها مشاهده می‌شود ولی با توجه به اندازه کوچک میانبارها اندازه‌گیری دقیق آن‌ها مقدور نشد. در نمونه نرتلویی و الهاک ۲ تنها میانبارهای تک فاز مایع

(بیشتر به صورت میانبارهای ثانویه) مشاهده گردید که بسیاری از آن‌ها پدیده باریک‌شدگی

را نشان می‌دهند. (Leakage) و یا نشت (down

جدول ۱-۶) نتایج آنالیزهای دماسنجی، از کانی‌های کلسیت در نمونه‌های منطقه استغانی و نرتلوبی

n	Size(μm)	Type	Origin	Te (°C)	Tmice (°C)	wt% NaCl	Thv-l (° C)	Shape
1	8	LV	P	-41	-8.4	12.29	274	irregular
2	8	LV	P	-45	-5	8.07	285	irregular
3	8	LV	P	-41	-6.2	9.67	288	irregular
4	10	LV	P	265	irregular
5	16	LV	P	205	elongated
6	6	LV	P	268	irregular

۴-۶- مطالعات دماسنجی سیالات درگیر

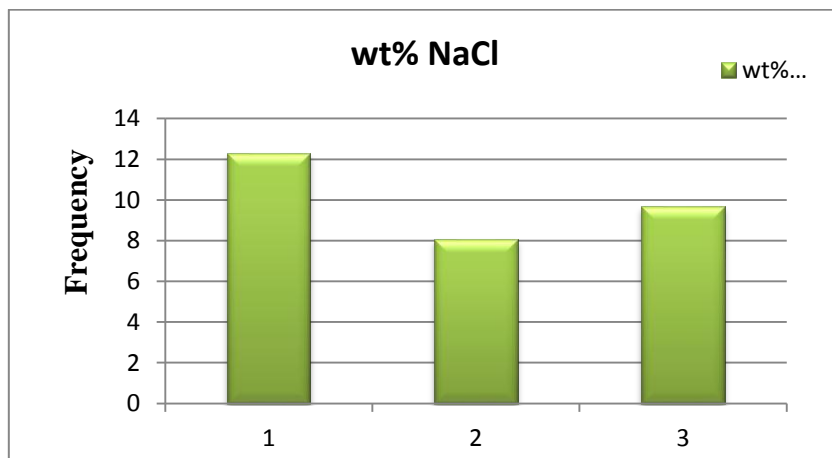
مطالعات دماسنجی سیالات درگیر به منظور تعیین منشأ و ماهیت سیالات کانه‌دار است که عمدۀ این مطالعات برای تعیین دمای ذوب دمای اولیه (Tm1-Ice)، دمای نهایی ذوب قطعه یخ (Tm2-Ice)، همگن شدن^۱، میزان شوری و ترکیب سیالاتی که کانی میزبان از آن‌ها ساخته شده است، که توسط عملیات سرد کردن^۲ و گرم کردن^۳ انجام می‌گیرد. هدف از سرد کردن و منجمد کردن سیال درگیر، پی بردن به میزان املاح یا اصطلاحاً درجه شوری محلول می‌باشد. جهت انجام این عملیات، ابتدا سیال درگیر را تا دمای ۱۰- درجه سانتی‌گراد سرد می‌کنیم تا سیال کاملاً منجمد شود. سپس با یک روند آهسته، حرارت دمای اتاق حاوی نمونه را افزایش می‌دهیم. پس از مدتی، سیال از حالت جامد خارج شده و یخ شروع به ذوب شدن می‌نماید. اولین قطره مایعی که ظاهر می‌شود یا به عبارت دیگر، اولین دمای ذوبی که در آن یخ به آب تبدیل می‌شود، دمای یوتکتیک (TE) نامیده می‌شود و مقدار آن با نوع کاتیون‌های حل شده در مایع

1 - Homogenization temperature

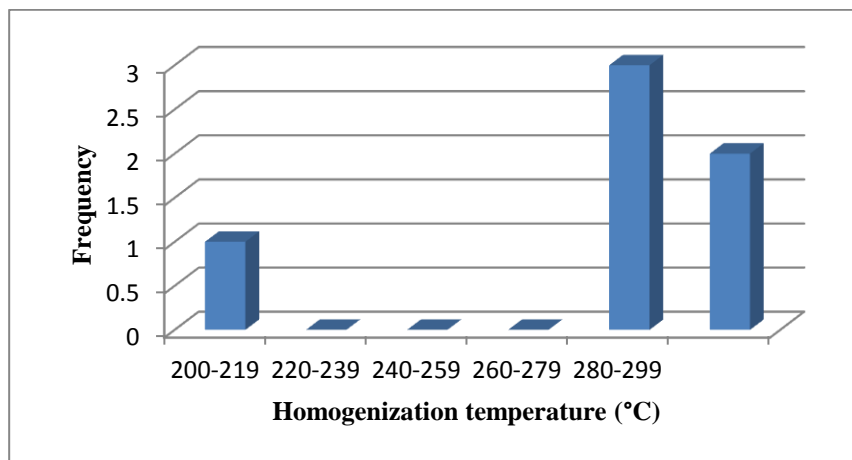
2 - Freezing

3 - Heating

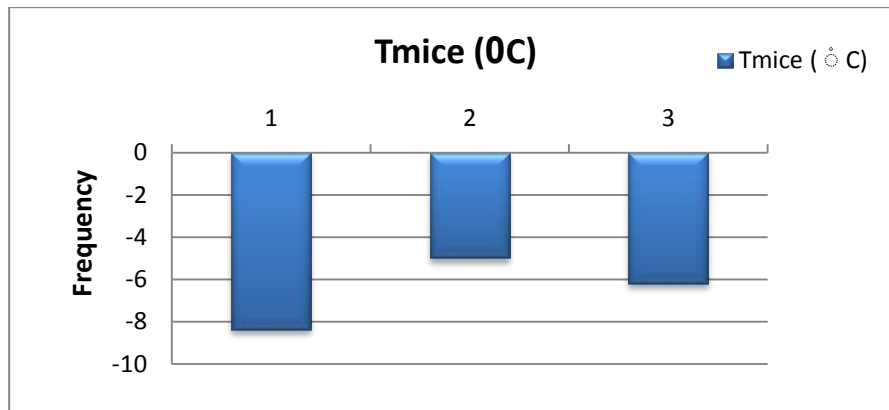
ارتباط دارد. با ادامه گرم کردن، بلورهای یخ بیشتر ذوب می‌شوند تا جایی که آخرین بلور یخ نیز از بین بروود. دمایی که در آن آخرین بلور یخ ذوب می‌شود، دمای ذوب نهایی یخ (Tmice) اطلاق می‌شود. بر حسب این دما، میزان شوری سیال بدست می‌آید. تعیین میزان شوری برای دمای ذوب یخ بالاتر از ۲۱°C به طور مستقیم با استفاده از نمودارها و جداولی که توسط بودنار (۲۰۰۳) ارائه شده است، قابل اندازه‌گیری است. هدف از حرارت دادن سیالات درگیر، همگن کردن فازهای تشکیل‌دهنده یک سیال درگیر می‌باشد. دمای همگن شدن، یعنی دمایی که تمامی فازهای جامد و مایع نمونه به صورت محلولی همگن درآید. این دما معرف حداقل درجه حرارت تشکیل کانسار خواهد بود. در انجام این بخش از مطالعات، اندازه‌گیری‌ها توسط سیستم لینکام¹ مدل HFS با کنترل کننده حرارتی ۹۲TMS ساخت کشور، آلمان انجام شده است. مطالعات پتروگرافی میانبارها با بزرگنمایی‌های ۵۰۰، ۶۲۵ و ۸۰۰ انجام گرفته است (شکل ۶-۶ تا شکل ۸-۶).



شکل ۶-۶) فراوانی درجه شوری سیالات درگیر در کانسار استغانی



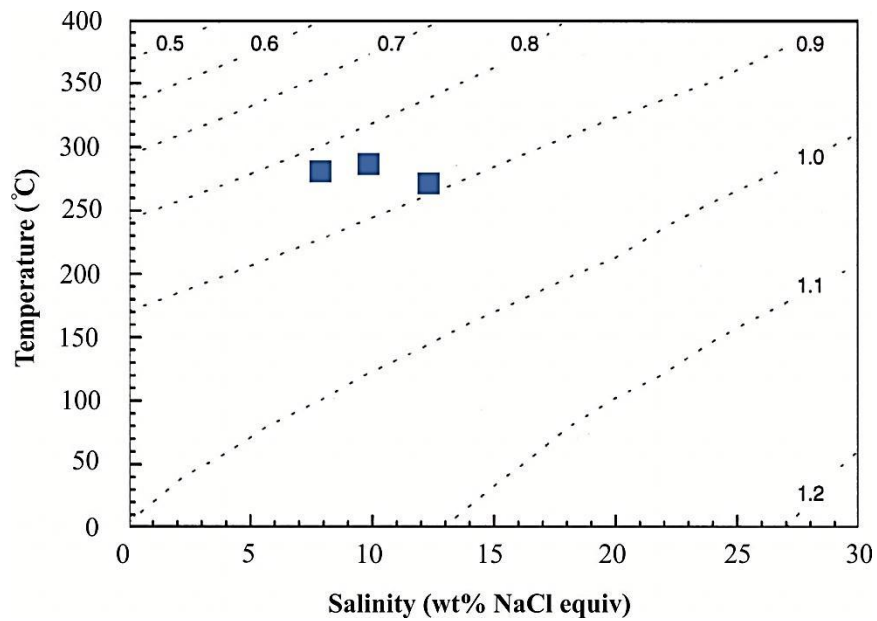
شکل ۷-۶) فراوانی درجه همگن شدن سیالات در گیر در کانسار استغانی



شکل ۸-۶) آخرین نقطه ذوب یخ سیالات در گیر در کانسار استغانی

۶-۵-چگالی سیال

تغییرات چگالی نکات مهمی در رابطه با فرآیندهای تکامل و تغییرات شوری و دمای سیال سیستم دارد (ویلکینسون، ۲۰۰۱). برای محاسبه چگالی سیال می‌توان از نمودارهای مرجعی که منحنی‌های چگالی با توجه به دمای همگن شدن به شوری رسم شده، استفاده برد. شکل بیانگر چگالی بین ۰/۹ تا ۰/۸ گرم بر متر مکعب برای سیالات مطالعه شده است (شکل ۹-۶).



شکل ۹-۶) نمودار تعیین چگالی سیال با استفاده از دمای همگن شدن و شوری سیال در گیر (ویلکینسون، ۲۰۰۱)

فصل هشتم

نتیجہ کیری، الکوئی سکسل، تپ کانہ زای

و پیشہ دات اکتسافی

۱-۷ مقدمه

ارائه یک الگوی زمین‌شناسخی و پیشنهاد یک راهکار اکتشافی مبتنی بر مطالعه کانسارهای مشابه، یکی از مهم‌ترین اهداف مطالعه هر کانسار می‌باشد که درگرو شناخت دقیق عوامل کنترل کننده تشکیل و تمرکز ماده معدنی است. بررسی این عوامل نیازمند بررسی دقیق مشاهدات صحرایی، نتایج داده‌های آزمایشگاهی و تلفیق مطالب مطرح شده در بخش‌های مختلف اعم از زمین‌شناسی، زمین ساخت منطقه، کانی‌شناسی و دگرسانی می‌باشد. در کانسارها و آثار معدنی منطقه مورد مطالعه، به منظور دستیابی به الگوی زمین‌شناسی، که سازوکار تشکیل ماده معدنی را توضیح دهد، بررسی‌های فوق انجام و الگوهای تشکیل و تمرکز ماده معدنی شناسائی گردید. در ادامه این بحث، کانسارها و اثرهای معدنی منطقه را با کانسارهای مشابه و شناخته شده ایران و جهان مقایسه کرده و پیشنهادات لازم برای شناسائی و اکتشاف مناطق امیدبخش و کانه‌سازی احتمالی در محدوده مورد مطالعه ارائه شده است.

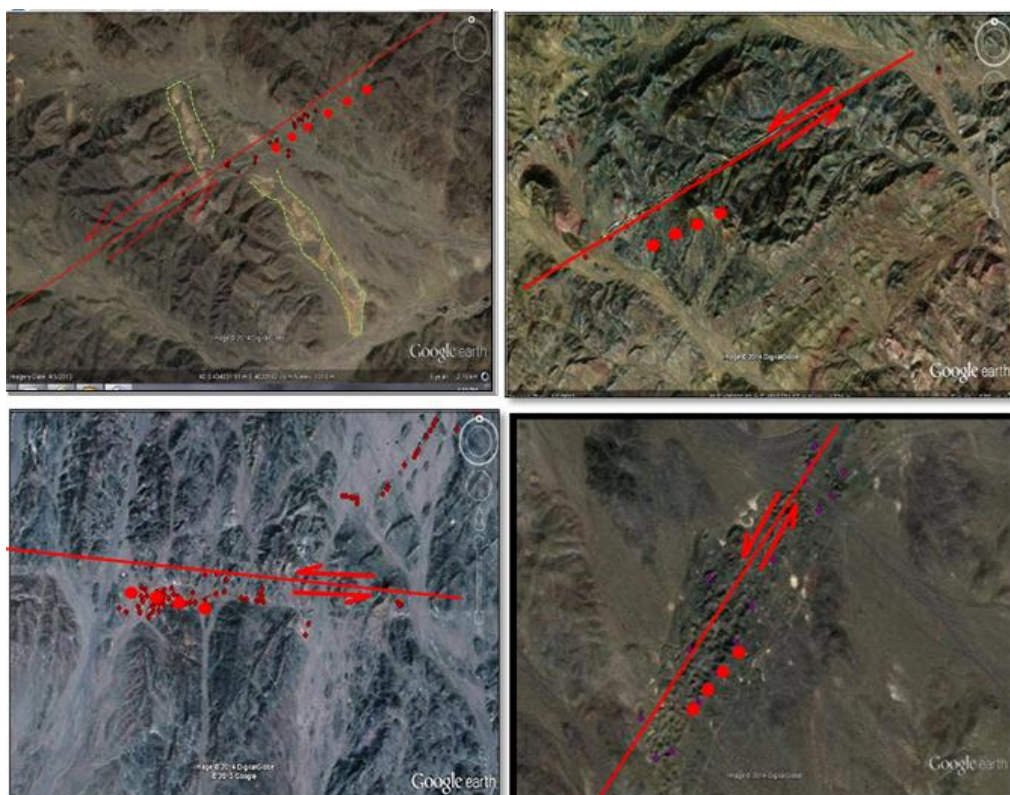
۲-۷ شواهد ژنتیکی حاصل از مطالعات انجام شده

۱-۲-۷ مطالعات سنگ‌شناسی

مناطق مورد مطالعه، بخشی از یک نوار آتشفسانی و آتشفسانی- رسوبی اؤسن می‌باشد که از سمت شمال شرق تربت حیدریه و از جنوب غرب تا سمنان ادامه دارد. برونزدهای سنگی هیدروکلاست‌ها، توفیت‌ها، تراکی بازالت‌ها، بازالت‌های اولیوین‌دار و به مقدار کمتر آهک‌های نومولیت‌دار می‌باشند. شیل‌های توفی، ماسه سنگ‌های توفیتی و لیتیک توف‌های قرمزنگ نیز جزء این مجموعه می‌باشند. رخساره آتشفسانی مربوط به محیط‌های خشکی نیز نظری منشورهای بازالتی در این محدوده مشاهده شد. کنگومرا به صورت محلی در بین توالی آتشفسانی - رسوبی مورد مطالعه مشاهده می‌شود که با حضور قطعات آهکی خاکستری رنگ به سن کرتاسه مشخص می‌گردند.

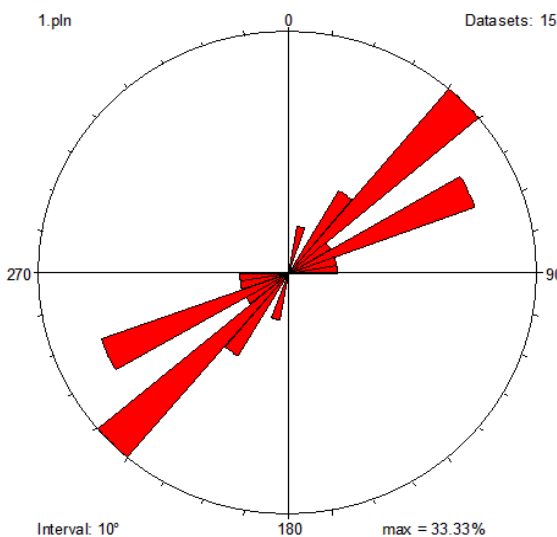
۲-۲-۷- شواهد ساختاری

گسل میامی یا گسل شاهروд با روند تقریباً شرقی - غربی، حد جدا کننده پهنه ساختاری البرز شرقی از ایران مرکزی است. حد شمالی این گسل بیشتر زمین‌های آبرفتی و کوهپایه‌ای، ولی حد جنوبی آن کوهستانی و در برخی نقاط (جنوب میامی، عباسآباد و فریمان) جداکننده ملانژهای افیولیتی از سایر واحدهای سنگی است. ساختارهای زمین‌شناسی منطقه مورد مطالعه غالباً از نوع شکستگی‌ها، گسل‌ها و چین‌خوردگی‌ها می‌باشند. گسل‌ها و شکستگی‌ها محیط مناسبی را برای نقل و انتقال سیالات کانه‌سازی‌های رگه‌ای در هر منطقه تقریباً از روند اصلی شکستگی‌ها تبعیت می‌کند. دو روند اصلی چین‌خوردگی و شکستگی‌ها به صورت شمال شرق - جنوب غرب و شرقی - غربی می‌باشد. در تصاویر زیر روند گسل‌ها و شکستگی‌ها نشان‌داده شده است (شکل ۱-۷).



شکل ۱-۷) تصاویر ماهواره‌ایی منطقه شرق و جنوب شرق شاهرود، کانه‌زایی‌ها در امتداد گسل‌هایی با روند شمال شرقی - جنوب غربی و شرقی - غربی می‌باشد. علامت (●) نشان‌دهنده معدنکاری صورت گرفته و چاهک‌های حفر شده می‌باشد.

نمودار گل سرخی نشان‌دهنده راستای غالب شکستگی‌ها در شکل ۲-۷ نشان داده شده است. روند غالب گسل‌ها و شکستگی‌ها با امتداد شمال خاوری جنوب باختり می‌باشد.



شکل ۲-۷) نمایش راستای شکستگی‌ها و گسل‌های منطقه شرق و جنوب شرق شاهروود

۳-۲-۷ مشاهدات کانی‌شناسی، ساخت و بافت

در مناطق چغندرسر (شمالی، مرکزی و جنوبی) استغانی، نرتلویی، گریک و گورخان کانه‌های اصلی؛ سولفیدهای مس، کربنات مس و مس طبیعی می‌باشد که بهره‌برداری از آن‌ها به گذشته‌های دور برمی‌گردد، گواه این مطلب، تونل‌ها، کنده‌کاری‌ها و حفاری‌های بی‌شماری است که در این مناطق مشاهده شده است. در همه مناطق نامبرده کالکوسیت کانه اصلی است. علاوه بر کالکوسیت کانی‌هایی همچون کالکوپیریت، پیریت، بورنیت، مالاکیت و مس طبیعی در این مناطق مشاهده شده است. ماده معدنی در این کانسارها به صورت رگه‌ای و رگچه‌ای، پرکننده فضاهای خالی و گاهی دانه پراکنده دیده می‌شود. براساس مطالعات میکروسکوپی، پارازنر کانی‌های اولیه ماده معدنی، در کانسارها مورد مطالعه عمدتاً شامل پیریت، کالکوپیریت، بورنیت و کالکوسیت می‌باشند، در بررسی‌های جزئی‌تر هر کانسار دارای پارازنرهای متفاوتی می‌باشد.

تمامی ویژگی‌هایی که در مورد کانسارهای مس شرق و جنوب شاهروود در بخش‌های بالا بیان شد، سبب گردید به مطالعه دقیق‌تر محیط تشکیل این کانسارها پرداخته شود. بدین‌منظور، براساس

تقسیم‌بندی کورن وال، (۱۹۵۶)^۱ انواع مس‌های خالصی که در محیط‌های مختلف تشکیل شده‌اند را به صورت زیر بیان کرده است.

- مس در گدازه‌های بازالتی

- مس در توده‌های نفوذی مافیک نیمه عمیق

- مس در توده‌های نفوذی اولترامافیک

- مس در سنگ‌های رسوبی تخریبی

- مس در کانسنگ‌های اکسیده شده

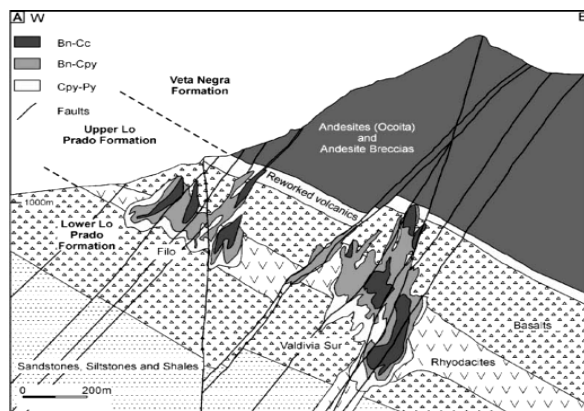
- مس در باتلاق‌های جدید

براساس مطالعه، سنگ‌شناسی، کانی‌شناسی، ساخت، بافت و ارتباط کانه‌زایی با سنگ میزبان بازالتی می‌توان کانسارهای شرق و جنوب شاهروド را در گروه اول از این دسته‌بندی (مس در گدازه‌های بازالتی) قرار داد.

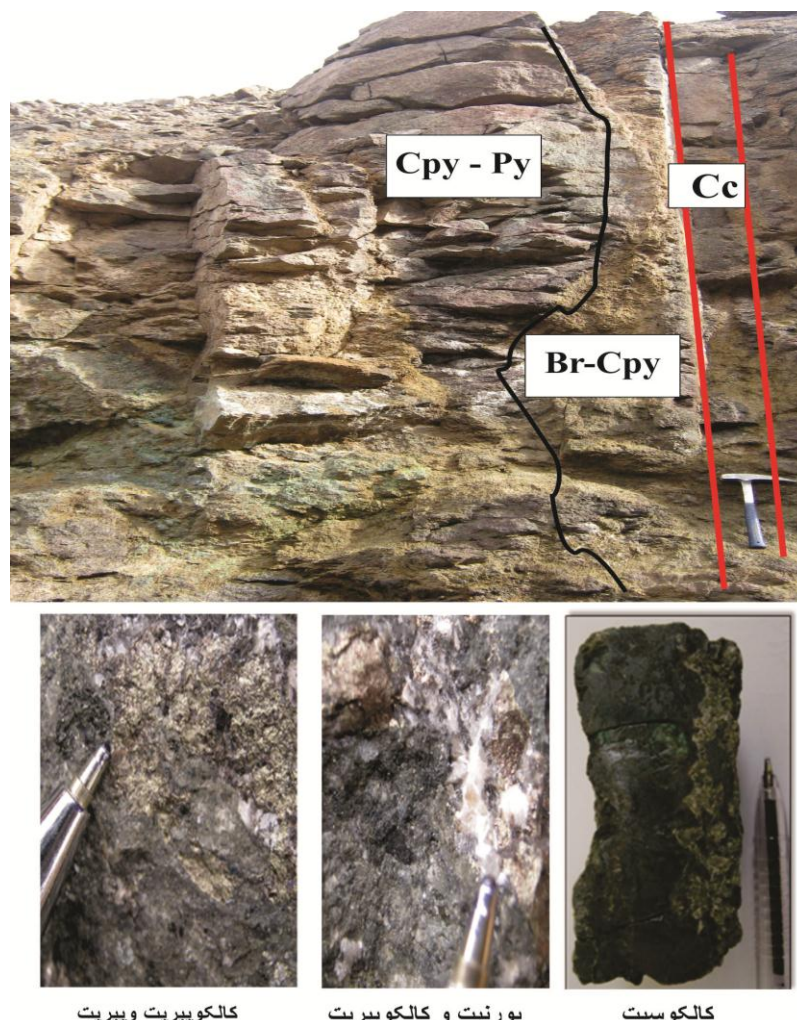
۴-۲-۷- دگرسانی و کانه‌زایی

مشاهدات صحرائی نشان می‌دهد که جایگیری ماده معدنی در چغندرسر شمالی در پهنه‌های برشی بزرگ مقیاس رخداده است. در این پهنه‌ی در مقیاس کوچک و بزرگ آثار دگرسانی همراه با کانه‌زایی کانه‌های مس‌دار به وضوح دیده می‌شود، در چغندرسر مرکزی، دگرسانی همایتی چشمگیری در منطقه ایجاد شده است. کانه‌زایی در چغندرسر جنوبی نسبت به چغندرسر شمالی در مقیاس وسیع‌تر انجام شده و به‌تبع آن دگرسانی نیز شدیدتر و گسترده‌تر است. از انواع دگرسانی‌ها می‌توان به انواع همایتی، کلریتی و سرسیتی در این مناطق اشاره کرد. کلریتی‌شدن یکی از مهم‌ترین پدیده‌هایی است که در اثر محلول‌های گرمابی غنی از Fe و Mg ایجاد می‌شود و ظاهری سبز رنگ به این سنگ‌ها می‌دهد (Evans, ۱۹۹۷). در منطقه چغندرسر جنوبی علاوه بر بازالت‌ها در آگلومراها نیز کانه‌زایی مشاهده شده است. در سایر مناطق نظیر گریک، گورخان، نرتلویی، استغانی، گچکنوم و الهاک (۲)

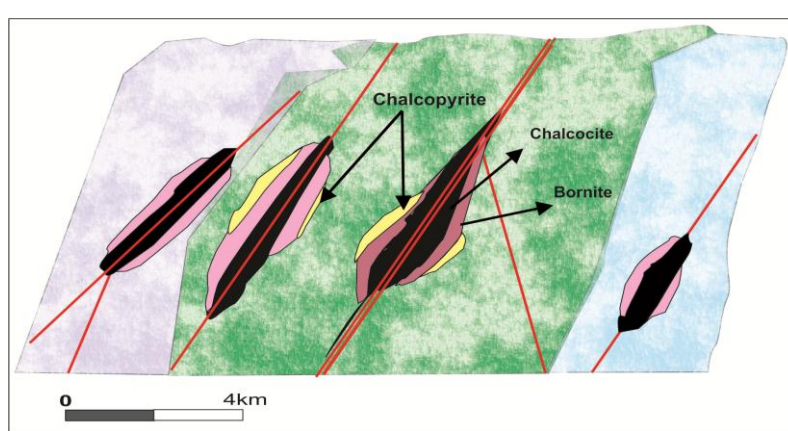
رخداد ماده معدنی، درون سنگ‌های آتشفشاری و آتشفشاری – رسوبی صورت گرفته است. طبق شواهد صحراوی کانه‌زایی به صورت رگه – رگچه‌ای و گاهی دانه پراکنده رخ داده است. ویلسون و زنتلی (۲۰۰۳) معتقدند در کانسارهای تیپ مانتو در منطقه شیلی کانه‌زایی از کالکوسیت به بورنیت و سپس کالکوپیریت از رگه به سنگ میزبان صورت گرفته است (شکل ۳-۷). کانه‌زایی در منطقه چوندرسر نیز مشابه همین منطقه می‌باشد (شکل ۴-۷ و شکل ۵-۷). تغییرات مقادیر عناصر فلزی و غیرفلزی کانی‌های مس‌دار و پیریت در زون کانه‌زایی بر حسب مقدار فراوانی در واحد فرمولی آن در (شکل ۶-۷) نشان داده شده است.



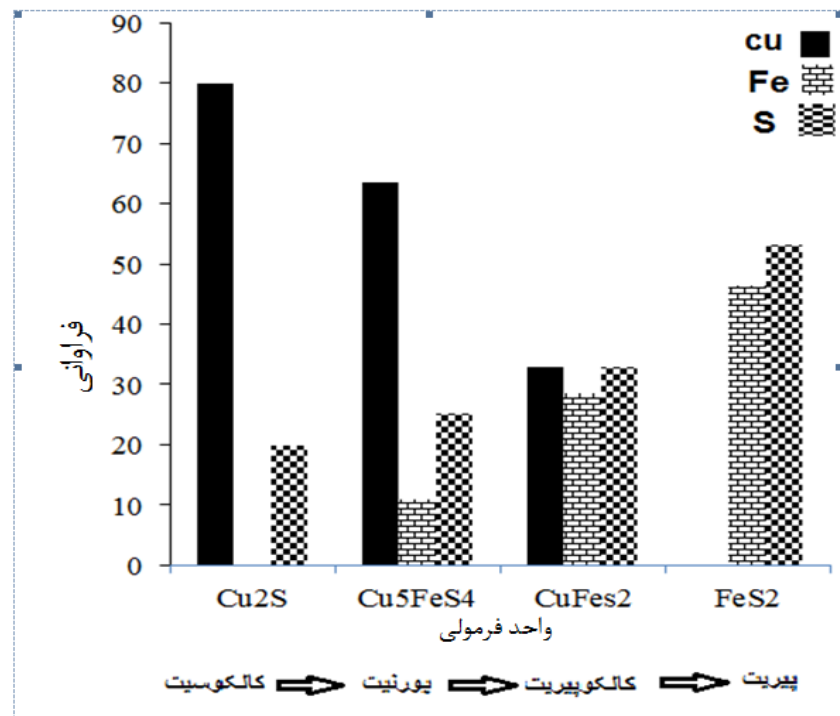
شکل ۳-۷ تصویری از نهشته‌های مس در داخل بازالت‌ها (Wilson and Zentli, 2003)



شکل ۴-۷) تصویری از رخنمون منطقه چغندرسر شمالی همراه با کانه‌زایی ایجاد شده



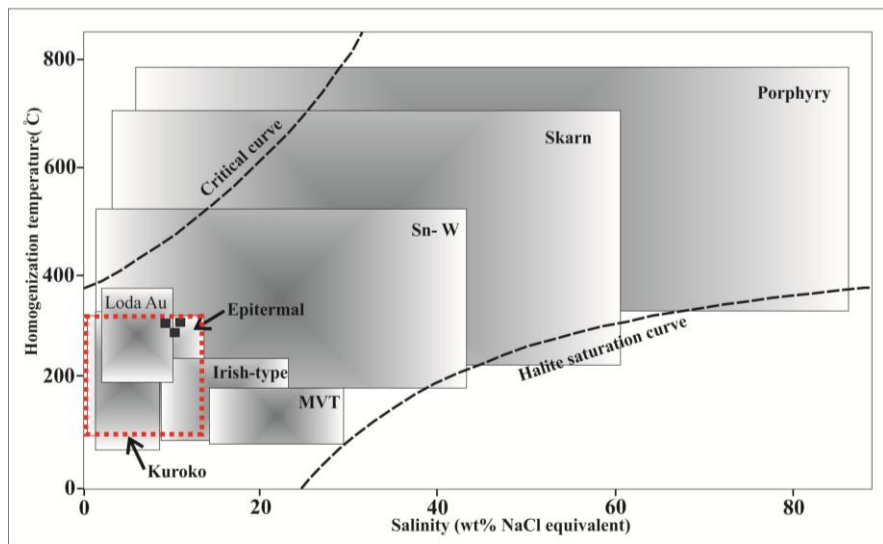
شکل ۵-۷) تصویر بازسازی شده از نهشته‌های مس در محدوده معدن چغندرسر شمالی



شکل ۶-۷) تغییرات مقدار عناصر فلزی و غیرفلزی کانی‌های مس‌دار و پیریت در زون کانه‌زایی بر حسب مقدار فراوانی در واحد فرمولی آن.

۷-۲-۵- سیالات در گیر

براساس این مطالعات، میانگین درجه همگن شدن سیالات در گیر در کانسار استغانی به طور میانگین ۲۶۴ درجه سانتی گراد می‌باشد. درجه شوری هر دو نمونه نسبتاً متوسط و بین ۸/۰۷ تا ۱۲/۲۹ درصد معادل وزنی نمک طعام (NaCl) می‌باشد. کانسارهای مس مورد مطالعه با درجه شوری متوسط با ادخال‌های سیال مطالعه شده سازگار است (شکل ۷-۷). این نمودار نشان‌دهنده قرارگیری این سیالات در محدوده کانسارهای اپیترمال می‌باشد. که در واقع شرایط دما-شوری احراز شده با شرایط مرز گذار از دیاژنز به دگرگونی سازگار است. و اپیترمال مرتبط با توده‌های آذرین درونی در اینجا صادق نیست.



شکل ۷-۷) موقعیت داده‌های سرمایش و گرمایش کانی کلسیت که نشان‌دهنده قرارگیری این سیالات در محدوده کانسارهای کم دما و مشابه ایپیترمال می‌باشد (ویلکینسون، ۲۰۰۱).

۶-۲-۷ ژئوشیمی

براساس مطالعات ژئوشیمیایی عناصر اصلی سنگ‌های میزبان، کانسارهای مورد مطالعه عمدهاً

دارای ماهیت آلکالن سدیک هستند. مجموعه ماقمایی منطقه مورد مطالعه دارای یک روند

تفريق با طيف تركيبی اوليوبن بازالت، تراکی بازالت، تراکی آندزیت بازالت و تراکی آندزیت

می‌باشند. از اين ميان، اوليوبن بازالت و تراکی آندزیت بازالت بيشترین حجم را به خود

اختصاص داده‌اند.

- پراکندگی‌های جزئی که در بعضی نمودارها دیده می‌شود به علت آلایش و همچنین تمرکز

غیر عادی و موضعی کانی‌های خاص به علت تفرقی درون سنگ‌ها می‌باشد.

- روندهای موجود بر روی نمودارهای تغییرات عناصر اصلی و کمیاب، نمایانگر منشأ واحد

تشکیل‌دهنده سنگ‌های مناطق مورد مطالعه و منشاء واحد از یک سیال می‌باشد.

- روند موازی نمونه‌ها در نمودارهای عنکبوتی، تحول سنگ‌های منطقه‌ی مورد مطالعه در نتیجه

فرایند تبلور تفرقی و منشأ واحد آن‌ها را تأیید می‌کند.

- میانگین عیار مس در این کانسار ۴/۰٪ و حداقل مقدار مس ۹۲/۰٪ می‌باشد. در ضمن، میانگین

عيار نقره ۸/۸ ppm و حداقل مقدار آن ۴/۶ ppm است.

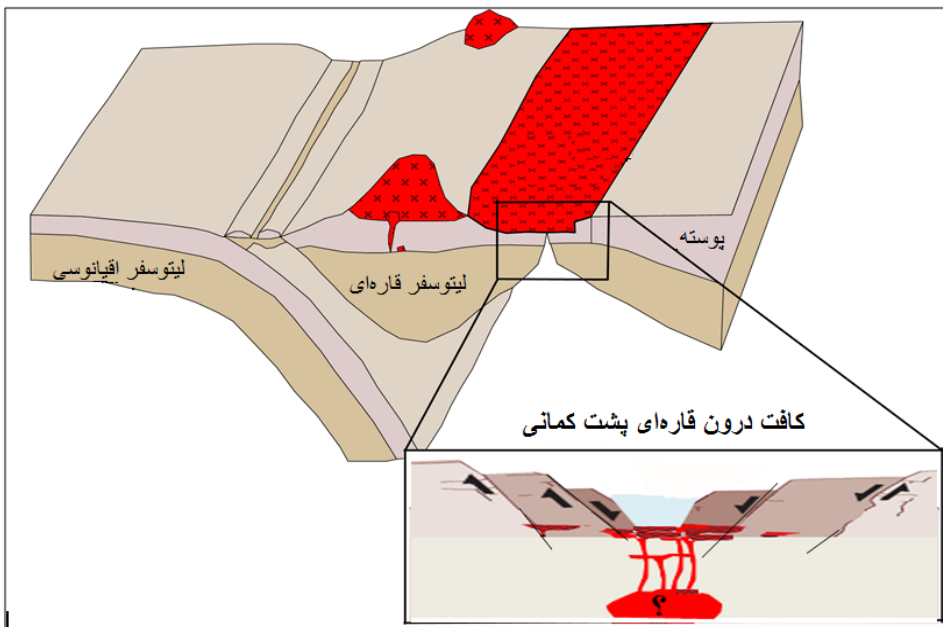
- براساس گزارش اداره صنایع و معادن شاهروود (سمنان) مقدار ذخیره کانسار ۲میلیون تن با عیار ۲/۱ درصد به طور میانگین گزارش شده است که با نتایج بدست آمده سازگاری دارد.
- ذخایر مس خالص خیلی کم و به ندرت تشکیل می‌شود زیرا محلول‌های فقیر از گوگرد غیر معمول هستند (وانگ و همکاران، ۲۰۰۶). این ذخایر فقط در برخی نقاط دنیا مانند ایران، بولیوی، چین، شیلی و دریاچه سوپریور در ایالت متحده آمریکا مشاهده شده است (گیلبرت و پارک، ۱۹۹۷).

۳-۷- الگوی تشکیل و نحوه کانه‌زایی صورت گرفته

بر اساس مطالعات و مشاهدات صحرایی، شواهد زمین‌ساخت، مشاهدات کانی‌شناسی، ساخت و بافت ماده معدنی، سیالات درگیر و شواهد ژئوشیمیایی، مراحل زیر را می‌توان برای تحولات زمین‌شناسی کانه‌زایی مس در منطقه در نظر گرفت:

۳-۷-۱- فرورانش و تشکیل حوضه آتشفشانی - رسوبی پشت کمانی

پیامد فرورانش ورقه اقیانوسی نتوتیس به زیر ایران مرکزی، در بخش‌های شمالی پهنه ایران مرکزی، در ائوسن سبب رژیم کششی شده است که در نتیجه آن حوضه‌های فروافتاده کم‌عمق تا نسبتاً عمیق در مقیاسی گستردگی تشکیل شده‌اند(شکل ۸-۷ و شکل ۹-۷). در این حوضه‌ها فوران‌های آتشفشانی با ماهیت تراکی بازالتی و بازالتی صورت گرفته و این فوران‌ها طی دوره حیات این حوضه‌ها به دفعات تکرار شده است. رخساره‌های آتشفشانی، هیدرولاستی و برشی نیز همراه فوران‌های آتشفشانی به وفور دیده می‌شوند. علاوه بر این نهشته‌های آتشفشانی-رسوبی، حاصل حمل مجدد یا تهنشست بر جای محصولات آتشفشانی و گاه حاصل مخلوط شدن با رسوبات نشأت گرفته از سرزمین‌های مجاور نیز به همراه گدازه‌های آتشفشانی نهشته شده‌اند. در این میان سنگ‌های بازالتی میزبان خوبی برای عنصر مس می‌باشند.



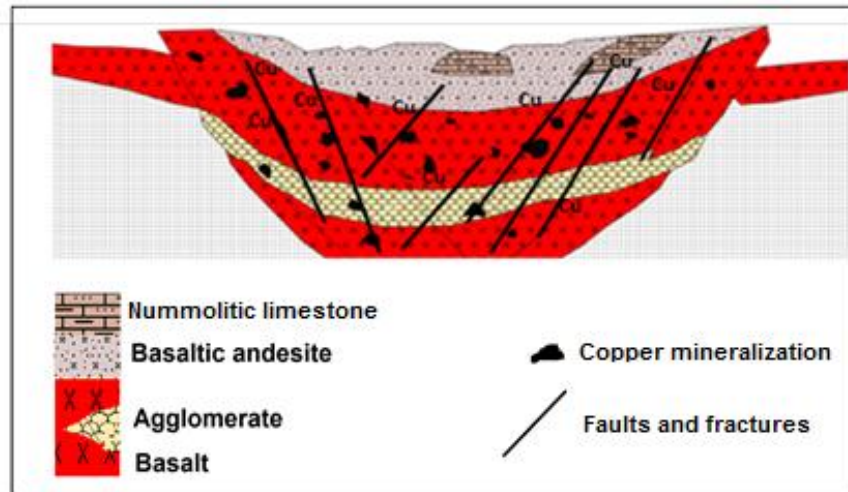
شکل ۷-۸) فعالیت‌های ریفتزایی و گسترش سیستم‌های گربنی در منطقه پشت کمانی



شکل ۷-۹) مرحله تشکیل حوضه آتسفسانی - رسوی و گسترش بیشتر حوضه

۷-۳-۲- دیاژنز و دگرگونی دفنی

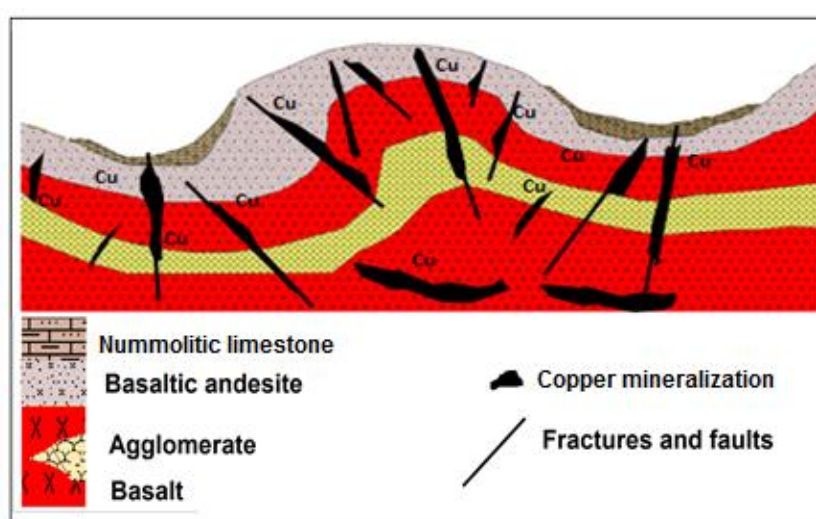
در مرحله دیاژنز و دگرگونی تدفینی، بازالت‌های غنی از مس شسته شده و عناصر فلزی آن‌ها با سیالات به افق‌های بالاتر مهاجرت کرده و در فضاهای خالی (اعم از فضای بین بلوك‌ها و قطعات گسلی، درزه‌ها، شکاف‌ها، محور چین‌ها، سطوح محوری چین‌ها، حفرات، خلل و فرج و.... تمرکز پیدا کرده‌اند (شکل ۱۰-۷). مرحله دیاژنز در منطقه روگرو نسبت به سایر مناطق بیشتر قابل مشاهده است.



شکل ۱۰-۷) فرایند دیاژنز و دگرگونی تدفینی بر اثر فشار ناشی از حجم عظیمی از رسوبات و سنگ‌های آتشفشنانی بالایی

۷-۳-۳-۷- بالآمدگی و چین خوردگی

در مرحله بالآمدگی و چین خوردگی منطقه و ایجاد گسل‌ها و شکستگی‌ها، شرایط لازم برای رسیدن سیال به قسمت‌های بالاتر توالی فراهم می‌شود. در این مرحله سیال مس‌دار ناشی از دیاژنر با راه یافتن و چرخش خود درون پهنه برشی، کانه‌زایی سولفیدی همراه با دگرسانی عمدی هماتیتی در منطقه ایجاد کرده است. جریان یافتن سیال کانه‌دار به داخل درز و شکستگی‌ها و فضاهای خالی کانه‌زایی سولفیدی به صورت رگه و رگچه‌ای را ایجاد کرده است (شکل ۱۱-۷).



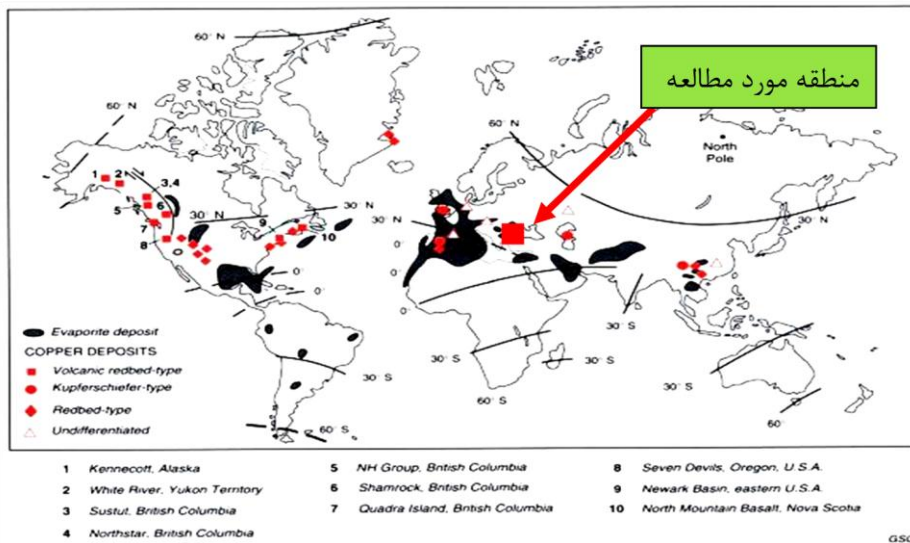
شکل ۱۱-۷) بالآمدگی و چین خوردگی‌ها باعث ایجاد گسل‌ها و شکستگی‌ها شده و شرایط لازم برای رسیدن سیال به سطح را فراهم آورده است.

۴-۳-۷ مرحله هوازدگی

در این مرحله، واکنش‌های هوازدگی شیمیایی سبب تبدیل کانی‌های سولفیدی اولیه و مس طبیعی به کانی‌های سولفید ثانویه، و مجموعه کانی‌های اکسیدی می‌شوند. برخی از کانه‌های حاوی مس موجود، حاصل از دگرسانی مس طبیعی یا کانی‌های مس‌دار هستند که از آن جمله می‌توان به مالاکیت، کوولین، کوپریت و آزوریت اشاره کرد.

۴-۷ مدل پیشنهادی تیپ کانه‌زایی کانسارهای شرق و جنوب‌شرق شاهزاده

از بهترین کانسارهای شاخص مس با میزبان آتشفسانی (رسوبی) دنیا می‌توان کانسارهای ایالت‌های یونان و گوئیزو (Bingquan, 2002)؛ مونت الکساندر کبک، آپالاشین کانادا (Cabral, 1996)؛ شبه‌جزیره کویناوه در شمال میشیگان (Brown, 2006)؛ امریکای شمالی (Kirkham, 1969)؛ بخش‌های جنوبی رشته کوه‌های آند (Willson et al, 2003)؛ جزیره کویناوه، ایالت متحده امریکا (Cornwall, 1956)؛ کانادا کانسار مونت الکساندر (Lefebure & Church, 1996)؛ شیلی (Cabral & Sillitoe, 1997)؛ شمال شیلی (Kojima et al, 2008)؛ مونت الکساندر کانسار بوئناسپرانزا (Beaudoin, 2007) نام برد. در جدول ۱-۷ تا جدول ۲-۷ نشان داده شده است. در شکل ۱۲-۷ توزیع جهانی کانسارهای مس نشان داده شده است.



شکل ۷ (۱۲-۷) موقعیت و پراکندگی برخی از کانسارهای مس با تیپ‌های مختلف (Kirkham, 1996)، در این شکل کانسارهای آتشفسانی لایه سرخ با مستطیل (■) نمایش داده شده‌اند.

با توجه به شواهد صحراوی و مطالعات آزمایشگاهی و کتابنگاری‌های صورت گرفته و مقایسه با انواع تیپ‌های کانسارهای مس، شاهد آن هستیم که کانسارهای مورد مطالعه با سه تیپ زیر دارای شباهت‌های قابل تأمیل هستند (جدول ۱-۷).

(۱) کانسارهای مس نوع میشیگان امریکا (Michigan Type)

(۲) کانسارهای مس آتشفسانی - لایه سرخ (Volcanic Redbed Copper)

(۳) کانسارهای مس نوع مانتو (Manto Type)

۷-۱-۴-۷ - کانسارهای مس تیپ میشیگان

Guilbert & Park (1986) از دو نوع کانسارهای مس آندزیتی- بازالتی و کانسارهای مس آندزیتی نام برده‌اند. کانسارهای نوع کویناوی که به کانسارهای مس نوع میشیگان نیز معروف‌اند و در شبه جزیره کویناوی (میشیگان شمالی) یافت می‌شوند، درگروه کانسارهای مس آندزیتی- بازالتی مس قرار می‌گیرند. در این کانسارها مس طبیعی کانه اصلی است. کانسارهای مورد بحث تقریباً فاقد گوگرد هستند، از این رو مس آزاد، کانه غالب است و همراه آن فقط مقدار اندکی کالکوسيت و دیژنیت وجود دارد. مس آزاد معمولاً با نقره آزاد همراه است. دیوبیدسون (۱۹۵۹) و وايت (۱۹۶۸)

کانی‌سازی درون سنگ‌های بازالتی با ماهیت تولئیتی بادامکی و نیز در زمینه لایه‌های کنگلومرای بین لایه‌ای را گزارش کرده‌اند. کانسارهای آندزیتی، رگه-رگچه‌ها و حباب گونه‌های حاصل از آکندگی حفره‌ها و افساندگی‌هایی از مس و نقره آزاد، کالکوسیت، بورنیت و اندکی کالکوپیریت در سنگ‌های آتشفسانی کلسیمی-قلیایی مزوژوئیک میانه تا پلیوسن در کردیلرای آمریکا هستند. انباشته‌های اقتصادی این نوع کانسنگ تاکنون در شیلی و بولیوی تا دهه‌ها متر ضخامت دارد. این کانسارهای مانتوبی مس عموماً چند کیلومتر در امتداد راستای خود گسترش دارند. پرطوفدارترین فرض در مورد زایش کانه‌سازی نوع میشیگان، نظریه دیرزاد (اپیزنتیک) بودن این گونه ذخایر است. طبق این نظریه در اثر دگرگونی درجه پایین (در حد رخساره پرهنیت-پومپله‌ایت)، عنصر مس موجود در درون شبکه سیلیکات‌ها، آزاد و سپس توسط محلول‌های گرمابی به بخش‌های بالایی حمل شده است. در همین زمان در محیط بدون گوگرد، مس به صورت طبیعی نهشته شده است. ، بائله و همکاران (۱۹۶۸) با مطالعات صحراوی و آزمایشگاهی خود به این نتیجه رسیدند که دگرگونی گدازه‌ها در ژرف‌ها، مسبب دگرسانی بازالت به اپیدوت-پرهنیت-کلریت و رهایی مس و سازهای شیمیایی دیگر گشته است. می‌توان این چنین نتیجه گرفت که سیال‌های کم دما مس را در امتداد مناطق نفوذ‌پذیر به سمت بالا حمل و وارد فضاهای باز در افق‌های نزدیک سطح کرده‌اند.

براساس مطالعات صورت گرفته بر روی محدوده مطالعاتی و مشاهده و حضور مس طبیعی در پاراژن با کانی‌های سولفیدی و نیز ویژگی‌های کانی‌شناسی، بافتی و سنگ‌میزبان، کانی‌سازی در کانسارهای مس شرق و جنوب‌شرق شاهروド در سنگ‌های آتشفسانی اذهان را به سمت ذخایر نوع تیپ میشیگان شبه جزیره کویناوای آمریکا معطوف می‌دارد، اما با مطالعه بیشتر تفاوت‌های بین این دو آشکار می‌شود. در منطقه مورد مطالعه مقدار کانه مس طبیعی تشکیل شده کم است این در حالی است که در کانسار میشیگان، کانه اصلی، مس طبیعی می‌باشد و اندازه تکه‌های مس آزاد گاه به بیش از ۱۰ سانتیمتر نیز می‌رسد. بنابراین در پاراژن کانی‌ای کانسار میشیگان، مس طبیعی بیشترین سهم را دارد، در حالی که در کانسارهای مورد مطالعه، کانی‌های سولفیدی مس و بیشتر کالکوسیت حضور دارند.

تفاوت آشکار دیگری که بین این دو کانسار وجود دارد، این است که در کانسار میشیگان سنگ میزبان تا حد رخساره پرهنیت- پومپلهایت دچار دگرگونی شده است. در حالی که در منطقه مورد مطالعه، آثار شاخصی از دگرگونی دیده نشد، جز در موارد اندکی شاهد حضور رخساره زئولیتی هستیم.

۲-۴-۷ - کانسارهای مس نوع آتشفشاری - لایه سرخ (Volcanic red-bed copper)

این‌گونه کانی‌سازی مس به‌طور معمول از زمان پروتروزوئیک تا ترشیری رخ داده است. سنگ میزبان کانی‌سازی شامل گدازه‌های مافیک تا فلسیک به‌ویژه گدازه‌های بازالتی بادامکی^۱، توف، برش و سنگ‌های رسوبی وابسته از جمله کنگلومرا، ماسه‌سنگ و غیره است. سنگ‌های آتشفشاری از نظر ترکیب، طیفی از بازالت تا ریولیت را پوشش می‌دهند. برخی نهشت‌های ساختار تخت دارند، برخی به‌صورت پهنه‌های چینه‌کران^۲ هستند و بقیه توسط ساختارها و چینه‌شناسی متقطع کنترل می‌شوند. محصول فرعی همراه مس در این نوع ذخایر، نقره است. کانی‌های اصلی مس شامل کالکوسيت، بورنيت و مس طبیعی است. کانی‌سازی به‌صورت پراکنده، رگه‌ای، پرکننده بادامک‌ها و شکستگی‌ها رخ داده است. چنین نهشت‌هایی به‌طور معمول در جایگاه‌های زمین‌ساختی کافت‌های درون قاره‌ای همراه با توالی‌های بازالت سیلابی سطحی در تماس با هوای آزاد و نزدیک حاشیه صفحات به همراه جزایر و آتشفشارهای کمان قاره‌ای یافت می‌شوند. جایگاه‌های آتشفشاری قاره‌ای تا دریایی کم‌زراfa در عرض‌های پایین تا متوسط و محیط‌های خشک تا نیمه‌خشک مخصوص این‌گونه ذخایر است. کانی‌های باطله شامل هماتیت، مگنتیت، کلسیت، کوارتز، اپیدوت، کلریت و زئولیت هستند.

کاپرال و بیودوین^۳ (۲۰۰۶) در مدل کنونی مس آتشفشاری - لایه سرخ بیان می‌دارند، فعالیت آتشفشاری باید سطحی باشد، یا دست کم بخش بیشتری از انباسته‌های آتشفشاری برای مدتی در تماس با هوای آزاد باشد تا بتواند اکسایش گدازه‌های آتشفشاری را توجیه کند. بررسی‌های کاپرال و

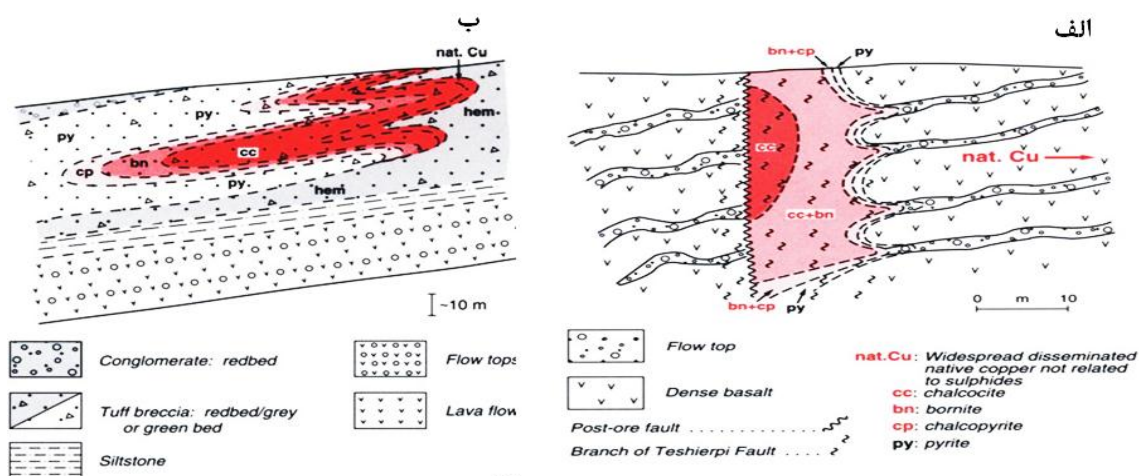
1 Amygdaloidal

2 Stratabound

3 Cabral & Beaudoin

بیودوین (۲۰۰۶) بر روی پهنه مونت الکساندر کبک کانادا^۱، رشته کوه آپالاشین نشان داد که نه تنها جایگاه‌های بازالتی سطحی برای این گونه نهشت‌های مناسب‌اند، بلکه بازالت‌های زیردریایی اکسیده شده توسط آب‌های دریایی گرم نیز جایگاه مناسبی برای آن‌ها هستند. آب‌ها می‌توانند نقش یکسانی مانند آب‌زیرزمینی در محیط‌های قاره‌ای، برای شستشو و حمل و نقل مس از بازالت‌ها در طول اسپیلیتی شدن ایفا کند.

- کیرکام^۲ (۱۹۹۶) معتقد است، نهشت‌های مس آتشفشاری - لایه سرخ به صورت هم‌شیب و غیره‌هم‌شیب، می‌باشد، مس طبیعی عمدتاً در توالی‌های آتشفشاری به وسیله گسل‌ها و شکستگی‌ها کنترل می‌شود. این نهشت‌های دارای تنوع زیادی از ریخت‌شناسی شامل رگچه‌های ساده، انتشاری هم‌شیب و غیر هم‌شیب، رگه-رگچه‌های پیچیده، نهشت‌های برشی گسلی و نهشت‌های تقریباً هم‌شیب می‌باشد. در بسیاری از نهشت‌های هم‌شیب و غیر هم‌شیب، کانی‌های مس به صورت منظم، پرکننده فضاهای خالی در سنگ‌های میزبان قرار می‌گیرند (شکل ۱۳-۷).



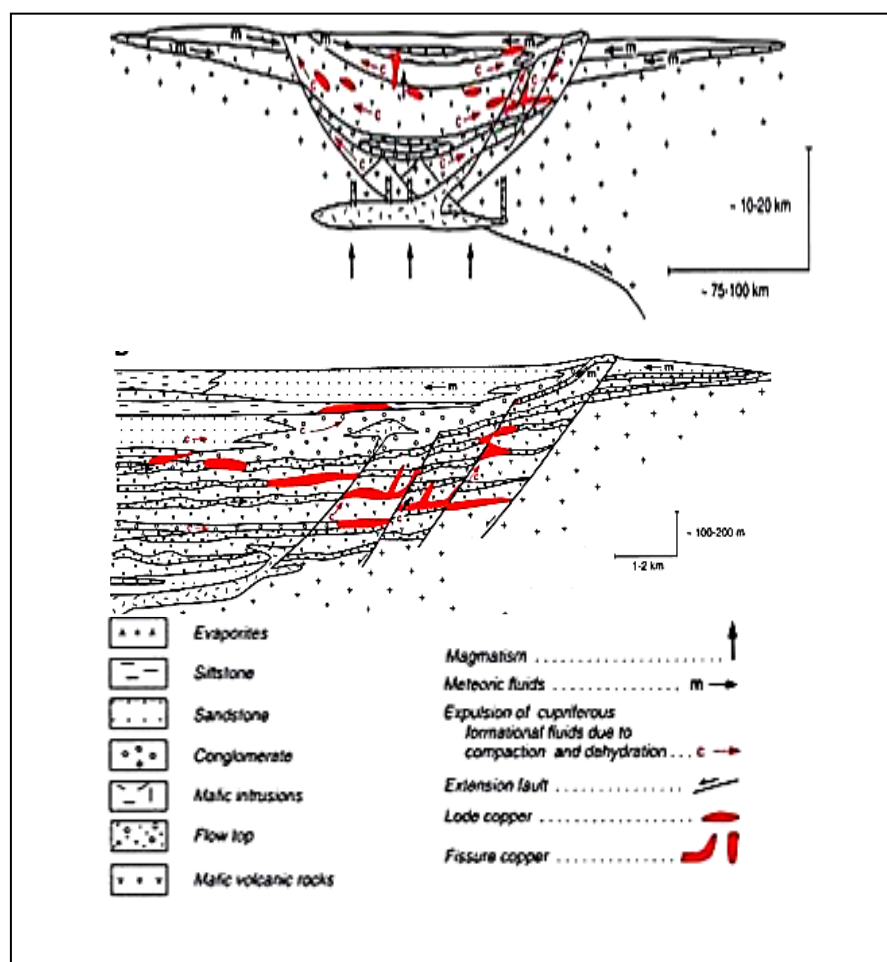
شکل ۱۳-۷ (الف) طرح شماتیک از کانه‌زایی در رسوبات هم‌شیب ب) طرح شماتیک از کانه‌زایی در رسوبات ناهم‌شیب (Kirkham, 1996).

- این نهشت‌های به وسیله مجموعه‌های کانی‌ای مس طبیعی یا سولفیدهای مس تقریباً ساده همراه با مقادیر متغیری از نقره مشخص می‌شوند. بسیاری از نهشت‌های مس آتشفشاری - لایه سرخ به وسیله

1 Mont Alexandria Quebec Appalachians, Canada
2 Kirkham

کانی‌های دگرگونی دمای کم از قبیل کوارتز، اپیدوت، آلبیت، کلریت، کلسیت، پرهنین، پامپلایت و لامونیت که به صورت پرکننده حفرات و شکاف‌ها و همچنین به صورت جانشینی می‌باشد (شکل ۱۴-۷).

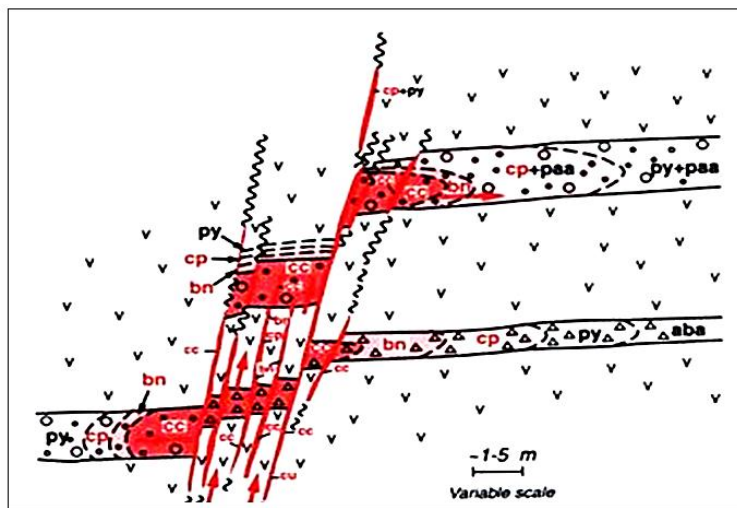
.(۱۴-۷)



شکل ۱۴-۷) طرح شماتیکی از توالی آتشفسانی و نمایش مهاجرت سیالات مس‌دار، به صورت انشعابی به سمت بالا و نهشته شدن فلات در طول گسل‌ها و رگه‌ها (Kirkham, 1996).

مس طبیعی، کالکوسیت، دیژنیت، بورنیت و هماتیت و همچنین پیریت و مقادیر کم نقره خالص از جمله کانی‌های تیپیک نهشته‌های مس در کانسارهای آتشفسانی - لایه سرخ می‌باشد. گالن، اسفالریت و دیگر سولفیدها و سولفوسالت‌ها از جمله کانی‌های فرعی می‌باشد. مس در این نهشته‌ها در بسیاری موارد در پهنه‌های گسلی سنگ‌های برشی بادامی‌شکل و توف‌های فلزیک تمرکز یافته است.

(شکل ۱۵-۷).



شکل ۱۵-۷) طرح شماتیکی از نمایش پهنه‌بندی کانی‌های شاخص نهشت‌های مس آتشفشاری لایه‌های سرخ که

در واحدهای چینه‌شناسی و در طول گسل و پهنه‌های شکستگی تشکیل می‌شود (Kirkham, 1996).

خصوصیات بارز این ذخایر از دیدگاه کیرکام، (۱۹۹۶)

۱- مجموعه‌های کانیایی مس خالص و یا سولفیدهای مس در توالی‌های آتشفشاری همراه با مقادیر

کمی نقره می‌باشند و عمدهاً چندفلزی نمی‌باشند و هم‌چنین شامل مقادیر زیادی از سولفیدهای آهن

نمی‌باشند.

۲- دگرسانی سنگ دیواره در این کانسارها یا وجود ندارد یا بسیار ناچیز می‌باشد. اما بسیاری از

نهشت‌ها همراه با کانی‌های دگرگونی حرارت فشار پایین از قبیل کوارتز، اپیدوت، آلبیت، کلریت،

کلسیت، پرهنیت، پامپلایت و لامونیت می‌باشد.

۳- بخش مهمی از توالی سنگ‌ها در این نهشت‌ها در محیط‌های خشکی و در یک حالت اکسیدی

تهنشین می‌شوند.

۴- همانند کانسارهای مس رسوی استراتیک فرم دیازنیک با میزان رسوی، شواهد دیرینه مغناطیس و

رسوب‌شناسی تعیین می‌کند که سنگ‌های میزان این نهشت‌ها در نواحی عرض جغرافیایی پایین و

خشک و نیمه‌خشک تهنشین می‌شوند.

۵- بسیاری از نهشته‌های مس رسوی دیاژنتیک و آتشفشنانی لایه سرخ در توالی‌های یکسانی رخ می‌دهند.

در مدل ژنتیکی ارائه شده توسط کیرکام^۱ (۱۹۹۶) بسیاری از این نهشته‌ها همراه با کانی‌های دگرگونی حرارت پایین می‌باشند. برای شکل‌گیری یک نهشته مس آتشفشنانی - لایه سرخ بایستی در بخش مهمی از انباشته در محیط‌های خشکی تهنشین شود و بسیاری از سنگ‌های رسوی بایستی در یک حالت اکسیدی قرار گیرند و گدازه‌ها فرصتی برای گوگردزدایی داشته باشند. در این نوع نهشته‌ها گوگرد بایستی در سیال کانه‌دار به صورت سولفات حمل شود و در محل‌هایی از تهنشینی کانه به سولفید احیا شود. مقدار گوگرد ۳۴ منفی نشان‌دهنده احیای باکتریایی سولفات به منظور تولید سولفید در برخی از نهشته‌ها می‌باشد. مقادیر فلزات و کانی‌های مشابه، الگوهای منطقه بندی کانیایی، ارتباط با لایه‌های قرمز، کنترل کننده‌های تخلخل و نفوذپذیری و تهنشینی در مرزهای اکسیداسیون - احیا این نتایج را به دست می‌دهد. از طرف دیگر محل این تیپ از نهشته‌ها در نزدیک انتقال رخساره‌های دگرگونی از اپیدوت - پامپلی‌ایت به پهنه اپیدوت در حالت کلی تعیین می‌کند که این نهشته‌ها ممکن است در درجه حرارت و فشارهای بالاتری نسبت به نهشته‌های مس رسوی دیاژنتیک شکل بگیرند (کیرکام، ۱۹۹۶).

نتایج حاصل از مقایسه کانسارهای شرق و جنوب‌شرق شاهروд با کانسارهای مشابه بیان شده، این است که این کانه‌سازی مس بیشترین شباهت در دنیا را با کانسارهای مس در آتشفشنانی لایه سرخ دارد. به نظر می‌رسد که تمامی این کانسارها به یک نوع تعلق دارند و در مکان‌های مختلف اسامی گوناگونی به آن‌ها داده شده است. بنابراین کانسار مورد مطالعه نیز در این گروه نام‌گذاری می‌شود.

۷-۴-۳- کانسارهای مس نوع مانتو

کانسارهای مس نوع مانتو از گونه کانسارهای چینه‌کران با میزان گدازه‌های آتشفشنانی غنی از

^۱ Kirkham

سیال‌های فرار هستند. شناخته شده‌ترین کانسار نوع مانتو کانسار بوئنا‌اسپرانزا در شمال شیلی است، که خود به سه زیر‌گونه بوئنا‌اسپرانزا (Buena Esperanza)، کارولینا (Carolina de Michilla sub-)، کارولینا (Sergio Espinoza et al., 1994) و مانتوبلانکو (Manto sub-type) تقسیم شده است (type). این کانساراتها نتیجه فرایند جایگزینی گرمابی در آندزیت‌ها و گاهی ریولیت‌ها هستند. چینه‌کران کانساراتها نوع مانتو به گروهی از کانسارات گفته می‌شود که معمولاً منطبق با لایه‌بندی و یا درون طبقات یا گدازه‌ها هستند. کانی‌های اصلی مس، کالکوسیت و بورنیت هستند. سنگ میزبان در این ذخایر، گدازه‌های بازالتی و آندزیتی است. کانی‌سازی در این گروه، عموماً با دایک‌ها، نفوذی تنوره‌ای و سیل‌های دارای ترکیب گابرو‌دیوریت همراه هستند و برخلاف دیگر انواع کانسارات، نبود یا کم بودن پدیده‌های گرمابی سنگ میزبان بسته به شرایط رخنمون، درجات متفاوتی از اکسایش وجود آشکار آنهاست.

نتایج حاصل از مقایسه کانساراتهای شرق و جنوب‌شرق شاهروд با کانساراتهای تیپ مانتو، نشان می‌دهد که سنگ میزبان مشابه‌ای دارند، با این تفاوت که در کانی‌سازی تیپ مانتو گاهی توده‌های نفوذی دخالت دارند ولی با توجه به شواهد صحرایی وجود هیچ گونه توده نفوذی در شرق و جنوب شرق شاهرود اثبات نشد.

جدول ۱-۷ مقایسه کانسار مس شرق و جنوب شرق شاهروド با تیپ میشیگان، آتشفسانی لایه - سرخ و تیپ مانتو

Manto Type	Volcanic Redbed Cu	Michigan Type	کانسارهای شرق و جنوب شرق شاهروود	کانسار
شیلی(کانسار بوئنوس ایرانزا)	امریکای شمالی	جزیره کوینا، ایالت متحده (کانسار میشیگان)	ایران	موقعیت
گدازه‌های بازالتی و آندزیتی	سنگ‌های آتشفسانی رسوبی میزبان بازالتی	بازالت آمیگدالوییدال با میان لایه‌های کنگلومراژی	بازالت تا آندزیت بازالت	سنگ میزبان
....	گدازه‌های مافیک و فلزیک	سری تولئیتی(نیمه قلیابی)	سری قلیابی	سری ماگمایی
آتشفسانی نیمه قاره‌ای	آتشفسانی قاره‌ای تا دریایی کم‌زرفا	دریای کم‌زرفا تا قاره‌ای	جایگاه‌زمین شاختی
...	محیط پشت کمان	جایگاه‌زمین ساختی
کالکوسیت، بورنیت، کالکوپیریت، مس طبیعی، مالاکیت و کریزوکولا	پیریت ، کالکوپیریت، بورتیت، کالکوسیت	مس طبیعی، کوپریت، مالاکیت، آزوریت، کریزوکولا، نقره طبیعی، کالکوسیت و دیژنیت	بورنیت، کالکوسیت، دیژنیت، کوولیت، مس طبیعی، کوپریت	پاراژنز کانیایی
رگه‌ای و پرکننده فضای خالی	رگه و رگچه‌ای دانه‌پراکنده، همشیب و غیر همشیب	افشان و پرکننده فضای خالی	رگه- رگچه‌ای، پرکننده فضای خالی، پراکنده	بافت ماده معدنی
کلریت، آلبیت، کوارتز، اپیدوت	آلبیت ، کوارتز، کلریت، برنهیت	...	کلریت، کربنات، کلسیت، هماتیت، زئولیت	محصولات دگرسانی
ژوراسیک	پالتوزوئیک	اواخر اوسن	سن کانه زایی
Sillitoe(1997)	Kirkham (1969)	Cornwall (1956)	این تحقیق	مراجع

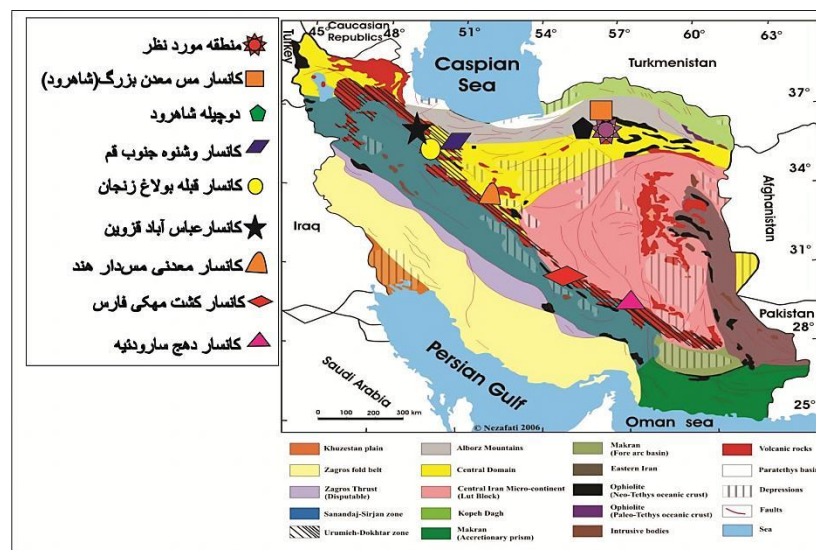
جدول ۲-۷) مقایسه کانسار مناطق شرق و جنوب شرق شاهروд با کانسارهای مس با میزان آتشفشنای در دنیا

موقعیت جغرافیایی	ایالت‌های یونان و Guizhou(گوئیژو)	مونت الکساندر کبک، آپالاشین کانادا	شبه جزیره کویناوا در شمال میشیگان	شمال شیلی	کانادا(کانسارمونت الکساندر)	بخش‌های جنوبی آند مرکزی(chily)
سن	پرمین پسین	سیلورین	پالوزوییک	کرتاسه و ژوراسیک	پروتروزوییک تا تریشیری	کرتاسه پایین
سنگ میزان	سنگ‌های بیتومین سلیسی، برش‌های ولکانیکی و گدازه‌های حفره‌دار	بازالت	واحدهای شیل، سیلتستون قاعده‌ای، برش، بازالتها	آتشفشنای رسوی و عمدهاً آندزیتی	گدازه‌های آتشفشنای مافیک تا فلسیک، توف و سنگ‌های رسوی وابسته	آتشفشنای
دگرسانی	کلریتی، کربناتی، سلیسی، زنولیتی و بیتومینی شدن	همانیتی، کلریتی، کربناتی، کلریتی	اپیدوت به پومپلیت و کلریتی	کلریتی، اپیدوت	کلسیتی، زنولیت، اپیدوت، کلریت، آلیت	کلسیتی، آلیتی، سلیسی، اپیدوت
کانه	مس طبیعی، اکسیدهای مس با مقادیر کمی کالکوسیت	کالکوسیت، مس طبیعی، پیریت دانه‌ریز و بورنیت، یارویت(Cu ₉ S ₈)	هماتیت	بورنیت، دیژنیت	کالکوسیت، بورنیت، مس طبیعی، دیژنیت و کوولیت	پیریت، کالکوپیریت، بورنیت، کالکوسیت
شکل ماده معدنی	مس‌های طبیعی رگه‌ای، دانه‌ای و ورقه‌ای شکل، تنوریت‌های آغشته- شده و کالکوسیت‌های عدسی شکل	رگه و رگچه‌ای	رگه‌های مس خالص و استراتیباند و استراتی فرم	چینه کران، رگه و رگچه‌ای	پراکنده، پرکننده فضای خالی، رگه- رگچه	چینه کران

۴-۴-۷ مقایسه کانسارهای تیپ مس آتشفسانی شرق و جنوب شرق شاهروд با

همدیگر و با کانسارهای مشابه در سایر نقاط ایران

مقایسه کانسارها مورد مطالعه در این پژوهش نشان دهنده شباهت در نوع کانه‌ها، ساخت و بافت سنگ میزبان و دگرسانی‌های رخ داده در کانسارهای شرق و جنوب شاهروд است (جدول ۳-۷) برای تأیید نتیجه گیری‌ها کانسارهای شرق و جنوب شاهرود با کانسارهای مس آتشفسانی لایه‌های سرخ در ایران مقایسه شده است (جدول ۴-۷). در شکل ۱۶-۷ پراکندگی کانسارهای مس در لایه‌های سرخ آتشفسانی در نقشه پهنه‌های ساختاری ایران مشخص شده است. بر اساس ناهیدی فر و همکاران (۱۳۹۲) کانسار مس دیان در جنوب دامغان نیز دارای ویژگی‌های مشابه این مناطق می‌باشد. با این تفاوت که در کانسار دیان کانی‌های بورنیت و کالکوپیریت مشاهده نشده و تیپ کانه‌زایی برای این کانسار، آتشفسانی رگه‌ای معرفی گردیده است.



شکل ۱۶-۷) پراکندگی کانسارهای مس در لایه‌های سرخ آتشفسانی در ایران (نقشه از آقانباتی، ۱۳۸۳).

جدول ۳-۷ مقایسه کانسارهای شرق و جنوب شرق شاهروд

مشخصات	چندسر شمالی	چندسر مرکزی	چندسر جنوبی	گریک	گورخان	نرتلویی	استغانی	الهاک (۱)	الهاک (۲)	گچ کنوم
سنگ میزبان	آندزیت بازالت	آندزیت بازالت	آندزیت بازالت	اوپیوین بازالت	بازالت	بازالت	بازالت	بازالت	بازالت و آهک	بازالت
ساخت و بافت	رگه و رگچه‌ای و دانه پراکنده	رگه و رگچه‌ای	رگه و رگچه‌ای	دانه پراکنده و رگه	دانه پراکنده و رگه‌ای	دانه پراکنده و رگه	رگه‌ای	رگه‌ای	دانه پراکنده و رگه‌ای	دانه پراکنده و رگه‌ای
پاراژنر	کالکوپیریت، بورنیت، کالکوسبیت، کولین	کالکوسبیت، کولین	بورنیت، کالکوسبیت، کولین	کالکوسبیت، کولین	بورنیت، کالکوسبیت، کولین	کالکوسبیت، کولین	مالاکیت	مالاکیت، کالکوسبیت، مالاکیت	کالکوسبیت، مالاکیت	کالکوسبیت، مالاکیت
دگرسانی	سرسیتی، کربناتی، هماتیتی، سریلیسی	کربناتی، هماتیتی	سرسیتی، کربناتی، هماتیتی	هماتیتی، کلریتی	هماتیتی، کربناتی	هماتیتی، هماتیتی	هماتیتی، هماتیتی	کربناتی، هماتیتی	کربناتی، سریلیسی	کربناتی، سریلیسی

جدول ۷-۴) مقایسه کانسارهای شرق و جنوب شاهروود با کانسارهای مس آتشفسانی لایه‌های سرخ در ایران

مس معدن بزرگ (عباس‌آباد)	وشنوه (جنوب قم)	اندیس معدنی مس قبله بولاغ	اندیس معدنی مس دار هند	شرق و جنوب-شرق شاهروود	مشخصات
شاهروود	۶۰ کیلومتری جنوب قم	جنوب خاور زنجان	۴/۵ کیلومتری نطنز	۱۰۰ کیلومتری شاهروود	موقعیت جغرافیایی
ائوسن	ائوسن میانی تا بالایی	ائوسن	ائوسن میانی تا بالایی	ائوسن میانی	سن کانه‌زایی
آندرزیت و تراکی آندزیت	آندرزیت بازالت تا بازالت آندرزیتی	بازالت آمیگدال	بازالت آمیگدال	بازالت و تراکی آندزیت بازالت	سنگ میزبان
پرکننده فضای خالی، رگه و رگچه‌ای	رگه و رگچه و پرکننده فضای خالی	افشان و پرکننده فضای خالی	رگه‌ای	رگه و رگچه‌ای	ساخت و بافت ماده معدنی
کالکوسیت، کولین، بورنیت،	کالکوسیت، کولین، مالاکیت	مس طبیعی، تنوریت، مالاکیت، آزوریت، هماتیت، پیریت	مس طبیعی، کوپریت، تنوریت، مالاکیت و اندکی پیریت	کالکوپیریت، بورنیت، کالکوسیت ، مس طبیعی، کولین،	پارازنز
سرسیتی، سیلیسی، زئولیت و کلریت	کلریت و سریسیت، پومپلهایت، اکتینولیت، کوارتز	کلریت، کربنات، کلسیت، هماتیت، زئولیت	دگرسانی
معانی جو، حیدری (۱۳۹۰)	شهروز حق نظر (۱۳۸۷)	بهزادی (۱۳۷۳)	نظافتی (۱۳۷۹)	این تحقیق	مراجع

ادامه جدول ۴-۷

مشخصات	شرق و جنوب‌شرق - دهچ- سارودیه	دوچیله، پهنه ایران مرکزی	کانسارپلی متال عباس آباد	Abbas آباد	کشت مهکی، جنوب سنندж - سیرجان
موقعیت جغرافیایی	شمال غرب استان کرمان	شمال شرق شاهروド	غرب قزوین	شاهروド	شمال غرب صفاسهر
سن کانه‌زایی	ائوسن	ائوسن	ائوسن	ائوسن میانی	کرتاسه پایینی
سنگ میزان	آندزیت پورفیری	باذالت و الکالی باذالت ائوسن	باذالت، اولیوین باذالت، باذالت آندزیتی و آذرآواری	تراکی آندزیت باذالت و یا ولکانوکلاستیک	سنگ‌های باذالتی، با میان لایه‌هایی از لیتیک توف
ساخت و بافت ماده معدنی	دانه پراکنده، رگه و رگچه	رگهای	رگهای و پرکنده فضای خالی، رگه و رگچه‌ای، بافت	پرکنده فضای خالی، رگه و رگچه‌ای، بافت	رگه و رگچه‌ای و دانه پراکنده، به صورت جزئی و انتشاری
پاراژنز	کالکوسیت، بورنیت، مس طبیعی، دیژنیت پیریت، کالکوپیریت، بورنیت، مگنتیت، کوپریت کالکوسیت، بورنیت، مس خالص،	پیریت، کالکوپیریت، تترادریت، تنتاکلیت، بورنیت، مالاکیت	گالن، اسفالریت، کالکوپیریت، پیریت، مالاکیت	کالکوسیت، بورنیت، کوپریت، بورنیت، مالاکیت	کالکوسیت، بورنیت، آنالیت، مالاکیت و آزوریت ثانویه، آنالیت، مالاکیت
دگرسانی	کربناتی، سیلیسی، پروپلیتی، سرسیتی، هماتیتی	اکسید آهن، کلریتی، زئولیتی، کربناتی	پروپلیتی، سیلیسی	ایدوت، کلریت، کلسیت، زئولیت، کوارتز و آنالسیم	کوارتز، سرسیت، کلسیت، ایدوت هماتیت، کلریت و آلبیت
مراجع	ابولی‌پور و همکاران (۱۳۹۰)	ابراهیمی و همکاران (۱۳۹۲)	کامران جهاندیده کاظم پور - مهدی حسینی (۱۳۹۰)	الهام السادات موسوی (۱۳۸۹)	مینا بویری، ابراهیم راستاد (۲۰۱۳)

۷-۵-۷ شرایط فیزیکوشیمیایی تشکیل

۷-۵-۱- منشاء عناصر

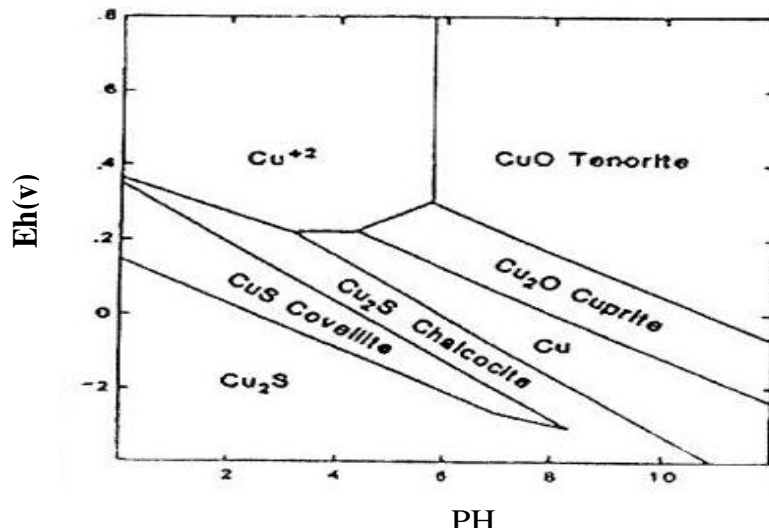
عقیده بر این است که منبع فلز از بازالتها است و مس نه فقط به صورت مس خالص بلکه به صورت سولفیدی نیز حضور دارد. احتمالاً محلول‌های سولفیدی وارد سنگ‌های غنی از آهن در طول زون‌های بررشی شده و کانه‌زایی رخ داده است (واتسون^۱، ۱۹۲۳). جهت تعیین منشاء عنصر Cu در این منطقه از تمام واحدهای سنگی موجود در منطقه منجمله بازالت‌های دگرسان شده، دگرسان نشده و کانسنگ نمونه برداری و جهت تعیین مقدار مس (و همچنین سایر عناصر همراه) آنالیز صورت گرفت. با مقایسه مقدار مس در هر یک از این نمونه‌ها، ملاحظه می‌شود که میزان مس و سایر عناصر همراه در کانسنگ و بازالت‌های دگرسان شده و دگرسان نشده از یک روند خاصی پیروی می‌کنند که نشان‌دهنده منشاء واحد مس و سایر عناصر می‌باشد.

۷-۵-۲- شرایط تهنشست

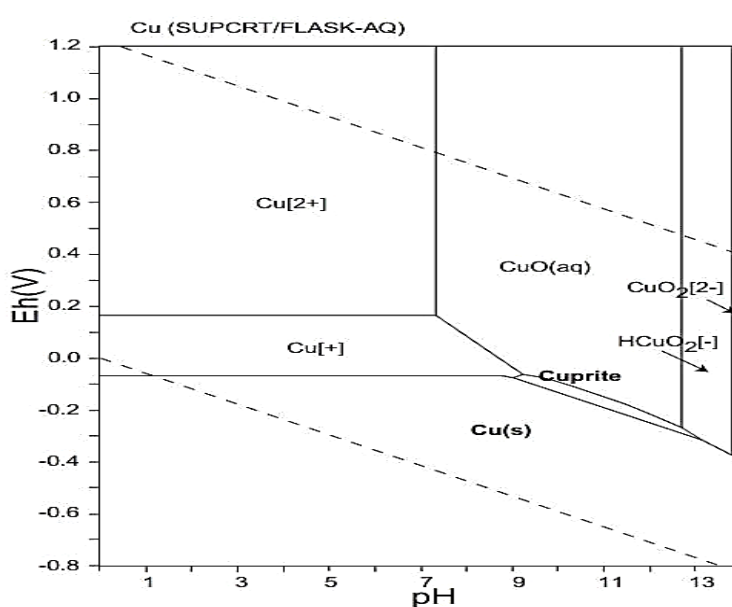
جريان‌های اکسیدی بالارونده و سنگ‌های رسوبی بین لایه‌های قرمز احتمالاً در ژنز این نهشته‌ها مهم می‌باشد. محیط زمین‌شناسی، این تیپ از نهشته‌ها به‌طور وسیع در توالی‌های بازالتی خشکی توزیع شده‌اند و با عنوان نهشته‌های مس با میزان بازالتی معرفی می‌شوند. ظاهراً این کانسارها مشابه کانسارهای مس رسوبی دیاژنتیک فقط در سنگ‌های خشکی تا کم‌عمق دریابی که با اکسیژن اتمسفر زمین ترکیب شده‌اند رخ می‌دهند. این کانسارها در آب‌های عمیق و در توالی‌های گدازه‌ای بالشی رخ نداده و به صورت جایگیری کانه‌ها بعد از تشکیل سنگ‌میزان رخ می‌دهند کیرکام (۱۹۹۶). عوامل شیمیایی احتمالاً نقش مهمی در تهنشینی عنصر مس در منطقه مطالعاتی داشته است، زیرا بر طبق شکل ۷-۷ عنصر مس در شرایط اسیدی و اکسیدکننده در سیالات هیدرоторمالی می‌تواند انتقال یابد و با توجه به این مسئله که فلزات قلیایی و قلیایی خاکی، به‌طور فراوان در منطقه حضور دارند، مانند

^۱ Watson

رگه‌های کلسیتی فراوانی که در سیستم درز و شکستگی‌ها و حفره‌ها مشاهده گردید، می‌توان نتیجه گرفت با وارد شدن عناصری مانند Ca به سیالات کانه‌دار، این سیالات قلیایی‌تر شده و در نتیجه تفکیک و تجزیه کمپلکس‌های کلریدی مس صورت گرفته است (شکل ۱۸-۷).



شکل ۱۷-۷) ترکیبات مس در دیاگرام PH, Eh در سطح زمین و شرایط اسیدی، مس به صورت محلول توسط آب حمل و در عمق زمین در شرایط احیایی راسب می‌گردد (برگرفته از مینارد، ۱۹۸۳).



شکل ۱۸-۷) ترکیبات مس در دیاگرام PH, Eh برگرفته از (Naoto Takeno(2005)

۶-۷ پیشنهادات تحقیقاتی و اکتشافی

- توالی‌های آتششانی- رسوبی مشابه منطقه شرق و جنوب شرق شهرود، در سایر نقاط ایران، جهت اکتشاف این تیپ نهشته‌ها مورد توجه و مطالعه دقیق‌تر قرار گیرند.
- تحلیل عملکرد گسل‌ها و بهطور کلی عامل زمین ساخت باید به صورت کلی در منطقه بررسی شود که خود این امر می‌تواند راهنمایی مفیدی در کشف مناطق امید بخش باشد.
- با توجه به این‌که کانه‌زایی در این مناطق بیشتر در امتداد گسل‌ها صورت گرفته است، مناطق دارای گسل‌ها باید شناسایی شده و نقشه آن‌ها تهیه گردد.
- انجام اکتشاف ژئوفیزیکی به روش‌های ترکیبی پتانسیل القایی (IP) و مقاومت سنجی (RS) انجام عملیات حفاری (مغزه گیری) در این کانسارها جهت پیگیری پهنه‌های کانه‌دار و نیز بررسی دقیق‌تر ساختار درونی پیکره‌های معدنی. واضح است که هر کدام از مراحل اکتشافی پیشین بخشی از سیمای کانی‌سازی را در اختیار قرار می‌دهد که به تنهاً چندان قابل استفاده نخواهد بود. برای بکارگیری و استفاده بهینه از ابزارهای مختلف اکتشافی لازم است که داده‌های زمین‌شناسی، ژئوشیمیایی، دورسنجی و ژئوفیزیک هوایی در سیستم GIS تلفیق شده و نتیجه آن، به عنوان محدوده‌های اولویت‌دار، بر روی نقشه‌های پایه زمین‌شناسی (ترجیحاً در مقیاس‌های ۱:۲۵۰۰۰ و ۱:۵۰۰۰۰) منعکس گردیده و جهت کنترل صحراایی در اختیار زمین‌شناس اکتشافی قرار گیرد.
- تمامی مناطق از جمله چوندرسرشمالي، جنوبی، مرکزی، الهاک ۱ و ۲، گریک، گورخان، نرتلویی، استغانی، گچ کنوم و روگرو از نظر عنصر مس پتانسیل لازم را نشان می‌دهد و در مورد سایر عناصر همراه اعم از روی، سرب و دیگر عناصر به مطالعات تفصیلی بیشتری نیاز است.

منابع

منابع

- ۱- آقانباتی، ع.، (۱۳۸۳)، "زمین شناسی ایران" ، سازمان زمین شناسی و اکتشافات معدنی کشور، ۵۸۶ صفحه.
- ۲- بادامه، ع.، (۱۳۸۲)، پایان نامه کارشناسی ارشد: "پتروژنر سنگ‌های آتشفشانی منطقه میاندشت (شرق شهرود)"، دانشکده علوم، دانشگاه صنعتی شهرود، ۱۳۱ صفحه.
- ۳- بлагی، م.، صادقیان، م.، قاسمی ح و مجلل، م.، (پذیرش چاپ برای زمستان ۱۳۹۳)، "کانی شناسی، زمین‌شیمی و سن پرتوسنجی دایکهای مافیک موجود در مجموعه دگرگونی دلبر، بیارجمند (جنوب شرقی شهرود)" مجله بلورشناسی و کانی‌شناسی ایران.
- ۴- سامانی، ب.، (۱۳۸۱)، "متالوژنی کانسارهای مس (نوع مانتو) در ایران" ، ششمین همایش انجمن زمین‌شناسی ایران.
- ۵- خلعتبری، م.، (۱۳۸۰)، "نقشه زمین‌شناسی عباس آباد به مقیاس ۱:۱۰۰۰۰۰" ، انتشارات سازمان زمین‌شناسی کشور.
- ۶- درویش زاده، ع.، (۱۳۸۳)، "زمین شناسی ایران" ، انتشارات امیرکبیر، تهران، ۴۳۴ ص.
- ۷- رولینسون، هیو. آر.، (۱۳۸۴)، "کاربرد داده‌های زمین‌شناسی" ، ترجمه مر. ف. مدبری، س، مرکز نشردانشگاهی، تهران، چاپ اول.
- ۸- صادق زاده، ش.، (۱۳۷۷)، "پترولوزی سنگ‌های آتشفشانی منطقه شمال شرق میاندشت" ، پایان نامه کارشناسی ارشد، دانشکده علوم، دانشگاه شهید بهشتی، ۲۱۴ صفحه.
- ۹- قربانی، م.، (۱۳۸۱)، "دیباچه‌ای بر زمین‌شناسی اقتصادی ایران" ، انتشارات سازمان زمین‌شناسی، ۶۹۵ صفحه.

- ۱۰- گیلبرت و پارک، (۱۳۷۸)، "زمین‌شناسی کانسارها"، ترجمه سعید علیرضایی، نشر دانش امروز مؤسسه انتشارات امیرکبیر تهران.
- ۱۱- مردانی بلداجی م، "پترولوزی، ژئوشیمی و تحلیل رخسارهای سنگ‌های آتشفشنایی و آتشفشنایی رسوی منطقه پهناواز، جنوب بیارجمند - شاهروド"، پایان‌نامه کارشناسی ارشد دانشکده علوم زمین، دانشگاه صنعتی شاهرود.
- ۱۲- معین وزیری، ح، احمدی، ع، (۱۳۸۳)، "پتروگرافی و پترولوزی سنگ‌های آذرین" ، انتشارات دانشگاه تربیت معلم تهران ، ۵۴۵ صفحه.
- ۱۳- معین وزیری، ح؛ احمدی، ع. (۱۳۷۱)، "پتروگرافی و پترولوزی سنگ‌های آذرین" ، دانشگاه تربیت معلم، ۵۵۵ صفحه.
- ۱۴- مغفوری، س، راستاد، ا، موسیوند، ف، (۱۳۹۰)، "رخداد کانی زائی مس سولفید توده ای نوده در توالی آتشفشنایی - رسویی کرتاسه بالایی در جنوب غرب سیزووار"؛ دومین همایش انجمن زمین‌شناسی اقتصادی، دانشگاه لرستان .
- ۱۵- مهرابی، ب، فاضلی، آ، (۱۳۸۰)، "بررسی تیپ کانی زایی مس در کانسار وشنوه جنوب استان قم" ، بیستمین گردهمایی علوم زمین.
- ۱۶- موسوی، ا. (۱۳۸۸)، "پترولوزی و ژئوشیمی سنگ‌های آتشفشنایی منطقه چغدرسر (جنوب غرب عباس‌آباد) و کانه‌زائی وابسته به آن" ، پایان‌نامه کارشناسی ارشد ، دانشکده علوم زمین، دانشگاه صنعتی شاهرود، ۱۴۸ صفحه.
- ۱۷- موسیوند، ف، (۱۳۸۹) ، زمین‌شناسی، ژئوشیمی و الگوی تشکیل کانسار روی- سری- مس چاه‌گز در جنوب شهر بابک و مقایسه آن با کانسار سولفید توده‌ای مس- روی- نقره بوانات در پهنه سنتندج سیرجان جنوبی. رساله دکتری زمین‌شناسی اقتصادی دانشگاه تربیت مدرس، ۵۰۵ صفحه.

- ۱۸- موسیوند، ف.، راستاد، ا.، امامی، ا.، (۱۳۸۱)، "کانه زایی سولفید توده ای مس -روی (نقره) در مجموعه آتشفشنایی -رسوبی سوریان در منطقه بوانات در پهنه سندج -سیرجان"، بیست و یکمین گردهمایی علوم زمین.
- ۱۹- موسیوند، ف.، (۱۳۸۲)، "کانی‌شناسی، ژئوشیمی و ژنز کانه زایی مس در مجموعه آتشفشنایی رسوبی سوریان در منطقه بوانات، استان فارس" پایان نامه کارشناسی ارشد، دانشگاه تربیت مدرس.
- ۲۰- نبوی، م.ح.، (۱۳۵۵)، دیباچه ای بر زمین شناسی ایران. سازمان زمین شناسی و اکتشافات معدنی کشور، ۹۰۹ ص.
- ۲۱- الهیاری (۱۳۸۹)، "پتروژنز سنگ‌های آذرین اؤسن فوکانی نوار ماگمایی کاهک - عباس‌آباد" پایاننامه کارشناسی ارشد، دانشکده علوم زمین، دانشگاه صنعتی شاهرود، ۱۵۴ صفحه.
- 22- Agard, P., Omrani, J., Jolivet, L., Whitechurch, H., Vrielynck, B., Spakman, W., Monie, P., Meyer, B., Wortel, R., (2011). "Zagros orogeny: a subduction-dominated process", Geol. Mag. pp 1- 34.
- 23- Alavi, M., (1991), "Tectonic map of the Middle East_Geological Survey of Iran".
- 24- Alavi, M., (1996), "Tectonostratigraphic synthesis and structural style of the Alborzmountains in northern Iran". J.Geodynamics21(1). pp.1-33.
- 25- Arvin M., Pan Y., Dargahi S., Malekizadeh A., Babaei A., (2007). "Petrochemistry of the Siah-Kuh granitoid stock southwest of Kerman, Iran: Implications for initiation of Neotethys subduction". Journal of Asian Earth Sciences 30. pp. 474–489.
- 26- Azizi H., & Jahangiri A., (2008). "Cretaceous subduction-related volcanism in the northern Sanandaj-Sirjan Zone", Iran. Journal of Geodynamics 45. pp. 178–190.
- 27- Badrzadeh, Z., Sabzehei, M., Gimeno, D., Peter, J.M., Barrett, T.J., Rastad, E., and Aghazadeh, M., 2010, Geology, Mineralogy and Sulfur IsotopeGeochemistry of

- the Sargaz Cu-Zn Volcanogenic Massive Sulfide Deposit, Sanandaj-Sirjan Zone, Iran.
- 28- Barbey, P., Ayalew, D., Yirgu, G., (2005). "Insight into the origin of gabbro-dioritic cumulophyric aggregates from silicic ignimbrites: Sr and Ba zoning profiles of plagioclase phenocrysts from Oligocene Ethiopian Plateau rhyolites". Contribution to Mineralogy and Petrology 149. pp. 233–245.
- 29- Barnes, H. L. (1997). Geochemistry of hydrothermal ore deposits (Vol. 1): John Wiley & Sons.
- 30- Barnes, H. L. (1997). Geochemistry of hydrothermal ore deposits, John Wiley & Sons.
- 31- Berberian M., (1983). "The southern Caspian: A compression floored by a trapped modified oceanic crust". Canadian Earth Sciences, 20, pp.163 – 183
- 32- Berberian, F. and Berberian, M., (1981). Tectono-plutonic episodes in Iran. In: Zagros-Hindu Kush-Himalaya Geodynamic Evolution (H.K. Gupta and F.M. Delany, Eds), pp. 5–32. American Geophysical Union & Geological Society of America, Washington.
- 33- Berberian, M. (1981). "Active faulting and tectonics of Iran, in Zagros, Hindu Kush, Himalaya". Geodynamic Evolution, Geodyn. Ser., vol. 3. pp. 5–32
- 34- Berberian, M., & King, G. P. (1981), "Towards a paleogeography and tectonic evolution of Iran". Can. J. Earth Sci , 18, pp.210-265.
- 35- Berberian, M., b., (1976) "Contribution to the seismotectonics of Iran (Part II)". Geo,surv, of Iran, Rep. No. 39,518 P, 5 maps, 259.
- 36- Berberian, M., Qorashi, M., Arzhang-ravesh, B., Mohajer-Ashjai, A., (1983). "Recent tectonics, seismotectonics, and earthquake-fault hazard study in the Greater Qazvin area". Geological Survey of Iran 57.
- 37- Bodnar, R.J., and Vityk, M.O., (1994), Interpretations of microthermometric data for H₂O-NaCl fluid inclusions, in DeVivo, B., and Frezzotti, M.L., eds., Fluid inclusions in minerals: Methods and applications: Blacksburg, Virginia Polytechnic Institute and State University Press, p. 117–130.
- 38- Cabral AR, Beaudoin G, Kwitko-Ribeiro R, Lehmann B, Polo^nia JC, Choquette M(2006) Platinum–palladium nuggets and mercury-rich palladiferous platinum from Serro, Minas Gerais, Brazil. Can Mineral 44: 385–397.

-
- 39- Cabral, A. R. and G. Beaudoin (2007). "Volcanic red-bed copper mineralisation related to submarine basalt alteration, Mont Alexandre, Quebec Appalachians, Canada." *Mineralium Deposita* 42(8): 901-912.
- 40- Cornwall, H. R., (1951), "Differentiation in magmas of the Keweenawan series": *Jour. Geology*, v. 59, p. 151-112.
- 41- Cox K. G., Bell, J.D., Pankhursts, R. J., (1979). "The interpretation of igneous rocks". George Allen and Unwin, pp. 450.
- 42- Craig, G.R. and Vaughan, P., (1994), "Ore Microscopy and Ore Petrography. John Wiley and Sons", 434p. Institute, Falls Church, Virginia, 751p.
- 43- Emami, M. H. (1981). "Geologie de la region Qom – Aran. Contribution a l'etude dynamique et geochimique du volcanisme tertiare d'Iairan central", these decortect at, Grenoble, pp.489.
- 44- Evans, A. M.,(1997) "An introduction to economic geology and its environmental impact: blackwell, " Sci: Pub. 364P.
- 45- Farhoudi G. (1978)." A comparison of Zagros geology to Island arcs". *Jour. Geol.* 86. pp. 323-334.
- 46- Fenner C.N. (1948) "Incandescent tuff flows in southern Peru", *Journal of Geological society of America Bulletin*, V. 59, pp 879-893.
- 47- Franklin, J.M., Gibson, H.L., Jonasson, I.R., Galley, A.G., (2005) "Volcanogenic Massive Sulphide Deposits" *Economic Geology* 100anniversary, p. 523-560. 35
- 48- Franklin, J.M.,(1996), Volcanogenic- associated massive sulfide base metals, in *Geology of Canadian mineral deposit types*, (eds), O. R. Eckstrand, W.D. Sinclair, and R.I.Throp, *Geological survey of Canada, Geology of Canada*, no.8, p. 158-183.
- 49- Gally,A.G., (2003) "Composite synvolcanic intrusions associated with Precambrian VMS- related hydrothermal systems, *Mineral" Deposita*, v.38, n.4, p.443-473.
- 50- Ghasemi, A. and Talbot, C.J., (2006). A new tectonic scenario for the Sanandaj–Sirjan Zone (Iran). *J. Asian Earth Sci*, 26, 683–693.

-
- 51- Guilbert, J.M. and Park, C.F.J., (1999), "The geology of ore deposits": Freeman, W.H. and company. pp. 985.
- 52- Harker, A. (1909). "The natural history of igneous rocks". Methuen & co. London.
- 53- Haynes D W, Cross K C, Bills R T, Reed M H (1995) Olympic Dam Ore Genesis: A Fluid Mixing Model. *Economic Geology* 90: 281-307.
- 54- Heald, P., Foley, N.K., and Hayba, D.O.,(1987) "Comparative anatomy of volcanic- hosted epithermal deposits: acid-sulfate and adularia-sericite type" *Economic Geology*, v.82, p.1-26.
- 55- Hedenquist, J.W., Arribas, A., J.r., & Gonzalez Urien, E. (2000). " Exploration for Gold Deposits". Review in *Economic Geology*, Vol. 13, pp. 245 – 277.
- 56- Hemley, J. J., Jones, W.R., (1993). "Chemical aspect of hydrothermal alteration with emphasis on hydrogen metasomatism", *Economic Geology*, v. 59, pp. 538-569.
- 57- Hitzman M, Kirkham R, Broughton D, Thorson J., Selly D (2005) The sediment-hosted stratiform copper ore system. In: Thompson JFH, Goldfarb RJ, Richards JP (eds) 100th Anniversary volume. Society of Economic Geologists, pp 609–642.
- 58- Irvin, T. N. & Baragar, W. R. A., (1971)- A guide to the chemical classification of the common volcanic rocks. *Petrology*, 27, 745-750, 1986.
- 59- Jahangiri, A, (2007)." Post collision Miocene adakitic volcanism in NW Iran". Geochemical and geo dynamic implications. *Journal of Asian Earth Sciences*. pp. 433–447.
- 60- Karimpour, M.H., Malekzadeh Shafaroudi, A., (2005) "Taknar Polymetal (Cu-Zn-AuAg-Pb) Deposit: A New Type Magnetite-Rich VMS Deposit, Northeast of Iran" *Journal of Sciences, Islamic Republic of Iran* 16(3): 239-254
- 61- Kesler, S. E., copper, (1973). "molybdenum and gold abundance in porphyry copper Deposites". *Econ.Geol.*, Vol168, pp. 106-112.
- 62- Kirkham, R. (1996). Volcanic rebed copper. *Geology of Canadian Mineral Deposit Types: Geological Survey of Canada, Geology of Canada*(8), 241-252.
- 63- Kirkham, R.V, (1996)."Volcanic red bed copper", *Geol. Sur. Of Canada*, Canadian mineral deposit types, 8, pp. 241- 252.

-
- 64- Kojima, S., Trista-Aguilera, D., & Hayashi, K. i. (2009). Genetic Aspects of the Manto-type Copper Deposits Based on Geochemical Studies of North Chilean Deposits. *Resource geology*, 59(1), 87-98.
- 65- Krauskopf, K.P. and Bird, D.K., 1979, Introduction to geochemistry, McGraw-Hill, 2nd edition, International Series, 617 p.
- 66- Le Bas, Le Maitre, Streckeisen and Zanettin, (1986). "A chemical classification of volcanic rocks based on the total alkali – silica diagram". *Journal Petrol*, 27, Part 3, pp.375 – 750.
- 67- Le Maitre R.W. (1976). "The chemical variability of some common igneous rocks". *Journal Petrol.*, 17, pp.589 – 637.
- 68- Le Maitre R.W; Bateman P; Dudek A., Keller J; Lameyre Le Bas M.J; Sabine P.A; Schmid R.,Sorensen H; Streckeisen A; Wolley A.R; Zanettin B. (1989), A classification of igneous rocks and glossary of terms. Blackwell, Oxford.
- 69- Le Maitre, R.W., (2004). "Igneous Rocks: A Classification and Glossary of Terms". Recommendations of the IUGS, Subcommission on the Systematic of Igneous Rocks. Cambridge University Press. pp.236.
- 70- LeBas M.J., LeMaitre R.W., Streckeisen A., and Zannettin B., (1986) "A classification of volcanic rocks based on the total alkali-silica diagram" *Journal of Petrology*, 27, 745-750.
- 71- Lefebure ,D.V .&Church ,B.N., (1996) "Volcanic Redbed Cu, in selected British Columbia Mineal Deposit Profiles "
- 72- Lefebure, D. V., & Ray, G. E. Unconventional Metal Deposits in Volcanic Arcs.
- 73- Macdonald, R., Hawkesworth, C. J. & Heath, E., (2000). "The Lesser Antilles volcanic chain: a study in arc magmatism". *Earth-Science Reviews*. 49. pp. 1-76.
- 74- Maitre R.W; Bateman P; Dudek A., Keller J; Lameyre Le Bas M.J; Sabine P.A; Schmid R.,Sorensen H; Streckeisen A; Wolley A.R; Zanettin B. (1989), A classification of igneous rocks and glossary of terms. Blackwell, Oxford.
- 75- Maksaev, V. and M. Zentilli (2002). "Chilean stratabound Cu–(Ag) deposits: an overview." *Hydrothermal iron oxide copper–gold and related deposits: a global perspective* 2: 185-205.

-
- 76- Maksaev, V., Townley, B., Palacios, C., Camus, F., 2003, Metallic ore deposits in Genesis of copper mineralization and associated alterations an Jurassic volcanic rocks of Buena Esperanza, The geology of Chile, Moreno
- 77- Management Services, 18p. 60 Khadem, N., 1964, Type of copper deposits in Iran, in symposium on mining
- 78- Maynard. J. B. (1983)" Geochemistry of Sedimentary Ore Deposits" Springer, New York, pp 305.
- 79- McMillan, W. J., Panteleyev, A. (1990), Porphyry copper deposits, in: reports, R. G., and sheahan, P. A., ed.: ore deposit models: Geological Association of Canada, P.
- 80- Meschede, M., 1986, A method of discriminating between different type of mid ocean ridge basalts and continental tholeiites with the Nb- Zr- Y diagram. Chem. Geol., 56, 207- 218.
- 81- Middlemost, E. A. K. (1994), Naming materials in the magma / igneous rock system. Longman Groun u. k, pp. 73 – 86.
- 82- Middlemost, E.A.K. (1985). "Magma and magmatic rocks, An introduction to igneouspetrology". Longman Group U.K., pp: 73-86.
- 83- Miyashiro, A., (1974). "Nature of alkalic volcanic series. Contributions to Mineralogy and Petrology", 66. pp.91-110
- 84- Mohajjel, M., Fergusson, C.L., (2000). "Dextral transpression in Late-Cretaceous continental collision, Sanandaj–Sirjan zone", Western Iran. J. Struct. Geol. 22. pp.1125–1139.
- 85- Mohajjel, M., Fergusson, C.L., Sahandi, M.R., (2003). "Cretaceous–Tertiary convergence and continental collision, Sanandaj–Sirjan Zone", western Iran. J. Asian Earth Sci. 21. pp. 397–412.
- 86- Mosier, D. L., Berger, V. I., Singer, D. A., (2009), "Volcanogenic massive sulfide deposit of the world; database and grade and tonnage models: U. S. Geological survey open file report 2009- 1034, 50p.
- 87- Mousivand, F., Rastad, E., Hoshino, K., Watanabe, M. (2007). "The Bavanat Cu-Zn-Ag orebody: First recognition of a Besshi-type VMS deposit in Iran", N. Jb. Miner. Abh. V. 183/3, pp. 297–315.

-
- 88- Mousivand, F., Rastad, E., Meffre, S., Peter, J. M., Solomon, M., Khin Zaw, (2010). "U-Pb geochronology and Pb isotope characteristics of the Chahgaz volcanogenic massive sulfide deposit, South of Iran". International Geology
- 89- Mousivand, M., Rastada, E., Meffre, S., Peter, J., Solomon, M and Khin Zaw, (2011). "U-Pb geochronology and Pb isotope characteristics of the Chahgaz volcanogenic massive sulphide deposit, southern Iran", International Geology
- 90- Nakamura N. (1974). "Determination of REE, Ba, Fe, Mg, Na and K in carbonaceous and ordinary chondrites. Geochim. Cosmochim. Acta", 38, pp. 757 – 775.
- 91- Omrani J., Agard Ph., Whitchurch H., Benoit M., (2008)."Arc magmatism and subduction history beneath the Zagros mountains, Iran: A new report of adakites and geodynamic consequences". Lithos 106. pp. 380 – 398.
- 92- Pearce, J. A., Cann, J. R., (1973). "Tectonic setting of basic volcanic rocks determined using trace element analyses". Earth Planetary Science Letters 19. pp.290 – 300.
- 93- Pirajno F.,(1992) " Hydrothermal mineral deposits – Principles and fundamental concepts for the Exploration Geologist". Springer-Verlag. pp.706.
- 94- Ramdohr, P., (1980) "The ore mineral and their intergroths" 1207 Page. Pergamon, Oxford, England.
- 95- Rodder, E., Fluid inclusions: Reviews in mineralogy, v.12, miner. Soc. Am. Resten, Virginia, 1976.
- 96- Rollinson, H. R., (1993). "Using geochemical data: evolution, presentation, interpretation". London, UK. 652 P.
- 97- Rollinson, h. R., (1993)." Using Geochemical Data: Evaluation, Presentation, Interpretation". John Wiley and Sons, 325p.
- 98- Romdohr, P., (1980)."The ore mineral and their intergrowth, 2nd Ed",, PergomanPress. 1207 P.
- 99- Rossetti. F, Nasrabady.M, Vignaroli.G, Theye.T, Gerdes.A, Razavi.m, and Moin Vaziri.H, (2010). "Early Cretaceous migmatitic mafic granulites from the Sabzevar range (NE Iran): implications for the closure of the Mesozoic peri-Tethyan oceans in central Iran". Terra Nova, v 22, pp 26-34.

-
- 100- Sengor, A. M. C.(1984) " The Cimmerideogenic system and the Tectonics of Eurasia". Geological society of America ,Special, pp. 195.
- 101- Shafiei, B., Haschke, M., Shahabpour, J., (2009), Recycling of orogenic arc crust triggers porphyry Cu mineralization in Kerman Cenozoic arc rocks, southeastern Iran, Miner Deposita 44:256- 283
- 102- Shahabpour, J. (2007). "Island – arc affinity of the central Iranian volcanic belt". Journal of Asian Earth. Sci. 30. pp. 652 – 665.
- 103- Shelton, L. K. and McMenamy, A. T., (2004). "Deciphering the complex fluid history of a greenstone- hosted gold deposits: fluid inclusion and stable isotope studies of the giant mine", Yellowknife, Northwest Territories. Canada, Econ. Geol., 99. pp. 1643- 1663.
- 104- Shepherd, T.J., Rankin, A.H., and Alderton, D.H., (1985), "A practical guide to fluid inclusion studies". Glasgow, Blackie and Son. 239p.
- 105- Sillitoe, R. H. (2010). Porphyry copper systems. Economic Geology, 105(1), 3- 41.
- 106- Sillti R. H.(1977)." Mettallic Mineralization affiliated to subaerial volcanism: a review, PP> 99-116 in: volcanic processes in ore Genesis". Lonon: Inst. Metall., spec. pap.7.,pp.177.
- 107- Sillti R. H., (1977). " Mettallic Mineralization affiliated to subaerial volcanism: a review, PP> 99-116 in: volcanic processes in ore Genesis", Lonon: Inst. Metall.,spec. pap.7, 177 P.
- 108- Stampfli, G., 1978. Etude gdologique generale de l'Elbourz oriental au sud de Gonbad-e-Qabus (Iran NE). Thesis. Univ. Genve.
- 109- Stiber, R. E., and E. S. Davidson.,(1959) "Amygdule mineral zoring in the portage lava series, Michigan copper district" Econ. Geol. 54: 1250-1277.
- 110- Stocklin, J., 1968, Structural history and tectonics of Iran: a review, American Association of Petrological Geology B.52, No.7, 1229-1258
- 111- Stocklin, J and nabavi, M.H. (1973)." Tectonic Map of Iran 1:2500000 Geological Survey of Iran".
- 112- Stöcklin, J. (1974) Possible Ancient Continental Margin in Iran. In: C.A. Burk & C. L. Drake (Eds.), The Geology of Continental Margins. Springer, Berlin, 873-887.

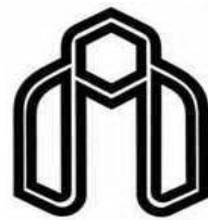
-
- 113- Stocklin, J.,(1968). "Structural History and Tectonics of Iran", A Review, American Association of Petroleum Geologists Bulletin, Vol. 52, pp. 1229-1258.
- 114- Stocklin,J and Nabavi, M.H., Tectonic map of Iran .Geol.sur. of Iran
- Asserto,R. and Ippolito, I. (1964). Osservazioni preliminary sul cretaceo della bassa del lar(Elbors Central Iran); Riv. Ital. Paleont. Strata; V, 70, No.4. (1973).
- 115- Stocklinn, J.(1974) " a-Northern Iran: Alborz mountains. Meszoic – senozoicogenetic Belt, data for orogenic studies, Geol. Soc, london, Sp. Pub4, P. 213-234(Collect. Ed. A. M. Spencer, scottish Academic press.
- 116- Sun, S.S., and McDonough, W.F., (1989) "Chemical and isotopic systematics of oceanic basalts; implications for mantle composition and processes, in Saunders,288
- 117- Takeno, N. (2005). "Atlas of Eh-pH diagrams." Geological survey of Japan open file report 419: 102.
- 118- Takeno, N. (2005). Atlas of Eh-pH diagrams. Geological survey of Japan open file report, 419, 102.
- 119- Takin, M., (1972). "Iranian, Geology and Continental Drift in the Middle East", Nature,Vol. 235.
- 120- Thompson R. N. (1982). "British Tertiary volcanic province". Scott. J. Geol., 18. pp. 49 – 107.
- 121- Wang, Q., Wyman, D.A., Xu, J.F., Wan, Y.S., Li, C.F., Zi, F., Jiang, Z.Q., Qiu, H.N., Chu, Z.Y., Zhao, Z.H., Dong, Y.H., (2008). "Triassic Nb-enriched basalts, magnesian andesites, and adakites of the Qiangtang terrane (Central Tibet): evidence for metasomatism by slab-derived melts in the mantle wedge". Contributions to Mineralogy and Petrology 155, pp.473–490.
- 122- Waterman, G.C., Hamilton, R.L., 1975. The Sar-Cheshmeh porphyry copper deposit. Economic Geology 70, 568–576.
- 123- White, D. E., Environments of generation of some base metal ore deposits. Econ. Geol. 63:301-335., 1968.
- 124- Wilkinson, J., 2001. "Fluid inclusions in hydrothermal ore deposits". Lithos 55, pp. 229-272.

-
- 125- Wilson, M. (1989). "Igneous petrogenesis a global tectonic approach". Unwin Hyman Ltd., London, 466p.
- 126- Wilson, N. S., Zentilli, M., & Spiro, B. (2003). A sulfur, carbon, oxygen, and strontium isotope study of the volcanic-hosted El Soldado manto-type copper deposit, Chile: the essential role of bacteria and petroleum. *Economic Geology*, 98(1), 163-174.
- 127- Winchester, J. A. And P. A. Floyd., (1977). "Geochemical discrimination of different magma series and their differentiation products using immobile elements", *Chemical geology*, 20. pp.325-343.
- 128- Winchester, J.A., Floyd, P.A.(1976). "Geochemical magma type discrimination: application to altered and metamorphosed basic igneous rocks". *Earth and Planetary Science Letters* 28, pp: 459–469.
- 129- Winter, O.,(2001), "An introduction of igneous and metamorphic petrology". Department of Geology whit man college. 697pp.
- 130- Wood D. A., (1980)." The application of Th- Hf- Ta diagram to problems of tectonomagmatic classification and to establishing the nature of crustal contamination of basaltic lavas of the British Tertiary volcanic province". *Earth Planet. Sci. Lett.*, 50, pp. 11 – 30.
- 131- Wood D. A., Joron J. L., Treuil m. (1979). "A re – appraisal of the use of trace elements to classify and discriminate between magma series erupted in different tectonic settings". *Earth Planet. Sci. Lett.* 45, pp. 326 336.

Abstract

copper deposits in Central, Northern and Southern Choghndrsar, Gerik, Gorkhan, Narteluei, Asteghani, Gachconom, Alhak (1) and Alhak (2) are located at a distance of approximately 100 to 120 kilometers northeast and East and South-East Shahrood on the edge of Iran's central structural zone. Sequence of volcanic rocks and volcano-sedimentary rocks of the region are included. This area consists of an intermediate basic lava sequence - and middle Eocene pyroclastic rocks. Studied volcanic rocks consists of a compositional range of olivine basalt, andesybasalt tracks, tracki-andesite, basalt that represents a subtraction serie of olivine basalt to andesite tracks. These rocks show enrichment of light REE and large ion Litophile element and depletion of heavy REE. Negative anomalies in high field magnitude elements such as Ti and Nb in the studied rocks is one of the typical characteristics of arc environments. According to geochemical surveys, copper deposit of Shahrood's Eastern and Southeastern tectonic environment is consist of a stretch region that formed in a back-arc basin. Eastern and South-Eastern Shahrood Mineralization is formed as depositional veins - veinlets, scattered grains and filled cavities. Primary formed minerals is consists of chalcocite, bornite, natural copper, pyrite and chalcopyrite. Secondary oxide and carbonate minerals such as hematit, and malachite cuprite formed in the surface due to weathering. The dominant alteration in host rocks consist of hematite, chlorite, sericitic, silica and carbonate. Microthermometry study of fluid inclusions in the ore-bearing calcite veins indicate that most of the fluids are two-phase and liquid - vapor (L + V) type with 10.1 wt% NaCl salinity and mean homogenization temperature of 264 °C. According to basic characteristics of copper mineralization in the East and South-East of Shahrood has many similarities to the large copper deposits of volcanic red layer in terms of tectonic settings, encompassing rock, mineralogy, metal content, alteration and mineralization.

Key words: The stretch, back - arc, copper, volcanic - red layer, Shahrood



**Faculty of Earth Sciences
Petrology and Economic Geology Group**

Title

**Investigation of genesis of copper mineralization
associated with Eocene volcanic and
volcano-sedimentary rocks of northern margin of
Central Iran Zone, east and southeast of Shahrood**

By

Nahid Taefi

Supervisor

Dr. M. Sadeghian

Dr.F. Mousivand

September 2014